



HAL
open science

Villeron, Route de l'Ormet, département du Val-d'Oise (95) [OA 109577]

Jean-Gabriel Pariat, Pauline Carvalho, Morgane Decofour, Bruno Foucray,
Fanny Trouvé, Patrice Wuscher

► To cite this version:

Jean-Gabriel Pariat, Pauline Carvalho, Morgane Decofour, Bruno Foucray, Fanny Trouvé, et al.. Villeron, Route de l'Ormet, département du Val-d'Oise (95) [OA 109577]: rapport de diagnostic archéologique préventif, du 25-11-2013 au 10-01-2014. OA 109577, SRA - Île-de-France; SDAVO. 2014, 185 p. hal-04532395

HAL Id: hal-04532395

<https://hal.science/hal-04532395>

Submitted on 4 Apr 2024

HAL is a multi-disciplinary open access archive for the deposit and dissemination of scientific research documents, whether they are published or not. The documents may come from teaching and research institutions in France or abroad, or from public or private research centers.

L'archive ouverte pluridisciplinaire **HAL**, est destinée au dépôt et à la diffusion de documents scientifiques de niveau recherche, publiés ou non, émanant des établissements d'enseignement et de recherche français ou étrangers, des laboratoires publics ou privés.



Distributed under a Creative Commons Attribution - NonCommercial - NoDerivatives 4.0
International License

Le Conseil général
soutient la recherche archéologique

**val
d'oïse** 
le département

Villeron

Département du Val d'Oise (95)

“Route de l’Ormet”

Rapport de diagnostic archéologique
du 25/11/2013 au 10/01/2014

Arrêté de prescription : 2013-525
Arrêté de désignation : 2013-569

Par
Jean-Gabriel PARIAT

Avec la collaboration de
Pauline CARVALHO
Morgane DECOFOUR
Bruno FOUCRAY
Fanny TROUVÉ
Patrice WUSCHER

Conseil général du Val d'Oise
Service départemental d'archéologie
Abbaye de Maubuisson
95310 Saint-Ouen-l'Aumône

DRAC
Service régional de l'archéologie d'Ile-de-France
47, rue Le Peletier
75009 Paris

Mars 2014



Villeron

« Route de l'Ormet »

**Département du Val d'Oise
(95)**

Rapport de diagnostic archéologique préventif

du 25/11/2013 au 10/01/2014

Arrêté de prescription : 2013-525

Arrêté de désignation : 2013-569

N° INSEE des communes : 95675

Par

Jean-Gabriel PARIAT

Avec la collaboration de

Pauline CARVALHO
Morgane DECOFOUR
Bruno FOUCRAY
Fanny TROUVÉ
Patrice WUSCHER

Conseil général du Val d'Oise
Service départemental d'archéologie
Abbaye de Maubuisson
95310 Saint-Ouen-l'Aumône

DRAC
Service régional de l'archéologie d'Ile-de-France
47, rue Le Peletier
75009 PARIS
Mars 2014

Sommaire

Documents administratifs	4
Introduction	12
I- Contexte géographique (F. Trouvé, P. Wuscher)	12
II- Contexte et étude géomorphologique (P. Wuscher, J.-G. Pariat)	12
II.1- Contexte et état des connaissances avant l'opération (P. Wuscher)	12
II.2- Résultats à l'issue de l'intervention de terrain (P. Wuscher, J.-G. Pariat)	15
II.2.1- Contexte d'intervention (J.-G. Pariat)	15
II.2.2- Les sondages 5, 6, 7 (P. Wuscher)	19
II.2.2.1- Unités rencontrées	19
II.2.2.2- Discussion et propositions chronostratigraphiques	19
II.2.2.3- Synthèse	21
III- Contexte historique et archéologique (F. Trouvé, P. Carvalho, J.-G. Pariat)	22
III.1- Rappel de la préétude et principaux éléments historiques (F. Trouvé)	22
III.2- Contexte archéologique (J.-G. Pariat, P. Carvalho, F. Trouvé)	23
III.2.1- La Préhistoire et la Protohistoire	23
III.2.2- L'Antiquité	23
III.2.3- Le Moyen-Âge	23
III.2.4- Les époques moderne et contemporaine	23
IV- Problématique	25
V- Stratégie et méthode mise en œuvre	26
VI- Traitement et archivage des données	26
VII- Les occupations archéologiques	26
VII.1- Néolithique et âges des métaux	28
VII.2- L'Antiquité	28
VII.2.1- L'enclos est	30
VII.2.1.1- Le fossé externe (Fo64, Fo76, Fo88, Fo95)	30
VII.2.1.2- Le fossé interne (Fo65, Fo75, Fo87, Fo96)	30
VII.2.1.3- Les structures liées à l'enclos est	38
VII.2.1.3.a- La fosse F133	38
VII.2.1.3.b- La fosse F140	38
VII.2.1.3.c- La sépulture S94 (M. Decofour sous la direction de J.-G. Pariat)	38
VII.2.2- L'enclos ouest	55
VII.2.2.1- La bordure est (Fo98, Fo99, Fo 102, Fo 135)	55
VII.2.2.2- La bordure nord (Fo111)	59
VII.2.2.3- Les structures liées à l'enclos ouest	59
VII.2.2.3.a- La fosse F100	59
VII.2.2.3.b- La fosse F103	61
VII.2.3- Perspectives	62

VII.3- Le Moyen-Âge (J.-G. Pariat, F. Trouvé)	62
VII.3.1- Observations générales sur la voie V81	62
VII.3.2- État de conservation	62
VII.3.3- Le mobilier	63
VII.3.4- Perspectives	63
VII.4- L'époque moderne (J.-G. Pariat, P. Carvalho)	66
VII.4.1- Le moulin et ses abords (P. Carvalho)	66
VII.4.1.1- Étude documentaire préalable	66
VII.4.1.2- Le moulin	69
VII.4.1.2.a- Les fondations du moulin	69
VII.4.1.2.b- Les structures en creux associées au moulin	72
VII.4.1.2.c- Comparaisons	72
VII.4.1.3- Les structures annexes	74
VII.4.1.3.a- Une unité d'habitation ?	74
VII.4.1.3.b- Le parcellaire	81
VII.4.1.3.c- Comparaisons	84
VII.4.1.4- Perspectives	84
VII.4.2- Les autres structures	86
VII.5- L'époque contemporaine (J.-G. Pariat, F. Trouvé)	88
VII.5.1- Des délimitations de jardin	90
VII.5.2- Des fosses de plantation	92
VII.5.3- Les structures indéterminées	92
VII.6- Les structures d'époque indéterminée	98
VII.6.1- Les tronçons de fossé	98
VII.6.2- Les fosses	98
Conclusion générale	111
La structuration du territoire (F. Trouvé)	111
Un territoire fréquemment occupé au fil du temps (J.-G. Pariat)	116
Bibliographie	117
Liste des figures	121
Annexe 1	125
Annexe 2	154
Annexe 3	

FICHE SIGNALÉTIQUE

Région : Île-de-France
Département : Val d'Oise (95) **Commune :** Villeron **Code INSEE :** 95675
Lieu-dit ou adresse : Route de l'Ormet
Cadastre : Section AB – parc. 22-79-80- 96-98
Coord. Lambert 1 : **X :** 614 883 **Y :** 1 151 103 **altitude :** 117 à 120 m NGF
 Lambert 93 : **X :** 666 395 **Y :** 6 884 563
Propriétaire du terrain : Mme Granday (AB79, AB80), France Pierre (AB22),
 M. Plasmans (AB 96, AB 98)

Arrêté de prescription n° : 2013-525 en date du 02/10/2013
Arrêté de désignation n° : 2013-569 en date du 05/11/2013
Responsable désigné : Jean-Gabriel Pariat
Organisme de rattachement : Conseil Général du Val d'Oise.
Maître d'ouvrage des travaux : Nexity Immobilier
Nature de l'aménagement : Construction d'un quartier à usage d'habitation
Opérateur chargé des travaux : Service Départemental d'Archéologie du Val d'Oise (SDAVO)

Surface du projet d'aménagement : 135 000 m²
Dates d'intervention sur le terrain : 25 novembre 2013 – 10 janvier 2014
Surface diagnostiquée : 12 651 m² **% de la surface sondée :** 9,37 %

Résultats

Problématique de recherche et principaux résultats :
Les travaux de construction d'un quartier à usage d'habitation sont susceptibles d'affecter des éléments du patrimoine archéologique et historique. L'attention des services de l'Etat a été alertée en particulier par la présence dans l'emprise du projet d'un chemin médiéval.
Résultats : Les investigations réalisées ont révélé des indices ténus d'occupation néolithique, une portion d'enclos romaine ainsi qu'une tombe, une voie médiévale, enfin un moulin et son habitat modernes.

Lieu de dépôt temporaire du matériel archéologique :
Service départemental d'archéologie du Val d'Oise
Abbaye de Maubuisson
Rue Richard-de-Tour
95310 Saint Ouen l'Aumône

INTERVENANTS ET MOYENS MIS EN ŒUVRE

Intervenants scientifiques :

SRA :	Yves Roumégoux	Conservateur en charge du dossier
SDAVO :	Jean-Gabriel Pariat	Responsable scientifique

Intervenants administratifs :

DRAC Ile-de-France, SRA :	Yves Roumégoux	Conservateur régional de l'archéologie
SDAVO :	Patrice Rodriguez	Chef de service
	Hélène Djema	Responsable archéologie préventive

Aménageur : Conseil général 95

Financement : Redevance

Terrain :

Préparation : Fanny Trouvé, Hélène Djema, Jean-Gabriel Pariat

Diagnostic : Jean-Gabriel Pariat, Pauline Carvalho, Morgane Decofour

Topographie : Jean Gabriel Pariat

Géomorphologie: Patrice Wuscher

Photographies : Jean-Gabriel Pariat, Pauline Carvalho, Morgane Decofour, Patrice Wuscher

Post-fouille :

<i>Archéogéographie :</i>	Fanny Trouvé	SDAVO
---------------------------	--------------	-------

<i>Anthropologie :</i>	Morgane Decofour	SDAVO
------------------------	------------------	-------

<i>Conservation, Restauration</i>	F. Dussère	SDAVO
-----------------------------------	------------	-------

<i>Expertise métal :</i>	Aurélien Lefeuvre	SDAVO
--------------------------	-------------------	-------

<i>Expertise céramique :</i>	Véronique Pissot	INRAP
	Caroline Touquet Laporte-Cassagne	SDAVO
	François Renel	INRAP

<i>Étude du bâti médiéval et moderne :</i>	Pauline Carvalho	SDAVO
	Ivan Lafarge	Bureau de l'Archéologie (CG93)

<i>Géomorphologie :</i>	Patrice Wuscher	INRAP
-------------------------	-----------------	-------

<i>Numismatie :</i>	Bruno Foucray	SRA Île-de-France
---------------------	---------------	-------------------

<i>Radiographie :</i>	M. Renou	CH René Dubos (Pontoise)
-----------------------	----------	--------------------------

Intervenants techniques :

Terrassement mécanique : 1 pelleteuse hydraulique de 22 tonnes sur chenilles, avec godet de curage de 3 m.

Conducteurs : Philippe Hamel (Société Beausaire)

MOTS CLÉS DES THESAURUS

Chronologie :

<input type="checkbox"/>	Paléolithique
<input type="checkbox"/>	inférieur
<input type="checkbox"/>	moyen
<input type="checkbox"/>	supérieur
<input type="checkbox"/>	Mésolithique et Épipaléolithique
<input checked="" type="checkbox"/>	Néolithique
<input type="checkbox"/>	ancien
<input type="checkbox"/>	moyen
<input type="checkbox"/>	récent
<input type="checkbox"/>	Chalcolithique
<input checked="" type="checkbox"/>	Protohistoire
<input checked="" type="checkbox"/>	Âge du Bronze
<input type="checkbox"/>	ancien
<input type="checkbox"/>	moyen
<input type="checkbox"/>	récent
<input checked="" type="checkbox"/>	Âge du Fer
<input checked="" type="checkbox"/>	Halstatt (premier âge du Fer)
<input type="checkbox"/>	La Tène (second âge du Fer)

<input checked="" type="checkbox"/>	Antiquité romaine (gallo-romain)
<input type="checkbox"/>	République romaine
<input checked="" type="checkbox"/>	Empire romain
<input checked="" type="checkbox"/>	Haut-Empire (jusqu'en 284)
<input type="checkbox"/>	Bas-Empire (de 285 à 476)
<input checked="" type="checkbox"/>	Époque médiévale
<input type="checkbox"/>	haut Moyen Âge
<input type="checkbox"/>	Moyen Âge
<input checked="" type="checkbox"/>	bas Moyen Âge
<input checked="" type="checkbox"/>	Temps modernes
<input checked="" type="checkbox"/>	Époque contemporaine
<input type="checkbox"/>	Ère industrielle

Sujets et thèmes :

<input type="checkbox"/>	Édifice public
<input type="checkbox"/>	Édifice religieux
<input type="checkbox"/>	Édifice militaire
<input type="checkbox"/>	Bâtiment
<input type="checkbox"/>	Structure funéraire
<input checked="" type="checkbox"/>	Voirie
<input type="checkbox"/>	Hydraulique
<input type="checkbox"/>	Habitat rural
<input type="checkbox"/>	Villa
<input type="checkbox"/>	Bâtiment agricole
<input type="checkbox"/>	Structure agraire
<input type="checkbox"/>	Urbanisme
<input checked="" type="checkbox"/>	Maison
<input type="checkbox"/>	Structure urbaine
<input type="checkbox"/>	Foyer
<input checked="" type="checkbox"/>	Fosse
<input checked="" type="checkbox"/>	Sépulture
<input type="checkbox"/>	Grotte
<input type="checkbox"/>	Abri
<input type="checkbox"/>	Mégalithe

<input checked="" type="checkbox"/>	Artisanat alimentaire
<input type="checkbox"/>	Argile : atelier
<input type="checkbox"/>	Atelier métallurgique
<input type="checkbox"/>	Artisanat
<input type="checkbox"/>	Autre

Nb	Mobilier
<input checked="" type="checkbox"/>	8 Industrie lithique
<input type="checkbox"/>	Industrie osseuse
<input checked="" type="checkbox"/>	477 Céramique
<input type="checkbox"/>	Restes végétaux
<input checked="" type="checkbox"/>	650 Faune
<input type="checkbox"/>	Flore
<input checked="" type="checkbox"/>	143 Objet métallique
<input type="checkbox"/>	Arme
<input type="checkbox"/>	Outil
<input type="checkbox"/>	Parure
<input type="checkbox"/>	Habillement
<input type="checkbox"/>	Trésor
<input checked="" type="checkbox"/>	8 Monnaie
<input checked="" type="checkbox"/>	125 Verre
<input type="checkbox"/>	Mosaïque
<input type="checkbox"/>	Peinture
<input type="checkbox"/>	Sculpture
<input type="checkbox"/>	Inscription
<input checked="" type="checkbox"/>	73 Autre

<input checked="" type="checkbox"/>	Études annexes
<input checked="" type="checkbox"/>	Géologie
<input type="checkbox"/>	Datation
<input checked="" type="checkbox"/>	Anthropologie
<input type="checkbox"/>	Paléontologie
<input type="checkbox"/>	Zoologie
<input type="checkbox"/>	Botanique
<input type="checkbox"/>	Palynologie
<input type="checkbox"/>	Macrorestes
<input type="checkbox"/>	An. de céramique
<input type="checkbox"/>	An. de métaux
<input type="checkbox"/>	Acq. des données
<input checked="" type="checkbox"/>	Numismatique
<input checked="" type="checkbox"/>	Conservation
<input checked="" type="checkbox"/>	Restauration
<input type="checkbox"/>	Autre

TABLEAU RÉCAPITULATIF DES RÉSULTATS

Chronologie	Structures	Mobilier	Interprétation
Néolithique	Isolat : 4	Lithique Céramique (néolithique ou protohistorique)	
Protohistoire	Isolat : 3	Céramique	
Antiquité	Sépulture : 1 Fosses : 3 Fossés : 16	Céramique Os humains Métal Faune	Funéraire ? Domestique ? Bornage ?
Moyen Âge	Voie : 1 Fossé : 1	Céramique	Voirie
Époque moderne	Voie : 1 Mur : 1 Fondation de bâtiment : 2 Fossés : 7 Fosses : 26 Trou de poteau : 3 Indéterminés : 2	Céramique Métal Verre Lapidaire	Voirie Moulin à vent Habitat Fosses de plantation Bâtiments annexes ?
Époque contemporaine	Fosses : 4 Fossés : 7 Indéterminés : 2	Céramique Métal Verre	Fosses de plantation Délimitation de jardins
Indéterminés	Fosses : 27 Fossés : 21 Isolat : 1 Indéterminés : 4	Métal TCA Faune Verre Lithique	

NOTICE SCIENTIFIQUE

Notice scientifique résumant les principaux résultats de l'opération

Un diagnostic archéologique s'est déroulé du 25 novembre 2013 au 10 janvier 2014 sur la commune de Villeron (Val d'Oise) au lieu-dit « Route de l'Ormet ». Cette opération a été motivée par la construction d'un quartier à usage d'habitation par les sociétés Nexity et France Pierre. Le diagnostic a porté sur une surface de 135 000 m², sondée sur 12 651 m², soit 9,37 %. Les recherches archéologiques, menées par le service départemental d'archéologie du Val d'Oise (SDAVO), ont révélé la présence d'occupations ou d'indices d'occupations allant de la Préhistoire récente jusqu'à l'époque contemporaine.

Quelques pièces lithiques attribuées au Néolithique ou à l'âge du Bronze ont été découvertes mais hors contexte ou en position secondaire, au sud-est de l'emprise. Des fragments de céramique ont également été découverts dans cette zone, majoritairement hors contexte. L'un des renvoie à l'âge du Bronze ou au Premier âge du Fer. Tous ces indices suggèrent une occupation pré- ou protohistorique proche de la zone de découverte.

La partie ouest de l'emprise a révélé une occupation antique notamment caractérisée par un enclos principal à double fossé et un second enclos éventuellement à double fossé se développant vers l'ouest. L'enclos principal a livré des monnaies, probablement des sesterces, et des vestiges céramiques allant du I^e s. av. J.-C. au II^e s. ap. J.-C, traduisant une occupation pérenne du site à cette période. Cependant, la nature de l'occupation antique est difficile à établir. En effet, le rôle des différents fossés est complexe à déterminer. Plusieurs fosses sont liées aux enclos mais leur caractérisation reste, elle aussi, sujette à interrogation. La découverte d'une tombe à inhumation datée entre le dernier tiers du II^e et le début du III^e s. ap. J.-C. liée aux aménagements fossoyés complique l'interprétation de cette implantation humaine.

Le Moyen Âge est représenté par l'avenue de Saint-Germain, orientée selon un axe nord-ouest / sud-est. La voie, à usage sans doute local, était encore visible aujourd'hui dans le paysage sous la forme d'un dénivelé. Le mobilier mis au jour atteste de l'utilisation de la voie du Second Moyen Âge à l'époque moderne.

Plusieurs structures documentent la période moderne. Les fondations d'un moulin à vent ainsi qu'un bâtiment d'habitation ont été mis au jour dans la partie sud-ouest de l'emprise. La découverte de cet ensemble complète les données des cartes anciennes, sur lesquelles apparaissait le moulin. Quelques autres structures dans la partie est témoignent d'une occupation moderne plus lâche dans le reste du site.

Des fosses de plantation et des fossés de délimitation de jardin dans la partie est de l'emprise attestent d'une occupation contemporaine. À cette période, le site ne semble plus dévolu qu'à des pratiques culturelles de jardins et de vergers.



Liberté • Égalité • Fraternité
RÉPUBLIQUE FRANÇAISE

PRÉFET DE LA RÉGION D'ILE-DE-FRANCE

Direction régionale
des affaires culturelles d'Ile-de-France

Affaire suivie par : Yves ROUMEGOUX
Service régional de l'archéologie
Tél. : 01 56 06 51 79
Fax : 01 56 06 52 01
Mél : yves.roumegoux@culture.fr
BF/YR/ [2013-1540] 2013 n° **3669**
Votre dossier réf.: JCL / PM - LRAR N° 1A 074 706 2470 5



Arrêté n° : 2013-525

Le Préfet de la région d'Ile-de-France

VU le code du patrimoine, livre V ;

VU les décrets n° 2011-573 et 2011-574 du 24 mai 2011 relatifs à la partie réglementaire du code du patrimoine ;

VU le dossier adressé en date du 14/05/2013, référence JCL / PM - LRAR N° 1A 074 706 2470 5, concernant des terrains situés à 95380 Villeron, Route de l'Ormet, par **NEXITY IMMOBILIER RESIDENTIEL** permettant d'établir les emprises du projet et de calculer les superficies soumises à diagnostic ; reçu à la Direction régionale des affaires culturelles - service régional de l'archéologie le 17/05/2013 ;

CONSIDERANT que, en raison de leur nature et de leur localisation, les travaux envisagés sont susceptibles d'affecter des éléments du patrimoine archéologique ;

CONSIDERANT qu'il est nécessaire de mettre en évidence et de caractériser la nature, l'étendue et le degré de conservation des vestiges archéologiques éventuellement présents afin de déterminer le type de mesures dont ils doivent faire l'objet ;

ARRETE

Article 1er : Un diagnostic archéologique sera réalisé sur le terrain faisant l'objet des aménagements, ouvrages ou travaux susvisés, sis en :

région : Ile-de-France

département : Val-D'Oise

commune : Villeron

adresse : Route de l'Ormet

cadastre : Section AB - parc. 22- 79- 80- 96- 98

propriétaire : **NEXITY IMMOBILIER RESIDENTIEL**

Le diagnostic archéologique comprend, outre une phase d'exploration du terrain, une phase d'étude qui s'achève par la remise du rapport sur les résultats obtenus.

Article 2 : Le diagnostic sera réalisé sous la maîtrise d'ouvrage de l'Institut National de Recherches Archéologiques Préventives ou du service archéologique de collectivité territorialement compétent, agréé au titre de l'article L. 522-8 du code du patrimoine (Conseil général du Val-d'Oise - Service départemental d'archéologie du Val-d'Oise). Les conditions de sa réalisation seront fixées contractuellement en application des articles R 523-30 à R 523-32 du code du patrimoine susvisé. Le demandeur devra s'assurer que les terrains sont en état d'être diagnostiqués. Entre autre, il devra avoir préalablement réglé les questions d'accessibilité et de sécurité et obtenu les autorisations du ou des propriétaires et ayant-droits.

Il sera exécuté conformément au projet d'opération élaboré par le maître d'ouvrage désigné pour réaliser le diagnostic archéologique sur la base des prescriptions suivantes :

Objectifs : mise en évidence de la présence ou de l'absence de vestiges archéologiques. Dans l'éventualité de présence de vestiges, l'opération devra caractériser lesdits vestiges : état de conservation, profondeur d'enfouissement, épaisseur des niveaux archéologiques, densité, attribution chronologique, surface concernée.

Principes méthodologiques : réalisation de tranchées d'évaluation ou de sondages ponctuels, adaptés à la morphologie et à la topographie du terrain, avec élargissements localisés autour des vestiges structurés. La surface ouverte en sondage doit être au minimum égale à 10 % de l'emprise du projet. Un quart des structures mises au jour doit être testé au minimum. Préalablement au démarrage sur le terrain de l'opération de diagnostic, le responsable scientifique désigné prendra contact avec l'agent du Service régional de l'archéologie chargé du suivi de cette opération, afin d'établir un premier bilan de la documentation existante sur l'environnement géologique, historique et archéologique.

Qualification du responsable scientifique : archéologue généraliste en milieu rural rompu au traitement de grandes superficies en aire ouverte

Article 3 : Le diagnostic portera sur une emprise de 135000 m² conformément au plan joint.

Article 4 : Le service régional de l'archéologie adressera l'inventaire, transmis par l'Institut National de Recherches Archéologiques Préventives ou le service archéologique de collectivité territorialement compétent, agréé au titre de l'article L. 522-8 du code du patrimoine, des vestiges archéologiques mobiliers recueillis au cours de l'opération de diagnostic à la personne physique ou morale propriétaire du terrain à la date de début de l'intervention archéologique et l'informer de ses droits.

Le mobilier archéologique ne pourra cependant donner effectivement lieu au partage, prévu par l'article L. 531-11 du code du patrimoine susvisé, qu'au terme de son étude scientifique et après remise du rapport d'opération au service régional de l'archéologie, laquelle remise intervient après l'achèvement de la phase terrain du diagnostic.

La propriété du mobilier archéologique est fixée, après les délais légaux d'étude et de revendication, par l'article L. 523-14 du code du patrimoine.

Article 5 : La directrice régionale des affaires culturelles est chargée de l'exécution du présent arrêté, qui sera notifié à NEXITY IMMOBILIER RESIDENTIEL et au(x) maître(s) d'ouvrage nommé(s) à l'article 2 du présent arrêté.



Paris, le 02/10/2013

Pour le Préfet de la région d'Ile-de-France
et par délégation,

pour la directrice régionale des affaires culturelles

J.M. Gouedo
Jean-Marc Gouedo
conservateur en chef du patrimoine,
adjoint au conservateur régional
de l'archéologie d'Ile-de-France

Bruno Foucray
Bruno Foucray
Conservateur régional de l'archéologie d'Ile-de-France

Original : INRAP Direction Centre/Ile-de-France - 31, rue Delizy - 93698 Pantin cedex

Service archéologique de collectivité agréé (Conseil général du Val-d'Oise - Service départemental d'archéologie du Val-d'Oise - Abbaye de Maubuisson - 95310 Saint-Ouen-l'Aumône)

Copies : NEXITY IMMOBILIER RESIDENTIEL - IDF individuel et seconde couronne - Monsieur Pierre MERCIER - 1, Terrasse Bellini - TSA 48200 - 92919 Paris La Défense Cedex



Liberté • Égalité • Fraternité
RÉPUBLIQUE FRANÇAISE

PRÉFET DE LA RÉGION D'ILE-DE-FRANCE

Direction régionale
des affaires culturelles d'Ile-de-France

Affaire suivie par : Yves ROUMEGOUX
Service régional de l'archéologie
Tél. : 01 56 06 51 79
Fax : 01 56 06 52 01
Mél : yves.roumegoux@culture.fr
BF/YR/ [2013-1540] 2013 n°
Votre dossier réf.: JCL / PM - LRAR N° IA 074 706 2470 5

4031

Arrêté n°:2013-569



Le Préfet de la région d'Ile-de-France

VU le code du patrimoine, livre V ;
VU les décrets n° 2011-573 et 2011-574 du 24 mai 2011 relatifs à la partie réglementaire du code du patrimoine, notamment les articles R 522-1 et R 523-22 ;

Vu l'arrêté n° 2013-555 en date du 02/10/2013 portant prescription de diagnostic archéologique sur le terrain situé :
Route de l'Ormet à Villeron ;

CONSIDERANT que, en raison de leur nature et de leur localisation, les travaux envisagés sont susceptibles d'affecter des éléments du patrimoine archéologique et qu'une opération de diagnostic doit être mise en place ;

ARRETE

Article 1 : L'opération sera réalisée sous la maîtrise d'ouvrage du Conseil général du Val-d'Oise - Service départemental d'archéologie du Val-d'Oise. Les conditions de sa réalisation sont fixées par convention.

Article 2 : Monsieur Jean-Gabriel PARIAT est désigné(e) comme responsable scientifique du diagnostic.

Article 3 : La directrice régionale des affaires culturelles est chargée de l'exécution du présent arrêté, qui sera notifié au Conseil général du Val-d'Oise - Service départemental d'archéologie du Val-d'Oise.

Paris, le 05/11/2013

Pour le Préfet de la région d'Ile-de-France
et par délégation,
pour la directrice régionale des affaires culturelles


Bruno Foucray
Conservateur régional de l'archéologie d'Ile-de-France

Original : Intéressé
Copies : Maître d'ouvrage et Opérateur
Préfecture de département
Gendarmerie
Mairie de Villeron

Direction régionale des affaires culturelles d'Ile-de-France
47 rue Le Peletier 75009 Paris - standard 01 56 06 50 00 - télécopie 01 56 06 52 48
Adresse internet : www.ile-de-france.culture.gouv.fr

Introduction

Un diagnostic archéologique a été prescrit par les services de l'État au lieu-dit « Route de l'Ormet », sur la commune de Villeron (Val-d'Oise – 95), aux abords immédiats de son centre historique. Il précède l'aménagement sur 13,5 ha d'un quartier à usage d'habitation par les sociétés Nexity et France Pierre.

L'opération a été réalisée par le Service départemental d'archéologie du Val-d'Oise (SDAVO) du 25 novembre 2013 au 10 janvier 2014. L'équipe était composée de Jean-Gabriel Pariat (responsable d'opération, SDAVO), Pauline Carvalho (médiéviste, SDAVO) et Morgane Decofour (anthropologue, contractuelle).

Préalablement à l'opération, une étude archéogéographique a été réalisée par Fanny Trouvé (archéogéographe, SDAVO) et des recherches sur le contexte historique (médiéval et moderne) ont été conduites par Pauline Carvalho. Durant la phase de terrain, Patrice Wuscher (géomorphologue, INRAP) est intervenu afin de collecter des informations géologiques sur ce secteur de plateau mal connu.

Les collaborations se sont poursuivies en laboratoire et se sont enrichies notamment de l'aide d'Hélène Djema (SDAVO) pour l'étude du mobilier lithique et de Florence Dussère et Aurélien Lefeuvre (SDAVO) pour celle du mobilier métallique, exception faite des monnaies romaines confiées à Bruno Foucray (DRAC, SRAIF). Un premier regard sur la céramique antique a été réalisé par Véronique Pissot (INRAP), la céramique protohistorique ayant été expertisée par Caroline Touquet Laporte-Cassagne (SDAVO), et la céramique médiévale par François Renel (INRAP). Les vestiges funéraires ont été étudiés par Morgane Decofour sous la direction de Jean-Gabriel Pariat. Enfin, Ivan Lafarge (Bureau de l'Archéologie de Seine-Saint-Denis) a examiné quelques blocs de plâtre extraits d'une fosse moderne.

I- Contexte géographique

La commune de Villeron se trouve à 30 km au nord-est de Paris dans le département du Val-d'Oise. L'emprise du diagnostic est délimitée à l'ouest par la rue des Moulins, au sud et à l'est par la rue de l'Ormet qui dessine un coude (fig. 1). La partie nord n'est circonscrite par aucun axe de circulation actuel, les parcelles correspondant à terres agricoles.

Le terrain se situe dans la partie occidentale de la Plaine de France sur un plateau entaillé par la vallée du Crould à 500 m à l'est, de l'Ysieux à 4000 m au nord-ouest (fig.2), et par un petit vallon sec afférent au Crould à 500 m environ au nord-est.

II- Contexte et étude géomorphologique (P. Wuscher, J.-G. Pariat)

II.1- Contexte et état des connaissances (P. Wuscher)

La Plaine de France est un vaste plateau armé par le complexe éocène du calcaire de Saint-Ouen. Ce complexe est constitué de bancs marno-calcaires, de bancs calcaires plus durs et d'argiles. Il repose sur la formation des sables d'Auvers, des sables blancs, surmontés d'un banc calcareux ou gréseux. Ces sables affleurent sur les flancs des vallées qui entaillent le plateau.

Ce complexe éocène est surmonté d'une couverture limoneuse, cartographiée (Limon de plateau, LP) sur la feuille de Dammartin-en-Goële sans que son épaisseur ne soit détaillée¹. Cette couverture d'origine éolienne est liée aux épisodes froids et arides du Quaternaire. Elle est quasiment continue dans le nord de la France et en Normandie, domaines proches des sources sédimentaires (Manche notamment)². Elle renferme souvent des paléosols, qui correspondent à des épisodes climatiques plus cléments, interstadias ou interglaciaires auxquels des sites paléolithiques

1- Soyer, Labourguigne, 1971.

2- Lautridou, 1985.

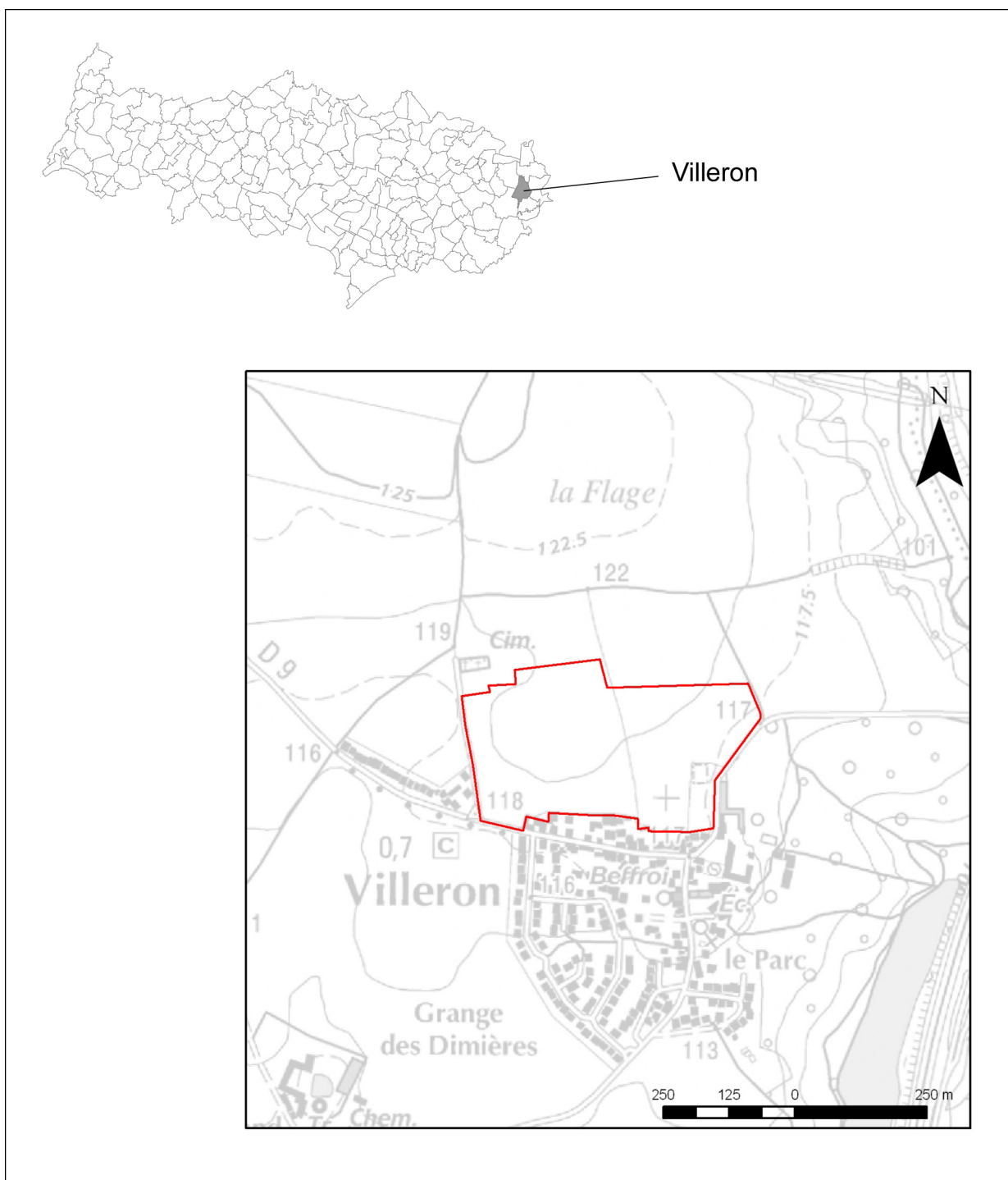


Fig. 1 : Localisation géographique de l'emprise
(mise en forme DAO : J.-G. Pariat, SDAVO)

sont fréquemment associés³. Ce potentiel archéologique est bien illustré par le site de Villiers-Adam (Val-d'Oise), site de référence pour l'Île-de-France et le Nord de l'Europe, notamment pour le dernier cycle glaciaire, le Weichselien (entre 110 000 et 16 000 ans avant le Présent)⁴, distant de moins de 30 km de Villeron.

Le secteur investi ici est situé à la marge du
3- voir par exemple Antoine et al., 2003.
4- Loch et al., 2003.

domaine loessique *stricto sensu* et les dépôts sont enrichis en sédiments issus de la déflation locale de formations meubles du Tertiaire⁵.

Les limons éoliens du dernier maximum glaciaire weichselien (entre 26 000 et 16 000 ans avant le présent environ) ont généralement évolué en surface depuis le Tardiglaciaire (à 5- « Lœss régionaux » définis par Lautridou, 1985, pistes de recherche pour le Val-d'Oise dans Lebre et Halbout, 1991.

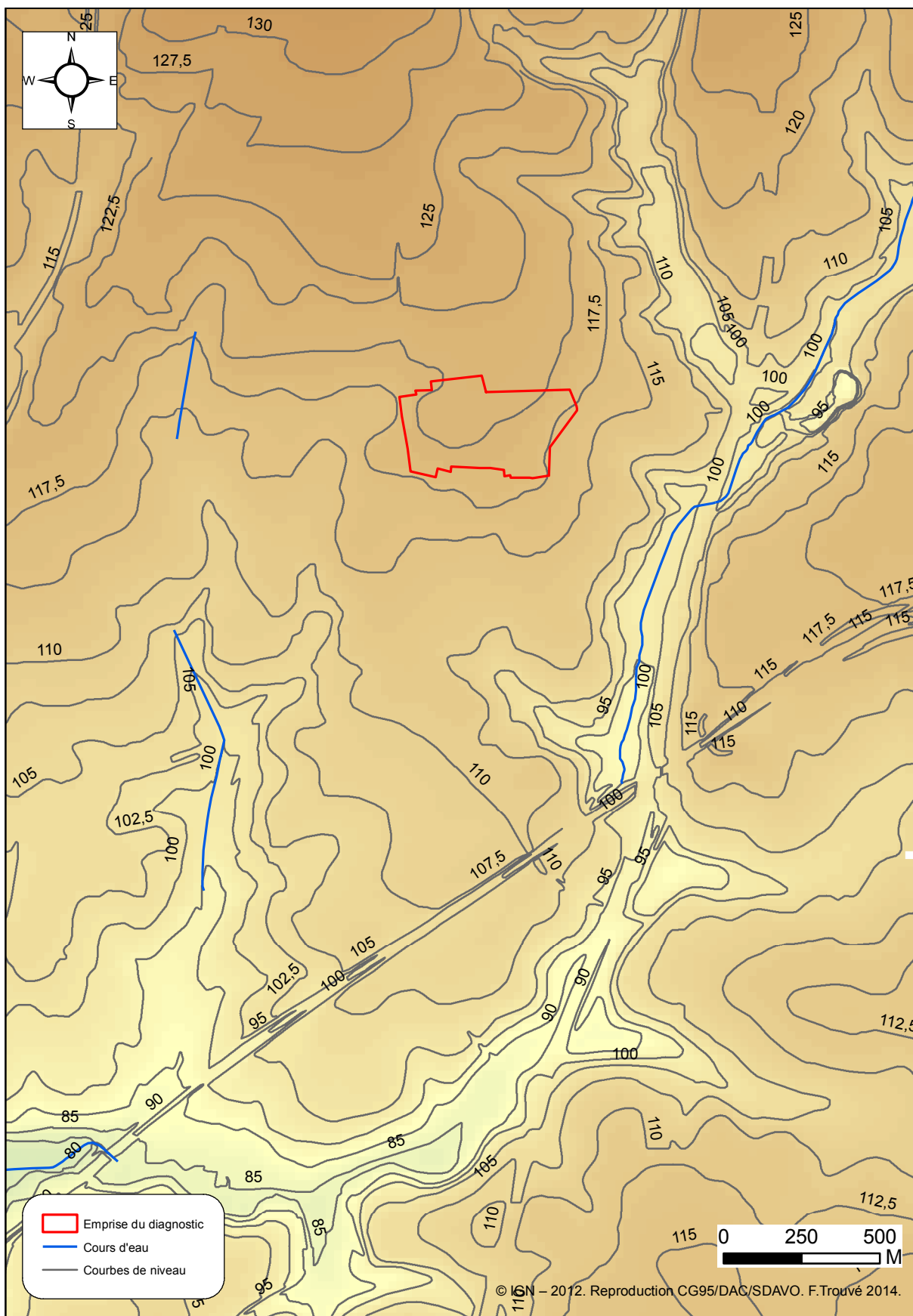


Fig. 2 : Contexte topographique
(mise en forme DAO : F. Trouvé, SDAVO)

partir de 13 000 ans avant le présent) en sol brun lessivé (luvisol)⁶. Généralement épais (au moins 1 m), ce type de sol comprend de haut en bas : un horizon A, mixte, organique et minéral, humifère sous forêt, le plus souvent labouré ; un horizon E, plus ou moins blanchi, appauvri en argile ; un horizon Bt, enrichi en argile, de couleur brune orangée ; éventuellement un horizon Bca, marqué par des carbonatations secondaires (poupées, pseudomycélium..) ; un horizon C, des limons éoliens non transformés, dont la teneur en argile est, normalement, comprise entre celle de l'horizon E et celle du Bt⁷. La question de l'âge exact et des rythmes de ces transformations pédologiques reste posée dans la région. Ces horizons se développent-ils durant l'interglaciaire holocène⁸ ou principalement au Tardiglaciaire⁹ ? Ces sols développés sur limons loessiques sont particulièrement riches du point de vue agronomique, mais très sensibles à l'érosion. Il semble possible d'apprécier le degré d'érosion de ces sols au regard de la profondeur d'apparition de l'horizon Bt¹⁰. Il est en effet admis que lorsque le sommet de cet horizon se trouve à une profondeur inférieure à 40 cm, une partie du sol est tronquée¹¹.

II.2- Résultats à l'issue de l'intervention de terrain (P. Wuscher, J.-G. Pariat)

II.2.1- Contexte d'intervention (J.-G. Pariat)

L'implantation des sondages profonds a été pensée en amont de l'opération en lien avec H. Djema et P. Wuscher. La stratégie adoptée a poursuivi un double objectif : couvrir au mieux l'emprise des parcelles à diagnostiquer pour documenter les formations superficielles et permettre la détection de sites paléolithiques. Pour ce faire, les sondages ont été localisés suivant le sens des pendages naturels afin d'obtenir des transects.

Deux séries de sondages ont été implantées en croix de façon à suivre le double pendage du terrain (fig. 3). La première série comprend six ouvertures espacées de 66 m selon un axe nord-ouest / sud-est entre les tranchées 4 et 22 (fig. 4). La seconde série est composée de trois sondages disposés perpendiculairement à la diagonale précédente, entre les tranchées 8, 10, 11 et 13 espacés de 100 m selon un axe nord-est / sud-ouest (fig. 5). Enfin, un dernier sondage a été réalisé à l'ouest afin de couvrir au mieux l'étendue du terrain (Sd 10, fig. 6). Ces dix sondages couvrent une surface totale de 350 m², soit 0,25 % de la superficie de l'emprise. Le taux d'ouverture des niveaux pléistocènes reste donc faible.

Dans l'ensemble, et de façon très générale, les dix sondages partagent de nombreux points communs. Le plus profond d'entre eux a été pratiqué jusqu'à 4 m de profondeur (Sd 2, fig. 7 et 8) en respectant des paliers de sécurité et le moins profond atteint 3 m sous la surface. Les dix sondages font apparaître des séquences exclusivement limoneuses qui recouvrent le Calcaire de Saint-Ouen.

Dans les grandes lignes, l'épaisseur de la couche végétale oscille entre 20 et 40 cm. Puis l'on observe à trois reprises (Sd1, 3, 4) un horizon de limon argilo-sableux brun-gris clair compact sur 10 cm d'épaisseur. L'horizon sous-jacent est un limon argilo-sableux brun-orangé compact (Bt) dont l'épaisseur oscille entre 70 cm et 1,10 m. La séquence suivante correspond à des limons légèrement sablo-argileux calcaire, beige-jaune (gleys) dont l'épaisseur maximum est de 1,64 m dans le haut de pente (Sd 8). Enfin, l'horizon inférieur est un limon légèrement sablo-argileux, brun, avec une structure bioturbée à grumeleuse. Ces différents sondages ont permis la mise en évidence de sols pédologiques propices à des occupations très anciennes (Pléistocène). Cependant, aucun vestige archéologique n'y a été recueilli. Afin de compléter nos connaissances, trois sondages ont été sélectionnés (Sd 5, 6, 7) pour un examen géomorphologique approfondi (étude P. Wuscher/INRAP).

6- Duchaufour, 2001.

7- Lozet et Matthieu, 2002 et Duchaufour, 2001.

8- Duchaufour 2001.

9- Van Vliet-Lanoe et al. 1992.

10- Wuscher et al., 2012.

11- Langohr 2001, Roque 2003

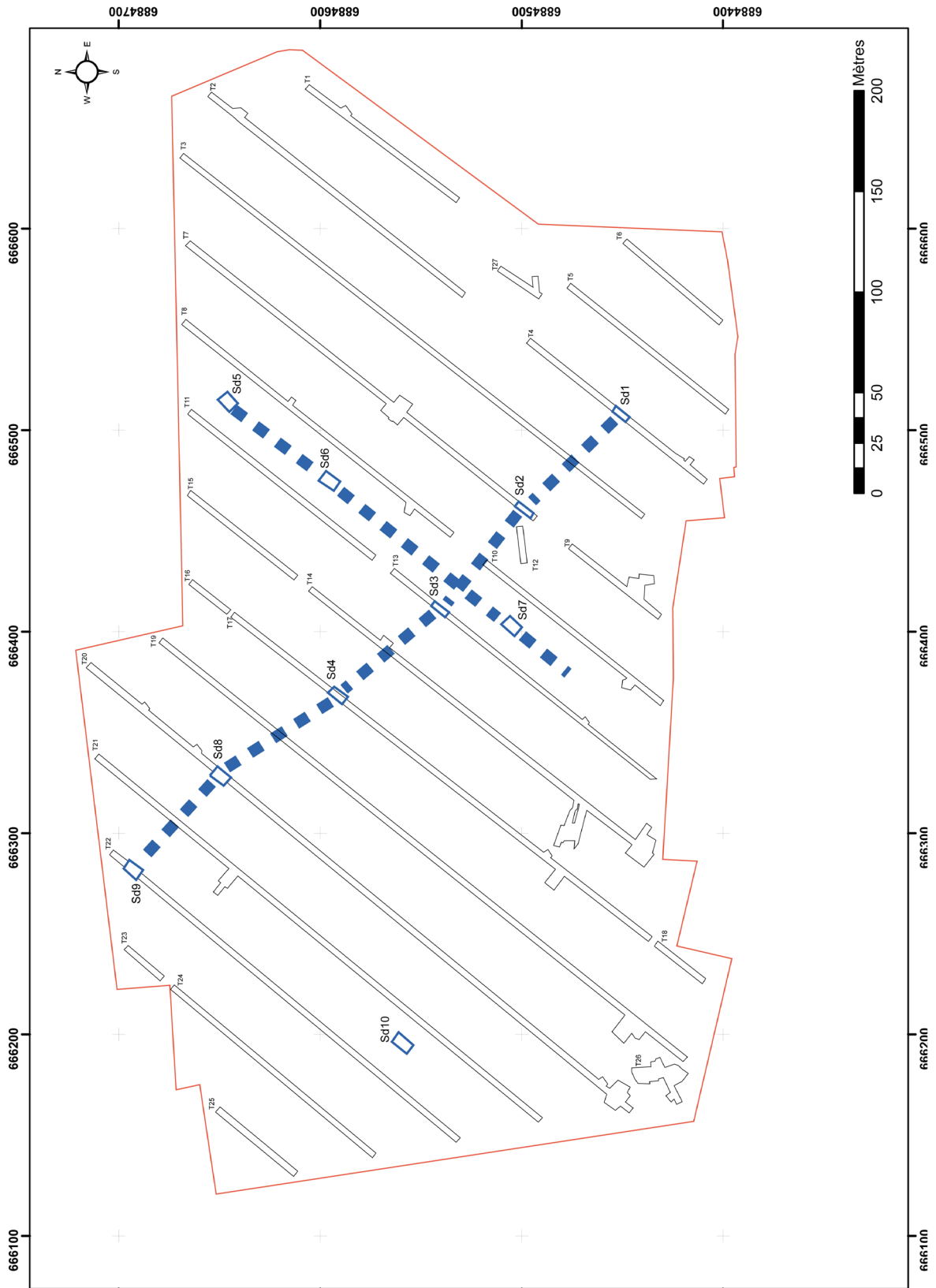
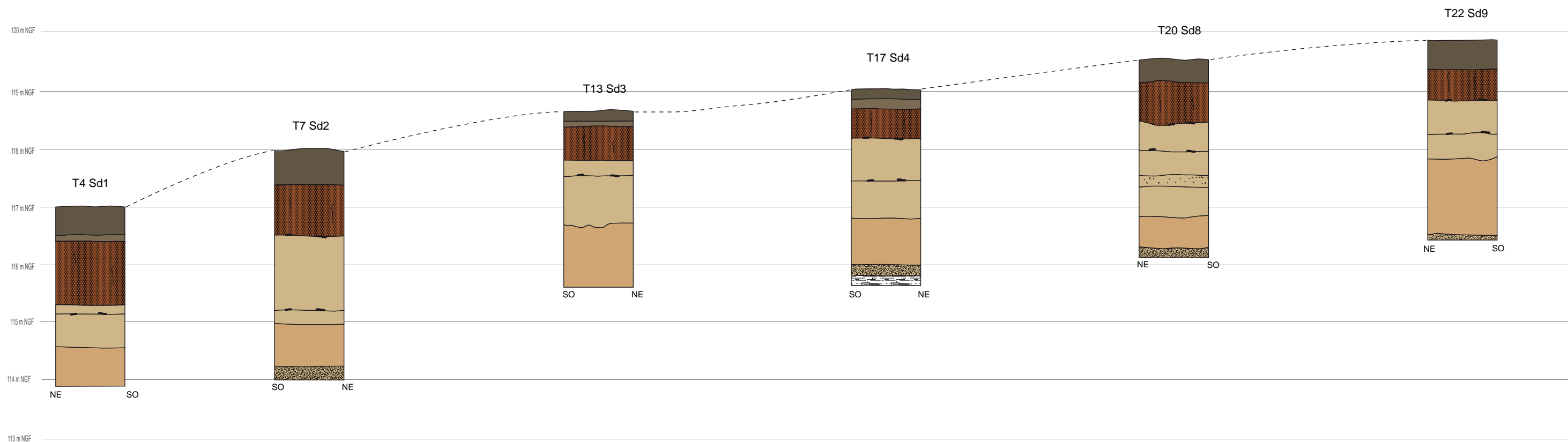


Fig. 3 : Localisation des sondages profonds dans l'emprise du diagnostic
(Topographie et DAO : J.-G. Pariat, SDAVO)











-  Terre végétale
-  Limon argilo-sableux brun-gris clair compact
-  Limon argilo-sableux brun orangé compact (horizon Bt)
-  Limon légèrement sablo-argileux calcaire, beige jaune (gleis)
-  Limon sablo-argileux avec tâches noires
-  Limons légèrement sablo-argileux, brun, structure bioturbée à grumeleuse
-  Limon argileux légèrement sableux, beige avec des plages grises verdâtres
-  Calcaire, parfois enrobé d'une pellicule centimétrique d'argiles brunes noires



Fig. 4 : Profils des six sondages profonds réalisés selon un axe nord-ouest / sud-est
(DAO : J.-G. Pariat, SDAVO)

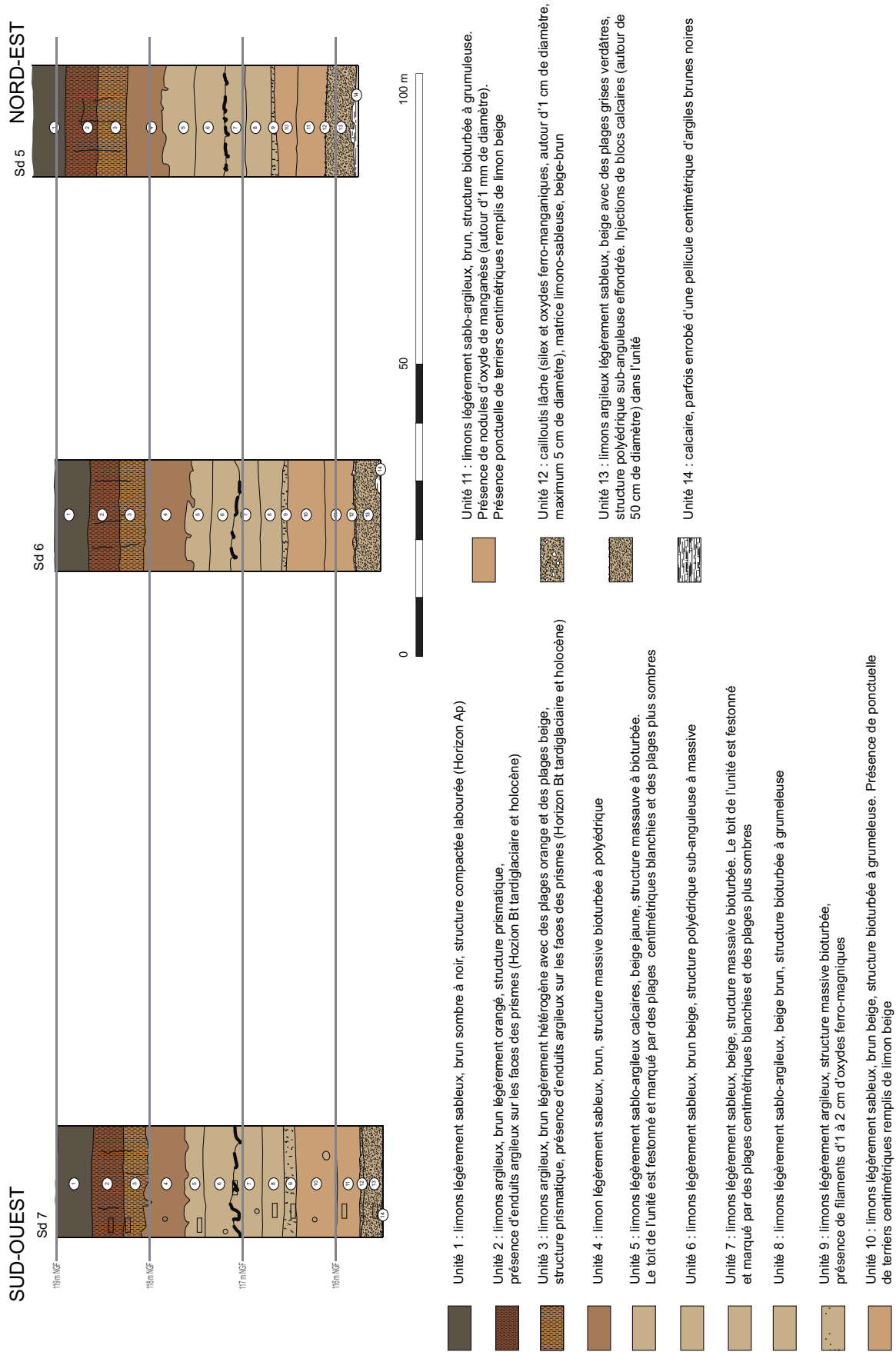


Fig. 5 : Profils des trois sondages profonds réalisés selon un axe nord-est / sud-ouest (DAO : P. Wuscher, INRAP)

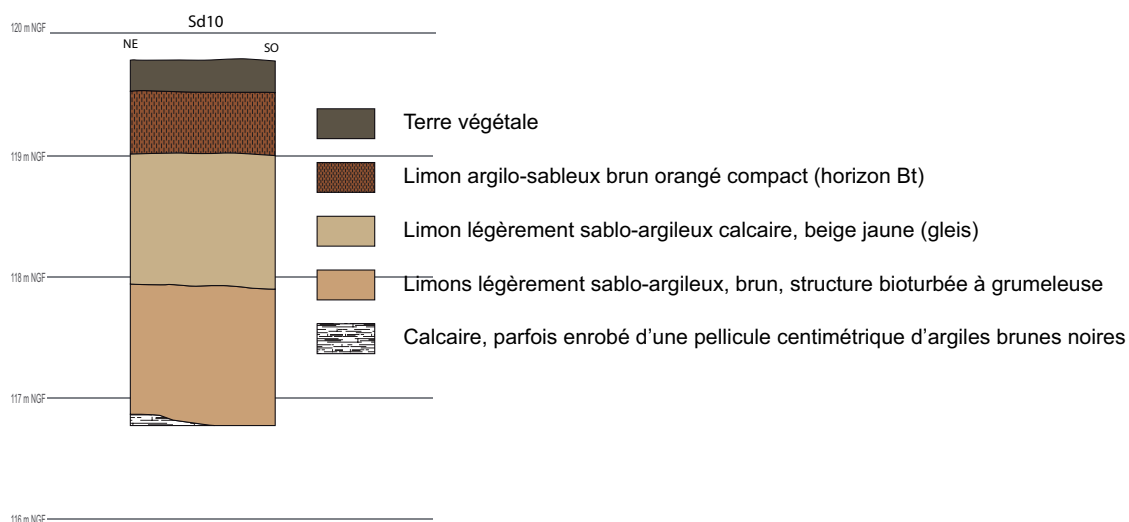


Fig. 6 : Profil du sondage 10
(DAO : J.-G. Pariat, SDAVO)

II.2.2- Les sondages 5, 6, 7 (P. Wuscher)

Trois sondages ont été ouverts pour estimer l'épaisseur et l'âge de la couverture pléistocène et holocène dans l'emprise du diagnostic. Ces travaux s'articulent avec ceux menés dans le cadre du Programme d'Activité Scientifique de l'INRAP « Paléolithique et Mésolithique en Île-de-France », coordonné par B. Souffi (INRAP), F. Blaser (INRAP) et B. Valentin (Paris I).

II.2.2.1- Unités rencontrées

La couverture sédimentaire observée s'est avérée assez homogène dans les différents sondages ouverts dans l'emprise. La séquence du sondage 7 illustre ainsi assez bien les différentes unités rencontrées. Elle sert donc de log de référence pour exposer la séquence diagnostiquée.

II.2.2.2- Discussion et propositions chronostratigraphiques

L'interprétation des unités rencontrées s'appuie sur les séquences stratigraphiques de référence du Nord de la France, notamment celle de Villiers-Adam, distante de moins d'une trentaine de kilomètres de la séquence étudiée ici¹².

12- Antoine et al. 2003, Lochet et al. 2003.



Fig. 7 : Vue générale du sondage 2 de la Tranchée 7
(Cliché : P. Wuscher, INRAP)



Fig. 8 : Détail du haut du sondage 2 de la Tranchée de la tranchée 7 avec les deux gleys de toundra (Cliché : P. Wuscher, INRAP)

Les unités 1 à 3 peuvent être interprétées comme le luvisol développé depuis le Tardiglaciaire, avec un horizon A, l'unité 1, très anthropisé et labouré, et un horizon Bt, subdivisé en deux unités, les unités 2 et 3. L'absence d'horizon entre l'horizon A et l'horizon Bt sur une grande partie de l'emprise témoigne d'une troncature partielle du profil. Il est en effet admis que lorsque l'horizon Bt se trouve à moins de 40 cm de la surface, une partie du sol a été érodée¹³.

Les unités 4, 5, 6, 7 et 8 peuvent être interprétées comme des dépôts éoliens, hypothèse confirmée par l'étude sédimentologique en cours. Les matériaux déposés ici sont bruns, quasiment non carbonatés, caractères qui tranchent avec ceux de la séquence voisine du Thillay (95)¹⁴. Ils entrent toutefois parfaitement dans la catégorie des « loëss régionaux »¹⁵.

13- Roque 2003.

14- Wuscher, 2013.

15- Lautridou, 1985.



Fig. 9 : Sondage 7, vue d'un des terriers des unités 10 et 11 (Cliché : P. Wuscher, INRAP)

Les involutions, associées à des plages plus claires ou plus sombres au sommet des unités 5 et 7 et les filaments d'oxydes ferro-manganiques de l'unité 9 (fig. 8) marquent le développement de trois gleys de toundra qui marquent des phases d'arrêt de l'accrétion loëssique. Ces horizons sont fréquents au début et durant la première moitié du Weichselien supérieur, de 30 000 jusqu'à environ 22 000 ans avant le présent¹⁶.

La structure bioturbée et la couleur des unités 10 et 11 sont liées à deux phases de pédogenèse qui témoignent de phases climatiques plus clémentes que celle des gleys de toundra et des loëss calcaires. La couleur plutôt claire de ces unités et l'absence d'enduits argileux témoignent toutefois d'une évolution pédologique peu marquée, contrainte par une certaine aridité (fig. 9). Elles évoquent les caractéristiques de sols bruns arctiques¹⁷. Les caractéristiques de ces ensembles et leur position sous des dépôts attribués au Pléniglaciaire supérieur semblent permettre une attribution au Pléniglaciaire moyen, entre 55 000 et 30 000 ans BP¹⁸.

Le cailloutis lâche (unité 10) présent à la base de ces paléosols témoigne d'une troncature. Ce type de formation a été observé fréquemment dans le Val-d'Oise¹⁹, où il semble marquer le bilan des oscillations de grande ampleur du Weichselien ancien et du Weichselien inférieur (de 110 000 à

16- Moine et al., 2011.

17- Antoine et al., 2003, Jamet, 2011.

18- Antoine et al., 2003.

19- Lebreton et Halbout, 1991.

55 000 ans avant le présent)²⁰.

La probable troncature de la séquence rend difficile la proposition d'un âge pour l'unité 13, un dépôt de pente intégrant des matériaux du substrat tertiaire sous-jacent.

II.2.2.3- Synthèse

La mise en évidence d'une séquence de limons lœssiques de 3 m à 4 m d'épaisseur sur plusieurs hectares apparaît comme le premier intérêt du terrain investi ici. Plusieurs horizons pédologiques indiquant des phases de stabilité et de réchauffement climatique relatif, propices aux occupations humaines, ont été mis en évidence. D'après les horizons repères observés et par analogie avec les séquences de référence du Nord de la France, cette séquence semble documenter les cinquante derniers millénaires. Des datations OSL des sédiments prélevés ici devraient permettre d'étayer ces premières hypothèses (fig. 10). Il faut ajouter qu'étant donnée la nature du substrat marno-calcaire sous-jacent, qui peut se caractériser par la présence de grandes cuvettes²¹, des séquences localement plus épaisses peuvent exister dans l'emprise. Le faible maillage de sondage déployé n'a pas permis de tester cette hypothèse.

L'attribution hypothétique d'une partie de la couverture limoneuse sur plusieurs hectares au Weichselien moyen et au Weichselien supérieur répond en partie aux problématiques archéologiques du Paléolithique supérieur ancien dans le Nord de l'Île-de-France. La question principale qui se pose est celle de l'abandon du secteur par les sociétés au cours des brutales oscillations climatiques qui caractérisent ces périodes²². En cela, la question des biais taphonomiques liés à des phases de troncatures est bien sûre déterminante (Soriano, 2013). Ici, comme au Thillay (95), à Villeneuve-sous-Dammartin (77), mais aussi au Nord de Marne-la-Vallée et sur le plateau d'Orly (94)²³,

20- Synthèse pour la Somme dans Lochet et al., 2002.

21- Voir par exemple Brunet et al., 2009.

22- Soriano, 2013.

23- Wuscher et Blaser, 2013.



Fig. 10 : Sondage 7, vue des prélèvements pour datations OSL et analyses sédimentologiques. Noter le gley au sommet de la coupe (Cliché : P. Wuscher, INRAP)

des horizons attribuables à ces périodes ont été observés sur plusieurs hectares. Plusieurs sites archéologiques ont été découverts dans les horizons orangés bioturbés attribués au Weichselien moyen²⁴. En revanche, hormis les restes osseux d'équidés découverts au Thillay²⁵, aucune découverte n'a été faite dans les gleys ou les lœss attribués au Weichselien supérieur. Il est cependant difficile d'évaluer, dans l'état actuel des recherches, la part des comportements humains dans cette absence, tant les taux d'ouverture des sondages dans ces niveaux restent bas, toujours inférieur à 0,5 %²⁶.

24- Voir par exemple les sites de Chalifert et du Thillay dans Wuscher et Blaser, 2013.

25- Wuscher, 2013.

26- Wuscher et Blaser, 2013.

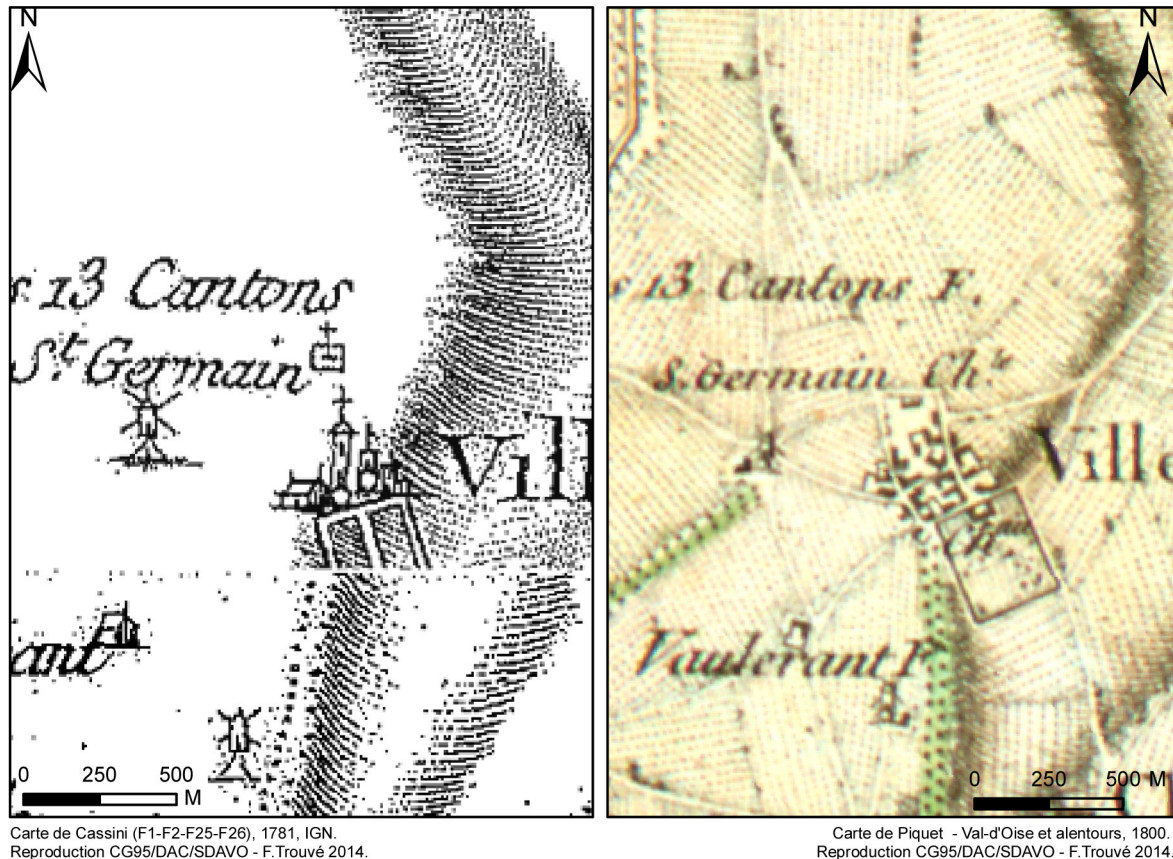


Fig. 11 : La chapelle et le cimetière Saint-Germain sur les plans anciens
(DAO : F. Trouvé, SDAVO)

III- Contexte historique et archéologique (F. Trouvé, P. Carvalho, J.-G. Pariat)

III.1- Rappel de la préétude et principaux éléments historiques (F. Trouvé, P. Carvalho)

L'analyse morphologique réalisée en préalable au diagnostic a permis de mettre en avant plusieurs points. En premier lieu, de par sa proximité de l'habitat villageois, l'opération risquait de mettre au jour des jardins et vergers enclos figurés sur des cartes du XVIII^e et XIX^e s. dont certains étaient encore en exploitation au milieu du XX^e s. L'archéologie allait par ailleurs pouvoir fournir des renseignements sur un moulin à vent, cartographié dès les

années 1780 et qui semble avoir disparu à la fin du XIX^e s (cf. III.2). L'existence d'une voie fossilisée traversant l'emprise soulevait en outre la question de sa caractérisation matérielle et des apports que cela pouvait représenter à la compréhension du réseau de circulation local. Enfin, l'hypothèse d'un cimetière isolé avec chapelle, localisé à proximité, avait été évoquée. Sur ce dernier point, les indices historiques et planimétriques laissaient supposer l'existence d'un édifice cultuel, rattaché à la titlature de Saint-Germain et antérieur à l'église de Villeron, dont la localisation exacte était difficile à déterminer. Ainsi, la carte de Cassini (1781) indique au nord du village une croix enclose portant le toponyme de *Saint-Germain* tandis que la carte de Picquet (1800) mentionne une *chapelle de Saint-Germain* (fig. 11). L'existence d'un écart de Saint-Germain à l'époque médiévale est évoqué par ce texte de 1219, relatant l'échange fait par Robert de Saint-Denis avec le chevalier de Vémars *d'octo arpentorum inter Villeron et*

*S.Germanum*²⁷. Quant à l'église Saint-Germain de Villeron, elle est d'abord située en face du château moderne. Dedicacée le 21 mai 1532²⁸, elle fut reconstruite entre 1882 et 1884 sur la place du village suite à son effondrement en 1879 (notice Mérimée IA95000085).

III.2- Contexte archéologique (J.-G. Pariat, P. Carvalho, F. Trouvé)

Un bilan des connaissances en matière d'archéologie a été réalisé dans un rayon de 1 km autour des parcelles à diagnostiquer. Ce bref tour d'horizon fait clairement ressortir la méconnaissance locale des époques les plus anciennes (Paléolithique, Néolithique, Âge des métaux et dans une moindre mesure Antiquité).

III.2.1- La Préhistoire et la Protohistoire

La seule occurrence attestée sur le territoire de la commune correspond à des vestiges lithiques recueillis en prospection pédestre par l'association Jeunesse Préhistorique et Géologique de France (JPGF) sur le rebord du plateau au lieudit « Villeron nord-est » (site n°3, fig. 12). Parmi ces vestiges, une pointe de flèche à pédoncule et aileron est attribuable au Néolithique récent.

Sur la commune de Chennevières-les-Louvres, le lieudit « La Grande Borne » (site n°16) pourrait trahir l'existence d'un menhir. Aucune investigation n'a cependant été menée dans ce secteur pour confirmer ou infirmer cette présence.

III.2.2- L'Antiquité

Le lieudit « La Justice » (site n°9) se trouve à environ 300 m à l'ouest de la zone à diagnostiquer.

A. Reboul y aurait découvert un petit habitat rural attribué au IIIe-IVe s. ap. J.-C. Le matériel mis au jour se compose de céramique commune, de moellons, d'imbrices et de tegulae²⁹.

27- Lebeuf 1755, p493-494.

28- Lebeuf 1755.

29- Wabont et al. 2006, p. 436.

III.2.3- Le Moyen Âge

Les sites d'époque médiévale sont relativement fréquents sur le territoire. Immédiatement au nord de la zone diagnostiquée, plusieurs documents anciens mentionnent la présence d'un cimetière (site n° 5, cf. III.1)³⁰, mais ne permettent pas de déterminer avec certitude son emplacement exact. Durant l'opération de terrain, des témoignages ont été recueillis auprès d'habitants de la commune. Selon leurs informations, le cimetière se situerait au croisement de l'avenue de Saint-Germain avec le chemin de Vémars à Saint-Germain. Il existe à cet endroit, sur le cadastre napoléonien, une parcelle quadrangulaire d'environ 3700 m² dont la forme s'est transmise pour partie sous la forme d'un bois puis d'une tache sombre sur les photographies aériennes (fig. 13).

L'église paroissiale (site n°12) a connu une histoire mouvementée. Son emplacement d'origine pourrait être proche du cimetière précédemment évoqué mais aucun document ne permet de l'affirmer. Elle est ensuite bâtie près du château avant d'être détruite en 1881 et déplacée dans le centre actuel de la commune. Un diagnostic conduit par l'INRAP en 2007 dans le parc du château n'a révélé aucune trace de cet édifice³¹.

À 500 m au sud-ouest de l'emprise s'élève la ferme monastique de Vollerand (site n°13). Cette vaste exploitation agricole fondée au XII^e s. par l'abbaye cistercienne de Chaalis (Oise) est toujours en fonction à l'heure actuelle³². Elle n'a donc fait pour l'heure l'objet d'aucune approche archéologique.

III.2.4- Les époques moderne et contemporaine

Les vestiges d'époque moderne et contemporaine sont de loin les plus abondants. Outre plusieurs lieudits méconnus (sites n°1, 2, 4, 6, 8, 14), un moulin, une ferme seigneuriale et un château ont été repérés dans ou aux abords de l'emprise.

30- Lebeuf 1755, Wabont et al. 2006.

31- Bruley-Chabot 2007.

32- Guadagnin 1990, Poisson 1999.

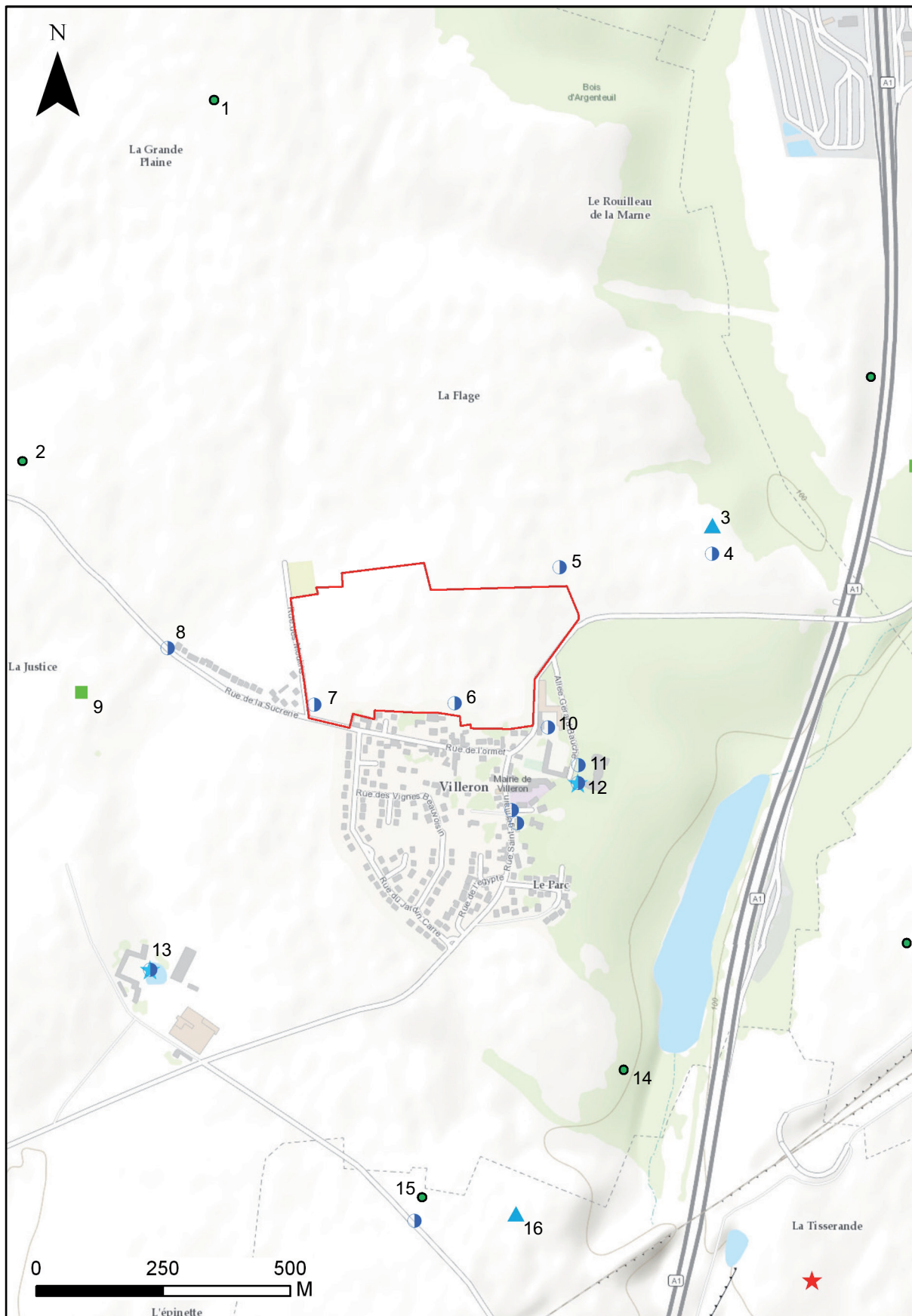


Fig. 12 : Environnement archéologique dans un rayon de 1 km autour du diagnostic
(DAO : J.-G. Pariat, SDAVO)

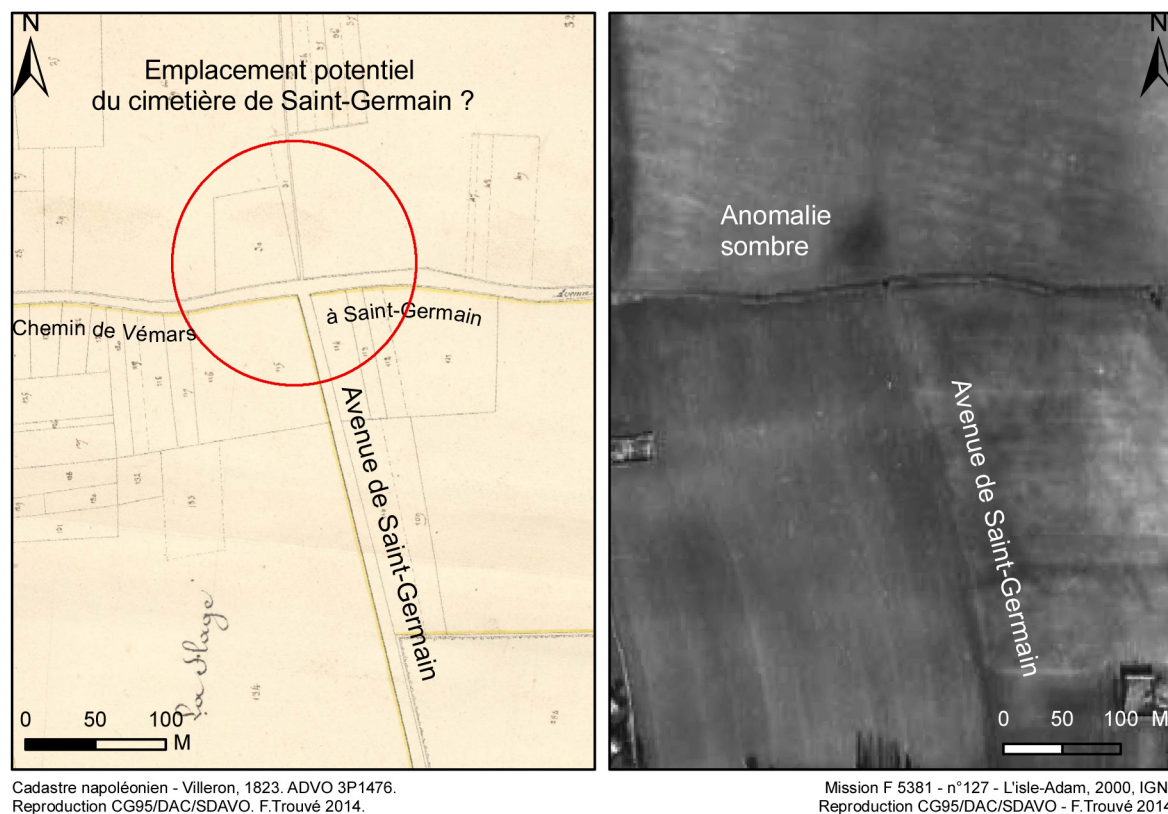


Fig. 13 : Emplacement potentiel du cimetière de Saint-Germain
(DAO : F. Trouvé, SDAVO)

La ferme seigneuriale se trouve immédiatement au sud-est de la zone diagnostiquée. Trois bâtiments et un pigeonnier s'ouvrent sur une cour carrée pavée d'époque moderne. Ce complexe est toujours occupé à l'heure actuelle.

Enfin, un château a été installé à la fin du XIX^e s. dans l'actuel parc Bauché. Des sondages pratiqués en 2006³³ dans le parc du château n'ont révélé aucun vestige antérieur au XVI^e s.

IV- Problématique

Les études documentaires réalisées préalablement au diagnostic font émerger trois axes de recherche principaux.

D'abord, aucun site archéologique structuré antérieur au XVI^e s. n'est connu dans un rayon de 1 km autour des parcelles à sonder. En effet, qu'il s'agisse de la Préhistoire, de la Protohistoire ou même de l'Histoire (Antiquité), les indices sont extrêmement rares et tout gisement potentiel est

à même de venir combler un déficit de connaissance dans ce secteur du département.

Ensuite, la prétéude révèle la présence d'un chemin médiéval qui traverse l'emprise du diagnostic selon un axe nord-sud (cf. III.1). Un premier passage sur le terrain en octobre 2013 avait permis de constater une anomalie paysagère suggérant la bonne conservation de cette voie. L'approche archéologique devrait permettre d'en préciser la nature et les caractéristiques comparativement aux données de plus en plus nombreuses relatives aux réseaux viaires franciliens³⁴.

Enfin, la présence d'un moulin moderne et d'un bâtiment à usage d'habitation dans la partie sud-ouest de l'emprise doit être confirmée ; les documents anciens n'offrant que des informations approximatives du point de vue de la caractérisation matérielle et bâtie de ce complexe.

33- Bruley-Chabot 2007.

34- Robert, Verdier 2011.

V- Stratégie et méthode mise en œuvre

L'emprise totale du projet d'aménagement s'étend sur 135 000 m². La totalité des parcelles a été accessible.

Les ouvertures ont été réalisées durant quinze jours entre le 25 novembre et le 12 décembre 2013 à l'aide d'une pelle hydraulique de 20 tonnes équipée d'un godet lisse de curage de 3 m de large. Au final, 12 651 m² ont été explorés, soit 9,37 % de l'emprise.

Les tranchées ont été implantées selon un axe nord-est /sud-ouest et régulièrement espacées de 30 m. Elles suivent ainsi le sens de la pente naturelle du terrain et offrent un potentiel d'information important, notamment en ce qui concerne la compréhension des modes d'implantation anciens (au cours du Pléistocène). À ce propos, la stratégie de terrain a légèrement été adaptée par rapport aux opérations jusqu'alors réalisées par le SDAVO. Un maillage régulier et réfléchi des sondages profonds a été réalisé sur l'ensemble de l'emprise et des observations de terrain ont été réalisées par un spécialiste (P. Wuscher, *cf.* II).

Ponctuellement un élargissement des tranchées sous forme de fenêtre a pu être effectué afin de mieux caractériser certaines structures et des ouvertures plus larges ont pu être pratiquées dans les zones où les vestiges étaient abondants. L'enlèvement des terres s'est fait, conformément à la pratique, sous le contrôle d'un archéologue. Un maximum de structures archéologiques a été fouillé mécaniquement ou manuellement à 10 %, 50 % ou 100 % selon la taille, l'intérêt et le potentiel informatif.

Les structures identifiées ont été repérées dans l'espace selon les trois dimensions (X, Y, Z) à l'aide d'un GPS de type Leica GS 08. Un relevé en plan à l'échelle 1/20^e, 1/50^e ou 1/100^e a été établi pour chacune des structures. Des prises de vue obliques ou verticales complètent ces informations. Les structures fouillées ont été relevées en coupe et chaque minute de terrain a reçu un numéro d'ordre.

Tous les vestiges ont fait l'objet d'un enregistre-

ment minimal. Une fiche a été systématiquement créée dans un cahier d'enregistrement.

À l'issue de la phase de terrain, une zone dans laquelle a été mise au jour une occupation moderne fondée autour d'un moulin a été protégée à l'aide d'un feutre géotextile et partiellement rebouchée.

VI- Traitement et archivage des données

Le mobilier a été lavé et conditionné au SDAVO selon les normes en vigueur. Certains vestiges, tels les métaux, ont été séchés puis brossés à sec. Le sédiment contenu dans certains vases a été recueilli puis tamisé et trié.

La documentation papier a été informatisée. Les inventaires des structures et du mobilier ont été rassemblés dans une base de données développée sur le logiciel « Access » et les photographies ont été recensées sur un fichier « Excel » (*cf.* annexes).

Les plans et coupes des structures ont été vectorisés sur le logiciel Adobe Illustrator, version CS 4. Les vues panoramiques ont été assemblées grâce au logiciel PanoramaMaker, version 4.

Enfin, l'ensemble des données a été archivé dans un dossier comprenant tous les fichiers informatiques au format .jpg ou .pdf.

VII- Les occupations archéologiques

Au total, 153 structures ont été mises en évidence à l'issue de l'opération de terrain (fig. 14). Cependant, ce nombre doit être légèrement revu à la baisse car cinq structures, des anomalies géologiques, ont été annulées. Le nombre total de structures s'élève donc à 148. Parmi elles, 51 ont fait l'objet d'une fouille mécanique ou manuelle ce qui porte à 34 % de l'effectif total le nombre de structures sondées.

Du point de vue qualitatif, plusieurs époques sont représentées : le Néolithique et la Proto-histoire par des indices, l'Antiquité par un site structuré, le Moyen Âge par une voie, l'époque

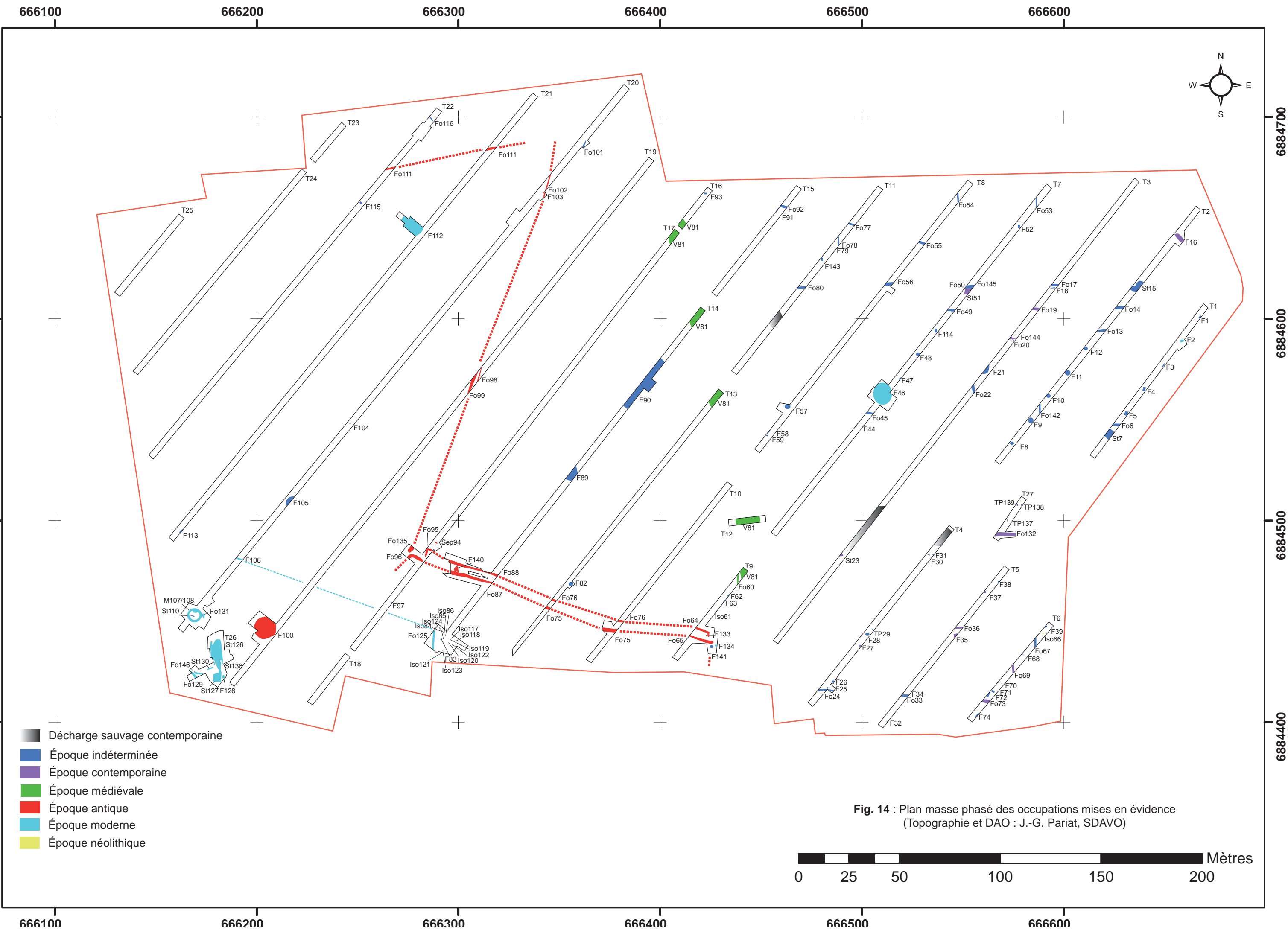


Fig. 14 : Plan masse phasé des occupations mises en évidence
(Topographie et DAO : J.-G. Pariat, SDAVO)

- ⊕ Décharge sauvage contemporaine
- Époque indéterminée
- Époque contemporaine
- Époque médiévale
- Époque antique
- Époque moderne
- Époque néolithique

0 25 50 100 150 200 Mètres

moderne par un moulin et l'époque contemporaine par des aménagements paysagers (jardins, plantations etc.).

La présentation des résultats du diagnostic suit l'ordre de ces époques.

VII.1- Néolithique et âges des métaux

Les indices d'occupation renvoyant à l'époque néolithique ou aux âges des métaux sont relativement peu fréquents sur le site. Le seul vestige découvert dans une structure n'était pas en position primaire. Il a été retrouvé à l'interface avec la terre végétale et la partie supérieure du comblement d'une fosse dont la datation n'est pas assurée.

en épandage sur une aire de 239 m². À cet endroit le sédiment encaissant est un limon sablo-argileux brun-orangé moucheté de beige, peu compact. Deux pièces semi-corticales en silex secondaire ont été retrouvées dans cet horizon entre 0,30 et 0,50 m de profondeur. L'une d'elle correspond à un éclat chauffé, l'autre est recouverte d'une patine blanche et présente des arêtes émoussées. Ce dernier support brut extrait à la percussion directe dure comporte des négatifs d'enlèvement unipolaire subparallèle. Ces éclats ne sont pas diagnostiques du point de vue chronologique.

22 tessons de céramique ont également été exhumés dans cette zone. Ils correspondent à des portions de panse de récipients à pâte grossière cuits en atmosphère oxydo-réductrice. L'un des fragments (Iso 86) est décoré d'un cordon et pourrait renvoyer soit à l'âge du Bronze, soit au Premier âge du Fer.

Pour conclure, le décortilage ou la mise en forme de nucléus est attesté sur le site par les vestiges lithiques recueillis. La présence de cette étape de la chaîne opératoire de débitage est peu surprenante. À moins de 1 km, le versant nord du plateau ouvrant sur la vallée de l'Ysieux offre sans doute des affleurements de silex. La présence d'un épandage dans la partie sud de la tranchée 14 attire l'attention sur la proximité éventuelle d'une occupation pré- ou protohistorique plus structurée.

De façon générale, les occupations antérieures au Second âge du Fer ne sont pas légion dans cette partie du département. À ce titre la fouille du gisement néolithique de Roissy-en-France dans les années 2000 fait figure d'exception³⁶.

VII.2- L'Antiquité

Une occupation antique se développe dans la moitié ouest de l'emprise. Elle se structure à partir d'un enclos principal³⁷ à double fossé dont le côté nord a été suivi sur 89 m de long (fig. 16). Les fossés externe et interne sont parallèles et distants d'environ 6 m. L'angle nord-est de l'enclos a été appréhendé avec difficulté, tant la dis-

36- Leconte, rapport en cours.

37- Cet enclos est appelé dans la suite du texte sous la dénomination « enclos est ».

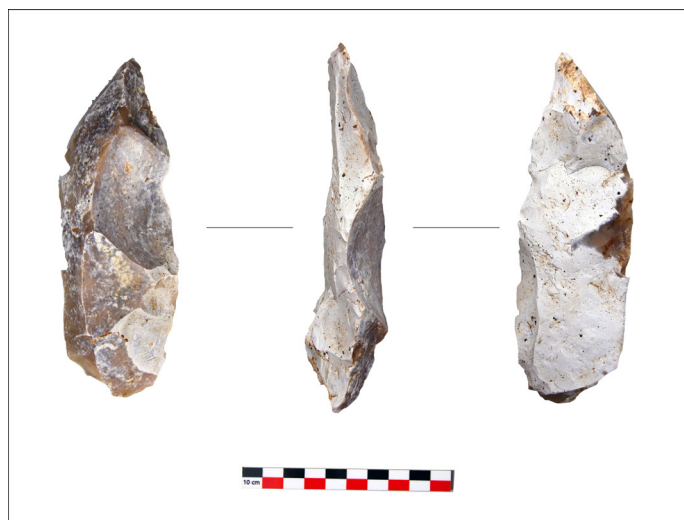


Fig. 15 : Éclat en silex secondaire issu de la fosse 57 (Cliché : M. Decofour, SDAVO)

Il s'agit d'un éclat laminaire à dos en silex secondaire (Bartonnien) comportant une plage corticale rugueuse en partie distale (fig. 15)³⁵. L'objet présente un léger voile blanc. Ses arêtes sont fraîches. Extrait à la percussion directe dure, il comporte des négatifs d'enlèvements unipolaires perpendiculaires à l'axe de plus grande dimension. Cet éclat provient de l'aménagement d'un nucléus. Sa datation ne peut être assurée (Néolithique ou âge du Bronze).

Dans une autre zone localisée dans la partie sud de la tranchée 14, des vestiges ont été retrouvés

35- Détermination H. Djema (SDAVO).

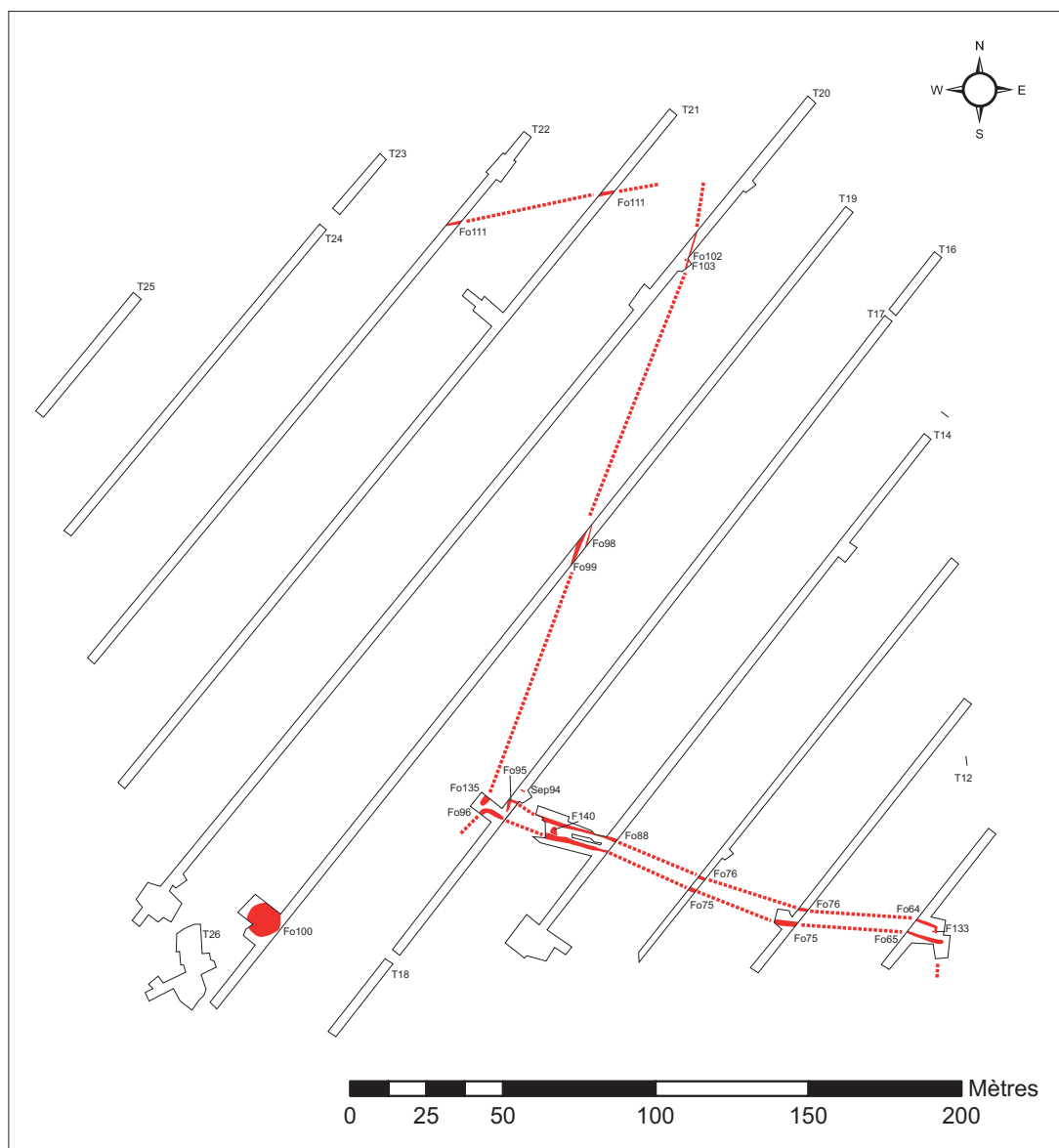


Fig. 16 : Plan de l'occupation antique
(Topographie et DAO : J.-G. Pariat, SDAVO)

inction entre le comblement et l'encaissant était difficile à faire. Le fossé externe décrit un coude avant de s'interrompre vers le sud. Une fosse jouxte l'interruption en question (F133). Quant au fossé interne, la limite n'en est plus discernable.

Dans l'angle nord-ouest, le fossé externe se coude vers le sud avant de s'interrompre. Le fossé interne s'interrompt lui aussi avant de se couder vers le sud, ménageant un passage étroit d'environ 1 m. À environ 6 m au nord du fossé externe une sépulture a été découverte (S94).

Une seconde série de fossés (Fo98, Fo99, Fo102, Fo111, Fo135) entrevus seulement par tronçons pourrait appartenir à un autre enclos³⁸ agrégé au premier et se développant vers l'ouest. Il pourrait également être délimité par un double fossé mais les difficultés de lecture du terrain appellent à une certaine prudence.

Dans la zone interne supposée de ce deuxième enclos, deux fossés ont pu être attribués à l'Antiquité, l'une au nord-ouest jouxtant le fossé d'enclos (F103), l'autre au sud-ouest (F100) semblant isolée.

³⁸- Cet enclos est appelé dans la suite du texte sous la dénomination « enclos ouest ».

VII.2.1- L'enclos est

VII.2.1.1- Le fossé externe (Fo64, Fo76, Fo88, Fo95)

Le fossé externe a été sondé à deux reprises au niveau de l'angle nord-ouest dans la tranchée 17 (Fo95). À cet endroit, le fossé forme un angle et s'interrompt au sud. Il a été suivi sur 6,70 m de longueur et sa largeur maximale est de 1,05 m. Deux sondages ont été pratiqués (fig. 17).

Le sondage S1 a été réalisé longitudinalement sur la moitié sud-est du fossé, au droit de l'interruption. Le fossé est creusé dans un limon argilo-sableux brun-orangé compact. Il est apparu à 0,65 m de profondeur sous la surface du décapage. Le profil transversal et longitudinal est en cuvette. Le comblement se caractérise par un limon argilo-sableux dont la teinte varie du brun-orangé au gris clair avec des inclusions noires. La profondeur sous la surface du décapage est de 0,40 m. Aucun mobilier ne provient de ce sondage.

Le sondage S2 a été réalisé à 1,50 m au nord du précédent. La coupe nord-ouest / sud-est a été relevée. Le profil observé révèle un fossé aux parois subverticales et à fond arrondi. La profondeur sous la surface du décapage est de 0,50 m. Le comblement se caractérise à nouveau par une succession de couches de limon argilo-sableux de teinte brun-orangé à gris avec des inclusions noires. Aucun vestige n'a été retrouvé dans ce sondage.

Le fossé externe a été attribué à l'Antiquité par association spatiale. Son tracé est rigoureusement parallèle à celui du fossé interne pour lequel les éléments de datation sont sans équivoque.

VII.2.1.2- Le fossé interne (Fo65, Fo75, Fo87, Fo96)

Le fossé interne a été sondé à trois reprises : dans l'angle nord-est au niveau de la tranchée 9 (Fo65 S1), au niveau de la tranchée 10 (Fo75 S1), et enfin dans l'angle nord-ouest au niveau de la tranchée 17 (Fo96 S1).

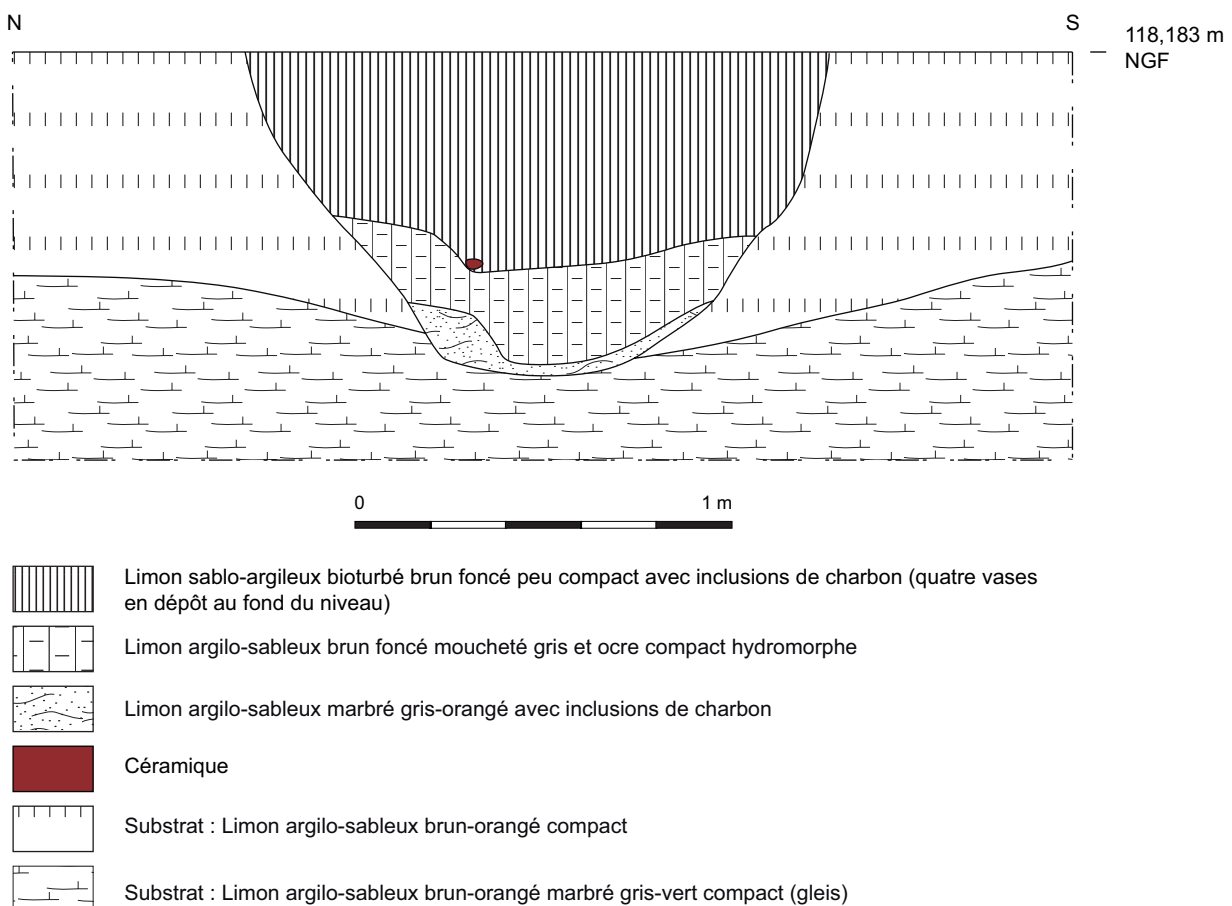


Fig. 18 : Plan et coupe du fossé Fo65
(Dessin : J.-G. Pariat, DAO : M. Decofour, SDAVO)

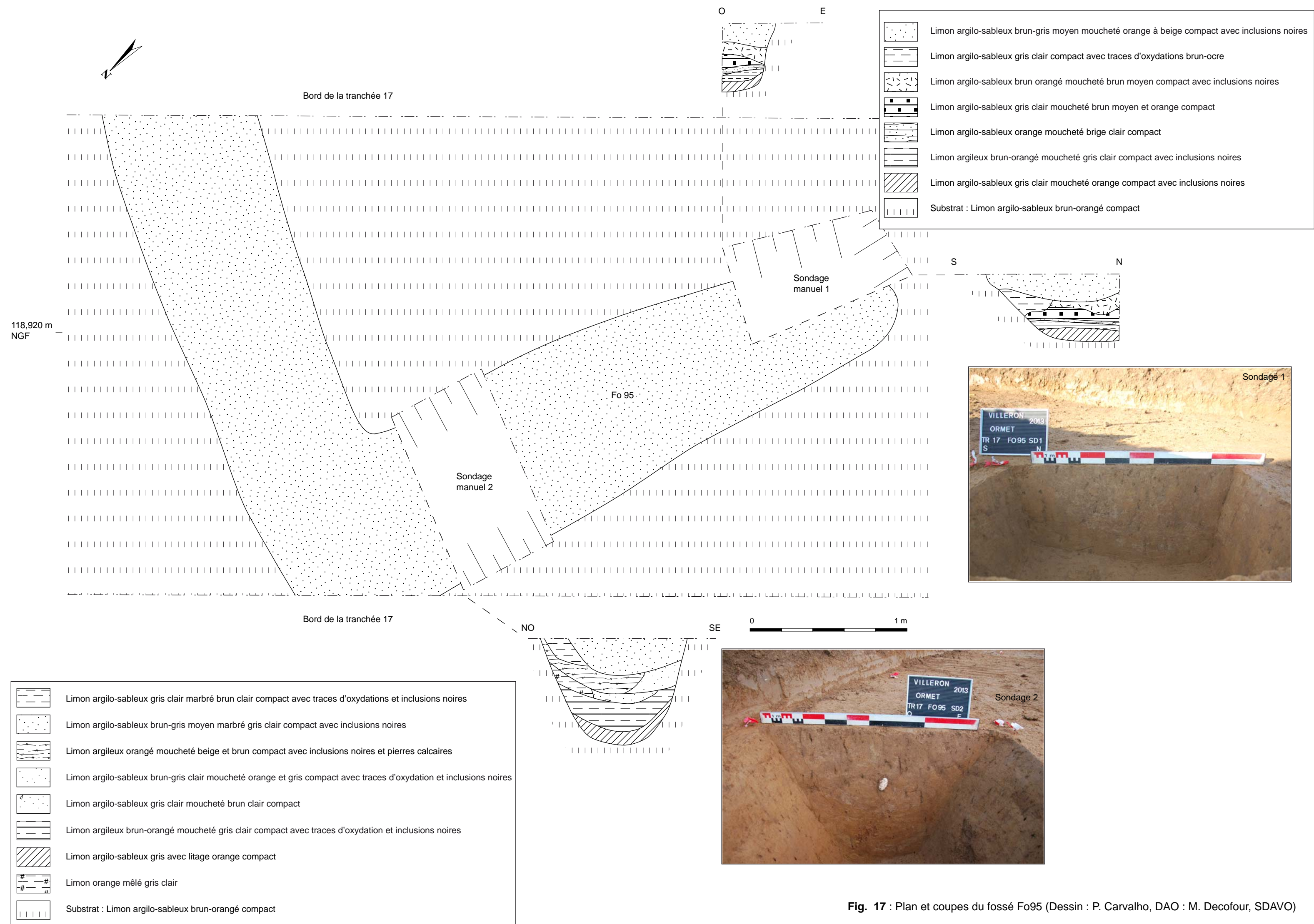


Fig. 17 : Plan et coupes du fossé Fo95 (Dessin : P. Carvalho, DAO : M. Decofour, SDAVO)



Fig. 19 : Vue générale de quatre récipients en céramique découverts dans le sondage 1 du fossé 65
(Cliché : M. Decofour, SDAVO)

Le sondage 1 a été pratiqué perpendiculairement à l'axe du fossé Fo65 dans la tranchée 9 (fig. 18). À cet endroit, le fossé est apparu à 0,70 m sous la surface du décapage dans un limon argilo-sableux brun orangé compact. Ce tronçon de fossé a d'abord été exploré mécaniquement avant d'entreprendre la fouille fine d'un niveau recelant quatre vases archéologiquement complets. En plan, le fossé est orienté selon un axe est-ouest et mesure 1,56 m de large. Son profil est à fond plat. Les parois subverticales sont légèrement dissymétriques. Trois couches ont été observées sur une épaisseur de 0,88 m à partir du sommet du décapage. La couche principale, de 0,50 m d'épaisseur, correspond à un limon sablo-argileux bioturbé brun foncé peu compact avec des inclusions de charbon. 27 tessons de céramique antique étaient dispersés entre 0 et 0,60 m de profondeur. Vers 0,60 m, quatre récipients ont été découverts. Seul l'un d'entre eux était entier, les trois autres étant subcomplets et écrasés en place (fig. 19). Le vase nord-ouest est apparu avec le col en partie enfoui, le fond émergeant vers le sommet du comblement. Il s'agit

d'une bouteille complète à pâte rouge dont les faces externe et interne sont noires (fig. 20). Cette céramique fine a fait l'objet d'une expertise et doit être rattachée à la fin du I^{er} s. ou au II^e s. ap. J.-C.³⁹

Le vase sud-ouest est un récipient fragmenté en 37 morceaux dont le fond était orienté vers le sommet du fossé. Il s'agit là encore d'un vase aux surfaces externe et interne noire et à pâte rouge. Il est attribué au I^{er}-II^e s. ap. J.-C.

Le vase nord-est est apparu par le col. Les cent tessons recueillis appartiennent à un récipient dont la partie supérieure présente des faces interne et externe noire et une pâte rouge, La partie inférieure du vase, quant à elle, se distingue par une face externe orange avec des plages noires, la face interne étant brun-rouge et à pâte orange (fig. 21). Ce vase est lui aussi attribué au I^{er}-II^e s. ap. J.-C.

Le vase sud-est est également apparu par sa partie supérieure. Les quatre-vingt dix tessons recueillis appartiennent à une céramique fine aux parois interne et externe noire et à pâte rouge, datée du I^{er}-II^e s. ap. J.-C. (fig. 22).

39- Expertise V. Pissot, INRAP.

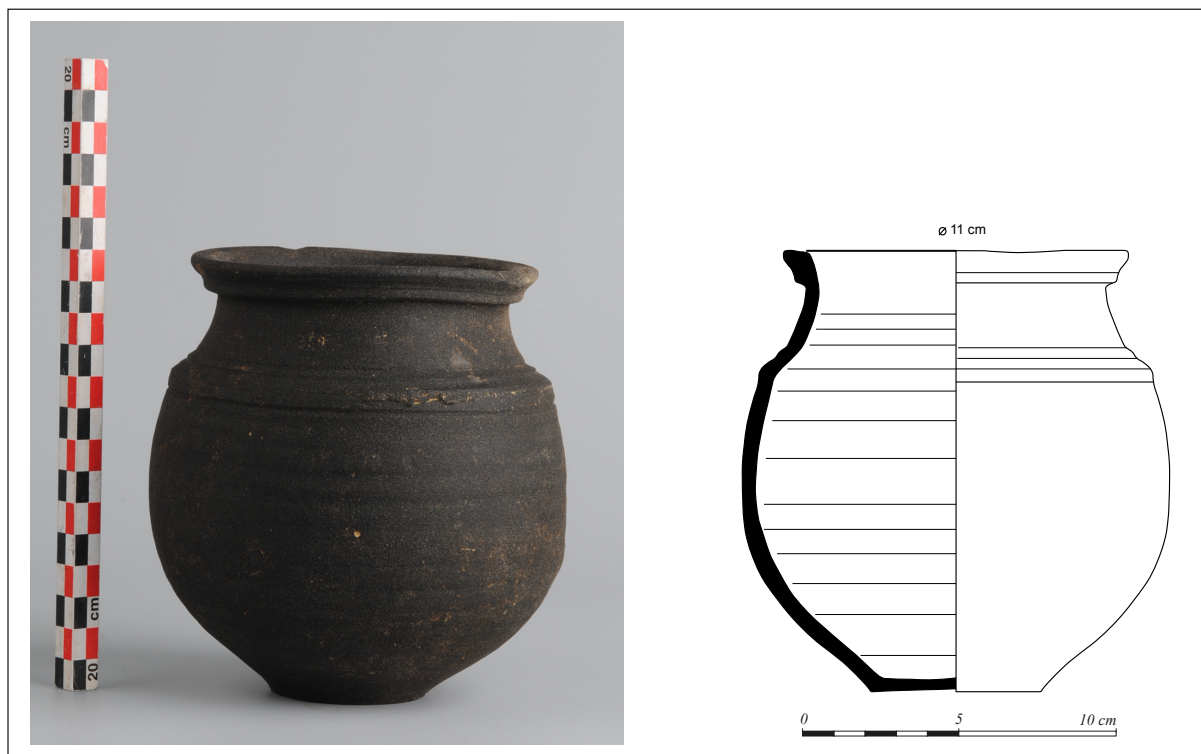


Fig. 20 : Vase nord-ouest issu du sondage 1 du fossé 65
(Cliché : C. Touquet Laporte-Cassagne, Dessin : M. Decofour, SDAVO)

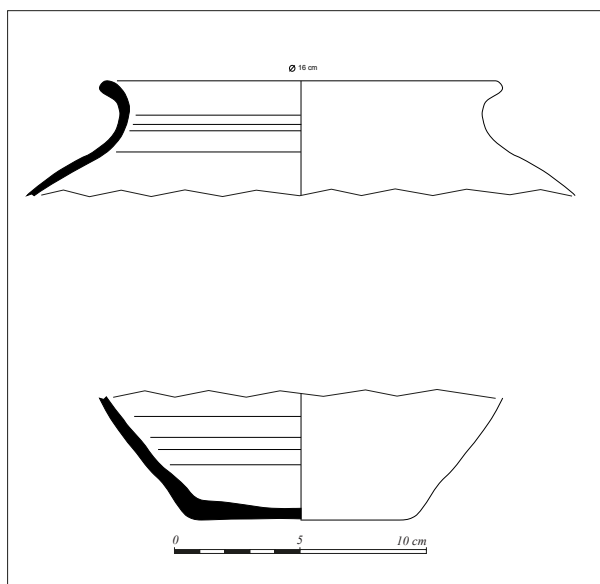


Fig. 21 : Vase nord-est issu du sondage 1 du fossé 65
(Dessin : M. Decofour, SDAVO)

Le sédiment contenu dans ces vases a été prélevé et tamisé à travers des mailles de 2 mm et 500 µm. Le tri des refus de tamis n'a révélé aucun macroreste.

La couche sous-jacente se développe sur une épaisseur de 0,20 à 0,30 m selon les secteurs. Elle correspond à un limon argilo-sableux brun foncé moucheté gris et ocre compact, dépourvu de vestiges. Cette couche est hydromorphe. Enfin, la couche recouvrant le fond sur 10 cm d'épaisseur environ est limono-argilo-sableuse marbrée de gris-orangé avec des inclusions de charbon. Cette couche perfore les gleys et n'a pas livré de vestiges.



Fig. 22 : Détail des vases nord-est et sud-est issu du sondage 1 du fossé 65
(Cliché : M. Decofour, SDAVO)

Une autre portion de fossé interne a été sondée mécaniquement dans la tranchée 10 (Fo75). Le sondage, pratiqué perpendiculairement à l'axe est-ouest du fossé, a permis de compléter les observations. À cet endroit, le fossé apparu à 0,55 m sous la surface présente un profil aux bords évasés et à fond arrondi, les parois étant dissymétriques (fig. 23). Conservé sur une largeur de 1,20 m environ et sur une épaisseur de 0,72 m, ce fossé est comblé dans sa partie supérieure par un limon argilo-sableux brun-gris clair peu compact. C'est dans cet horizon qu'un bord de céramique aux faces externe et interne noires et à pâte rouge a été découvert et attribué au Haut-Empire. La couche inférieure (environ 30 cm d'épaisseur) est un limon argilo-sableux brun-gris clair, compact, moucheté de beige et de brun-rouge. Elle est hydromorphe et n'a pas livré de vestiges.

Le fossé Fo75 a de nouveau été repéré dans la tranchée 13. Il n'a pas été fouillé mais la présence en surface d'un nouveau vase écrasé en place a conduit à quelques observations sommaires. Le fossé, apparu à 0,60 m de profondeur, a été observé sur 1,25 m de large. Le vase écrasé en place se trouvait vers l'extrémité sud-est du fossé (fig. 24). Il est apparu dans une couche limono-argileuse brun moyen à inclusions de nodules beiges et à fines particules noires compactes, qui se démarquait de l'encaissant limoneux argilo-sableux brun-orangé compact. Les cinquante tessons recueillis appartenaient à un récipient en céramique fine aux faces externe et interne noire dans la partie supérieure, noire en face externe et rose en face interne dans la partie inférieure, avec une pâte rouge (fig. 25). Cette forme peut être attribuée au Haut-Empire.

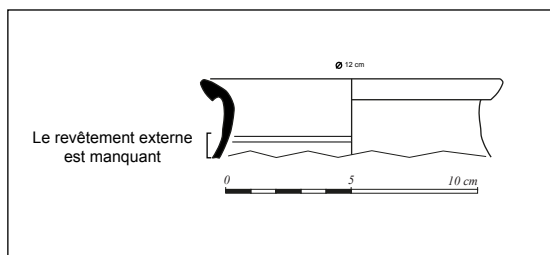


Fig. 25 : Vase écrasé en place retrouvé en surface du fossé 75, tranchée 13 (Dessin : M. Decofour, SDAVO)

Le dernier tronçon de fossé interne exploré correspond au fossé Fo96 localisé dans la tranchée 17 au niveau de l'angle nord-ouest près de l'interruption. Ce tronçon de fossé se coude vers l'ouest pour se poursuivre au sud. Il est apparu à 0,65 m sous la surface et mesure 1,50 m de large (fig. 26). Le sédiment encaissant est un limon argilo-sableux brun-orangé compact. Le sondage 1 a été pratiqué perpendiculairement à l'axe du fossé. Ce sondage manuel révèle un fossé conservé sur une épaisseur de 20 cm. La coupe nord-est / sud-ouest fait apparaître un profil en cuvette tandis que la coupe sud-ouest / nord-est montre un profil aux parois subverticales et au fond irrégulier.

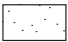
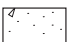

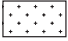
Le comblement principal correspond à un limon argilo-sableux brun-gris moyen à clair, compact, recelant de rares inclusions noires. Des poches de sédiment limoneux, possiblement hydromorphes, ont été observées. Dans le comblement principal, huit monnaies ont été recueillies. Trois d'entre elles se localisaient sous une pierre calcaire apparue en surface du comblement. La disposition des monnaies ne semble guère suivre un agencement particulier. Ces monnaies ont été confiées à B. Foucray (CRA, SRAIF) pour identification. Les résultats de cette étude ne sont pas connus au moment de la rédaction du rapport, mais les modules incitent à penser qu'il s'agit de sesterces.

Outre ces monnaies, quatre tessons ont été recueillis dans le comblement. Parmi eux, les faces externe et interne d'un bord sont noires et la pâte est brun foncé. Les trois autres fragments appartiennent à de la céramique fine noire à pâte rouge. Une attribution chronologique au Haut-Empire est là encore possible.

Pour finir, vingt-sept tessons ont été recueillis en surface lors du décapage de l'angle du fossé Fo96. Deux d'entre eux attirent particulièrement l'attention, car leur pâte est très granuleuse, rose orangé, et le dégraissant est à base de quartz. Leur face externe est brune à grise et la face interne brun clair. Ces restes appartiennent à des formes plus précoces (fin du I^{er} s. av. J.-C. / début du I^{er} s. ap. J.-C.)⁴⁰.

40- Expertise V. Pissot (INRAP).



-  Limon argilo-sableux brun-gris clair peu compact
-  Limon argilo-sableux brun-gris clair moucheté beige compact avec oxydations brun-rouge (percolations, mise en eau ?)
-  Substrat : Limon argilo-sableux brun orangé compact
-  Substrat : Limon loessique beige moyen peu compact

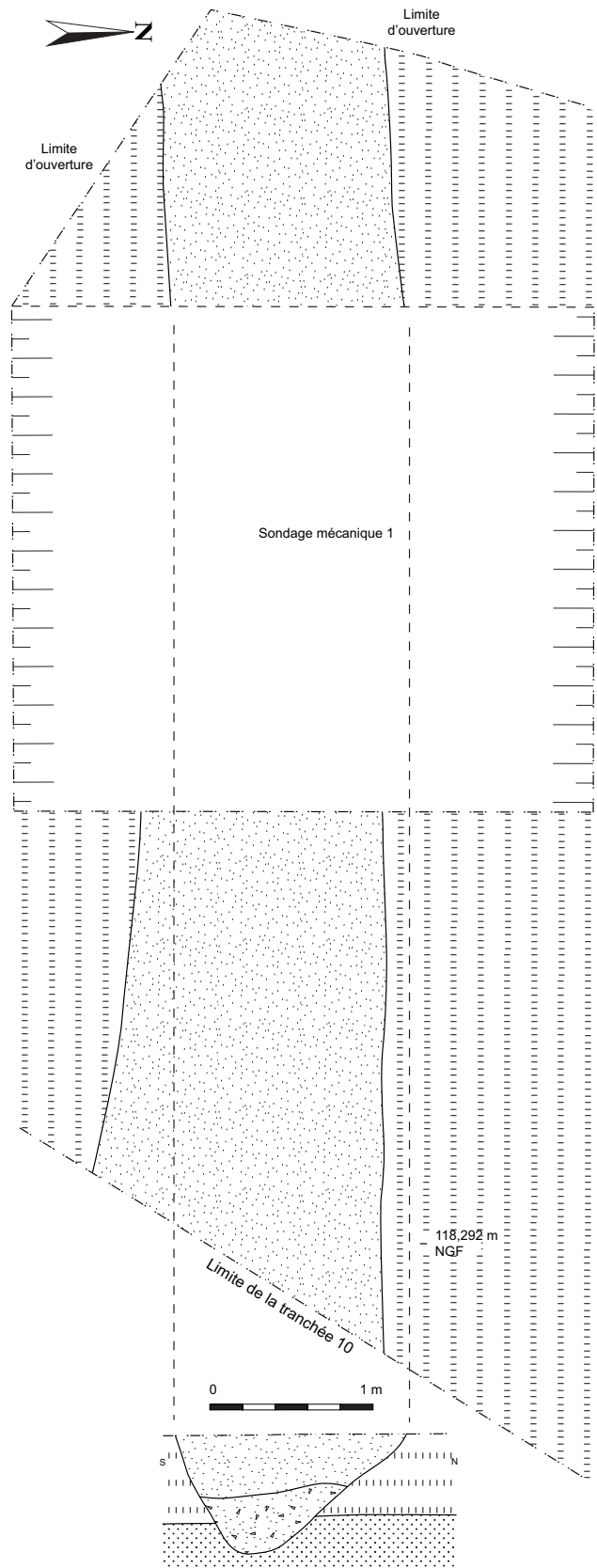


Fig. 23 : Plan et coupe du fossé Fo75
(Dessin et DAO : M. Decofour, SDAVO)

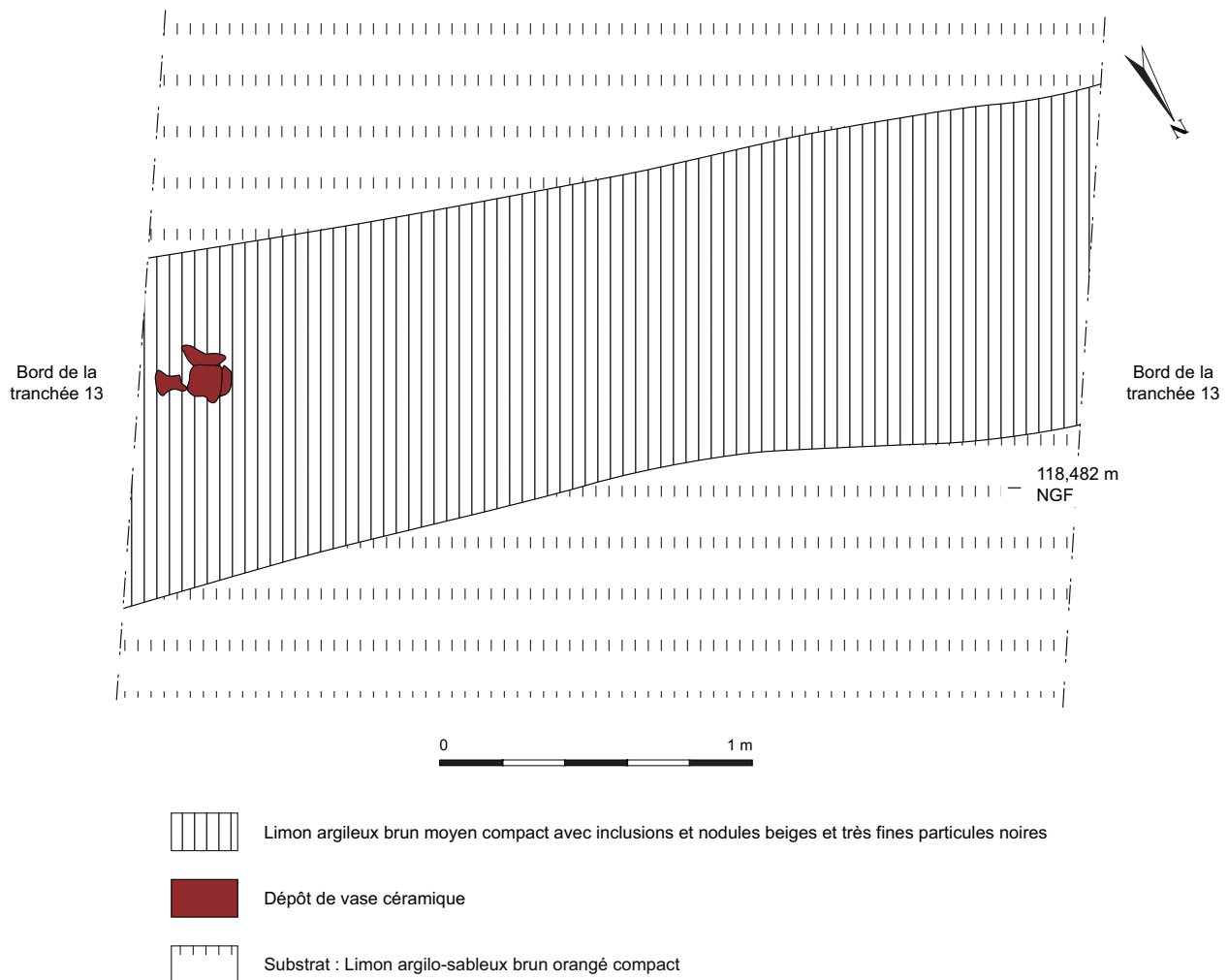


Fig. 24 : Plan et détail du vase issu du fossé Fo75, tranchée 13
(Dessin et cliché : J.-G. Pariat, DAO : M. Decofour)

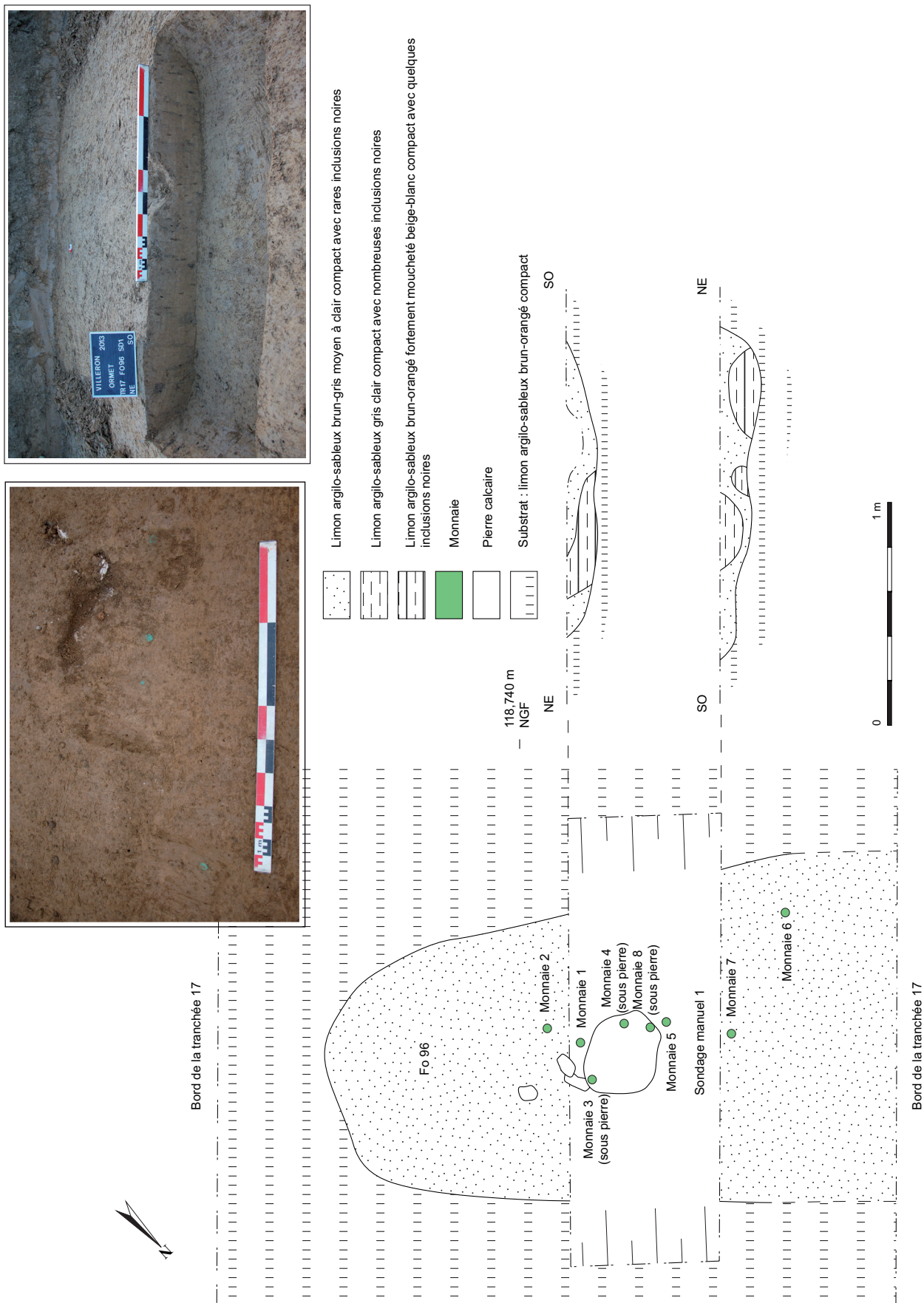


Fig. 26 : Plan et coupe du fossé Fo96 (Dessin et DAO : M. Decofour)

VII.2.1.3- Les structures liées à l'enclos est

Trois structures semblent liées à l'enclos est : la première est une fosse (F133) localisée au niveau de l'interruption du fossé externe, la seconde est une fosse (F140) localisée entre les fossés interne et externe, enfin la troisième est une sépulture (S94) localisée au nord de l'angle nord-ouest de l'enclos.



VII.2.1.3.a- La fosse F133

La fosse F133 est apparue à 0,40 m sous la surface actuelle du sol. Son comblement limoneux sablo-argileux brun-gris clair moucheté beige, peu compact, se détachait de l'encaissant limoneux argilo-sableux brun orangé compact. En plan elle est de forme ovale et mesure 0,80 m de long par 0,60 m de large (fig. 27). En coupe, sa forme révèle un profil aux parois subverticales et au fond irrégulier. Elle est conservée sur 50 cm d'épaisseur. Le comblement supérieur observé en plan s'étend sur 20 cm d'épaisseur. Il recouvre un second remplissage limoneux sablo-argileux brun-gris clair mêlé d'orange, compact. Cette fosse n'a pas livré de mobilier. Son rattachement chronologique s'appuie sur sa position stratigraphique par rapport aux fossés interne et externe.

Cette structure en creux pourrait correspondre à un aménagement de l'interruption du fossé externe.

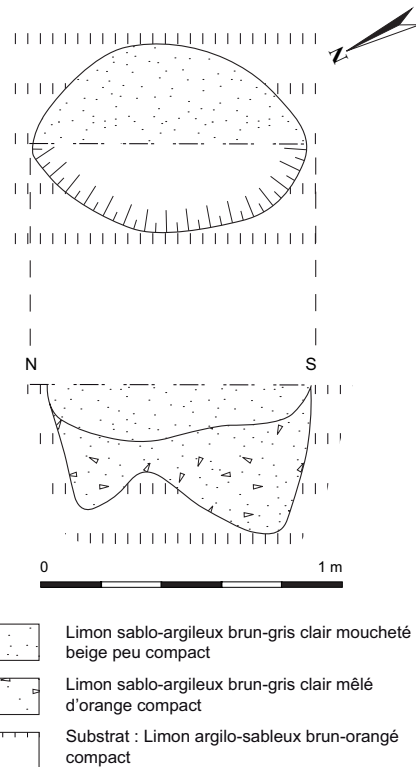


Fig. 27 : Plan et coupe de la fosse F133
(Dessin : P. Carvalho, DAO : M. Decofour, SDAVO)

VII.2.1.3.b- La fosse F140

La fosse F140 est apparue à 0,40 m de profondeur lors d'une ouverture pratiquée dans la tranchée 14. Le sédiment encaissant est un limon argilo-sableux brun orangé compact. Cette fosse oblongue mesure 3 m de long par 2,20 m de large. Elle n'a pas été fouillée et son attribution chronologique repose sur son niveau d'apparition, stratigraphiquement proche de celui des fossés interne et externe.

VII.2.1.3.c- La sépulture S94 (M. Decofour sous la direction de J.-G. Pariat)

La fosse sépulcrale et l'individu inhumé

La sépulture S94 se situe dans la partie Sud du terrain diagnostiqué, dans la tranchée 17, à environ 3 m au nord-est du fossé Fo95. Apparue à 0,74 m sous la surface, la fosse se distingue par une forme en plan rectangulaire et mesure 1,76 m de longueur sur 0,79 m de largeur. Elle est orientée sud-est/nord-ouest. Le profil transversal présente des bords verticaux et

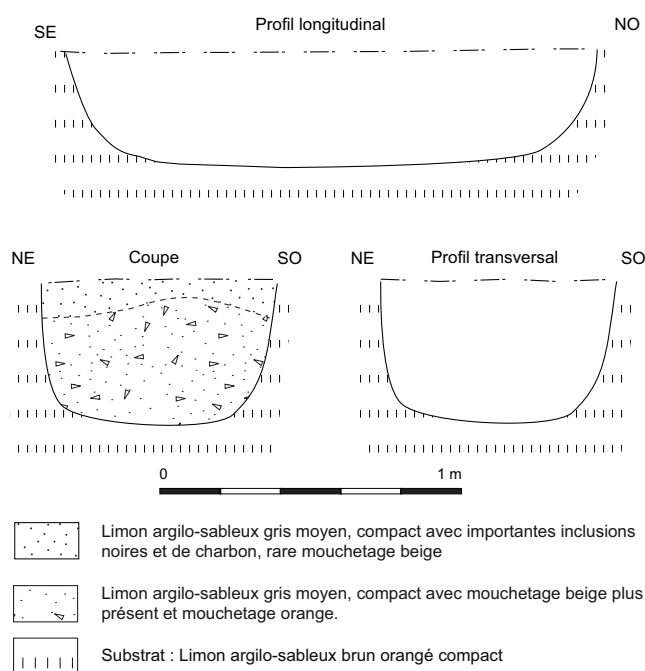


Fig. 28 : Profils longitudinal et transversal et coupe nord-est / sud-ouest de la fosse S94
(Dessin : M. Decofour, SDAVO,
DAO : L. Cosialls, Université de Paris 1)

un fond plat, tandis que le profil longitudinal présente des bords légèrement évasés et un fond plat (fig. 28). Sur une épaisseur de 0,48 m, deux comblements ont pu être observés : le premier, noté sur les 10 premiers centimètres depuis la surface de décapage, est un limon argilo-sableux gris moyen compact avec des taches noires et des inclusions de charbon, et un rare mouchetage beige ; le second est un limon argilo-sableux gris moyen compact, avec un mouchetage beige plus présent, et un mouchetage orange. Il s'agit ici d'une sépulture à inhumation présentant les restes d'un seul individu, inhumé entre 0,30 et 0,43 m de profondeur. Le sujet, gracile, est orienté sud-est / nord-ouest avec la tête au sud-est. La moitié supérieure du corps (tête, membres supérieurs et tronc jusqu'à la ceinture des membres inférieurs) repose sur le dos, les membres supérieurs en extension le long du corps (fig. 29). La moitié inférieure du corps est en position semi fléchie, sur le côté droit. Les membres inférieurs sont fléchis à 90° pour le genou gauche et à 45° pour le genou droit.

Le mobilier funéraire



Fig. 29 : Vue verticale de la sépulture S94
(Cliché : M. Decofour, SDAVO)

Le sujet est accompagné de mobilier, céramique et métallique. Un vase complet a été retrouvé sur le coude droit. Il s'agit d'un gobelet en céramique fine, aux surfaces interne et externe gris clair (fig. 30). La couleur interne de la pâte ne peut être décrite du fait du remarquable état de conservation du gobelet. Le tamisage du comblement remplissant le gobelet n'a révélé aucun vestige organique. Outre le gobelet placé sur le coude droit, une cruche a été mise au jour à la hauteur du genou gauche. Il s'agit d'une cruche en céramique fine, aux surfaces interne et externe rose crème et à la pâte rouge-orangé. Sa panse était vide de sédiment alors que le col l'était. Il est possible qu'un bouchon ait été placé dans le col pour fermer le vase, évitant tout comblement de terre. Si la cruche était fermée, on peut penser qu'elle renfermait une matière périssable



Fig. 30 : Gobelet et cruche présents dans la sépulture S94
(Haut Empire, seconde moitié du II^e s. ap. J.-C., Cliché : C. Touquet Laporte-Cassagne, SDAVO)

n'ayant laissé aucune trace après décomposition. Le tamisage de la terre présente dans le col n'a livré aucun vestige organique. Ces deux vases peuvent être rattachés au Haut-Empire, et plus précisément à la seconde moitié du II^e s. ap. J.-C.⁴¹

Outre les deux céramiques complètes, plus de 70 pièces métalliques sont présentes autour du sujet (fig. 31). L'analyse de ces restes, effectuée par Aurélien Lefeuvre (SDAVO), a permis de les caractériser. La plus grande partie des éléments métalliques sont des clous de menuiserie à tête discoïde et tige de section quadrangulaire. Ils sont présents de la tête aux pieds du sujet, plus généralement autour du corps, à la fois avant le niveau d'apparition du squelette, au niveau du corps et au fond de la fosse (fig. 32). Trois autres restes métalliques sont des clous à tête plate bombée. Il s'agit de clous tapissiers, présents près de l'épaule droite, du genou gauche et des pieds. Une pièce métallique, située sur ou autour de l'épaule gauche peut éventuellement relever du domaine de la parure, étant donné son em-

41- Détermination V. Pissot (INRAP).

placement et sa forme. Elle a été radiographiée au centre hospitalier de Pontoise (fig. 33). Son dégagement a finalement révélé qu'il s'agissait d'un clou de menuiserie⁴². Des clous de chaussure ont également pu être mis en évidence par la radiographie (fig. 34). La zone de répartition de ces clous s'étend sur environ 0,25 m de long, à proximité de la cruche, à la hauteur du genou gauche du sujet (fig. 35). Ce corpus d'objets métalliques est complété par 44 autres restes, fragments ou tiges non identifiables répartis tout autour du squelette.

Données biologiques

La conservation squelettique moyenne, voire mauvaise, a gêné les déterminations. Une étude sur les restes dentaires a été effectuée afin de déterminer l'âge du sujet. Trois dents sont conservées : deux incisives et une molaire permanentes. Il s'agit de l'incisive mandibulaire latérale gauche (dent 3.2), peut-être de l'incisive mandibulaire centrale gauche (dent 3.1 ?) et de

42- Détermination F. Dussère (SDAVO).

Clous	Description	Profondeur	Position	Numéro de sac
Clou n°1	2 clous de menuiserie (tête)	Au dessus de l'apparition du	Au niveau de la tête	73
Clou n°2	1 fragment de	Au dessus de	Au niveau de la	51
Clou n°3	1 clou de menuiserie (tête)	Au dessus de l'apparition du	Au niveau de la ceinture	60
Clou n°4	1 indéterminé	Au dessus de	Au niveau de la	61
Clou n°5	1 clou de menuiserie (tête)	Au dessus de l'apparition du	Près de la limite Sud de la fosse,	49
Clou n°6	1 tige	Au dessus de	Au niveau des	58
Clou n°7	1 clou de menuiserie (tête)	Au dessus de l'apparition du	Au niveau des chevilles	57
Clou n°8	1 clou de menuiserie (tête)	Au dessus de l'apparition du	Au niveau des genoux	53
Clou n°9	1 clou de menuiserie (tête)	Au dessus de l'apparition du	Au niveau des genoux	48
Clou n°A	2 clous de menuiserie (tête)	Profondeur d'apparition du	Près de la tête	50
Clou n°B	1 tête de clou	Profondeur	Près de l'épaule	66
Clou n°C	Parure ?	Profondeur	Sur ou autour de	91
Clou n°D	Clous appartenant à une	Profondeur d'apparition du	A environ 15 cm au Sud-Ouest du	75
Clou n°E	1 tête de clou plate bombée	Profondeur d'apparition du	A environ 25 cm au Sud-Ouest du	71
Clou n°F	2 clous de menuiserie (tête)	Profondeur d'apparition du	Près du pied droit	67
Clou n°G	1 clou de menuiserie (tête)	Profondeur d'apparition du	Près pied gauche	70
Clou n°H	1 clou de menuiserie (tête)	Profondeur d'apparition du	Près pied gauche	59
Clou n°I	1 tige	Profondeur d'apparition du	Près de la limite Sud de la fosse,	69
Clous autour des jambes et des	2 clous de menuiserie (tête)	Profondeur d'apparition du	Autour des jambes et des	56
Clou près de l'avant-bras droit	1 clou de menuiserie (tête)	Profondeur d'apparition du	Près de l'avant-bras droit	63
Clou près du cou	1 clou de menuiserie (tête)	Profondeur d'apparition du	Près du cou	64
Clous près de la jambe droite	2 clous de menuiserie (tête)	Profondeur d'apparition du	Près de la jambe droite	65
Clou sur le coxal droit	1 tige	Profondeur d'apparition du	Sur le coxal droit	68
Clous autour du gobelet	8 fragments de clous dont des	Profondeur d'apparition du	Autour du gobelet	72
Clous près de l'épiphyse distale	2 clous de menuiserie (tête)	Profondeur d'apparition du	Près de l'épiphyse distale du fémur	74
Clou près du pied gauche	1 tête de clou plate bombée	Profondeur d'apparition du	Près du pied gauche	89
Clous près de la cheville droite	3 clous dont 2 de menuiserie (tête)	Profondeur d'apparition du	Près de la cheville droite	90
Clous près du genou droit	4 clous, traces de fibres	Profondeur d'apparition du	Près du genou droit	92
Clou dans remplissage	1 clou de menuiserie (tête)	0-5 cm	Moitié Est, remplissage	52
Clou dans	1 fragment	5-10 cm	Moitié Est,	54
Clou dans	1 indéterminé	10-20 cm	Moitié Est,	55
Clou dans remplissage	Clous de menuiserie (tête)	Non renseigné	Non renseigné	62
Clou dans remplissage	1 clou de menuiserie (tête)	Non renseigné	Non renseigné	36

Fig. 31 : Inventaire des pièces métalliques de la tombe 94 (A. Lefevre, SDAVO)VO)

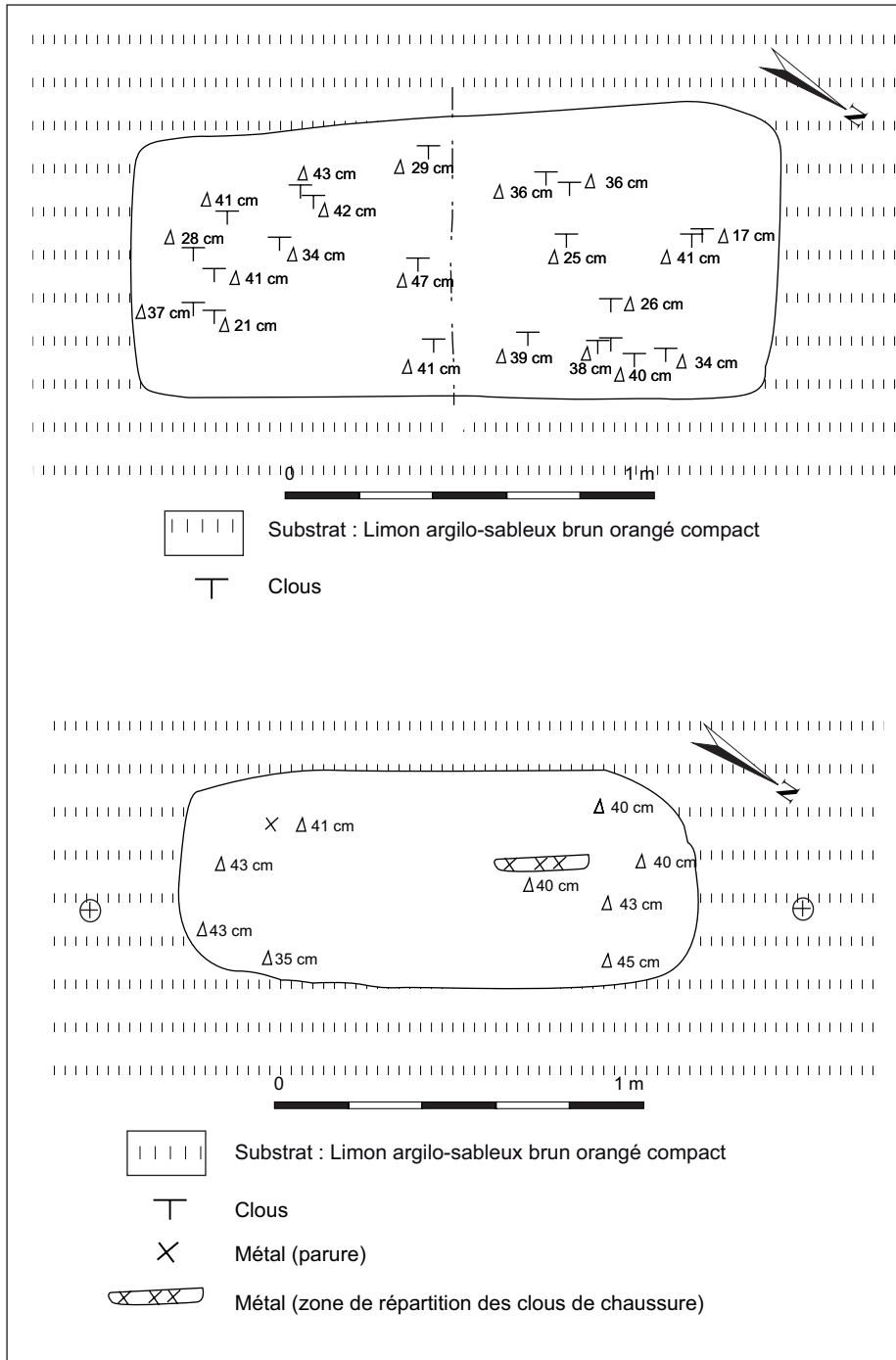


Fig. 32 : Emplacements des pièces métalliques avant apparition du squelette et sur le fond de fosse (Dessin : M. Decofour, SDAVO, DAO : L. Cosialls, Université de Paris 1)

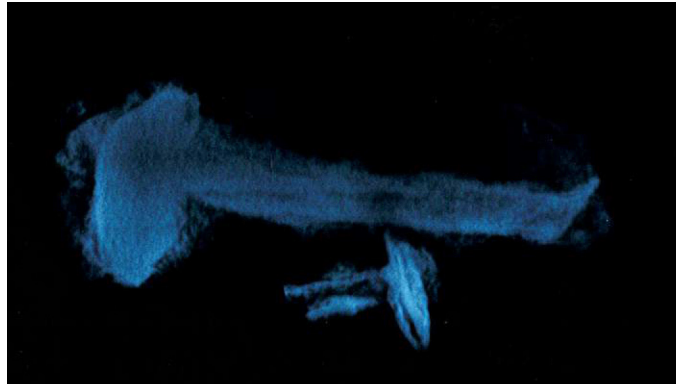


Fig. 33 : Clou retrouvé au niveau de l'épaule gauche
(Radiographie : Centre Hospitalier René Dubos, Pontoise)

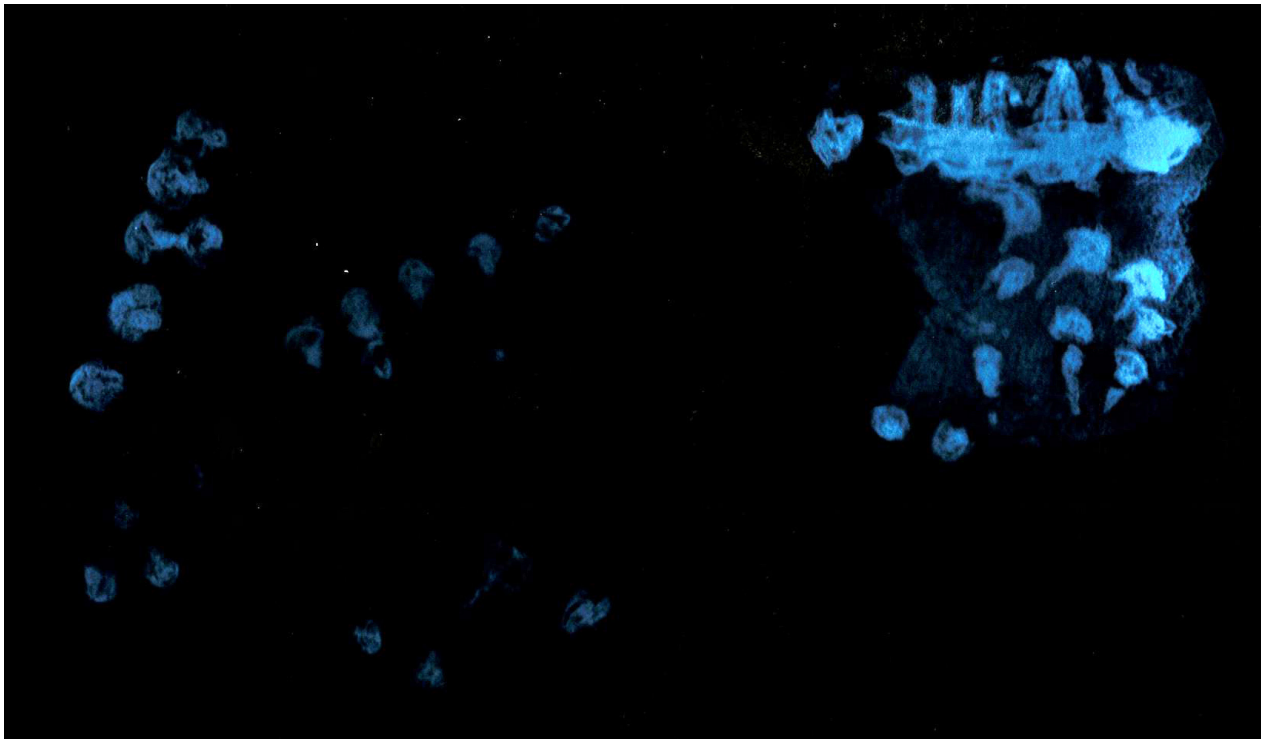


Fig. 34 : Les clous de chaussure retrouvés au niveau du genou gauche
(Radiographie : Centre Hospitalier René Dubos, Pontoise)

la troisième molaire mandibulaire droite (dent 4.8). Les incisives sont formées (malgré des racines moyennement conservées), la molaire est en cours de résorption. L'étude dentaire a été réalisée à partir des travaux de Moorrees *et al.*⁴³. La molaire présente un stade où la couronne est formée et la racine est au stade de développement initial (R₁). En comparant ce stade aux tables de références féminine et masculine, on le situe sur une amplitude allant de 10,5 à 15,5 ans (avec une moyenne de 12,5 ans pour les garçons et 13 ans 43- Moorrees et al. 1963.

pour les filles). En appliquant la même méthode à l'incisive inférieure latérale gauche (dont la conservation est meilleure), on constate que l'apex est complet (stade A₂) au maximum à 10,5 ans pour les filles et 11,5 ans pour les garçons. Le sexe ne pouvant être déterminé chez les individus immatures, l'analyse de cette incisive ne permet pas d'utiliser préférentiellement la table de référence masculine ou féminine. L'âge de cet individu est donc compris entre 10,5 et 15,5 ans.

Par ailleurs, une estimation de la stature a été



Fig. 35 : Aire de répartition des clous de chaussures
(Cliché : M. Decofour, SDAVO)

réalisée. Les mesures des os longs ont été effectuées sur le terrain étant donné la fragilité des ossements. Les longueurs conservées et estimées ont été mesurées, puis comparées aux tables de référence de Trotter et Gleser⁴⁴ (fig. 36). À l'instar de l'étude dentaire, les tables de références féminine et masculine ont été utilisées du fait de l'impossibilité d'établir une diagnose sexuelle pour les sujets immatures. La comparaison aboutit donc à une estimation de la stature entre 1,40 et 1,52 m.

Pour ce qui est des pathologies relevées sur l'individu, on peut noter au niveau dentaire, une carie peu avancée en face occlusale sur la molaire (4.8) ainsi qu'une usure sur les incisives (fig. 37). L'usure de l'incisive centrale (3.1) est relativement faible (dentine peu apparente) et se situe en face occluso-linguale, tandis que l'usure de l'incisive latérale (3.2), en face mésio-linguale, est très avancée (dentine fortement découverte) et asymétrique, se déportant vers le côté mésial (fig. 38). Une usure asymétrique d'une dent placée sur le devant de la bouche chez un individu jeune ne peut être causée uniquement par l'activité masticatrice. Ce type d'usure peut se révéler être un marqueur d'activité, comme les fileuses de laine qui passaient le fil entre leurs dents de devant et usaient de ce fait leurs dents prématurément et asymétriquement. De plus, ces deux incisives présentent des lignes d'hypoplasies de l'émail dentaire (fig. 37). Ces développements insuffisants de l'émail

Os	Longueur conservée	Longueur estimée	Stature estimée d'après longueur estimée (table féminine)	Stature estimée d'après longueur estimée (table masculine)
Humérus D	18 cm	26 cm	145 cm	Mesure non référencée pour cette table
Humérus G	21 cm	26 cm		
Radius D	Inobservable	Inobservable	140 cm	Mesure non référencée pour cette table
Radius G	16 cm	18 cm		
Fémur D	31 cm	36 cm	144 cm	Mesure non référencée pour cette table
Fémur G	29 cm	37 cm		
Tibia D	24 cm	29 cm	146 cm	152 cm
Tibia G	25 cm	29 cm		

Fig. 36 : Estimation de la stature d'après les longueurs diaphysaires
(M. Decofour, SDAVO)



Fig. 37 : Anomalies dentaires (flèches bleues : carie sur 4.8 (vue occlusale).
Flèches rouges : lignes d'hypoplasie de l'émail dentaire sur 3.1 et 3.2 en vue vestibulaire
(Clichés : M. Decofour, SDAVO)



Fig. 38 : Usure dentaire sur les dents 3.1 et 3.2
(vue linguale, clichés : M. Decofour, SDAVO)

se traduisent par des stries horizontales. Trois facteurs peuvent être à l'origine de ces hypoplasies : l'hérédité (moins de 1% des cas), un traumatisme local (moins de 5% des cas), et principalement, un stress métabolique systémique (alimentaire et/ou maladie, l'un impliquant souvent l'autre)⁴⁵. D'autre part, le sujet présente également une pathologie osseuse : la tubérosité deltoïdienne des deux humérus est anormale et elle présente une perforation latérale (fig. 39). Ces ossements mériteraient un examen approfondi par un spécialiste de la pathologie.



Fig. 39 : Pathologie de l'insertion du muscle deltoïde
sur les humérus
(Clichés : M. Decofour, SDAVO)

L'état de conservation des ossements est moyen, voire mauvais. Les os présentaient déjà sur le terrain un état de surface très friable avec des diaphyses érodées et fortement amincies, et des épiphyses incomplètes (fig. 40). À l'image de la conservation, la représentation squelettique est moyenne. La tête osseuse est complète avec le crâne et la mandibule, même s'il manque une partie de la face. La ceinture des membres supérieurs est représentée par des fragments des clavicules et des scapulas. À l'exception d'un fragment d'atlas, la colonne vertébrale a entièrement disparu, mais des « fantômes » des vertèbres subsistent par la présence d'un sédiment plus sombre et plus organique à l'emplacement des ossements (fig. 41). La cage thoracique a presque entièrement disparu, à l'exception de six ou sept fragments de côte(s) et un fragment de manubrium. Les os coxaux sont conservés, essentiellement le pubis et l'ilium. Les os longs du squelette appendiculaire (humérus, ulna, radius, fémur, tibia et fibula) sont bien représentés au niveau diaphysaire. Les ulnas et radius droits sont comparativement moins bien conservés que les os des membres inférieurs. Les patellas ont également disparu. Les mains et poignets sont totalement absents et les pieds et chevilles persistent par endroits, là encore sous forme de négatifs. Quant à la représentation squelettique après lavage, elle est très mauvaise, la plupart des ossements étant trop friables pour résister à cette manipulation (fig. 42).

Description taphonomique

Le crâne se présente par sa face latérale gauche, légèrement antérieure (fig. 43). La mandibule est en connexion lâche avec le crâne témoignant d'une ouverture de la bouche. Malgré la disparition des vertèbres, la présence de leurs négatifs permet d'analyser les connexions vertébrales, sauf pour les premières vertèbres qui ont disparues. Les articulations crâne-atlas et atlas-axis sont inobservables. À partir des vertèbres cervicales suivantes et jusqu'au sacrum, les connexions osseuses entre les vertèbres sont étroites. La colonne montre une



Fig. 41 : Négatifs des vertèbres
(Cliché : M. Decofour, SDAVO)

très légère sinuosité probablement due à la position semi fléchie des membres inférieurs entraînant son léger désaxement. En ce qui concerne les côtes, la mauvaise représentation a gêné leur description taphonomique. Les rares côtes en présence ont subi une mise à plat, sans toutefois sortir du volume du corps.

Au niveau de la ceinture des membres supérieurs, la scapula et la clavicule gauche apparaissent par leurs faces antérieures et sont en place. L'articulation scapulo-humérale gauche est en connexion étroite. La scapula droite se présente par sa face antéro-latérale et la clavicule droite est verticalisée, placée le long de la mandibule. De fait, la connexion scapulo-humérale droite est lâche.

Les membres supérieurs sont en extension et quasiment symétriques. L'humérus droit apparaît par sa face antéro-latérale et l'humérus gauche par sa face latérale. La position des avant-bras est légèrement différente puisque l'ulna et le radius droits sont en supination et se présentent en face antérieure, tandis que l'ulna et le radius gauches sont en pronation, le radius gauche apparaissant par sa face latérale. La

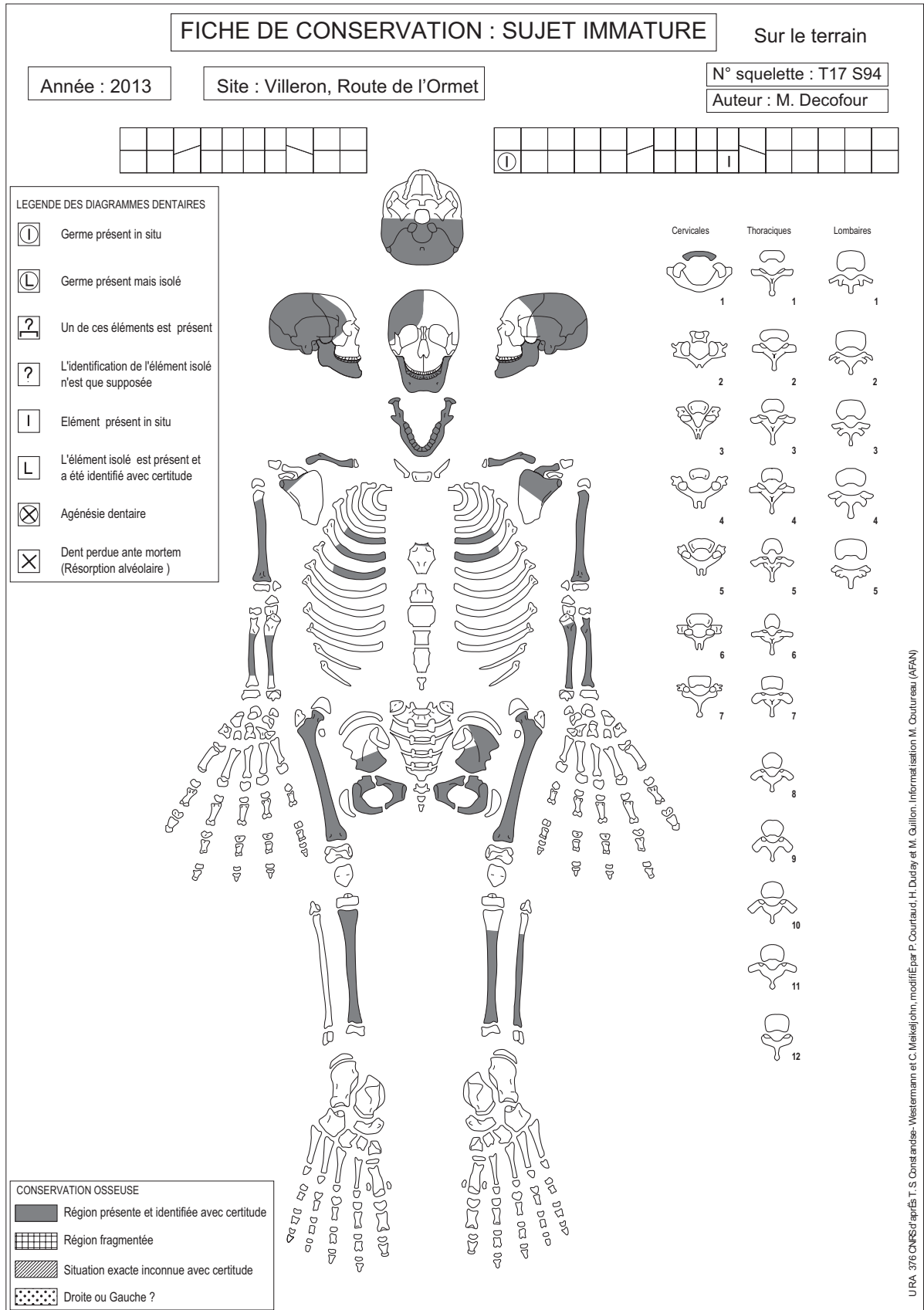


Fig. 40 : Fiche de conservation des ossements faite sur le terrain
(Mise en forme DAO : M. Decofour, SDAVO)

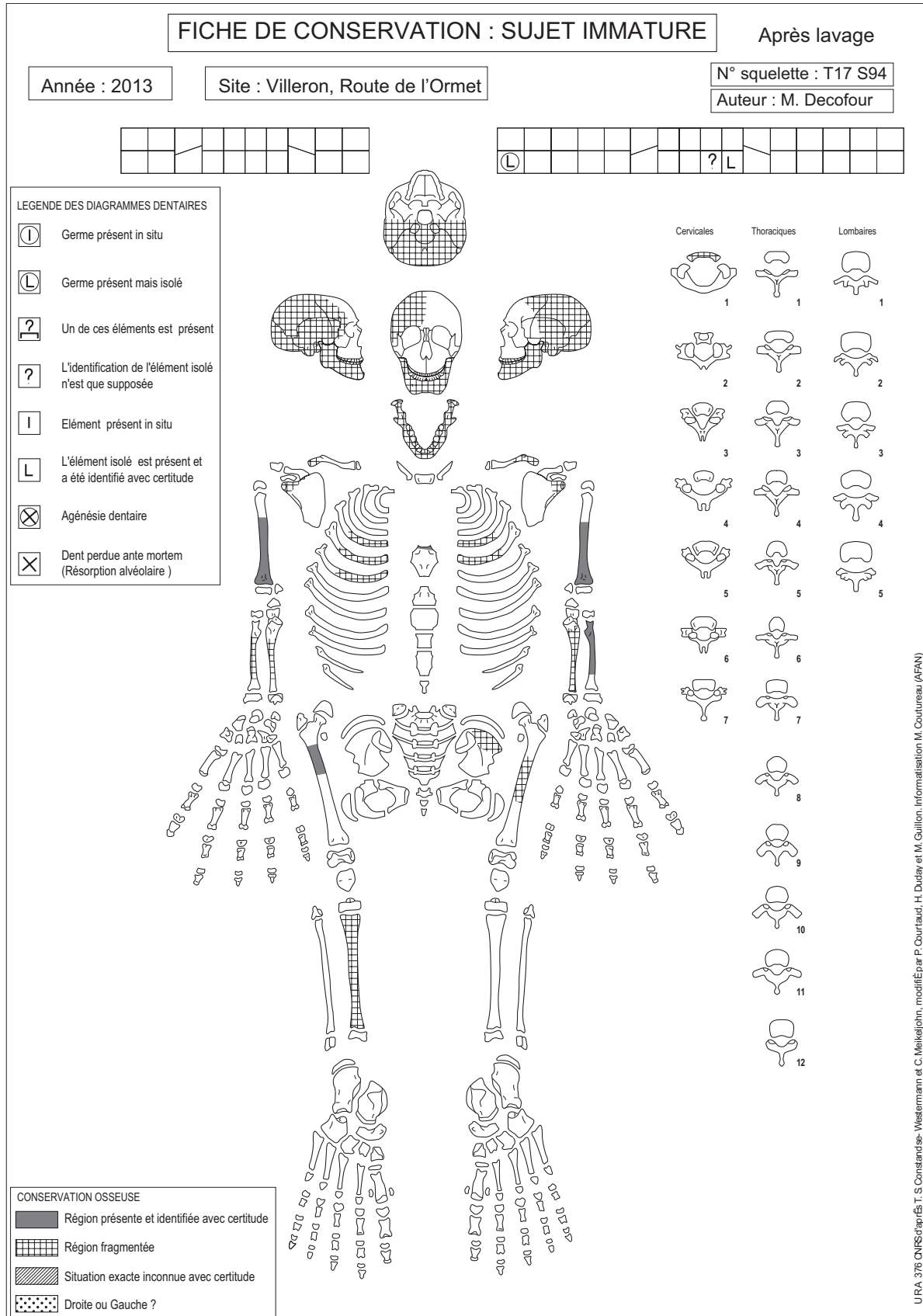


Fig. 42 : Fiche de conservation des ossements faite après le lavage (Mise en forme DAO : M. Decofour, SDAVO)

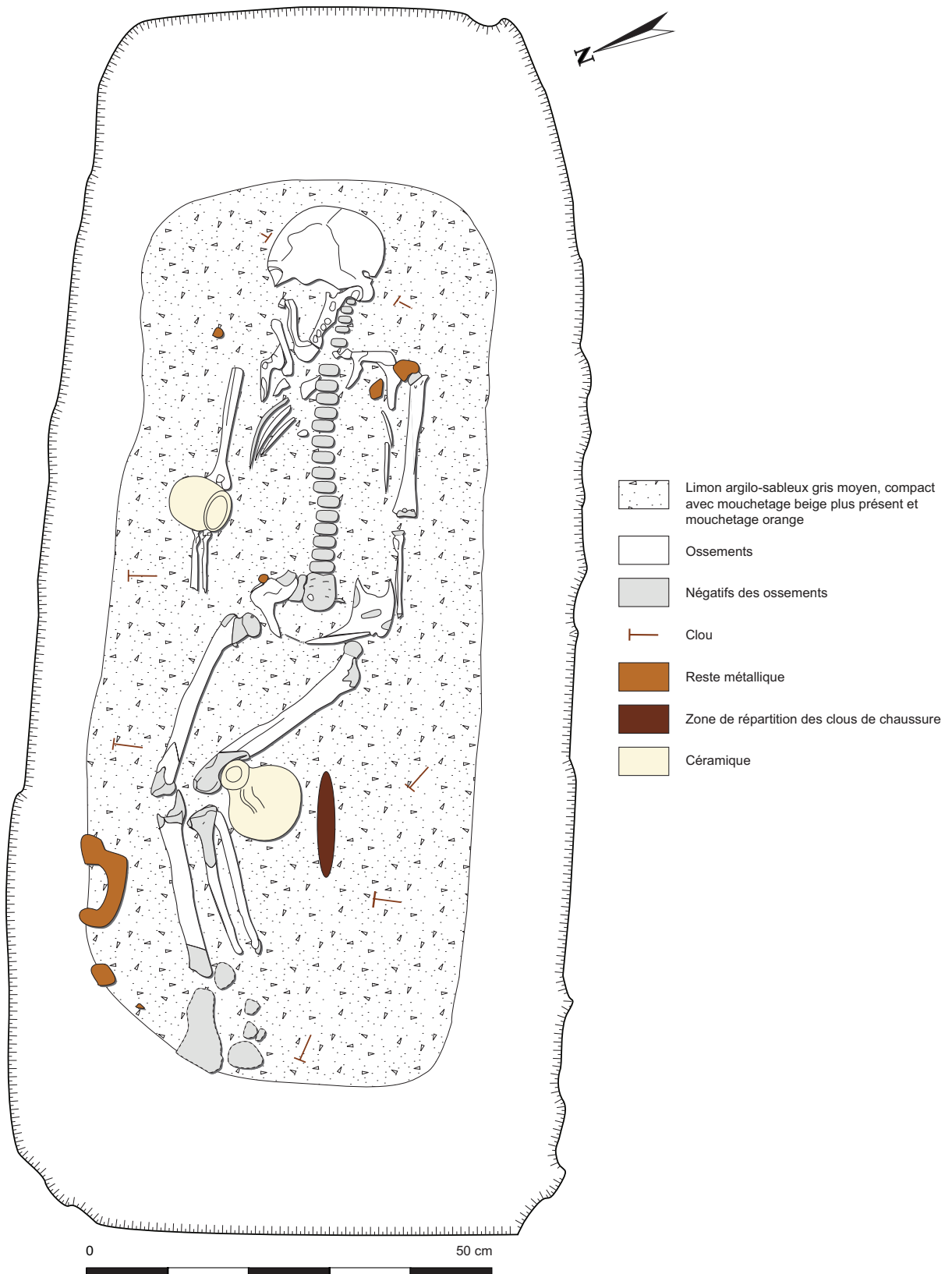


Fig. 43 : Plan de la sépulture S94
(DAO : L. Cosialls, Université de Paris 1)

position de pronation de l'avant-bras gauche a rendu inobservable la position de l'ulna gauche. La position des poignets et des mains droites et gauches, totalement absents et sans négatifs visibles, n'a pu être observée.

Concernant la ceinture des membres inférieurs, l'articulation coxo-sacrée n'a pu être décrite du fait du mauvais état de conservation. Le bassin, semi ouvert, est légèrement tourné vers la droite. Ce léger désaxement s'explique, tout comme pour la colonne vertébrale, par la position semi fléchie des membres inférieurs, posés sur le côté droit et qui ont légèrement entraîné le bassin de ce côté. Un effet de contrainte est perceptible sur la ceinture des membres inférieurs car elle ne s'est que partiellement ouverte. En effet, le léger désaxement sur la droite aurait du faire chuter l'os coxal gauche qui se trouvait de fait surélevé mais cela n'a pas été le cas. Par ailleurs, les articulations coxo-fémorales gauche et droite sont restées en connexion étroite. Les membres inférieurs sont donc semi fléchis, sur le côté droit. Ils sont asymétriques, le membre inférieur gauche offrant un degré de flexion plus important que le droit (90° pour le membre inférieur gauche contre 45° pour le droit). Le fémur droit se présente par sa face antérieure, alors que le gauche apparaît par sa face latéro-antérieure. Les deux fémurs n'ont pas subi de rotation. La position des patellas n'a pu être observée. Les genoux offrent également des positions différentes. Le genou gauche est en connexion étroite, ce qui n'est pas le cas pour le droit qui montre une connexion lâche. En effet, l'épiphyse distale du fémur droit est en surélévation par rapport à l'épiphyse proximale du tibia droit. Les tibias droit et gauche ainsi que le tibia droit sont insuffisamment conservés pour décrire les faces d'apparition. À l'instar du genou gauche, les chevilles et les pieds droites et gauches sont partiellement visibles par leurs négatifs. On peut néanmoins avancer que les chevilles droites et gauches sont restées en connexion étroite. De plus, bien que la position des pieds ne puisse être déterminée, le pied droit a laissé son empreinte en négatif, montrant un pied en hyperextension.

Type de dépôt et espace de décomposition

La sépulture 94 est une sépulture à inhumation individuelle. La disparition des petits ossements comme les mains et les pieds ainsi que la mauvaise conservation de la plupart des connexions notamment labiles ont gêné l'analyse taphonomique. On peut cependant observer la persistance de connexions étroites des trois étages vertébraux, et notamment de l'étage cervical qui est une articulation labile. Cela nous indique qu'il s'agit d'une sépulture primaire, c'est-à-dire un dépôt de cadavre frais dans une fosse qui va constituer le lieu de décomposition et de dépôt définitif. Le squelette présente une connexion lâche de l'articulation temporo-mandibulaire, une mise à plat des grils costaux ainsi qu'une surélévation de l'épiphyse distale du fémur droit par rapport au tibia droit qui, lui, a chuté au fond de la fosse. Cela nous permet de conclure que la décomposition s'est effectuée dans un espace vide. De plus, la densité importante de clous de menuiserie autour du sujet nous oriente vers un contenant rigide, qui aurait créé cet espace vide, de type cercueil ou coffrage rectangulaire réalisé en matière périssable (bois), et dont les seules traces matérielles se trouvent piégées dans la corrosion du mobilier métallique⁴⁶.

L'analyse des clous de menuiserie révèle des objets typiques d'un dispositif du type coffrage. Il ne s'agit donc pas ici d'un contenant mobile de type cercueil. N'étant pas tous rivetés, les planches que ces clous maintenaient devaient être relativement épaisses. Plusieurs éléments viennent renforcer l'hypothèse de la présence d'un coffrage. Tout d'abord, en surface, la fosse est surdimensionnée par rapport à l'espace occupé par le squelette (1,76 m de long sur 0,79 m de large en surface pour 1,25 m de long sur 0,40 m de largeur occupé par le sujet). De plus, le squelette repose à 0,43 m de profondeur depuis la surface de décapage au maximum. Cependant, la fosse mesure en totalité 0,48 m de profondeur, ce qui aboutit à 0,05 m de différence avec le squelette. Cet espacement ne pourrait avoir lieu sans la présence d'un élément entre le fond de la fosse et le squelette, rajoutant un

argument supplémentaire à l'hypothèse du coffrage avec une planche de fond.

Enfin, deux effets de parois ont pu être observés sur les ossements du sujet. Le premier est visible depuis l'épaule gauche jusqu'à l'os coxal gauche et le second est présent depuis le gobelet (sur le coude droit) jusqu'au genou droit (fig. 44). Ces effets de parois ne peuvent être imputés à la fosse creusée, puisque les bords de cette fosse sont bien plus écartés du corps.

L'ensemble des éléments trahit donc bien la présence d'un coffrage disparu dans lequel a été inhumé le sujet.

Dispositifs funéraires secondaires

En ce qui concerne la tête, on peut observer qu'elle n'a pas basculé, ce qui est pourtant fréquent pour des sujets inhumés sur le dos lors des décompositions en espace vide, en raison de la convexité de l'arrière du crâne. De plus, le crâne semble surélevé par rapport à la profondeur du reste du corps (0,30 m de profondeur au maximum pour le crâne alors que le corps est à une profondeur moyenne de 0,43 m). Il est donc possible qu'un dispositif périssable ait été placé sous la tête. Néanmoins, le tamisage de la terre présente sous la tête n'a livré aucun vestige organique.

Des déplacements d'ossements ont été observés mais aucune sortie du volume initial du corps ne s'est effectuée, exception faite de la clavicule droite, verticalisée et placée le long de la mandibule. La plus grande partie des ossements se trouvent dans la position qu'ils occupaient avant la décomposition du corps. Certains os sont donc en équilibre instable, ce qui n'est pas cohérent avec une décomposition en espace vide (les ossements ont tendance à sortir du volume initial du corps pendant la décomposition puisque libres de toute contrainte). Or, dans la description taphonomique, nous avons pu voir que certains ossements présentaient des effets de contrainte type compression. Effectivement, les grils costaux ont été mis à plat, mais un effet de compression apparaît délimitant les mouvements des côtes et les éloignant des membres supérieurs (fig. 45). De plus, l'os coxal



Fig. 44 : Effets de parois sur le squelette traduisant la présence d'un contenant périssable
(Cliché : M. Decofour, SDAVO)

gauche se trouve en position de déséquilibre du fait du léger désaxement du bassin sur le côté droit. Le bassin aurait donc du s'ouvrir et l'os coxal gauche basculer dans le cas d'une décomposition en espace vide. Ces deux éléments peuvent s'expliquer par la présence d'une enveloppe souple n'ayant pas laissé de trace matérielle. Cette enveloppe semblerait donc peu contraignante car il n'y a pas d'effet de compression au niveau des épaules (l'épaule gauche est en connexion stricte mais non compressée). Un linceul n'aurait pas délimité les côtes et le membre supérieur droit aurait été plus près du tronc, même dans le cas d'un linceul peu serrant. Cette hypothèse est donc

invisageable. En revanche, un vêtement à manches enserrant la cage thoracique et laissant les membres supérieurs indépendants serait une hypothèse plus plausible⁴⁷. Il est également possible que l'os coxal gauche ait été maintenu en équilibre car posé contre la paroi du coffrage, puisque, nous l'avons vu, l'effet de paroi à gauche est visible de l'épaule jusqu'au bassin.

L'hypothèse du port d'un linceul à manches n'est pas envisageable, les premiers linceuls à manches ne semblant apparaître que bien plus tard vers le X^e s. ap. J.-C.⁴⁸. La position des épaules est également sujette à réflexion. En effet, l'épaule gauche s'est maintenue dans sa position initiale avec un humérus en équilibre instable sur sa face latérale tandis que l'épaule droite s'est disloquée avec une clavicule verticalisée, un mouvement de la scapula et un humérus sur sa face antéro-latérale, qui est une position stable. Une contrainte a donc préservé l'épaule gauche par rapport à l'épaule droite. La verticalisation de la clavicule, sortie du volume initial du corps, est un indice de décomposition en espace vide. Or, nous avons vu que d'autres faisceaux d'indices convergent vers l'hypothèse du port d'un vêtement. Un vêtement à manches est peu contraignant pour les épaules car ce n'en est pas la fonction. La dislocation partielle de l'épaule droite avec la verticalisation de la clavicule peut donc s'expliquer par le peu de contrainte exercée par le vêtement. Un vêtement à manches est peu contraignant pour les épaules car ce n'en est pas la fonction. La dislocation partielle de l'épaule droite avec la verticalisation de la clavicule peut donc s'expliquer par le peu de contrainte exercée par le vêtement. En revanche, l'effet de paroi appliqué sur l'épaule gauche par les planches du coffrage a pu préserver cette articulation de la dislocation. Appuyée sur les parois, l'épaule s'est maintenue, en conservant l'humérus gauche dans sa position instable. La présence d'une enveloppe souple également pour la partie inférieure du corps ne pourrait être démontrée en raison de l'existence d'autres contraintes sur les jambes. En effet, le fémur gauche se présente sur sa face latéro-antérieure, ce qui est une position d'équilibre instable.

47- Bucquet-Marcon et al. 2009.

48- Treffort 1996.



Fig. 45 : Effets de compression sur les côtes traduisant la présence d'un vêtement à manches (Cliché : M. Decofour, SDAVO)

Cette position a été maintenue par la présence de la cruche qui, probablement posée au fond du coffrage, a bloqué le genou dans ce déséquilibre (fig. 46).

Mobilier funéraire : dans ou sur le coffrage ?

Concernant le mobilier, la présence de la cruche à l'intérieur du coffrage a été démontrée. Pour ce qui est du gobelet, il est situé en contact immédiat avec l'articulation du coude (fig. 47). S'il avait été placé au-dessus du coffrage et qu'il avait chuté après décomposition du bois, du sédiment se serait d'abord infiltré et le gobelet n'aurait pas été en contact direct. En ce qui concerne la chaussure, il ne persiste plus qu'une longueur de clous de rive et quelques clous de remplissage (fig. 48). Les clous de rive sont les clous alignés, situés sur le pourtour extérieur de la chaussure, tandis que les clous de remplissage sont les clous disposés de manière plus ou moins



Fig. 46 : Cruche posée contre le genou gauche
(Cliché : M. Decofour, SDAVO)

aléatoire au centre de la semelle. Ces restes nous permettent d'affirmer la présence d'au moins une chaussure déposée. Les clous de rive sont restés bien alignés, argument en faveur d'un dépôt dans le coffrage. En effet, si la chaussure s'était décomposée au-dessus du coffrage, puis avait chuté après décomposition du bois, les clous n'auraient pas conservé leur disposition d'origine et se seraient éparpillés⁴⁹. Le mobilier d'accompagnement était donc présent à l'intérieur du coffrage.

Mise en perspective

Mode de dépôt et architecture funéraire au Haut-Empire

Les pratiques funéraires de l'époque antique sont relativement bien connues en Île-de-France. De 50 à 180 ap. J.-C., c'est l'incinération des défunts qui prédomine, les inhumations restant marginales. Sous le règne d'Hadrien (117-138 ap. J.-C.), l'inhumation devient prépondérante à Rome tandis qu'elle se généralise en Île-de-France durant le dernier tiers du II^e s. ap. J.-C. et

49- Lebrun 2009.



Fig. 47 : Gobelet posé sur le coude droit
(Cliché : M. Decofour, SDAVO)



Fig. 48 : Clous de chaussure
(Cliché : M. Decofour, SDAVO)

le premier tiers du III^e s. ap. J.-C.⁵⁰. Inhumations et incinérations coexistent un temps puis l'incinération devient exceptionnelle. Ainsi, tandis que la sépulture découverte à Villeron est une sépulture à inhumation datée de la seconde moitié du II^e s. ap. J.-C., deux ou trois sépultures à incinération en urnes sont attestées pour la même période à Bonneuil-en-France (Val-d'Oise), à environ 15 km de Villeron⁵¹.

Les inhumations sont exclusivement primaires, les défunts généralement placés sur le dos, les bras le long du corps⁵². Les sépultures sont réunies en ensembles funéraires (nécropole). Les sépultures isolées sont rares sinon inexistantes aussi bien pour les adultes que pour les très jeunes individus immatures et périnataux. Ces derniers reçoivent néanmoins un traitement funéraire différent. L'architecture funéraire est

50- Horber 2007.

51- Bruley-Chabot 2005.

52- Bourgeois 1984.

variée, allant de la simple inhumation en pleine terre au coffrage de pierres, en passant par le sarcophage, le coffrage et le cercueil en bois.

Dans le Val-d'Oise, pour le Haut Empire, les inhumations en contenant de bois semblent les plus fréquentes avec les inhumations en pleine terre. L'inhumation en cercueil de bois cloué est même quasiment systématique dans la nécropole antique d'Épiais-Rhus occupée du I^{er} s. au IV^e s. ap. J.-C. Au II^e s. ap. J.-C., 60% des inhumations y sont effectuées en cercueil de bois cloué⁵³ constitués de planches légères renforcées à l'aide de traverses et assemblées grâce à des clous courts (5 à 6 cm de long)⁵⁴. À Bonneuil-en-France, une sépulture en coffrage de hêtre de la seconde moitié du II^e – début du III^e s. ap. J.-C. a été découverte. Les planches sont simplement maintenues par pression et non par fixation métallique. Elles ont été mises en place directement dans la fosse, contre les parois. Un sujet immature y a également été découvert, inhumé dans un coffre domestique en chêne utilisé avant de servir de contenant funéraire⁵⁵.

À Saint-Nom-La-Bretèche (Yvelines), ce type de coffrages de planches disposées directement sur place semble majoritaire, tandis que le contenant de bois cloué prédomine à Tremblay-en-France (Seine-Saint-Denis) et Cormeilles-en-Parisis (Val-d'Oise)⁵⁶.

Mobilier funéraire au Haut Empire

La présence de céramique dans les sépultures à inhumation du Haut-Empire est très fréquente et constitue l'élément le plus constant des dépôts funéraires de l'époque gallo-romaine. Il ne s'agit vraisemblablement pas de céramiques à usage strictement funéraire. Il s'agirait principalement de contenants domestiques portant fréquemment des traces d'utilisation, d'usure et/ou de réparation⁵⁷. À Cormeilles-en-Parisis (Val-d'Oise), treize tombes antiques recelaient un, deux, voire trois vases dans les dépôts funéraires⁵⁸. A Chantambre (Essonne),

53- Lebrun 2009.

54- Horber 2007.

55- Lecomte-Schmitt, Le Forestier 2012.

56- Pimpaud et al. 2013, Lawrence-Dubovac 2007, Goncalves-Buissart 2006.

57- Horber 2007.

58- Pimpaud et al. 2013.

une sépulture à inhumation de la fin du II^e s. ap. J.-C. a révélé la présence de trois vases, une cruche, un gobelet et une écuelle⁵⁹ se rapprochant du corpus céramique découvert dans la sépulture de Villeron.

En ce qui concerne les chaussures et clous de chaussures, les mentions de ces éléments dans les sépultures antiques sont assez fréquentes. La présence de chaussures dans les sépultures est attestée le plus souvent par des petits clous, éventuellement par la conservation dans certaines conditions particulières de vestiges de cuir ou de tissu. Le nombre de sépultures révélant des chaussures est extrêmement variable d'une nécropole à une autre ou au sein même d'une nécropole. La dotation de chaussures ou sandales n'est pas systématique dans la majorité des nécropoles gallo-romaines d'Île-de-France. Ce dépôt s'effectue majoritairement dans des sépultures individuelles⁶⁰. À Épiais-Rhus (Val-d'Oise), 51 tombes sur les 125 présentent des clous de sandales⁶¹.

Les chaussures peuvent être portées ou déposées près du défunt, quelque soit l'architecture funéraire (contenant rigide ou pleine terre). À Chantambre (Essonne), 30% des tombes recelaient des chaussures qui étaient portées par les défunts et 10% déposées⁶². À Maule (Yvelines), les chaussures semblent rarement portées mais majoritairement déposées tandis qu'à Cormeilles-en-Parisis (Val-d'Oise), 12 tombes sur 30 présentent des clous de sandales dont 8 en position portées. L'interprétation de ces dépôts funéraires de chaussures reste encore sujette à discussion. Une base nationale recensant toutes les sépultures du territoire métropolitain dans lesquelles des chaussures ont été découvertes est en projet par M. Gaultier et E. Trébuchet⁶³.

Conclusion

La sépulture 94 de Villeron renferme un individu adolescent (entre 10,5 et 15,5 ans) de sexe indéterminé. Le sujet a été inhumé sur le

59- Horber 2007.

60- Gaultier et al. 2009.

61- Lebrun 2010.

62- Murail 1996.

63- Gaultier et al. 2009.

dos, dans un coffrage de bois cloué, les jambes repliées sur le côté droit. Le corps semble avoir été vêtu au moins dans sa partie supérieure. Un gobelet, une cruche et au moins une chaussure déposée accompagnent le défunt à l'intérieur du contenant.

Ces différents résultats renvoient à des pratiques funéraires connues dans le monde romain et plus particulièrement en Île-de-France durant le Haut-Empire. Ce type de tombe paraît assez fréquent dans des ensembles funéraires de type nécropole. Or, la tombe de Villeron paraît isolée en l'état actuel des recherches menées sur le terrain. Seules des investigations approfondies permettraient de confirmer cette hypothèse.

VII.2.2- L'enclos ouest

L'enclos ouest n'a pu être appréhendé que partiellement, aucun angle n'ayant été identifié. La forme en plan proposée pour cet ouvrage reste donc hypothétique.

VII.2.2.1- La bordure est (Fo98, Fo99, Fo 102, Fo 135)

La longueur du grand côté peut être évaluée à 215 m environ. La portion de fossé Fo135, repérée dans la tranchée 17, est apparue à 0,50 m sous la surface. Elle est orientée selon un axe nord-est / sud-ouest et mesure 3,20 m de long pour 2,20 m de large (fig. 49). Dans sa partie sud, le fossé s'interrompt à quelques mètres de l'angle nord-ouest de l'enclos est. Le sondage manuel pratiqué perpendiculairement à l'axe du fossé révèle un profil au fond irrégulier et des parois dissymétriques. La paroi nord-ouest est en pente douce, alors que la paroi sud-est dessine une marche. L'épaisseur du comblement est de 35 cm. Le remplissage principal correspond à un limon sablo-argileux brun moyen moucheté brun clair, compact, sur 25 cm d'épaisseur. La couche sous-jacente est un limon sablo-argileux compact brun moyen, avec des poches de couleur gris clair et des traces d'oxydation. Cette structure a livré des fragments de terre cuite architecturale compatibles avec une datation antique.

Le segment de fossé Fo99 se situe dans la tranchée 19, dans le prolongement du fossé Fo135. Il est apparu à 0,62 m sous la surface, creusé dans le limon argilo-sableux brun orangé compact (fig. 50). Son tracé a été suivi sur 8 m de longueur. Le sondage manuel pratiqué révèle un profil à fond arrondi avec évasement des parois. La largeur du creusement atteint 1,20 m pour une profondeur sous décapage de 0,50 m. Le comblement principal est un limon sablo-argileux brun-gris moyen moucheté beige et brun foncé, compact, de 40 cm d'épaisseur. Il recouvre un limon sablo-argileux brun-gris clair moucheté beige et gris clair, compact, à inclusions noires et rouges. Le mobilier recueilli provient du comblement principal. Il comprend un fragment de panse à face externe noire et à face interne gris noire, à pâte sableuse gris clair, et trois fragments de panse à face externe noire et à face interne noire à grise à pâte sableuse claire ou sombre. Ces vestiges sont antiques.

Le tronçon de fossé Fo98 se trouve à environ 1 m à l'est du fossé précédent. Il lui est parallèle. C'est d'ailleurs le seul endroit où le fossé de l'enclos ouest semble doublé. Ce tronçon, apparu à 0,60 m de profondeur, a été suivi sur 7,60 m de longueur. Il mesure 0,30 m de large et est conservé sur 10 cm d'épaisseur. Son profil est en cuvette et le comblement correspond à un limon argilo-sableux brun-gris clair moucheté beige et orange, compact. Il n'a pas livré de reste et son rattachement à l'Antiquité s'appuie sur la stratigraphie.

Le tronçon de fossé Fo102 se trouve dans la tranchée, dans le prolongement du fossé Fo98 ou Fo99. Il a été suivi sur environ 10 m de long et est apparu à 0,50 m sous la terre végétale (fig. 51). Le sondage a révélé un profil à fond arrondi avec des parois dissymétriques. La paroi est est subverticale et la paroi ouest est en pente douce. Il mesure 0,50 m de large pour une profondeur sous décapage de 0,25 m. Le comblement est un limon sablo-argileux brun-gris clair, peu compact. Aucun vestige n'a été recueilli. Le rattachement de cette structure à l'Antiquité s'appuie sur la stratigraphie relative.

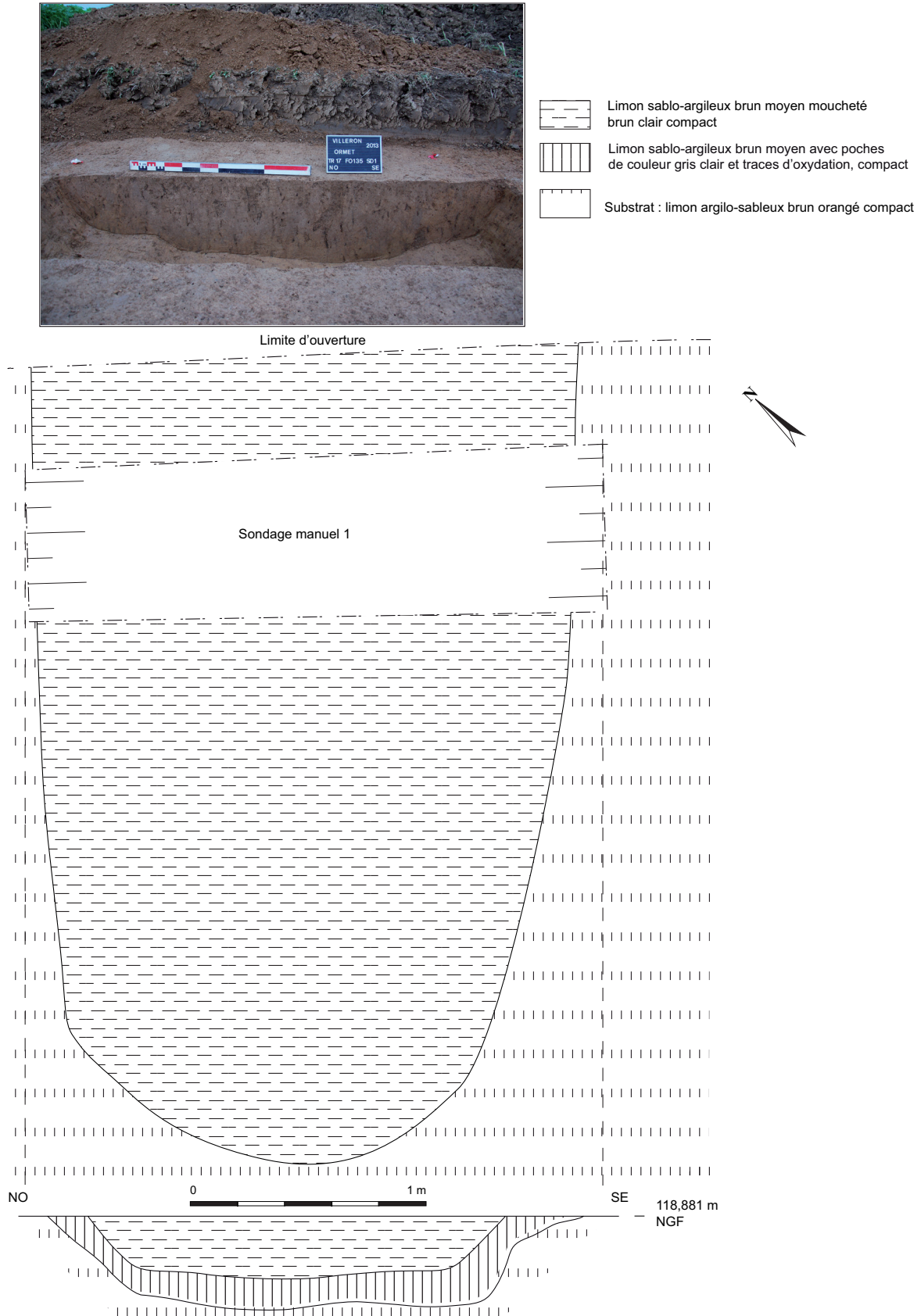


Fig. 49 : Plan et coupe du fossé Fo135
(Dessin : P. Carvalho, DAO : M. Decofour, SDAVO)

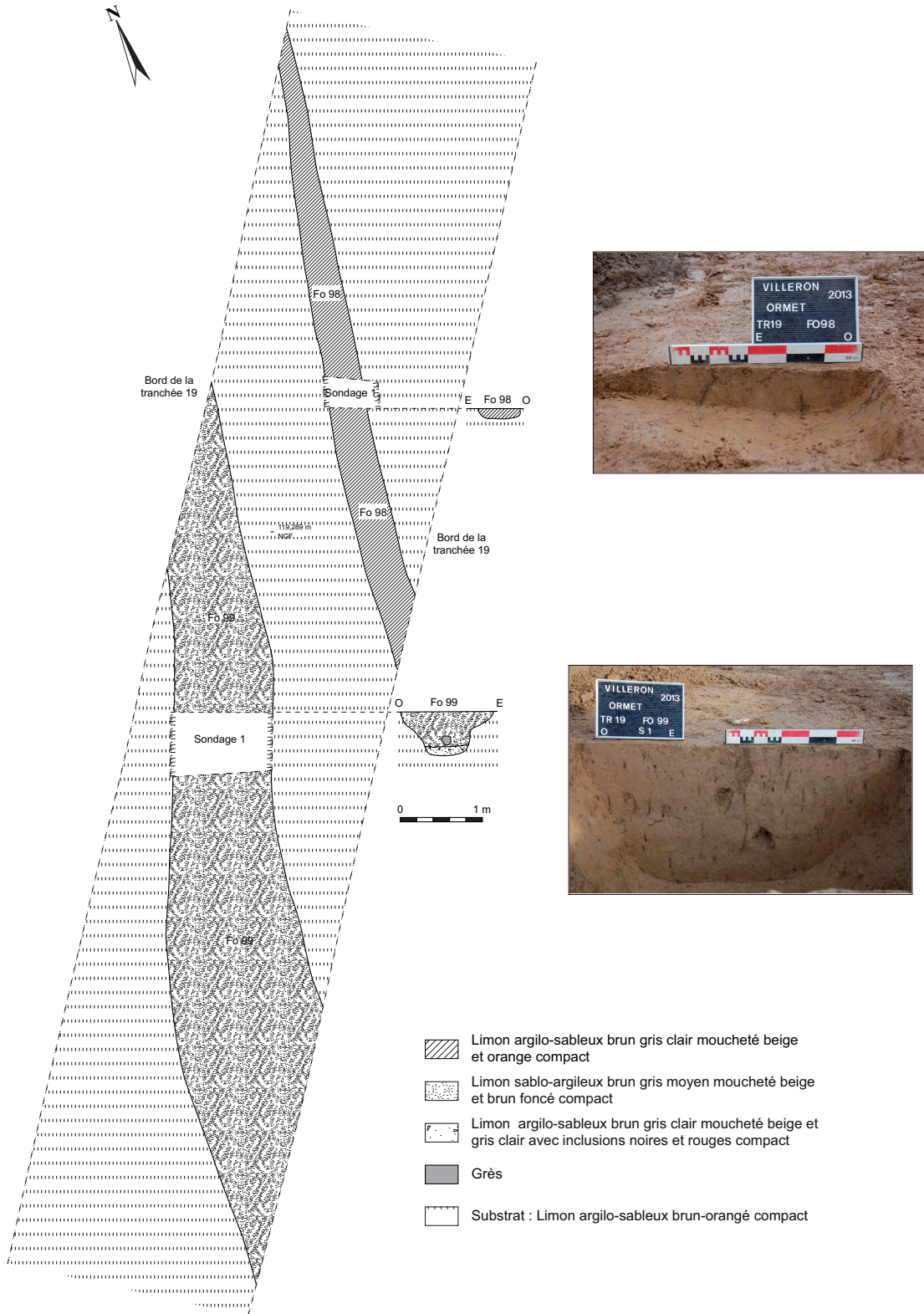


Fig. 50 : Plan et coupe du fossé Fo99
(Dessin : P. Carvalho, DAO : M. Decofour, SDAVO)

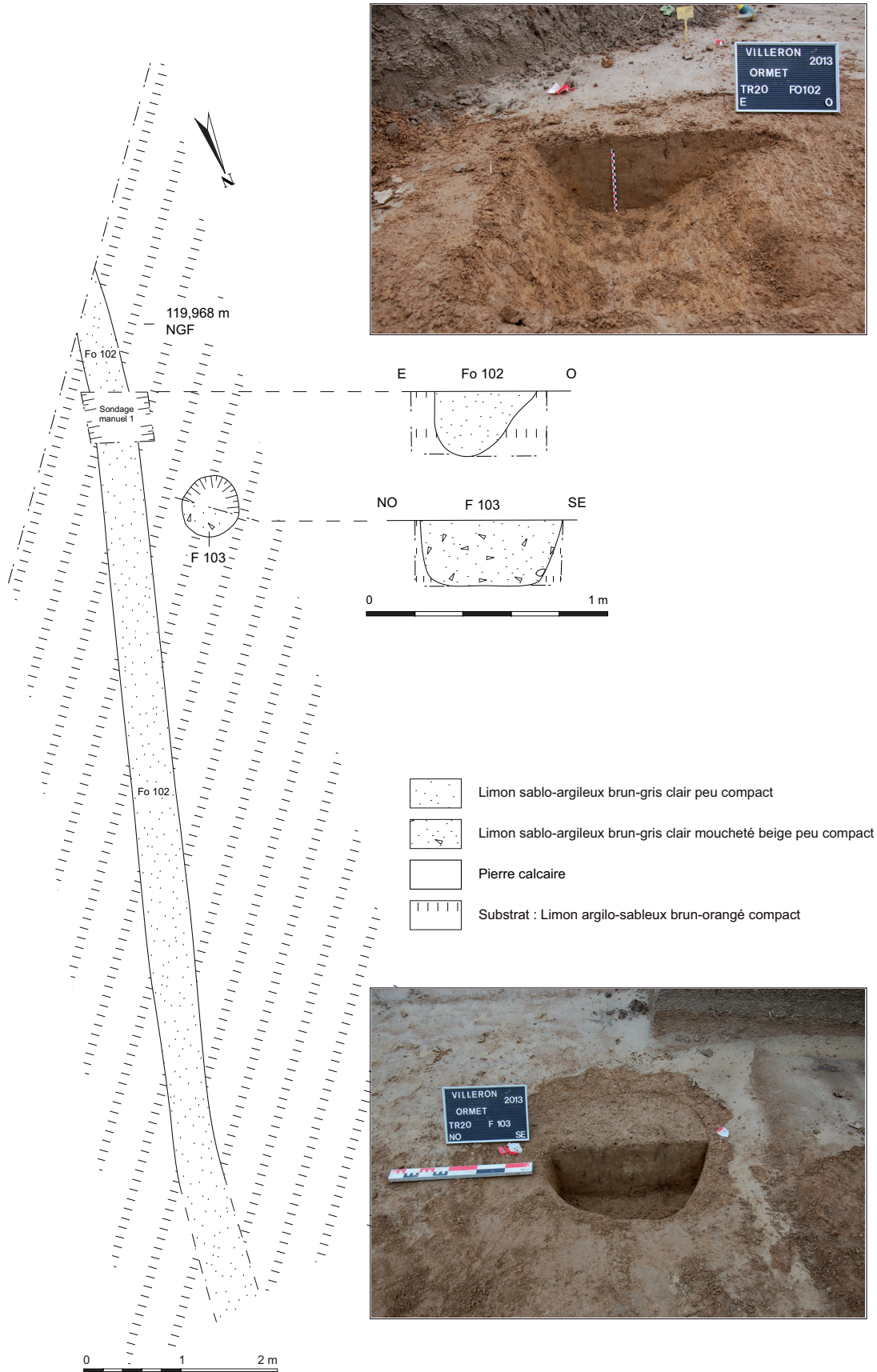


Fig. 51 : Plan et coupe du fossé Fo102
(Dessin : J.-G. Pariat, DAO : M. Decofour, SDAVO)

VII.2.2.2- La bordure nord (Fo111)

La bordure nord a été suivie sur une longueur de 56 m selon un axe est / ouest. Deux tronçons de fossé baptisés Fo111 ont été mis en évidence dans les tranchées 21 et 22. Seul le tronçon de fossé de la tranchée 21 a été sondé. Il a été découvert à 0,44 m de profondeur et suivi sur 4,30 m de long (fig. 52). Sa largeur est de 0,82 m pour une profondeur sous décapage de 0,33 m. Le profil est en U et le comblement correspond, pour les vingt premiers centimètres, à un limon sablo-argileux brun-gris clair, compact. La couche sous-jacente de 8 cm d'épaisseur est limoneuse, sablo-argileuse orange, compacte. Enfin, le fond est recouvert d'un limon sablo-argileux compact brun-gris clair avec inclusions rouges. Le mobilier recueilli correspond à deux tessons dont un fragment à face externe beige et à face interne rose à pâte sableuse claire attribuable à l'Antiquité. Huit fragments de dents animales proviennent également de cette structure.

VII.2.2.3- Les structures liées à l'enclos ouest

Deux structures se trouvent dans la zone interne de l'enclos ouest : la fosse F100 et la fosse F103.

VII.2.2.3.a- La fosse F100

La fosse F100 est apparue dans la partie sud de la tranchée 19 à 0,68 m de profondeur. Elle est de plan circulaire, mesure 8,60 m de diamètre et a été observée sur une épaisseur de 1,25 m. Les investigations n'ont pas été poursuivies au-delà compte tenu des dimensions hors norme de cette structure et des contraintes de temps liées à l'opération. Le fond n'a donc pas été atteint.

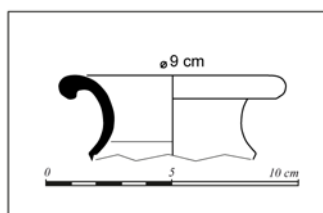


Fig. 54 : Fragment de bord issu de la fosse 100
(Dessin et DAO : M. Decofour, SDAVO)



Fig. 55 : Détail des restes animaux en connexion à 1,25 m de profondeur, fosse 100
(Cliché : M. Decofour, SDAVO)

En coupe, les parois sont obliques (fig. 53). Le comblement correspond à un limon argilo-sableux brun-gris clair moucheté beige, compact, avec des inclusions noires. Quelques pierres calcaires sont dispersées dans ce comblement. Les vestiges recueillis dans la partie sondée mécaniquement correspondent à treize tessons répartis entre 0 et 0,50 m de profondeur ainsi que des restes osseux animaux dont certains en connexion apparaissant entre 0,50 m et 1,25 m de profondeur.

La céramique est dominée par des fragments de panse à pâte sableuse claire ou sombre. Signalements tout de même un bord de céramique fine à pâte grise présentant des faces grises, deux autres à pâte grise avec des faces blanc crème, enfin un bord à pâte sableuse claire présentant des faces grises à noires (fig. 54).

Quatre-vingt-un ossements animaux ont été recueillis. La majorité d'entre eux sont dispersés dans le remplissage. Seule une portion de squelette de bœuf était en connexion à 1,25 m de profondeur (fig. 55). Les os appartiennent exclusivement à des herbivores (cheval, bœuf) et correspondent essentiellement à des grands os longs. Plusieurs d'entre eux comportent des traces de découpe au niveau des régions articulaires.

Cette structure n'est pas aisée à interpréter. Elle

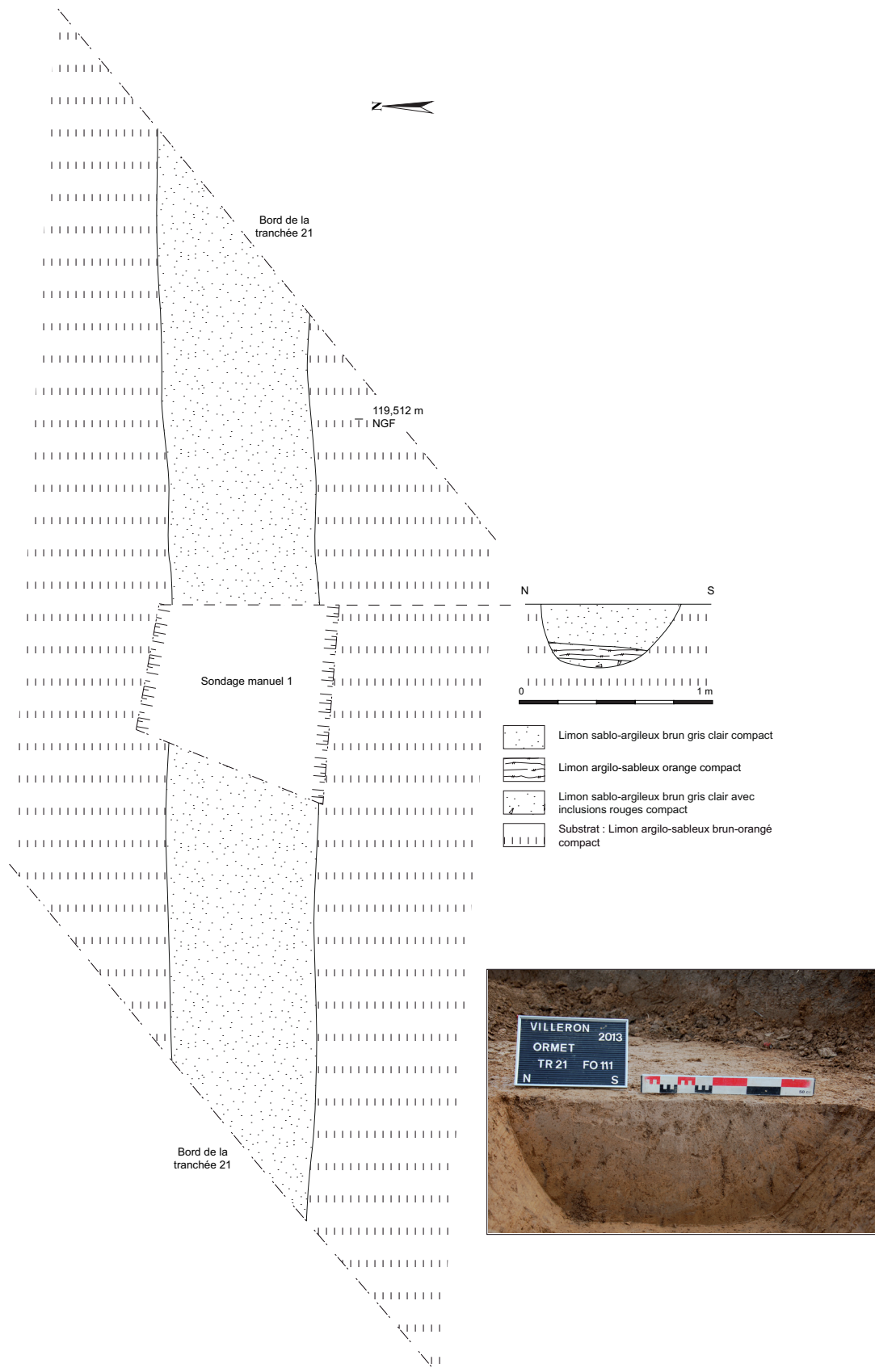


Fig. 52 : Plan et coupe du fossé Fo111
(Dessin : J.-G. Pariat, DAO : M. Decofour, SDAVO)

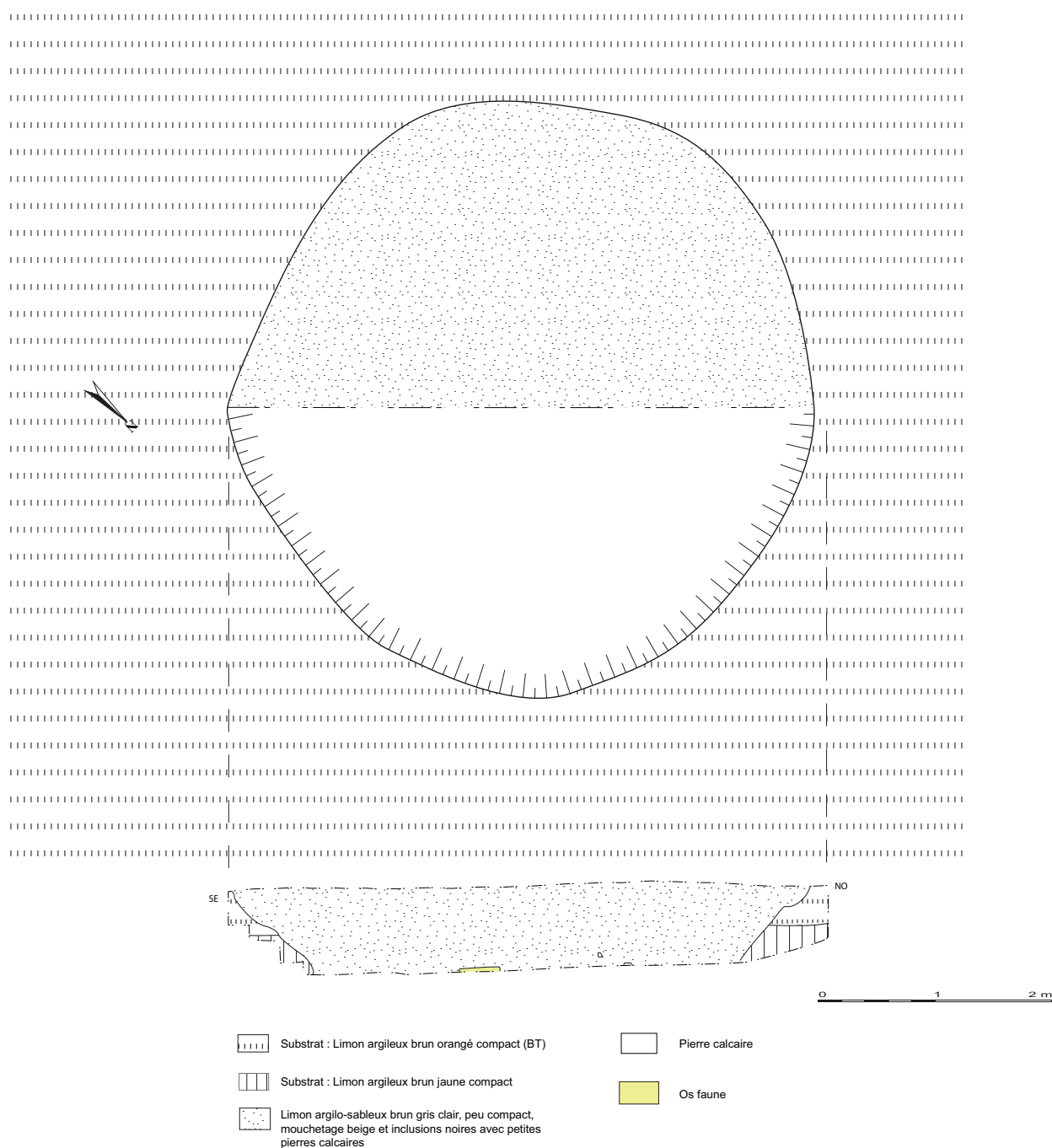


Fig. 53 : Plan et coupe de la fosse F100
(Dessin : M. Decofour, SDAVO ; DAO : L. Cosialls, Université Paris 1)

semble avoir accueilli des rejets de nature domestique mais vu les dimensions de la structure et le faible volume de vestiges qu'elle abrite, elle pourrait avoir connu une fonction primaire autre. Cette fosse rappelle dans une certaine mesure celles décrites à Roissy-en-France « ZAC du Moulin – La Vignole » et interprétées comme des fosses d'extraction⁶⁴.

VII.2.2.3.b- La fosse F103

La fosse F103 se trouve dans la partie nord de la tranchée 20. Elle se démarque du limon argilo-sableux brun orangé compact par un complètement limoneux sablo-argileux brun-gris clair moucheté beige, peu compact. Apparue à 0,48 m sous la surface, elle présente un plan ovale, mesure 0,66 m de long par 0,50 m de large. Sa

64- Damour, Seng 2009.

profondeur sous la surface du décapage est de 0,24 m. Aucun vestige n'a été découvert dans le comblement. Le rattachement à l'Antiquité s'est fait sur la base de la relation stratigraphique avec les autres structures.

VII.2.3- Perspectives

Les résultats des différentes analyses menées à l'issue du diagnostic font ressortir la diachronie de l'occupation antique. En effet, plusieurs indices suggèrent une occupation relativement longue : deux tessons découverts en surface au niveau de l'angle nord-ouest de l'enclos sont datés d'une phase comprise entre la fin du I^{er} s. av. J.-C. et le début du I^{er} s. ap. J.-C. ; l'un des quatre vases en place dans le comblement du fossé de l'angle nord-est date de la fin du I^{er} ou du début du II^e s. ap. J.-C. ; enfin les vases de la sépulture sont plus tardifs (seconde moitié du II^e s. ap. J.-C.).

Ces différentes phases trahissent un fonctionnement relativement complexe et une pérennité de la fréquentation du site dès les prémices de l'Antiquité et durant le Haut-Empire.

La nature de l'occupation elle-même n'est pas simple à caractériser. L'enclos accueille des dépôts d'objets dont le rythme apparaît très particulier : dans un secteur, quatre vases subcomplets reposent à mi hauteur du comblement du fossé interne. Ailleurs, huit monnaies sont retrouvées près d'une zone de passage. Quel est le rôle du fossé interne qui, en l'état actuel des connaissances, recèle l'essentiel des vestiges ? S'agit-il d'un fossé régulièrement curé à des fins domestiques, puis comblé naturellement, ou faut-il envisager un fossé volontairement comblé par l'homme à des fins d'entretien des limites parcellaires pérennes ? Des analyses environnementales (micromorphologie notamment) menées en complément d'une approche archéologique approfondie permettraient sans doute d'apporter des éléments de réponse à une recherche qui n'en est encore qu'à ses balbutiements⁶⁵. Que dire également de la présence d'une sépulture aux abords immédiats du fossé externe de l'enclos est ?

Enfin, la fosse F100 semble correspondre à une unité domestique ou artisanale. Comment expliquer sa présence à cet endroit ? Peut-être suggère-t-elle la proximité d'autres structures appartenant à une occupation domestique ?

VII.3- Le Moyen Âge (J.-G. Pariat, F. Trouvé)

Le seul vestige d'époque médiévale mis en évidence est l'avenue de Saint-Germain, qui demeurerait visible dans le paysage par un dénivelé (V81).

VII.3.1- Observations générales sur la voie V81

La voie a été perçue au travers de six tranchées (T9, T12, T13, T14, T16, T17). Elle a été observée sur une largeur constante incluant les fossés bordiers de 12 à 13 m. Cet axe suit une orientation nord-ouest / sud-est.

Il a été décidé d'en entreprendre l'examen approfondi à un seul endroit, au sud, là où elle présentait un état de conservation optimal. Le sondage fut donc pratiqué mécaniquement au niveau de la tranchée 12 et le mobilier fut recueilli par passes artificielles, avant de procéder à un nettoyage de la coupe de la voie.

VII.3.2- État de conservation

L'état de conservation de l'avenue de Saint-Germain s'est avéré remarquable par bien des aspects. Ainsi, l'ouvrage est conservé sur 1 m d'épaisseur (fig. 56). Au moins deux états successifs ont été observés et reliés à différentes époques (médiévale, moderne). Dans son état la plus ancien (Moyen Âge), la voie semblait plus large que dans son état récent. La largeur des bandes de roulement oscillait entre 2,50 m et 5 m et le comblement était constitué d'un limon argilo-sableux brun foncé à très foncé, peu compact.

Des couches de forme et des niveaux de recharge ont par ailleurs été identifiés à l'instar de l'US21 correspondant à un limon argilo-sableux brun-beige compact avec des inclusions noires,

65- Pissot et al. 2013.

blanches, de la terre cuite architecturale et des pierres calcaires (fig. 57).

Enfin, des aménagements latéraux ont été observés. Il s'agit de fossés bordiers tels l'US3 comblée de limon argilo-sableux brun orangé et d'un amas de fragments de bouteille en verre d'époque moderne (fig. 58) ; ou l'US40 comblée de limon argileux brun moyen moucheté orange clair, compact, avec des inclusions blanches.



Fig. 58 : Vue de détail du fossé bordier recelant un dépôt de bouteilles en verre (US40, Cliché : M. Decofour, SDAVO)

VII.3.3- Le mobilier

163 vestiges recueillis lors du sondage pratiqué dans la tranchée 12 se répartissent en fragments de céramique, de terre cuite architecturale, de verre, de métal et d'os (fig. 59). Les tessons de céramique recueillis renvoient à deux époques distinctes. Un tesson à pâte sableuse claire prélevé entre 0,80 et 1 m de profondeur présente

une face noire et une face glaçurée jaune. Il est attribuable au Second Moyen Âge⁶⁶. C'est le cas également d'un tesson à pâte sableuse rose retrouvé en position secondaire dans l'US26 dont la face externe est glaçurée ocre et la face interne glaçurée ocre orangé.

Le niveau de recharge moderne (US21) a livré six tessons dont cinq fragments à pâte sableuse grise, à face externe grise et à face interne beige. Le sixième est un fragment d'anse à pâte sableuse claire dont les faces sont glaçurées jaune. Ce type est fréquent à partir du XVI^e s.

Parmi les autres vestiges découverts, la présence d'un bouton en nacre doit être signalée. Enfin, des ossements d'animaux ont été découverts à 1 m de profondeur, dont les restes d'un squelette de chien. La présence de ces vestiges osseux est peu aisée à expliquer.

VII.3.4- Perspectives

L'état de préservation de l'avenue de Saint-Germain est bon, ce qui a notamment permis de restituer deux états de la voie. À première vue, elle semble être d'usage local, et fait partie des éléments qui structurent le paysage. Une première recherche pratiquée à plus grande échelle en isolant les lignes fortes du parcellaire fait ressortir plusieurs axes routiers structurants. L'avenue de Chennevières fait figure de colonne vertébrale sur laquelle viennent se rattacher plusieurs limites dont le chemin de Vémars à Saint-Germain. L'avenue de la Baraque à Villeron, l'avenue de Louvres à Montméliant et l'avenue des Beurriers de Louvres à Survilliers constituent d'autres lignes fortes.

Si l'on associe axes de circulation et limites parcellaires, on constate que l'avenue de Saint-Germain partage une iso-axialité avec plusieurs limites parcellaires formant ainsi une bande parcello-viaire avec l'avenue de Chennevières. Cette bande suit la pente naturelle du versant. La photo-interprétation apporte des éléments supplémentaires avec mise en évidence de plusieurs lignes sombres qui partagent les orientations de cette trame parcello-viaire et peuvent correspondre à d'anciens chemins.

⁶⁶- Les déterminations chronologiques ont été réalisées à l'aide du tessonier du SDAVO.

TR 12 V 81 S 1 Description des comblements et creusements		
US	Type d'US	Description
1	Creusement	Creusement fossé bordier
2	Comblement	Limon argilo-sableux brun moyen moucheté brun foncé et brun-orangé clair compact avec rares inclusions blanches et quelques pierres calcaires - comble les creusements 1 et 3
3	Creusement	Creusement fossé bordier
4	Comblement	Poche de dépôt de verre de bouteille
5	Creusement	Ornière (fonctionne avec l'ornière de creusement 33 ?)
6	Comblement	Limon argilo-sableux gris moyen compact avec important litage (traces d'oxydations brun-ocre) et inclusions noires, blanches et de TCA (hydromorphe) - comble le creusement 5
7	Comblement	Limon argilo-sableux brun-orangé mélangé à du limon argileux brun moyen meuble avec pierres calcaires (recharge) - comble le creusement 5
8	Comblement	Limon argilo-sableux brun-gris moyen moucheté orange compact avec petites inclusions blanches, de charbon et de TCA et quelques pierres calcaires
9	Creusement	Ornière ? Postérieure à ornière de creusement 5 ?
10	Comblement	Limon argilo-sableux gris clair avec litage orangé et oxydations brun-ocre compact avec petites inclusions blanches, de charbon et de TCA (hydromorphe) - comble le creusement 9
11	Comblement	Limon argilo-sableux brun-gris moyen peu compact avec inclusions blanches et de TCA (présence de racines) - comble le creusement 9
12	Comblement	Limon argilo-sableux brun-gris moyen moucheté brun foncé très compact avec quelques inclusions blanches et rares inclusions de TCA
13	Creusement	Ornière ?
14	Comblement	Limon argilo-sableux brun-gris moyen moucheté gris avec litage et oxydation ocre compact avec nombreuses inclusions blanches et inclusions de TCA
15	Comblement	Limon argilo-sableux brun-gris moyen avec quelques traces d'oxydation en litage compact avec rares fines inclusions blanches et de TCA
16	Comblement	Limon argilo-sableux gris avec litage et oxydations compact avec inclusions blanches, noires et de TCA (niveau de circulation ?)
17	Creusement	Ornière (fonctionne avec l'ornière de creusement 13 ?)
18	Comblement	Limon argilo-sableux gris bleuté avec oxydations brun-ocre compact avec inclusions blanches (supérieures à 5 mm) et de TCA et une pierre calcaire
19	Creusement	Ornière
20	Comblement	Limon argilo-sableux brun-gris foncé moucheté de gris clair et de brun foncé (oxydations) compact avec inclusions blanches, noires et de TCA - comble le creusement 19
21	Comblement	Limon argilo-sableux brun-beige compact avec inclusions noires, blanches et de TCA et pierres calcaires (recharge)
22	Comblement	Couche composée de fragments de plâtre, de tuiles, de blocs agglomérés et de charbon, meuble (recharge ou préparation ?)
23	Comblement	Limon sableux brun foncé avec inclusions de fragments de plâtre, de charbon et de TCA et poche de fragments de plâtre et tuiles de fond de l'US - comble le creusement 45
24	Comblement	Limon sableux brun foncé meuble avec inclusions blanches, de métal, de verre et de céramique
25	Creusement	Creusement
26	Comblement	Limon argilo-sableux brun très foncé à noir peu compact avec inclusions de plâtre, de TCA, de mâchefer et de verre et pierres calcaires (niveau plan, niveau de circulation ?)
27	Comblement	Limon sableux brun foncé avec poches de limon argilo-sableux brun moyen peu compact avec inclusions de plâtre, de TCA et de verre
28	Creusement	Ornière ?
29	Creusement	Ornière ?
30	Comblement	Limon argilo-sableux gris moyen avec litage et traces d'oxydations brun-ocre compact avec inclusions noires et de TCA (hydromorphe) - comble les creusements 28 et 29
31	Comblement	Limon argilo-sableux gris moyen avec litage et traces d'oxydations brun-ocre peu compact avec inclusions noires et de TCA (hydromorphe) - comble les creusements 28 et 29
32	Comblement	Limon argilo-sableux moucheté ocre (oxydations) peu compact avec inclusions noires et de TCA et pierres calcaires
33	Creusement	Ornière (fonctionne avec l'ornière de creusement 5 ?)



Fig. 56 : Coupe de l'avenue Saint-Germain (T12, V81, Cliché : M. Decofour, SDAVO)

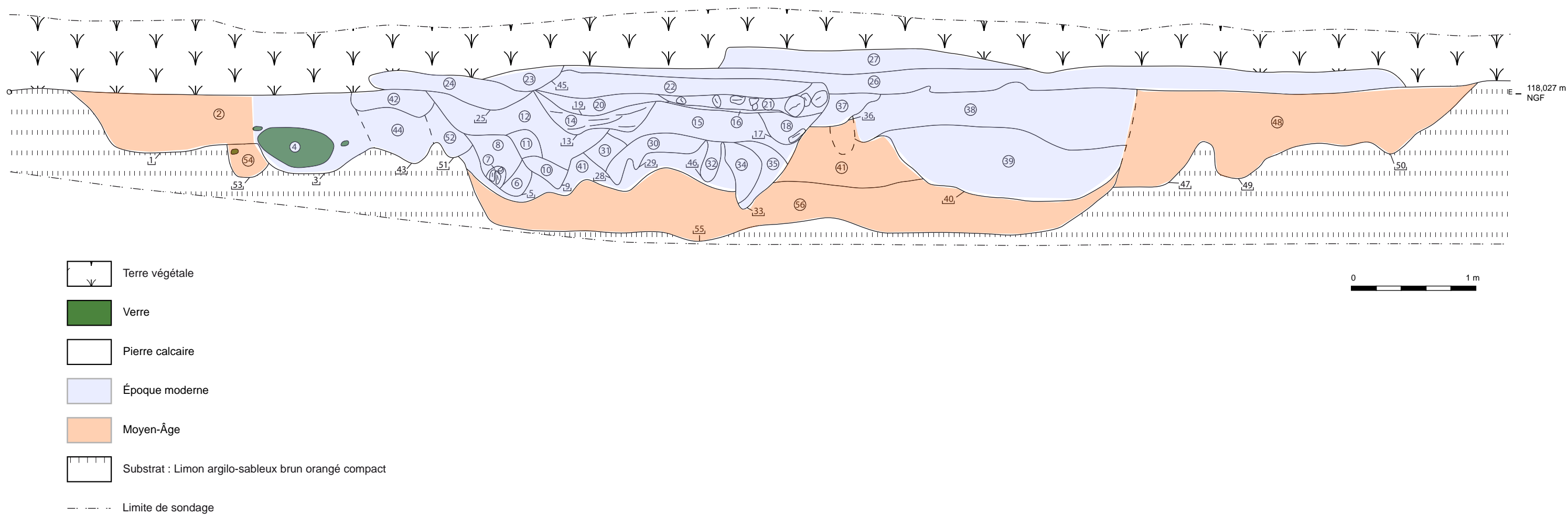


Fig. 57 : Coupe de la voie V81 (Dessin : P. Carvalho, DAO : M. Decofour, SDAVO)

Matériau	Datation 1	Datation 2	NR	Description matériau
autre	indéterminé		1	1 bouton nacré
céramique	médiéval	Second Moyen-Age	2	US 26. 1 bord de céramique fine : face externe glaçurée ocre, face interne glaçurée ocre-orangé, pâte sableuse rose
céramique	moderne		1	Profondeur : 40-60 cm. 1 anse, faces externe et interne glaçurées marron-jaune, pâte sableuse claire
céramique	contemporain		1	US 24. 1 fond de faïence
céramique	médiéval	Second Moyen-Age	1	Sondage 1, profondeur : 80-100 cm. 1 tesson, face externe ou interne noire, face externe ou interne glaçurée jaune, pâte sableuse claire
céramique	moderne	XVIe s.	6	Sondage 1, pavage, profondeur : 60-90 cm. 5 fragments de panse, face externe grise, face interne beige, pâte sableuse grise. 1 fragment d'anse, faces externe et interne glaçurées jaunes, pâte sableuse claire
métal	indéterminé		2	Sondage 1. Profondeur : 120-140 cm. 2 fragments indéterminés
métal	indéterminé		1	Sondage 1. Profondeur : 60-80 cm. 1 fragment de clou tête homme.
métal	indéterminé		1	Sondage 1. Profondeur : 100-120 cm. 1 indéterminé
métal	indéterminé		1	Sondage 1. Profondeur : 80-100 cm. 1 fragment indéterminé
os	indéterminé		21	Sondage 1, profondeur : 100 cm. 1 fragment de côte de grand ruminant (bovidé), côte sciée. Squelette partiel de chien (probablement même individu) : tête osseuse subcomplète avec 5 fragments de crâne, maxillaire complet, fragment de mandibule (gauche ?) av
os	indéterminé		3	Sondage 1, profondeur : 100-120 cm. 3 fragments indéterminés
os	indéterminé		1	1 talus de cheval (cassure franche due à pelle mécanique ?)
TCA	indéterminé		1	Sondage 1, profondeur : 100-120 cm. 1 fragment de TCA
TCA	indéterminé		2	Sondage 1, profondeur : 60-80 cm. 2 fragments de TCA
TCA	indéterminé		2	Sondage 1, profondeur : 120-140 cm. 2 fragments de TCA
verre	indéterminé		46	Sondage 1, profondeur 80-110 cm, bordier Nord-Ouest. 9 fragments de fond. 3 fragments de col. 34 fragments de panse
verre	indéterminé		62	Sondage 1, profondeur 80-110 cm, bordier Nord-Ouest. 1 fragment de col. 1 fragment de fond. 60 fragments de panse
verre	indéterminé		1	US 26. 1 fragment de verre
verre	indéterminé		3	Sondage 1, profondeur : 120-140 cm. 6 fragments de fond de bouteille
verre	indéterminé		1	US 24. 1 fragment de verre
verre	indéterminé		1	Sondage 1, profondeur : 60-80 cm. 1 fond de bouteille

Fig. 59 : Inventaire du mobilier issu du sondage pratiqué sur la voie V81 (J.-G. Pariat, SDAVO)

Le statut de l'avenue de Saint-Germain ne paraît donc pas si évident à caractériser. Cet axe semble avoir été un lieu régulièrement fréquenté au cours de l'Histoire. Des occupations ont donc pu se développer aux abords mais elles n'ont pas été repérées dans le cadre du présent diagnostic.

VII.4- L'époque moderne (J.-G. Pariat, P. Carvalho)

42 structures ont pu être attribuées à l'époque moderne, au regard du mobilier conservé, de leur position stratigraphique, ou encore des plans anciens. Douze de ces structures ont été

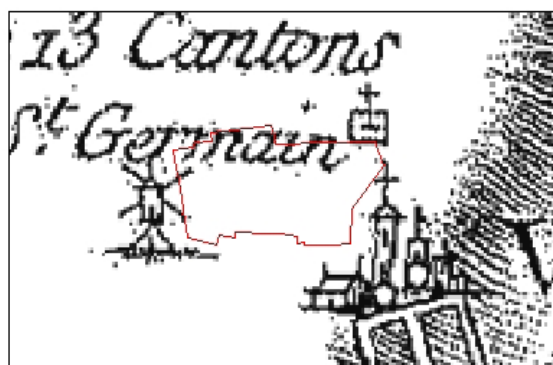
fouillées. L'une d'elle est une fosse de plantation (T1 F2), une autre est un fossé (T7 Fo50), deux autres sont des marnières (T7 F46, T21 F112) et les huit restantes appartiennent à une occupation moderne caractérisée par un moulin et son bâtiment d'habitation.

VII.4.1- Le moulin et ses abords (P. Carvalho)

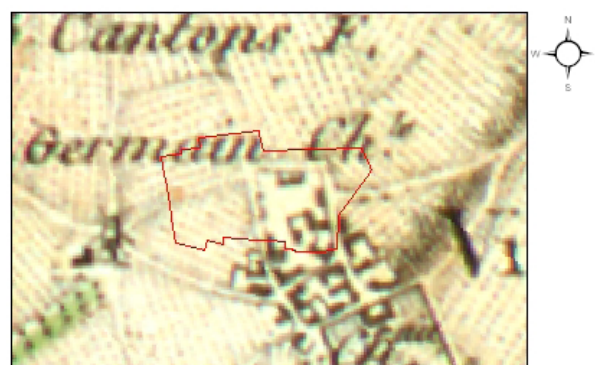
VII.4.1.1.- Étude documentaire préalable

La localisation précise du moulin et de certains indices de bâti a été effectuée en amont de l'opération grâce aux cartes anciennes.

La toponymie actuelle est source d'information



Carte de Cassini, 1781, IGN, Reproduction SDAVO CG95/DAC/SDAVO



Carte de Picquet. Val d'Oise et alentours, 1800. Reproduction SDAVO C.G95/DAC/SDAVO



Minute d'Etat-Major, 1819, IGN, Reproduction SDAVO CG95/DAC/SDAVO

Fig. 60 : Le moulin sur les documents anciens
(DAO : P. Carvalho, SDAVO)

puisque l'emprise du diagnostic est bordée par la rue de l'Ormet au sud et à l'est, et par la rue des Moulins à l'ouest. On retrouve « l'avenue des deux moulins » sur la minute des cartes d'État-Major. Les moulins en question sont ceux de Villeron et de Chennevières, comme le mentionne le cadastre napoléonien de 1823.

Le moulin est représenté et parfois nommé sur les cartes de Cassini et de Picquet, la minute d'État-Major, et le cadastre napoléonien (fig. 60). Il est situé à l'angle des deux voies principales structurant la paroisse, à savoir la rue des moulins et la rue de l'Ormet/de la sucrerie (anciennement « avenue de la Baraque à Villeron » sur le cadastre napoléonien). Il est localisé en retrait du village et distant de 180 m des premières habitations. Cet isolement ainsi que sa situation sur le versant sud du plateau (118 NGF) favorisent sa prise aux vents dominants.

Les représentations graphiques ne permettent pas de déterminer le type du moulin de Villeron. Il apparaît sur les cartes de Cassini et de Picquet

comme un moulin-pivot, dont on voit les liens emmortaisés sur lesquels repose la cage. La minute d'Etat-Major figure quant à elle un moulin-tour.

La carte de Picquet fait figurer à l'est du moulin un bâtiment en L. La levée du cadastre napoléonien, qui le représente en plan, permet une restitution topographique précise des vestiges (fig. 61). Sur ce dernier, un fossé bordier, représenté par un trait double, délimite les parcelles 136, 137, 138, 139 qui ne forment probablement qu'un seul et même ensemble foncier. Deux indices de bâti sont représentés avec la mention « Moulin de Villeron ». On y voit une forme circulaire (n°138). Au sud-est, légèrement décalé vers l'est, apparaît un bâtiment allongé, orienté nord-ouest / sud-est, et flanqué d'un ressaut sur son côté ouest (n°139). Un simple trait sépare le terrain où sont construits les bâtiments de la parcelle 136, tandis qu'une limite crénelée, symbolisant certainement des haies, sépare les

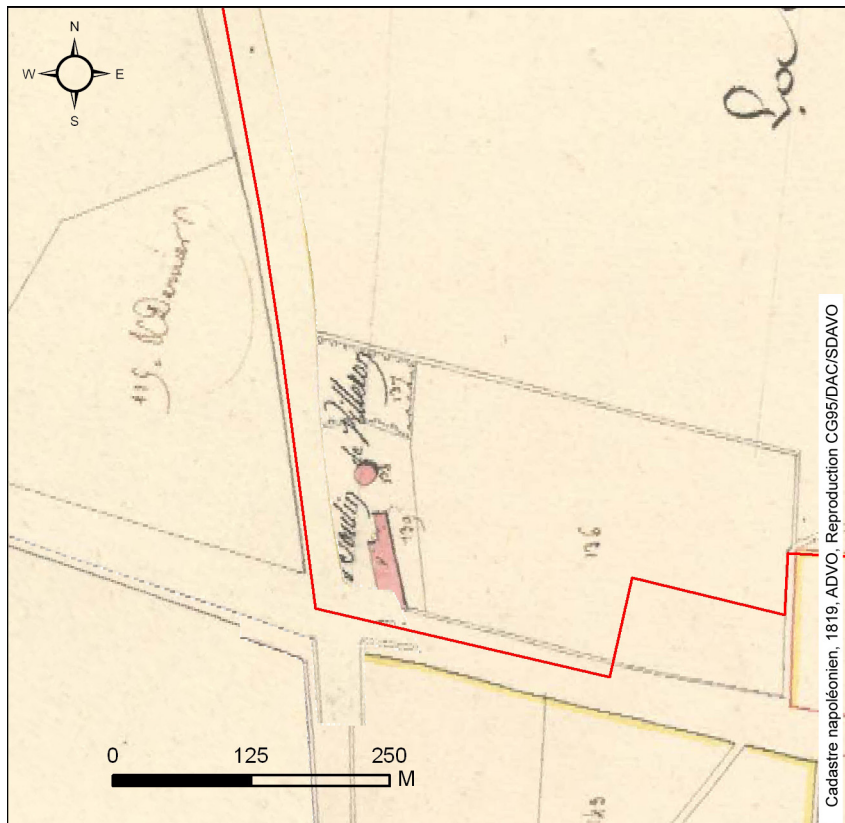


Fig. 61 : Le moulin, le bâtiment et le parcellaire sur le cadastre napoléonien (DAO : J.-G. Pariat, SDAVO)

parcelles en limite de voie et isole sur ses quatre côtés la parcelle 137.

Nous avons consulté la matrice cadastrale relative à ce document. Les états de section de 1824⁶⁷ désignent le propriétaire des parcelles comme étant M. Roger le Baron et décrivent la nature des terres comme suit : 136 = terre, 137 = jardin, 138 = moulin + lot du moulin, 139 = maison, bâtiment, cour + lot de maison, bâtiment, cour.

La maison dont il est fait mention devait très certainement constituer le logement du meunier. Elle disposait d'une cour et de bâtiments annexes. Par ailleurs, la parcelle 137 constituait peut-être un jardin potager, raison pour laquelle il était protégé par une haie. De même, la haie qui sépare le moulin de la voie peut se justifier par le fait que le mouvement, l'ombre et le bruit des moulins épouvantaient les chevaux. Elle empêchait aussi le bétail de s'approcher trop près des ailes du moulin. Au XVIII^e s. en Artois, il était d'ailleurs interdit de construire des moulins

67- ADVO 3 P 791.

à moins de 200 pieds des chemins royaux et 150 pieds des chemins publics⁶⁸.

Le registre des propriétés non bâties 1847-1910 (ADVO 3 P 793), indique qu'en 1836, le propriétaire Roger le Baron paye toujours l'impôt sur la terre de la parcelle accueillant la maison, le bâtiment et la cour, mais plus sur le bâti. La mention « Maison, bâtiment, cour » est rayée et il est précisé « démolie ». Il en est de même pour le moulin en 1866. Si ces renseignements donnent *un terminus post quem*, ils ne renseignent pas sur la date d'abandon à proprement parler, le moulin et les dépendances ayant par ailleurs pu être utilisés à d'autres fins avant démolition.

Ces recherches préalables font émerger des éléments de problématique. Les documents anciens semblent suggérer une destruction du moulin et de la maison différée dans le temps. Comment expliquer ce décalage ? Dans quelle mesure les données archéologiques sont-elles

68- Dufour, Bauchet 2013, p. 58.

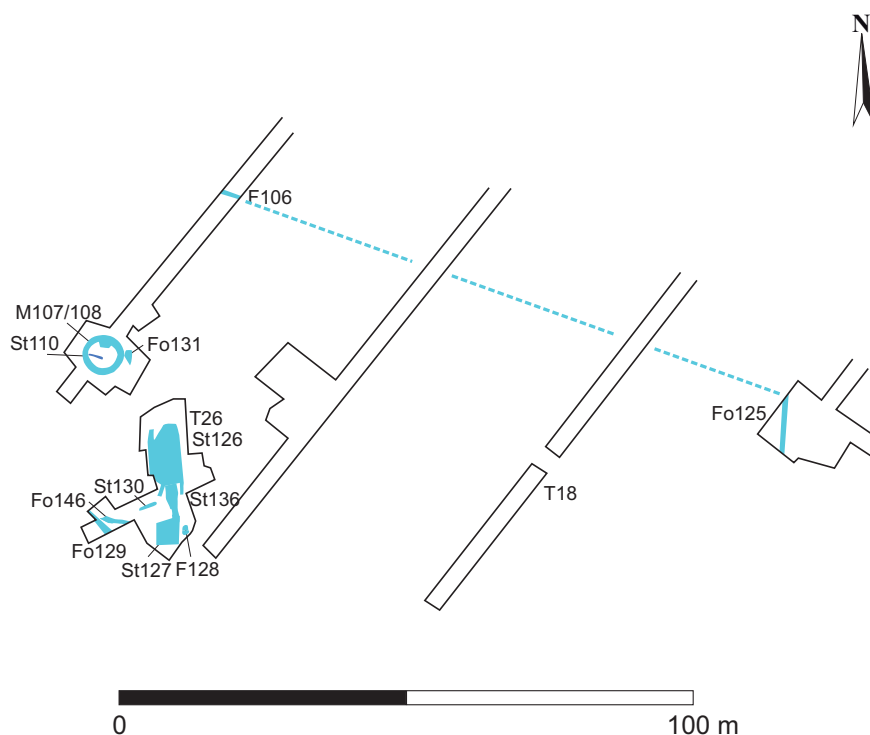


Fig. 62 : Plan et coupe du fossé Fo111
(Dessin : J.-G. Pariat, DAO : M. Decofour, SDAVO)

susceptibles de compléter les connaissances de ce genre d'occupation ?

VII.4.1.2- Le moulin

VII.4.1.2.a- Les fondations du moulin

Les vestiges du moulin (M107) sont apparus dans la tranchée 20, à 0,40 m de profondeur. Les fondations d'un mur circulaire ont été découvertes dans une zone ouverte sur 115 m². (fig. 62).

La première couche mise au jour correspond à un limon argilo-sableux brun-noir foncé, meuble, avec de très nombreuses inclusions de calcaire et de plâtre (récupération ?) et dessinent une couronne de 7 m de diamètre⁶⁹ (mesures prises à partir du bord externe du mur).

Le mur mesure 1,30 m de large. Dans la partie interne nord circonscrite par le mur, une excroissance de 1 m sur 1,50 m environ, comblée par le même sédiment limoneux, se développait vers le sud (fig. 63). Cette couche a livré un seul tesson en grès du Beauvaisis moderne (XVII^e s. / XVIII^e s.), ainsi que des éléments métalliques,

69- Soit 3,5 toises, un pied équivalait à 32,56 cm. Une toise à six pieds, soit environ 1,95 m.

dont un fer à cheval et une lame de couteau, des tessons de verre et quelques fragments osseux animaux.

Une ouverture mécanique de 2,50 m de large a été pratiquée au sud-est afin d'apprécier l'état de conservation des vestiges. La fondation est apparue en place sur 60 cm d'épaisseur, sous la couche décrite précédemment (fig. 64). En coupe, la tranchée de fondation, creusée dans le limon argilo-sableux brun orangé compact, présente des parois subverticales, un fond plat et mesure 1,25 m de large. Elle est comblée de blocs calcaires grossièrement ébauchés, de module variable, moyen (de 20 à 30 cm) à très grand (jusqu'à 50 cm), liés par un plâtre blanc à inclusions noires (charbons) et pris dans un limon argilo-sableux brun-noir foncé, meuble. Certains blocs sont enveloppés de plâtre, ce qui suggère que le plâtre ait pu être coulé par le dessus. La coupe sud-est nord-ouest a permis de compléter les observations : la mise en place d'une semelle de plâtre préalable à la pose des blocs a été observée ponctuellement. Par ailleurs, un creusement sous la tranchée de fondation a été repéré. Il est comblé par un niveau hydromorphe

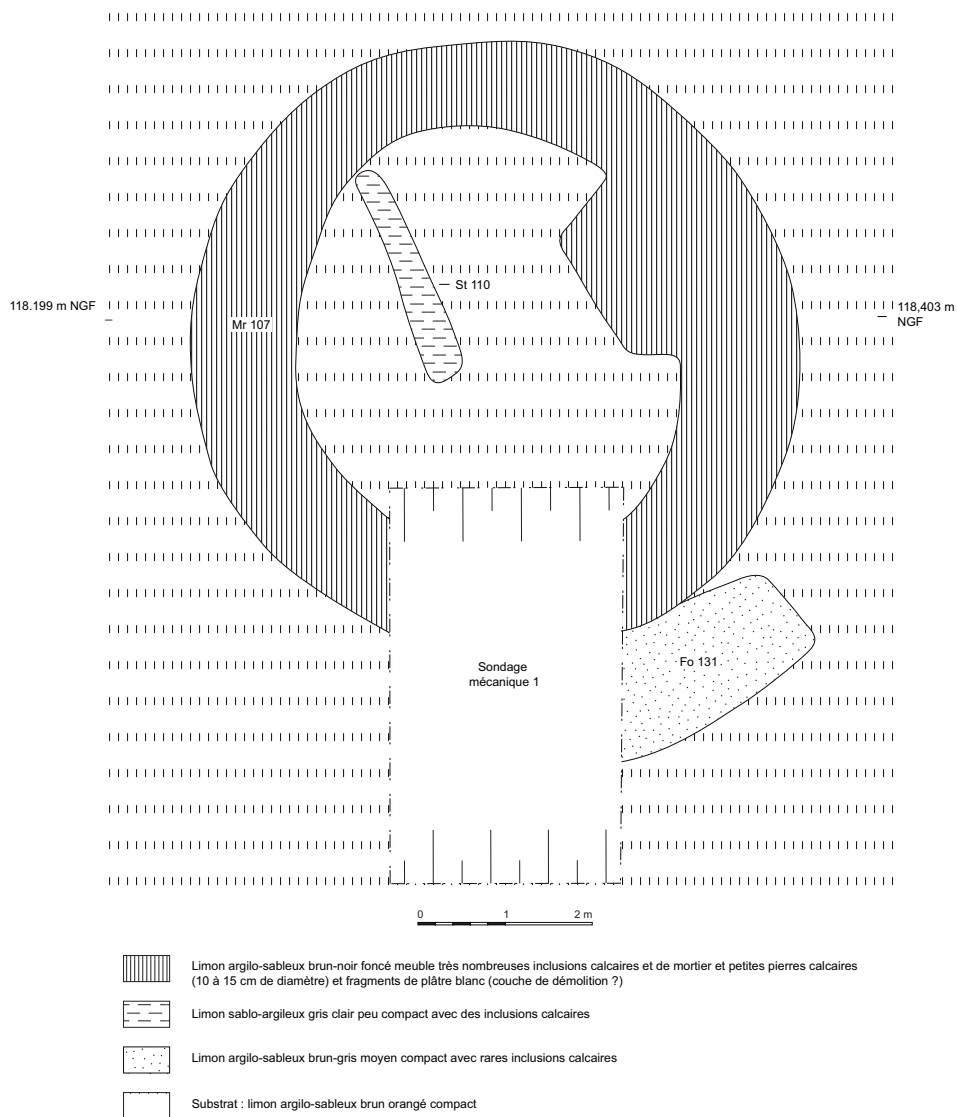


Fig. 63 : Plan général des fondations du moulin
(Cliché et DAO : M. Decofour, SDAVO)

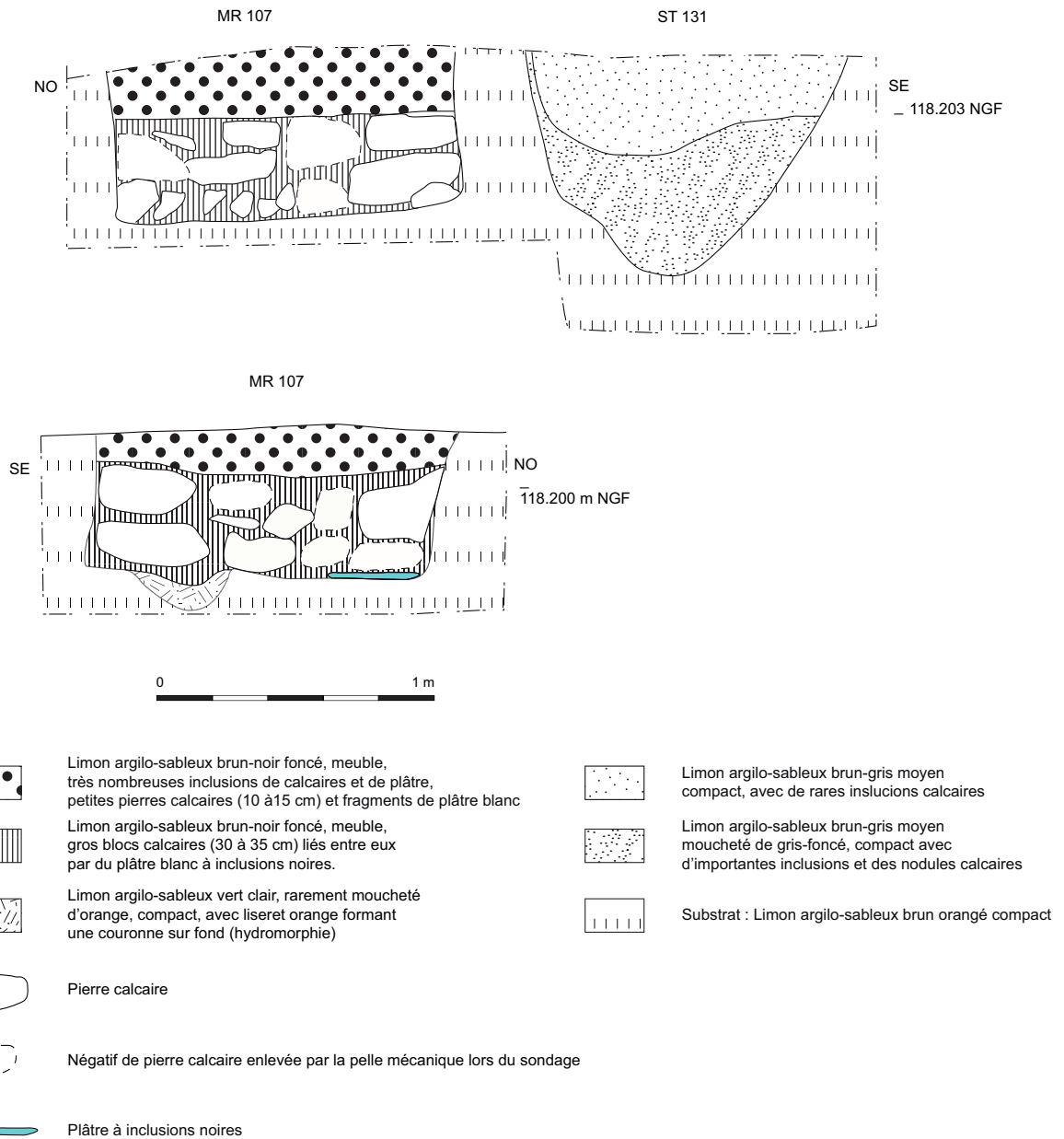


Fig. 64 : Coupes du moulin et de la structure 131
(Clichés : M. Decofour, DAO : P. Carvalho, SDAVO)

vert clair moucheté d'orange et cerné d'un liseré orange. Peut-être s'agit-il d'un petit trou de poteau ? Le sondage n'a pas livré de matériel.

VII.4.1.2.b- Les structures en creux associées au moulin

La fosse 110 se situe dans la zone interne de la maçonnerie annulaire. Elle est apparue sous la forme d'une structure oblongue orientée est / ouest de 2,50 m de long pour 0,40 m de large. Son comblement en surface se caractérise par un limon sablo-argileux gris clair peu compact avec inclusions calcaires. Elle n'a pas été fouillée, faute de temps, et n'a livré aucun matériel en surface.

La fosse 131 a été repérée à la faveur du sondage pratiqué sur le mur 107. Ce creusement n'était pas visible lors du nettoyage de surface. Après re-nettoyage il s'agirait d'une fosse oblongue de 1,95 m de long par 1,14 m de large. Son profil en forme de U comprend deux complements. La couche inférieure se caractérise par un limon argilo-sableux compact brun-gris moyen moucheté de gris foncé avec des inclusions calcaires. Le comblement supérieur est constitué de limon argilo-sableux compact brun-gris moyen avec de rares inclusions calcaires. Le mobilier collecté provient du remplissage inférieur : un radius gauche de cheval, une clavette, une grande plaque de plâtre, ainsi qu'un fond de faïence. Aucun lien stratigraphique n'a pu être mis en évidence avec la fondation du moulin. S'agit-il d'une fosse contemporaine de la destruction ?

VII.4.1.2.c- Comparaisons

On distingue habituellement deux types de moulins : les moulins pivot et les moulins tour. Les premiers, plus anciennement attestés, sont construits autour d'un axe central de bois solidement ancré au sol par le biais d'une fondation maçonnée. Grâce à cet axe central qui constituait le pivot, la cabine du moulin pouvait être orientée en fonction des vents. C'est sur cette cabine qu'étaient rattachées les ailes. Une longue perche de bois, appelée queue, permettait

la rotation. Le moulin était accessible par un escalier extérieur raccordé à la cabine. Quatre dés ou piliers maçonnés composent ce socle et sont reliés par une maçonnerie circulaire. Ces croisées peuvent ne pas être enterrées. Deux soles en bois reposant sur les piliers se croisent à angle droit. « Quatre à huit liens obliques emmortaisés dans ces soles soutiennent le pivot encastré dans la croisure formée par les deux soles »⁷⁰. Dans ce cas, la maçonnerie circulaire ne sert pas à supporter une tour, par exemple, mais à contrefortifier la croisée maçonnée qui, elle-même, protège les soles de bois de l'humidité. Les moulins-pivot pouvaient parfois être caviers. Dans ce cas, les soubassements étaient assez hauts pour dégager un espace pouvant servir au stockage, d'étable, de poulailler ou d'écurie.

Le second type était constitué d'une tour maçonnée, les ailes n'étant solidaires que des combles. « Le comble entier et la queue qui y est assemblée, sont portés par des roulettes qui roulent dans une rainure circulaire, pratiquée à une semelle qui recouvre la maçonnerie de la tour »⁷¹.

En Île-de-France, quand la détermination était possible, la grande majorité des opérations a livré les vestiges de moulins à pivot (fig. 65).

Le moulin d'Ennery⁷² (diagnostic, Val-d'Oise) se compose de deux carrés concentriques. Le premier, maçonné de moellons mesure 5 m sur 5 m. Un creusement forme le second. Il est désaxé de 45°. Au centre, une trace circulaire a été interprétée comme le négatif d'un poteau central. L'hypothèse d'un moulin pivot a été avancée. L'occupation s'étale entre le XVI^e s. et la fin du XVIII^e-début XIX^e s.

Le moulin de Roissy-en-France⁷³ (fouille, Val-d'Oise) a été érigé sur une butte artificielle et a révélé 2 états successifs, les maçonneries n'ayant pas les mêmes axes et diamètres. Le premier état se caractérise par une tranchée de récupération annulaire de 6,6 m de diamètre externe et large de 0,55 à 0,60 m. Quatre tranchées de récupération convergent de l'extérieur de cette couronne vers le centre. En raison de

70- Dufour, Bauchet 2013, p. 35.

71- Diderot 1772, p. 798.

72- Rosenberger 2005.

73- Dufour, Bauchet 2013.

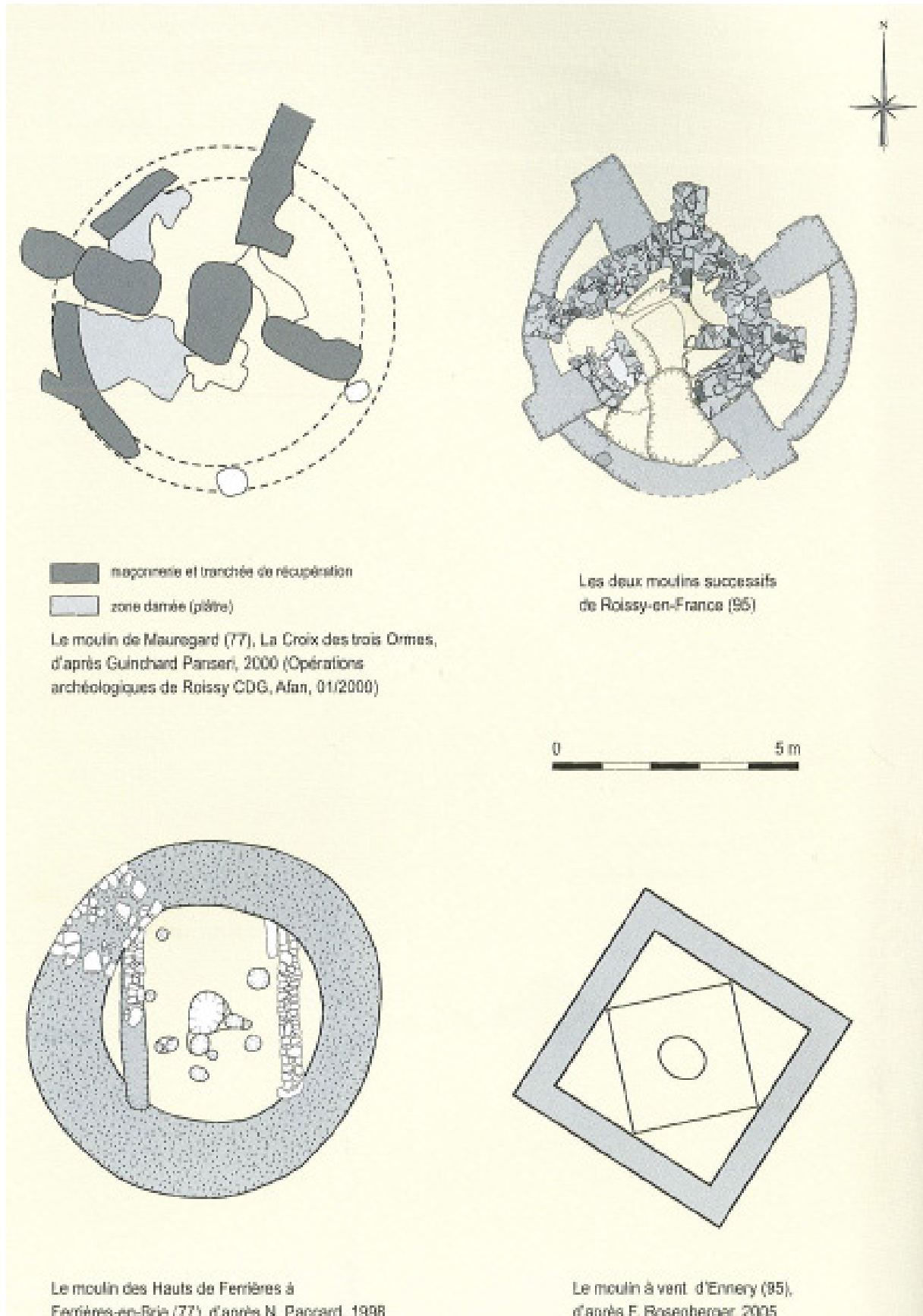


Fig. 65 : Plans de quelques moulins franciliens évoqués dans le texte

remaniements affectant la partie centrale, on ne sait pas si ces tranchées correspondent à des murs continus ou à quatre piliers. Cet état est daté du XVI^e s. Dans son second état, le moulin a subi d'importants remaniements se rapportant au socle. Il a été entièrement reconstruit et comporte sensiblement les mêmes éléments structurants. Trois piliers, probablement quatre à l'origine au vu de la tranchée de récupération, constitués de moellons calcaire et meulière liés au plâtre, rayonnent depuis le centre de la fondation et sont ceinturés par une maçonnerie carrée massive. Ils sont axés selon les quatre points cardinaux. La maçonnerie annulaire mesure 4 m d'envergure. Ses murs, larges de 0,90 à 1 m, sont constitués de moellons de meulière, de grès et de calcaire liés à un solide plâtre blanc.

À Mauregard⁷⁴ (fouille, Seine-et-Marne), deux tranchées en arc de cercle marquent la présence d'une couronne maçonnée de 6,50 m de diamètre. Au centre, une fosse quadrangulaire aurait pu recevoir le pivot, tandis que trois fosses en longueur recevaient les piliers maçonnés soutenant la croisure. Le tout a été récupéré, les remblais de destruction ayant livré du mobilier céramique daté entre le XVI^e et le XVII^e s.

À Ferrières-en-Brie « Le Moulin à Vent » (fouille, Seine-et-Marne), la fondation initiale est partiellement conservée. Elle se caractérise par de gros blocs calcaires plats non équarris disposés en assises et noyés dans le plâtre. Cette maçonnerie récupérée et remblayée sur 1,20 m mesure 7 m de diamètre pour une largeur des murs estimée à 1 m. À l'intérieur de la couronne, deux murs parallèles en petits moellons calcaires liés au limon ont été mis au jour. Ils auraient pu supporter le plancher du rez-de-chaussée. Les archives datent la création du moulin au XIV^e s. Au sein de l'espace ainsi délimité, une dizaine de structures excavées ont été repérées, dont une centrale, de forme ovale présentant une longueur de 0,90 m pour 0,70 m de large, sur 0,30 m de profondeur. Cette structure sème le doute, car si du point de vue formel il s'agit d'un moulin-tour, elle évoque un système à pivot planté, considéré comme le plus précoce⁷⁵.

Au Plessis-Pâté (fouille, Essonne), une maçonnerie cruciforme cernée par une

74- Guinchard Panseri 2000.

75- Coutant 1990, p.124.

maçonnerie annulaire de 4 m de diamètre a été datée du XVI^e s.

VII.4.1.3- Les structures annexes

Les cartes anciennes relatives à la commune de Villeron laissaient envisager l'existence de bâtiments annexes au moulin. Une tranchée a été pratiquée à l'emplacement supposé du bâtiment mentionné sur les documents graphiques. Elle a été orientée de façon à traverser le bâtiment dans la largeur. Des fossés (129 et 146) ont été mis au jour ainsi que ce qui s'apparentait à des tranchées de récupération (126 et 130). La lecture du sédiment étant difficile compte tenu des épandages affleurant sous la terre végétale, un décapage extensif de 262 m² a été réalisé. Il a conduit à la mise en évidence (126) d'un vaste épandage à 0,45 m sous la surface. Une fosse (128) a également été repérée.

VII.4.1.3.a- Une unité d'habitation ?

L'épandage se constituait principalement d'un niveau de limon cendré mêlé à du plâtre, des blocs calcaires et de la terre cuite architecturale (démolition). Il recelait du mobilier céramique, métallique et des restes osseux animaux.

Différents ensembles y ont été discernés (fig. 66). Ainsi ont été isolées la structure 136.1 à laquelle se raccordent les sous-ensembles 136.2 et 136.3, et la structure 126.1 (initialement 126) associée à 126.2. Nous avons également enregistré la structure 127 qui, par son orientation est-ouest, diffère des précédentes qui suivent plutôt un axe nord-sud.

La structure 136.1 est apparue à 0,40 m sous la terre végétale. Elle présente une forme allongée et mesure 5 m de long par 2 m de large. Son comblement, plutôt meuble, observé uniquement en surface, se compose de fragments de plâtre, de cailloux, de métal et de terre cuite architecturale mélangés à un limon argilo-sableux hétérogène brun et orangé. Elle se raccorde au nord à la structure 126.1 et s'étire tout en se resserrant au sud pour rejoindre la structure 127, formant ainsi un retour d'angle. Quelques vestiges ont été recueillis en surface : un fragment de fer à

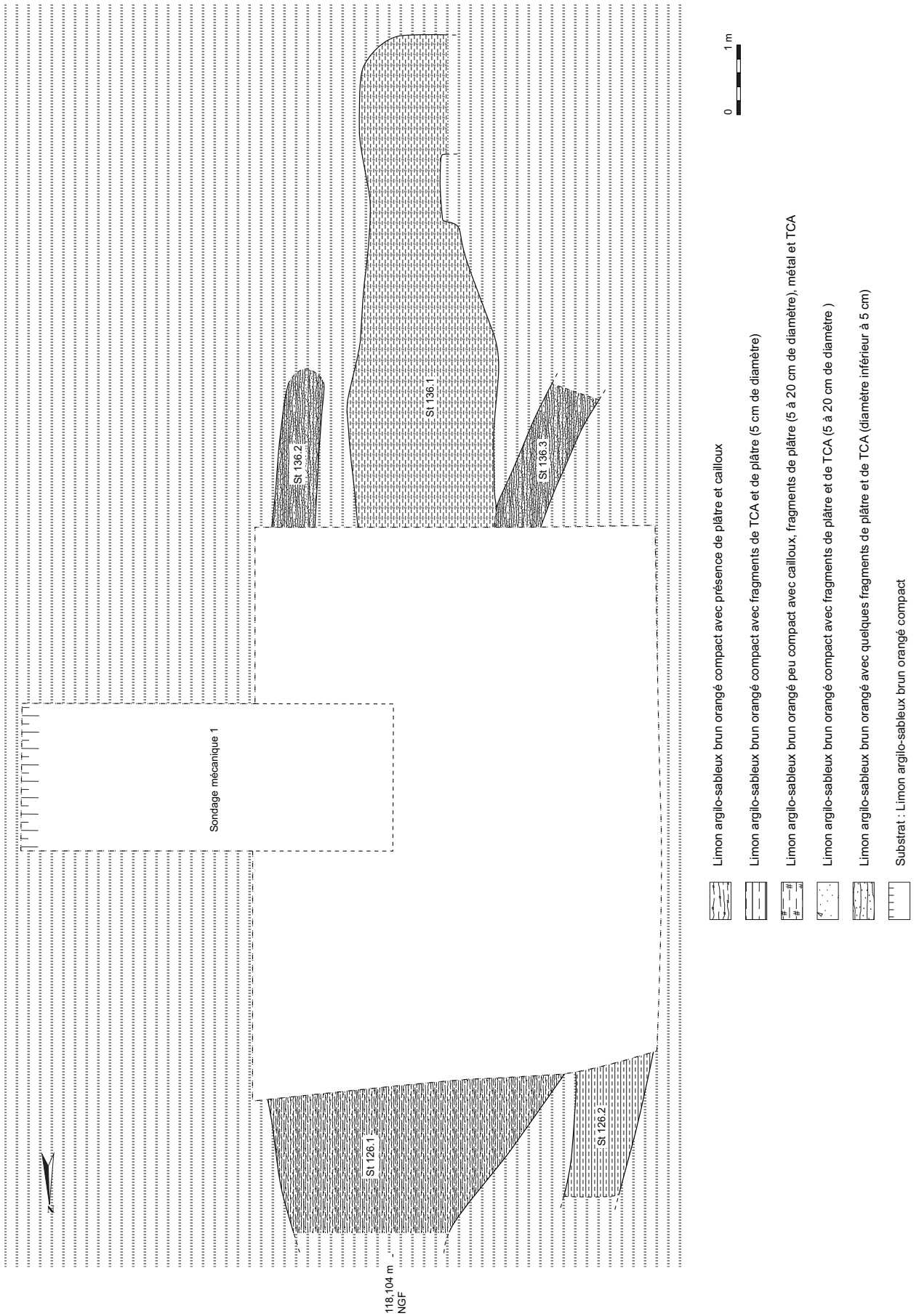


Fig. 66 : Plan des fondations de bâtiments annexes du moulin (DAO : M. Decofour, SDAVO)



Fig. 67 : Les structures 136.2 et 136.3 (Clichés : P. Carvalho, SDAVO)

cheval, un autre de fiole de médicament et un ossement de faune indéterminé.

Les structures 136.2 et 136.3 sont situées de part et d'autre de la structure 136.1 à laquelle elles semblent associées, ainsi qu'à la structure 126.1. La structure 136.2, parallèle à la structure 136.1, mesure au moins 2 m de long pour une largeur de 0,60 m⁷⁶. Elle est comblée de fragments de terre cuite architecturale (tuiles ?) et de quelques fragments de plâtre noyés dans une matrice limono-argilo-sableuse hétérogène brune et orangée (fig. 67). La structure 136.3 est légèrement désaxée par rapport à 136.1 et 136.2 et suit un axe sud-ouest / nord-est. Elle présente une longueur minimum de 2 m pour une largeur de 0,70 m⁷⁷. Quelques fragments de terre cuite architecturale (tuiles ?) et de plâtre inférieurs à 5 cm pris dans un limon argilo-sableux brun et orange caractérisent le remplissage.

La structure 127 présente un plan quadrangulaire de 4 m sur 3 m. Son comblement est composé de limon et de matériaux divers.

Enfin, la structure 126.1 présente un plan subquadrangulaire de 10 m sur 4 m. Dans sa partie sud, elle se raccorde aux structures 136.1,

136.2 et 136.3., tandis qu'au nord, elle est reliée à la structure 126.2. Cette dernière a été suivie sur 1,80 m et mesure 1 m de large. Le limon argilo-sableux qui compose son comblement englobe des fragments de terre cuite architecturale et de plâtre d'environ 5 cm.

La structure 126.1 a fait l'objet d'un sondage mécanique sur 2 m de large dans sa partie centrale afin d'en apprécier l'état de conservation. En surface elle a livré du matériel osseux animal comprenant, entre autres, une demi-corne et une vertèbre de bovidé portant toutes deux des traces de découpe, plusieurs dents de suidés et un fragment de mandibule de chien (fig. 68). Des restes d'équidés sont également attestés.

Le bord d'une tèle à lait en grès du Beauvaisis ainsi que deux pots (dont un tripode) en pâte sableuse glaçurée verte ont été datés des XVII^e / XVIII^e s⁷⁸.

Trois coupes⁷⁹ nommées AB, BC et CD ont été examinées sur une épaisseur variant de 10 à 45 cm selon un pendage est / ouest (fig. 69, 70, 71). D'une manière générale, des niveaux lités, alternant niveaux d'occupation cendreuse

76- Les limites sont incertaines.

77- Les limites sont incertaines.

78- Expertise F. Renel, INRAP.

79- Pour plus de facilité, nous avons attribué un système de numérotation propre à la structure 126.1, de 01 à n.



Fig. 68 : Traces de découpe observé sur une corne
(Cliché : M. Decofour, SDAVO)

ou limoneux et remblais constitué de démolition (US 13, 27 et 28) se succèdent. Par endroits on note la présence de concentrations de matériaux de construction (plâtre, tuiles...). Il s'agit soit de remblais soit de rejets.

Les coupes AB et BC révèlent un font plat, tapissé de deux niveaux hydromorphes juxtaposés (US 16 et 17), peut-être dus à des phénomènes de percolation. Ces deux niveaux ont été recoupés dans la coupe AB par le creusement 07 qui a

livré le squelette complet d'un chien associé à du mobilier céramique. Le mobilier associé se compose d'une gourde en grès, d'un tesson de pâte sableuse francilienne mouchetée de glaçure verte et d'un tesson en grès jaune du Beauvaisis. L'ensemble s'échelonne de la seconde moitié du XVII^e s. à la première moitié du XVIII^e s.

Au niveau de la coupe BC, une séquence stratigraphique plane constituée de limon argilo-sableux brun foncé avec de fines inclusions de plâtre et de charbons (US 29 et 30) recouvre les niveaux hydromorphes décrits ci-dessus. Les fragments d'un plat, ou bien d'une assiette, en pâte sableuse francilienne à glaçure jaspée au manganèse datée entre la fin du XVII^e à la deuxième moitié du XVIII^e s. ont été recueillis dans ce niveau. Ils étaient accompagnés d'un petit tesson de pâte sableuse mouchetée de glaçure verte sur sa face externe. Il pourrait s'agir d'un objet datant du XVI^e s.

Le creusement 41 (comblé par les US 10 et 15) vient couper la fosse 07 et le niveau 30. Il s'agit probablement d'une fosse de rejet. On y trouve des blocs de plâtre en nombre (< 20 cm)

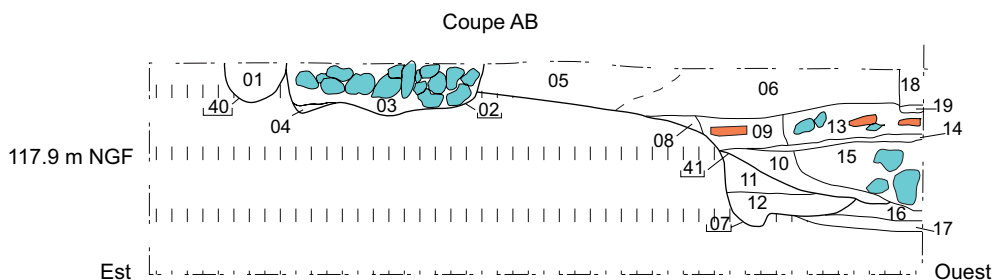


Fig. 69 : Coupe AB de la structure 126.1
(Dessin et DAO : P. Carvalho, SDAVO)

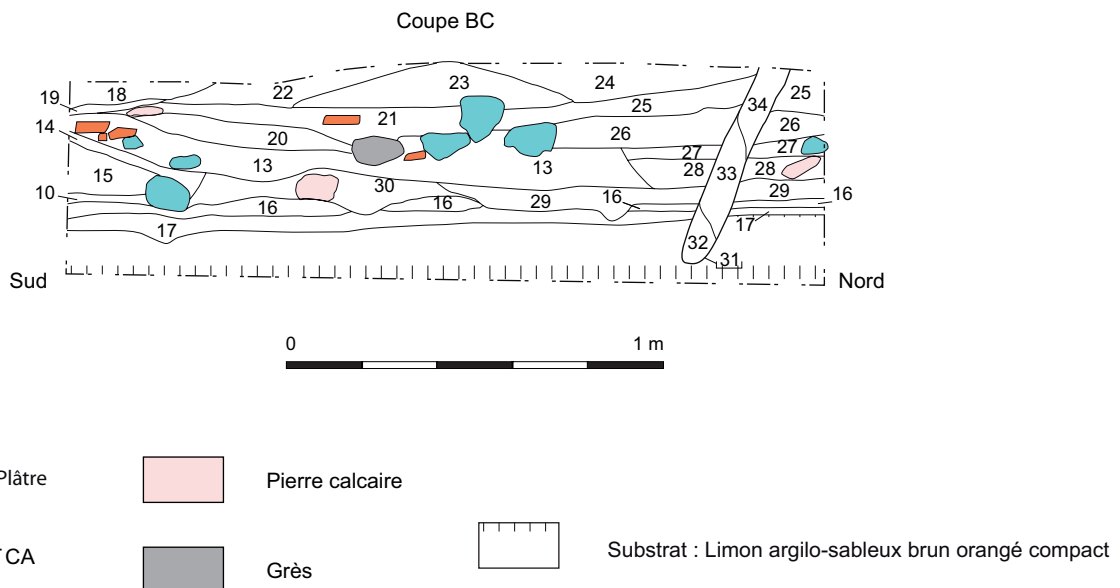


Fig. 70 : Coupe BC de la structure 126.1
(Dessin et DAO : P. Carvalho, SDAVO)

dans une matrice mélangée de limon argileux ocre-jaune et brun foncé compact. Cette fosse est scellée par un niveau charbonneux avec de fines inclusions de terre cuite architecturale et de plâtre (US 14).

Le dépôt se poursuit par une séquence stratigraphique (US 13, 27 et 28) marquée par un limon argilo-sableux brun comptant de nombreux blocs et inclusions de plâtre et charbon, ainsi que des tuiles à plat. On relève, de plus, un bloc de grès. Il peut s'agir d'un niveau de sol remblayé sur lequel s'installent des niveaux d'occupation de limons cendreux (US 24, 25 et 26), notamment au nord. Au sud, les couches 20 et 21 s'apparentent à des niveaux d'occupation également (tuiles à plat), mais plus

limoneux. L'US 18 se démarque quelque peu. Ce niveau d'occupation cendreux est souligné par un liseré de charbon (US 19). Dans la coupe AB, il coupe l'US 06.

Les niveaux d'occupation 22 et 24 sont séparés l'un de l'autre par un niveau compact de blocs de plâtre compris dans une matrice limoneuse jaune (US 23), peut-être une recharge.

Le matériel a principalement été recueilli dans les vingt premiers centimètres du remplissage. On note la présence d'un fragment de tuile à crochet (XVII^e-XIX^es.). Le matériel osseux se répartit en une dent de petit ruminant, une scapula et trois fragments de mandibule de capridé.

Concernant la céramique, on comptabilise

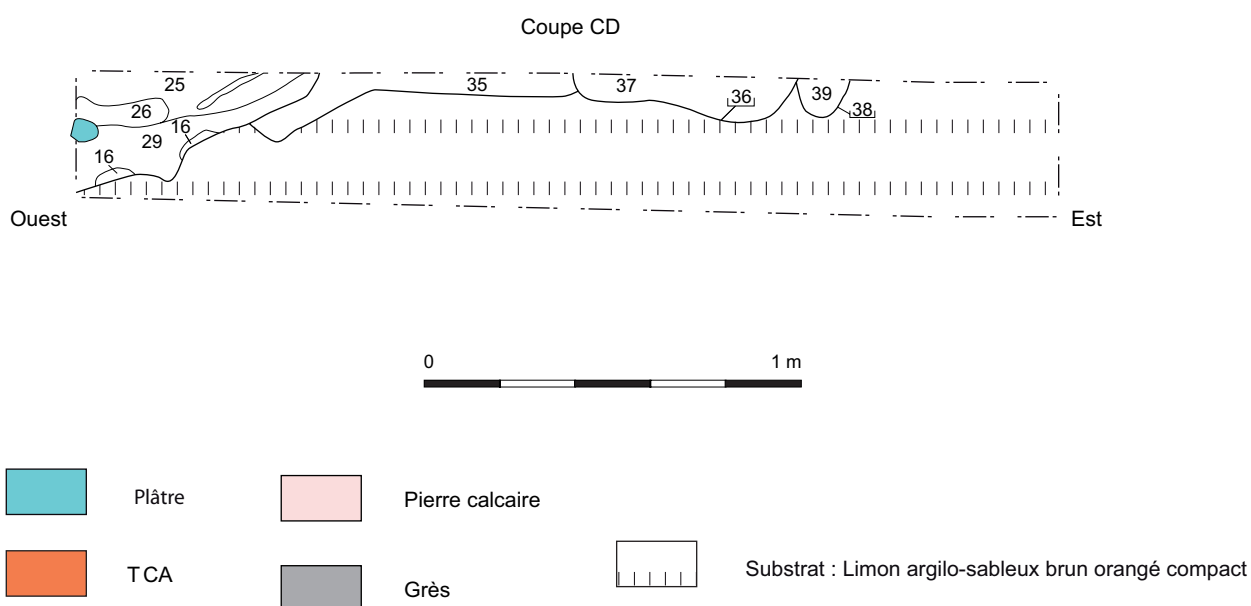


Fig. 71 : Coupe CD de la structure 126.1
(Dessin et DAO : P. Carvalho, SDAVO)

trois fragments de grès de Beauvaisis dont un appartenant à une gourde crapaud, une assiette en faïence à décor de grand feu, à ailes en doucine décorée d'un parfilé bleu, et trois tessons de pâte sableuse (un plat à aile et une anse de pichet glaçurés au manganèse, et un bord de marmite ou de tripode à glaçure verte plombifère, fig. 72). Cet ensemble relativement homogène peut être daté des deuxième et troisième quarts du XVIII^e s. Il est représentatif d'un vaisselier de table et de cuisine classique dans le monde rural.

Dans la coupe AB, on identifie clairement un creusement (02) installé dans le substrat orange et recoupant des niveaux d'occupations similaires à ceux décrits plus hauts (05 et 06), aux bords légèrement inclinés et au fond irrégulier. Large de 0,50 m et profond de 0,14 m, il est comblé

de limon brun foncé dans lequel est présent un grand nombre de blocs de plâtre, ainsi qu'un seul bloc calcaire. À l'ouest, un creusement en cuvette (40) de 0,16 m de large pour une 0,10 m de profondeur a été observé. Il est comblé d'un limon brun foncé avec inclusions orange. En face, dans la coupe CD, les creusements 36 et 38 partagent des caractéristiques assez proches. Aucune de ces structures n'avaient été vues lors du nettoyage succinct de surface. Le creusement 36 dans le substrat et dans un niveau remanié (35) est un peu plus large et un peu moins profond que la structure 02, et son comblement diffère car il recèle uniquement de fines inclusions de plâtre. En revanche, le creusement 38 présente les mêmes caractéristiques que le creusement 40.

Il est possible que les structures 02 et 36

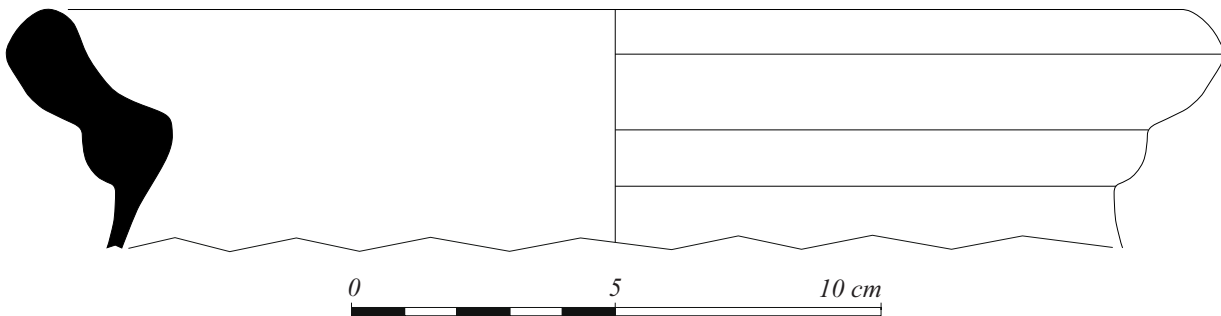
Tranchée 26 Structure 126 Sondage 1 Sac n°116
Ø 23 cm

Fig. 72 : Profil du tesson en grès jaune du Beauvaisis
(Dessin et DAO : M. Decofour, SDAVO)

appartiennent à une même sablière ou tranchée de récupération. Les creusements 38 et 40, si elles peuvent être interprétées comme des trous de poteaux distincts, peuvent aussi être constitutifs d'une même structure, une rigole peut-être. Ainsi, ces structures linéaires viendraient clore l'espace sondé. Aucun mobilier n'a été découvert dans leurs niveaux de comblement.

La fosse 128, apparue à 0,50 m sous la surface, est creusée dans le substrat (fig. 73). De forme oblongue, elle mesure 1,50 m de long pour 1 m de large. Fouillée manuellement, sa profondeur atteint 0,60 m depuis la surface du décapage. En coupe, les parois sont subverticales et le fond est irrégulier. Cinq comblements distincts caractérisent le remplissage. Quatre d'entre eux sont à composante limoneuse, le cinquième est un sédiment noir organique, peu compact, avec des inclusions calcaires.

Le comblement final a livré un grand nombre d'éléments architecturaux en plâtre blanc avec inclusions de gypse broyées grossièrement et de charbons (fig. 74). Trois de ces éléments ont été prélevés et on fait l'objet d'une expertise⁸⁰.

Le bloc n°1 mesure 30 cm sur 16 cm. Une de ses faces présente quatre négatifs de planchettes de bois formant un lattis grossier (trois parallèles et le quatrième perpendiculaire aux premiers). Une trace de joint est également observable. Il pourrait s'agir d'un élément de sous-pente, de plafond ou bien de cloisonnement. L'autre face n'est pas dressée, ce qui exclut une utilisation au sol.

Le second (16 cm de côté) n'est dressé sur aucune

de ses faces. Un clou adhère au plâtre. Étant donné qu'il n'est pas fiché dans le fragment, ces deux éléments n'ont pas fonctionné ensemble, mais ont probablement fusionnés au cours de leur séjour dans la fosse. En revanche, le plâtre comporte un négatif de tuile ainsi que celui d'une pièce de bois. Il s'agit vraisemblablement d'un élément de toiture ou de sous-pente.

Enfin, le troisième est le plus massif (50 cm par 30 cm). Une de ses faces présente un ressaut, bûché dans un second temps. Compte tenu de l'état très fragmentaire, il est difficile de déterminer si ce ressaut peut être assimilé à une feuillure de baies. L'autre face n'est pas dressée, mais légèrement incurvée. Il s'agit peut-être d'un élément suspendu, un dessous d'escalier par exemple, ou une partie de cloison. Une ligne de fracture dans l'épaisseur témoigne d'une pose en deux temps.



Fig. 74 : Détail d'un élément architectural
issu de la fosse F128
(Cliché : C. Touquet Laporte-Cassagne, SDAVO)

80- Détermination I. Lafarge (Bureau de l'archéologie de Seine-Saint-Denis).

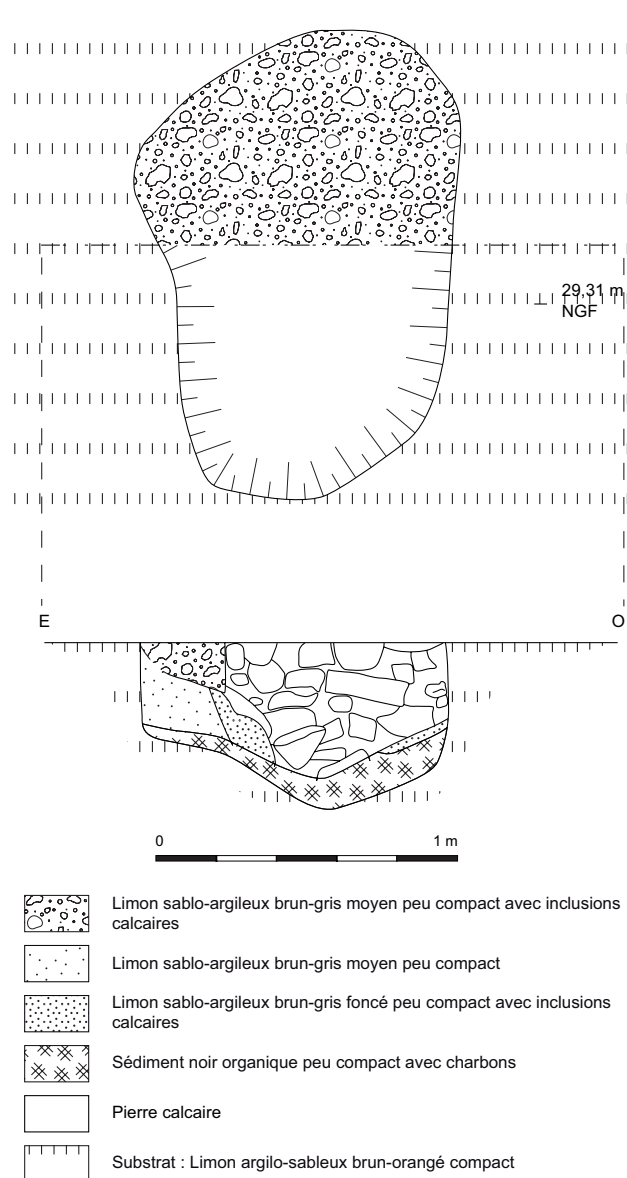


Fig. 73 : Plan et coupe de la fosse F128

(Dessin : J.-G. Pariat, DAO : M. Decofour, SDAVO)
 Au final, les différentes structures décrites dans cette section présentent un état de conservation satisfaisant. Par ailleurs, les documents cartographiques anciens, la morphologie des

structures et le mobilier associé suggèrent une occupation à caractère domestique, vraisemblablement une unité d'habitation, dont l'histoire a abouti à la démolition puis à l'abandon.

VII.4.1.3.b- Le parcellaire

Quatre fossés circonscrivent au nord et au sud la zone dans laquelle se trouvent le moulin et la potentielle unité d'habitation. Leur tracé coïncide assez fidèlement avec celui de l'enclos représenté sur le cadastre napoléonien.

Le fossé 106 se trouve dans la partie sud de la tranchée 20. Il est apparu à 0,40 m sous la surface et est creusé dans le substrat. Orienté nord-est / sud-ouest, il a été suivi sur 3,25 m. Un sondage manuel a été effectué. Il s'agit d'un fossé en cuvette de 0,54 m et large, conservé sur une épaisseur de 16 cm. Son remplissage, compact, se compose d'un limon argilo-sableux brun-gris, avec de fines inclusions de manganèse. Les seuls vestiges recueillis se rapportent à un fragment de terre cuite architecturale et un boulon contemporain (fig. 75).

Le fossé 125 n'a pas été fouillé. Il a été repéré dans la partie sud de la tranchée 14 à 0,75 m sous la surface. Son remplissage en plan est composé de limon sablo-argileux beige à gris clair peu compact, moucheté de beige. Il a été observé sur 7,90 m et sa largeur avoisine 0,54 m. Il présente une orientation nord-sud. Un tesson et un objet métallique proviennent de la surface du décapage. Ils sont peu typiques du point de vue chronologique.

Le fossé 129 se trouve au niveau de l'extrémité sud de la tranchée 26. Orienté sud-ouest / nord-est, il a été mis au jour à 0,70 m sous la surface. Large de 1,20 m et profond de 0,37 m, il a été suivi sur 3,10 m de long. Son profil présente des parois en pentes douces et un fond arrondi. Le comblement limono-sableux brun-gris, peu compact a livré douze fragments de terre cuite architecturale en surface et à mi-hauteur (fig. 76). Enfin le fossé 146 se trouve immédiatement au nord du fossé 129. Il est apparu à 0,66 m sous la surface lors du nettoyage du fossé 129. Suivi sur 2,40 m de long, il mesure 0,68 m de large et est

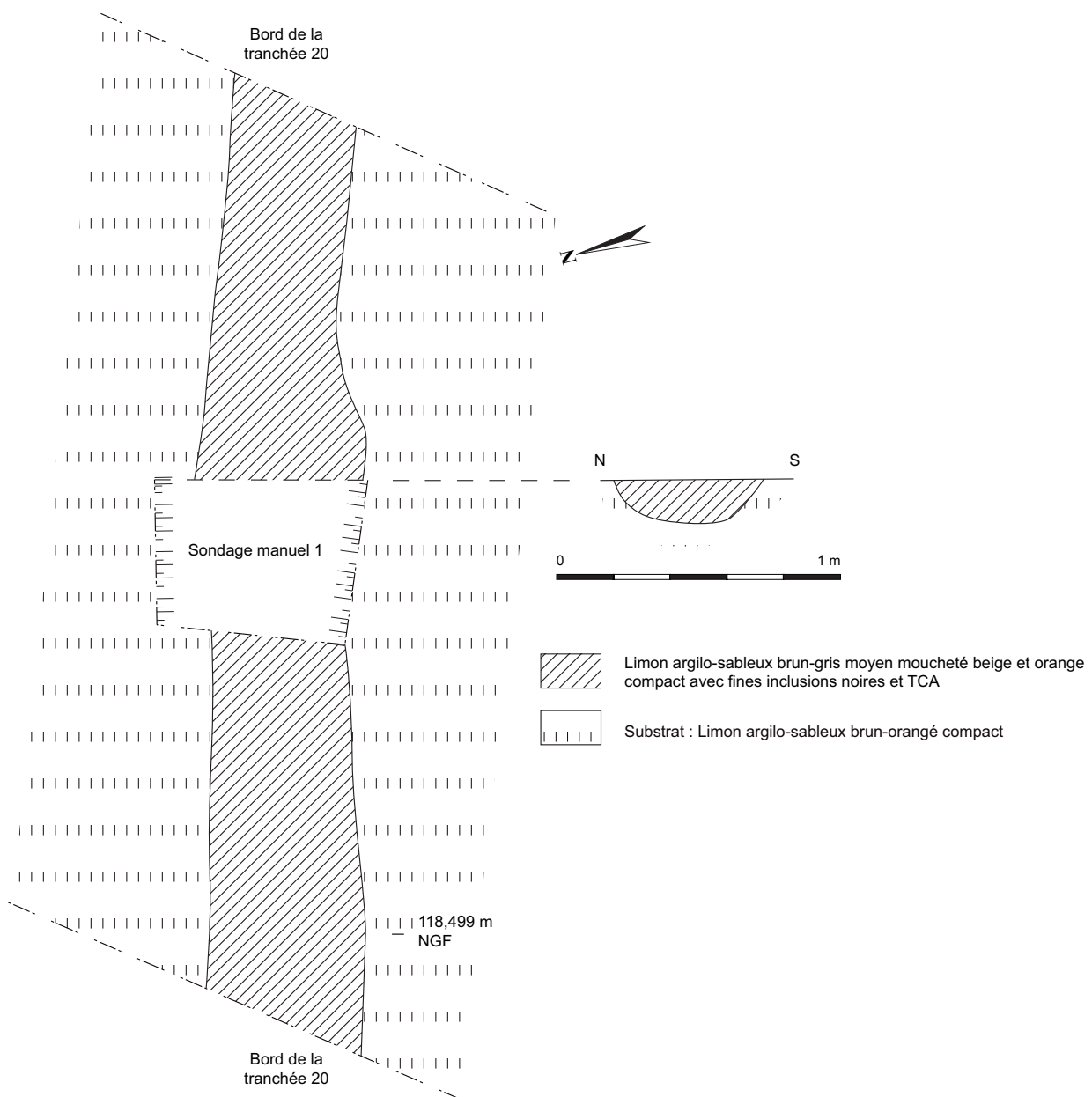


Fig. 75 : Plan et coupe du fossé Fo106
(Dessin : P. Carvalho, DAO : M. Decofour, SDAVO)

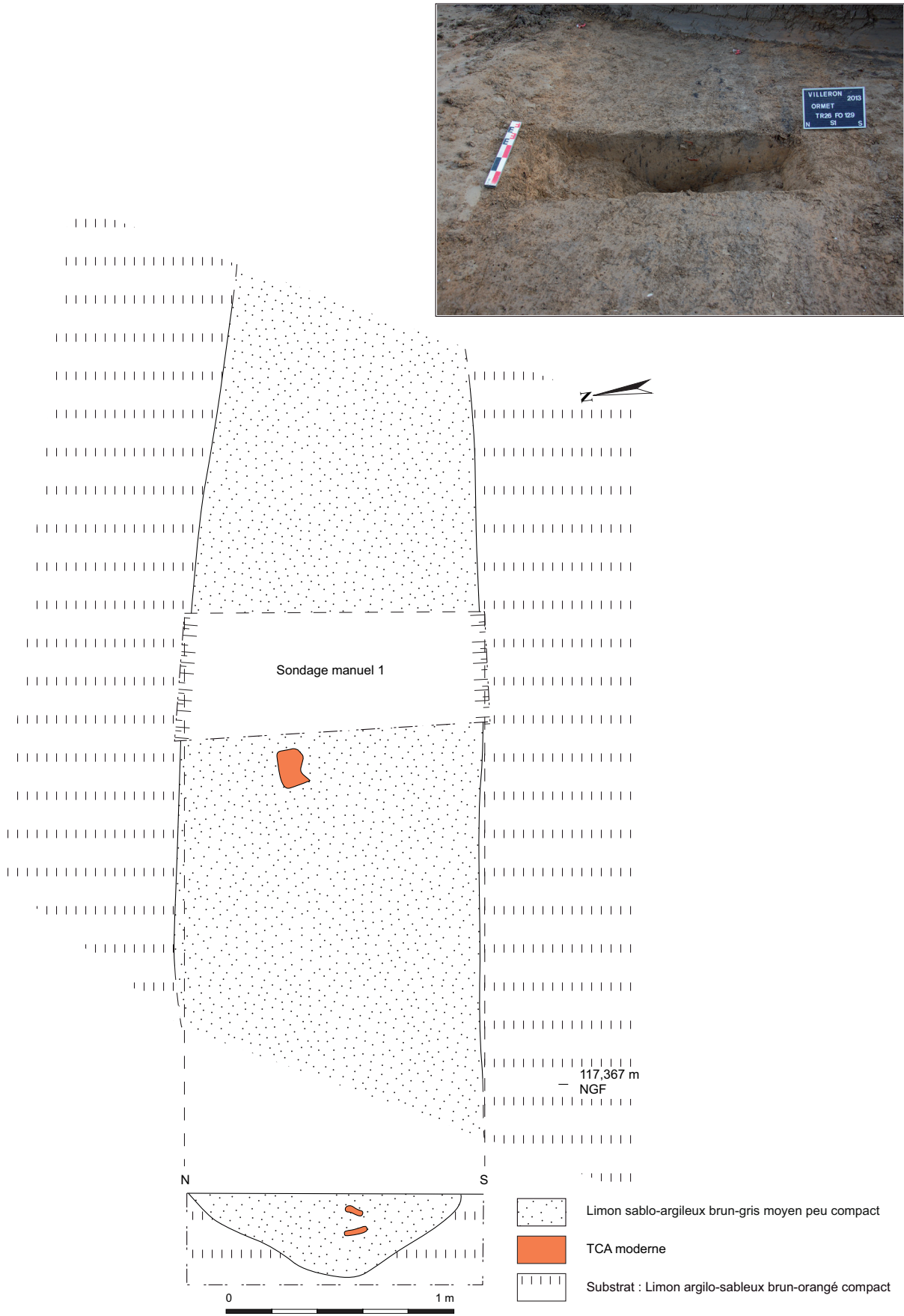


Fig. 76 : Plan et coupe du fossé Fo129
(Dessin : J.-G. Pariat, DAO : M. Decofour, SDAVO)

préservé sur une épaisseur de 18 cm. Les parois sont subverticales, et le fond est irrégulier. Le remplissage de limon sablo-argileux a livré du métal et de la terre cuite architecturale (fig. 77).

VII.4.1.3.c- Comparaisons

L'unité d'habitation fouillée à Roissy-en France constitue le seul élément de comparaison⁸¹ à l'heure actuelle en Île-de-France. Trois enclos accolés composaient l'exploitation. Le moulin occupait la parcelle ouest, la zone centrale accueillait la maison, tandis que l'enclos oriental délimitait une autre parcelle. La maison était positionnée dans l'angle mort des vents. La fouille a révélé deux états successifs. Le XVII^e s. est représenté par des tranchées de récupération avec plâtre, tuiles et tomettes. Quelques moellons calcaires évoquaient l'existence d'une maçonnerie et un mur était élevé en terre. Ces indices suggèrent une architecture mixte, comme c'est fréquemment le cas sur les établissements ruraux modernes d'Île-de-France⁸². Plusieurs bâtiments sont attenants à la maison : un cellier maçonné de pierres et de plâtre date de la première moitié du XVII^e s. L'ensemble a été réaménagé au XVIII^e s. La maison, d'une part a été agrandie. La maison a été agrandie et une laiterie a été identifiée, supposant l'élevage de bêtes laitières, ainsi qu'un puits, un hangar, un espace pour cochons et un poulailler.

VII.4.1.4- Perspectives

Le diagnostic archéologique de Villeron est venu confirmer l'existence d'un moulin dans l'emprise des parcelles diagnostiquées. Ses fondations présentent un excellent état de conservation comparativement aux structures annexes retrouvées à ses abords, dont certaines sont très érodées (st. 126.1).

Le moulin a été solidement fondé dans le substrat, sans apport de terre. Les données sur la zone interne sont trop indigentes pour être discutées. Les fondations des murs présentent des similitudes avec celles du moulin de Roissy, notamment la maçonnerie constituée de gros blocs noyés dans le plâtre. L'unique élément de data-

81- Dufour, Bauchet 2013.

82- Dufour et Hurard 2008.

tion renvoie au XVII^e / XVIII^e s, et ne permet pas d'avancer d'hypothèse sur la fondation du moulin, pas plus que sur son abandon.

Les structures annexes découvertes aux abords du moulin suggèrent l'existence d'un ou plusieurs bâtiments à l'architecture mixte (bois, plâtre, terre cuite architecturale). Le mobilier recueilli est assez homogène du point de vue chronologique, l'essentiel des vestiges se rattachant aux XVII^e-XVIII^e s. En revanche, et en l'état actuel des connaissances, il est bien délicat d'avancer une hypothèse quant à la fonction de ces bâtiments. D'après des sources textuelles, le meunier était tenu de loger sur place et d'entretenir les lieux. Il devait fournir le moulin en meubles et en bestiaux ainsi que labourer, fumer, cultiver, ensemercer et ensoller les parcelles⁸³. La chambre du meunier était parfois dans le corps même du moulin, mais la plupart des exemples révèlent des bâtiments à usage personnel annexés à l'établissement. À Roissy, la maison du meunier est associée à des bâtiments utilitaires tels une laiterie, une étable, un cellier, un puits. Les structures mises au jour à Villeron correspondent-elles à des bâtiments à usage d'habitation ou à toute autre unité de la vie quotidienne ? Par ailleurs, ces structures ont-elles été annexées d'emblée au moulin ?

En France, vingt opérations archéologiques, diagnostics et fouilles confondues, ont porté sur des moulins à vent, et la publication récente sur le moulin de Roissy (95) fait figure d'exception en la matière⁸⁴.

D'un point de vue technique, le moulin à vent est une innovation médiévale majeure. Il serait apparu à la fin du XII^e s. en Normandie et en Angleterre avant de gagner le Bassin parisien et les Flandres au cours du XIII^e s. À la fin du XV^e s., on estime à 72000 le nombre de moulins en France, dont 12 000 moulins à vent⁸⁵. Un moulin permettait de moudre la farine, d'extraire l'huile, mais aussi d'activer les soufflets de forges et les marteaux à fouler les draps. Il constitue, à ce titre, un élément essentiel de la vie socio-économique médiévale et moderne encore peu documenté par l'archéologie. Sa genèse est

83- Waro 2013.

84- Dufour, Bauchet 2013.

85- Dufour, Bauchet 2013, p. 31.

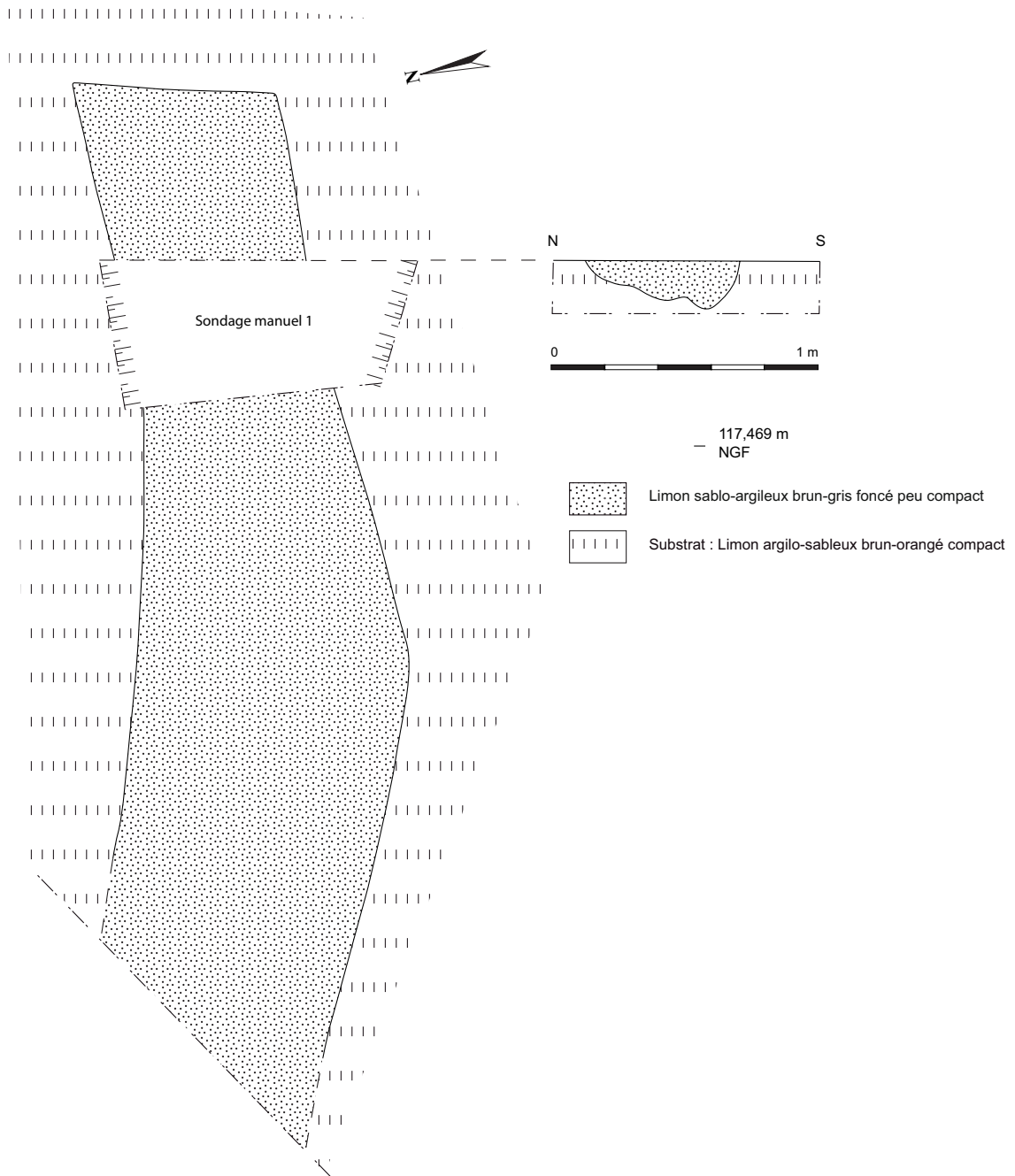


Fig. 77 : Plan et coupe du fossé Fo146
(Dessin : J.-G. Pariat, DAO : M. Decour, SDAVO)

d'ailleurs mal connue. Si les mécanismes et les superstructures disparus sont étudiables à partir de l'iconographie, celle-ci ne suffit pas, notamment en ce qui concerne les principes de fondations.

Le moulin de Villeron offre des perspectives de recherche uniques du fait de son bon état de conservation et de la quantité de structures annexes qui l'accompagnent, qui plus est dans un espace domestique enclos.

VII.4.2- Les autres structures

La fosse F2 se trouve dans la partie nord de la tranchée 1. Sa forme en plan est carrée (fig. 78). Elle mesure 1,40 m de côté et est apparue à 0,70 m de profondeur. En coupe les parois sont subverticales et le fond est plat. Cette fosse est comblée de limon argilo-sableux gris clair moucheté orange, meuble, sur 20 cm d'épaisseur. De nombreux terriers y ont été repérés. Le mobilier est apparu à mi-hauteur du comblement. Il s'agit d'une fosse de plantation moderne ou contemporaine.

La fosse F46, localisée dans la partie sud de la tranchée 7, est apparue à 0,70 m sous la surface. Cette structure de plan subcirculaire mesure 8,50 m de long pour 3,50 m de large (fig. 79). Son profil est caractéristique des marnières, si nombreuses dans ce secteur du département. Le fond n'a pas été atteint, les investigations ayant été stoppées à 1,80 m sous la surface du décapage.

Au moins quatre couches ont été distinguées. La couche supérieure est un limon argilo-sableux brun-gris clair avec des inclusions noires, compacte. Elle recouvre un limon sablo-argileux gris clair moucheté de vert avec des inclusions noires, peu compact. La couche sous-jacente est un limon argilo-sableux brun orangé moucheté vert et jaune, compact. Enfin la couche inférieure est un limon argileux brun clair avec des inclusions calcaires.

Le mobilier a été recueilli entre 0 et 0,80 m de

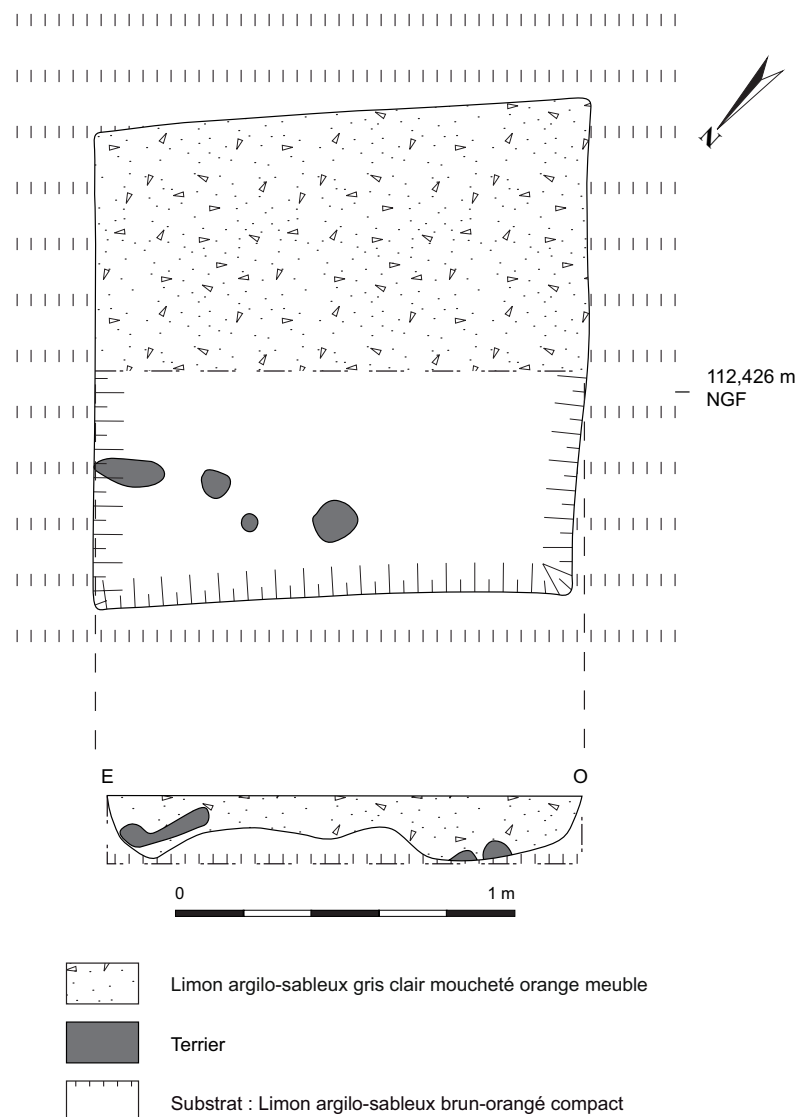


Fig. 78 : Plan et coupe de la fosse F2
(Dessin : J.-G. Pariat, DAO : M. Decofour, SDAVO)

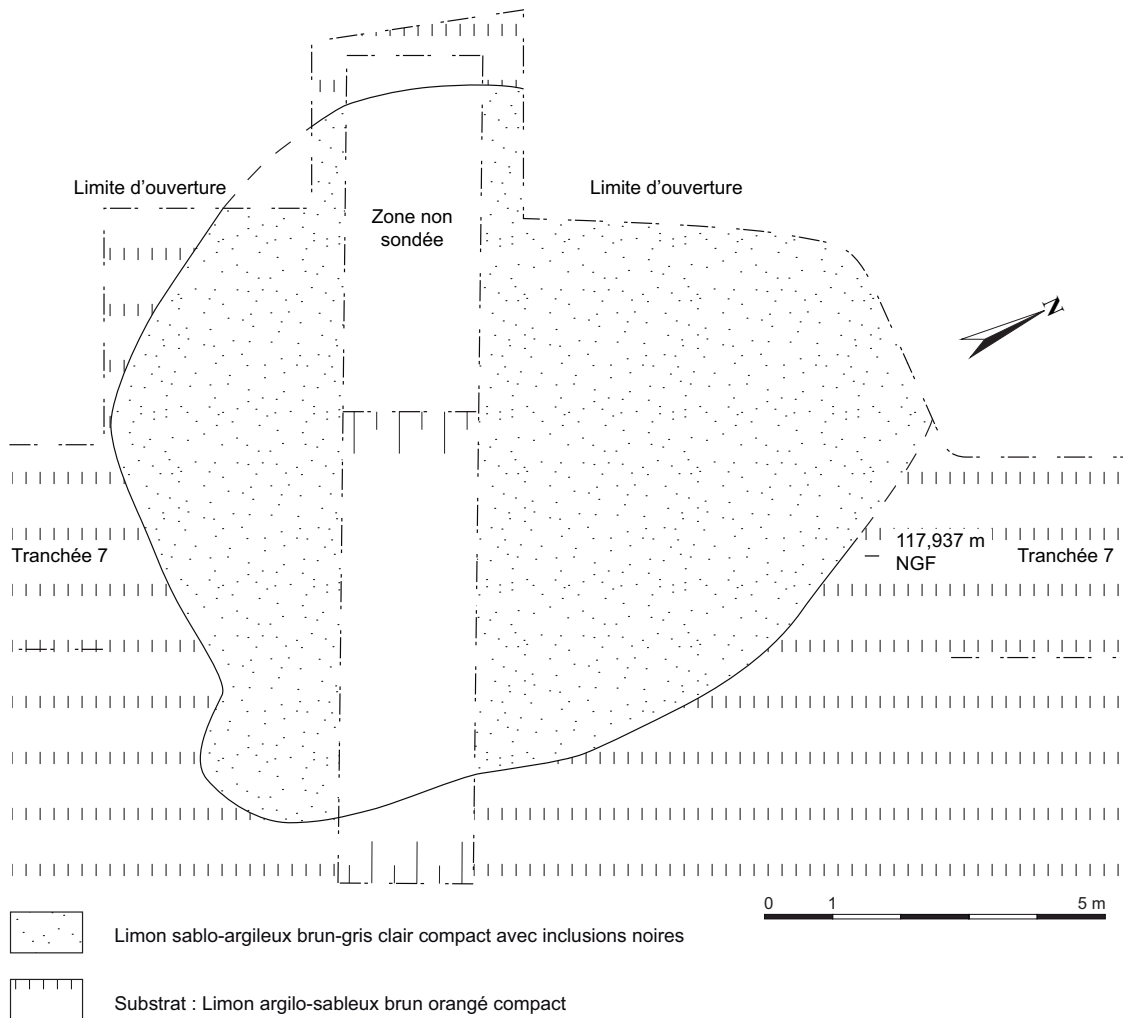


Fig. 79 : Plan et coupe de la fosse F46
(Cliché : J.-G. Pariat, DAO : M. Decofour, SDAVO)

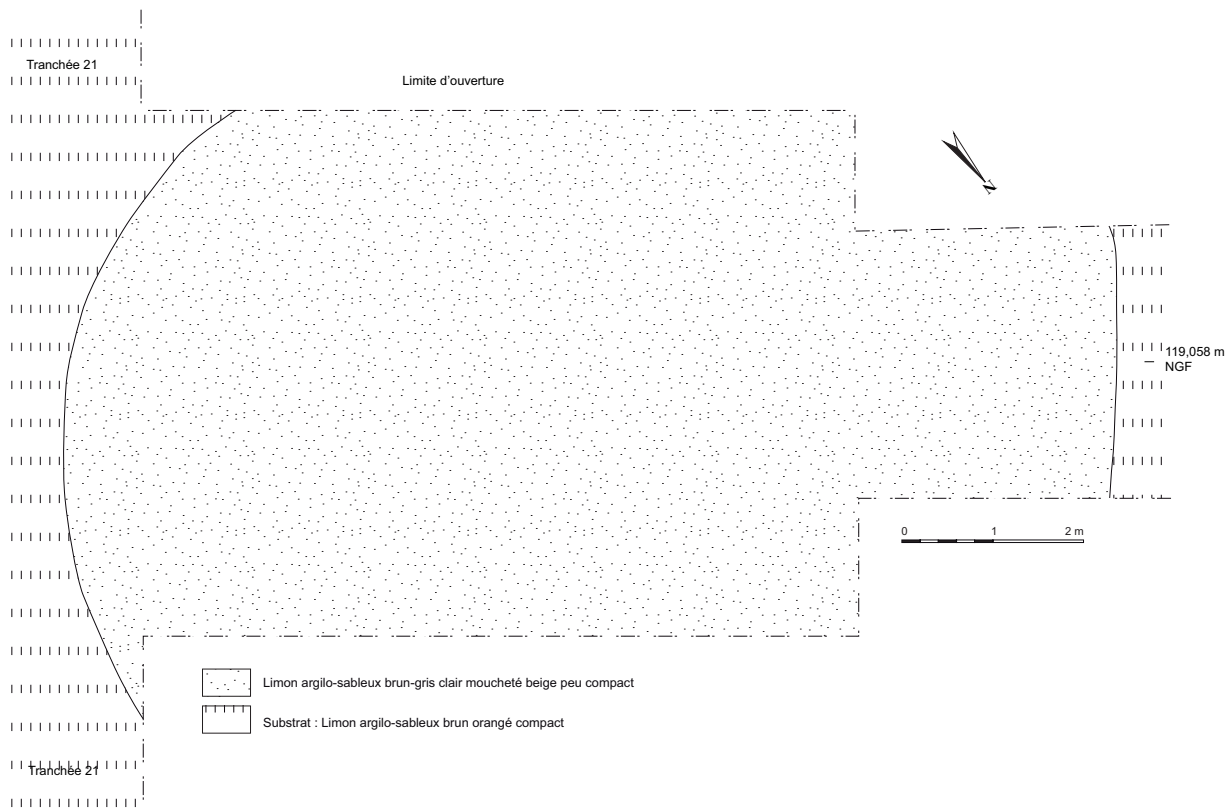


Fig. 80 : Plan de la fosse F112
(Dessin et DAO : M. Decofour, SDAVO)

profondeur. Il comprend du métal et de la céramique d'époque moderne.

La fosse F112 se trouve dans la partie nord de la tranchée 21. Cette structure présente un plan subcirculaire et mesure 11,50 m de diamètre (fig. 80). Elle est apparue à 0,60 m de profondeur et son comblement est limoneux argilo-sableux brun gris clair moucheté brun orange, compact. Cette fosse n'a pas été sondée, car elle présentait en surface les caractéristiques d'une marnière. Le mobilier recueilli comprenait notamment des tessons modernes.

VII.5- L'époque contemporaine (J.-G. Pariat, F. Trouvé)

Les tranchées réalisées sur les zones de jardins et de vergers ont révélé la présence de fosses et de fossés qui renvoient à ces pratiques culturelles. Ainsi, plusieurs fosses de plantation ont été mises au jour au nord-est de l'emprise, à l'emplacement d'une parcelle anciennement délimitée par un fossé doublé d'une haie (1823,

cadastre napoléonien). Des plantations sur cette zone sont figurées sur le plan Directeur de Dammartin dont les minutes ont été levées dans les années 1890 et révisées dans les années 1930 (fig. 81). Ce même document signale l'existence d'un bâtiment avec clôture, aujourd'hui ruiné. En 1949, des arbres sont encore visibles sur une photo aérienne, mais en 1967, il n'y a plus trace de ces plantations.

La parcelle mitoyenne au sud est représentée en 1819 comme close par des murs et divisée en deux, sa moitié gauche étant plantée et sa moitié droite en jardins (minute d'Etat-Major). Cette partition dans l'exploitation du sol se retrouve sur le plan Directeur ainsi que sur plusieurs photos aériennes (1949, 1967). Des fossés mis au jour en archéologie se superposent aux limites de ces jardins et peuvent ainsi être rattachés à une occupation moderne à contemporaine de l'espace (fossés n°36, 69, 73, 67 ?). La présence de décharges contemporaines dans les tranchées 3 et 4 signale en négatif la limite de la parcelle. À l'ouest de l'avenue de Saint-Germain, un second espace était exploité sous forme de

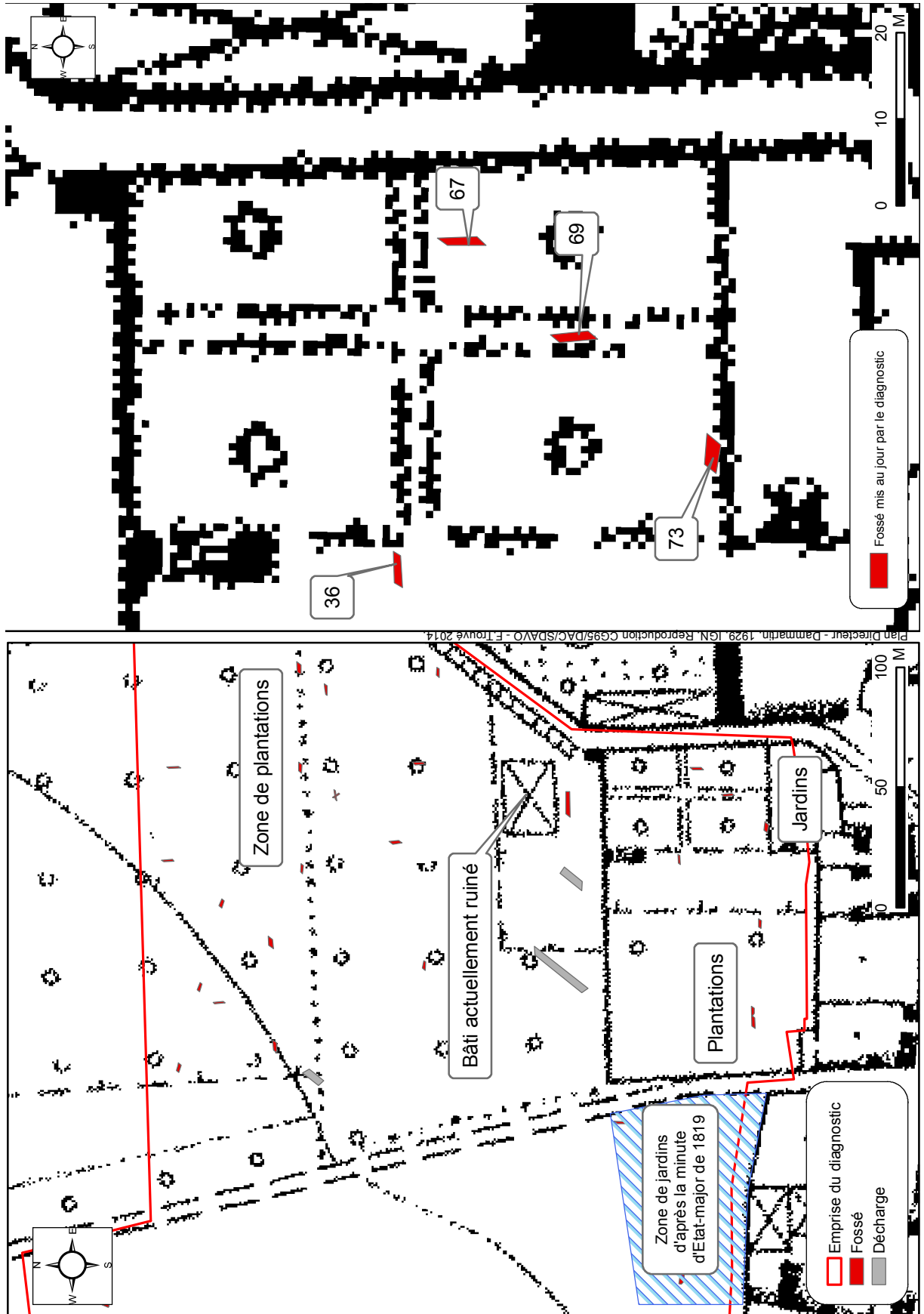


Fig. 81 : Localisation des jardins et plantations.
Correspondance avec les structures archéologiques
(DAO : F. Trouvé, SDAVO)

jardins (Minute d'Etat-Major, 1819). Absents du plan Directeur, ils semblent avoir disparu à la fin du XIX^e s. Seules trois petites parcelles présentant un parcellaire d'usage différent sont visibles en 1949 et peuvent être un reliquat de ces jardins.

Au total, treize structures ont été attribuées à l'époque contemporaine. Elles se situent dans le tiers est de l'emprise, ce qui coïncide bien avec les données issues des documents cartographiques anciens. Huit des structures exhumées ont été fouillées.

VII.5.1- Des délimitations de jardin

Les tronçons de fossé Fo39, Fo69 et Fo73 mis au jour dans les tranchées 5 et 6 correspondent, d'après les plans anciens, à des fossés de délimitation de jardins contemporains. Deux d'entre eux ont été fouillés afin d'en compléter la connaissance.

Le tronçon de fossé Fo36 se trouve au milieu de la tranchée 5. Il est apparu à 0,62 m de profondeur dans un limon argilo-sableux

brun orangé compact (fig. 82). Cette structure présente des parois rectilignes et une orientation est / ouest. Elle a été suivie sur une longueur de 3,60 m et mesure 0,60 m de large. Son profil se caractérise par des parois subverticales et un fond irrégulier. Le comblement, observé sur une épaisseur de 38 cm, se caractérise par un remplissage principal limoneux argilo-sableux brun moucheté orange, peu compact, de 20 cm d'épaisseur. Le comblement inférieur est lui aussi limoneux sablo-argileux mais la teinte est grise mouchetée orange et il est plus compact. L'unique fragment de terre cuite architecturale recueilli provient du nettoyage de surface de la structure.

Le segment de fossé Fo69 se trouve au milieu de la tranchée 6 (fig. 83). Apparu à 0,70 m de profondeur, il se détachait de l'encaissant par un comblement limoneux argilo-sableux brun-gris foncé, peu compact, avec une poche de limon argilo-sableux brun-gris moyen, peu compacte. Cette structure aux contours rectilignes présentait une orientation nord-sud. Elle fut décapée sur une longueur de 3,20 m et mesurait 0,68 m de large. En coupe, elle présentait un



Fig. 83 : Vue oblique du segment de fossé Fo69 en cours de fouille
(Cliché : J.-G. Pariat, SDAVO)

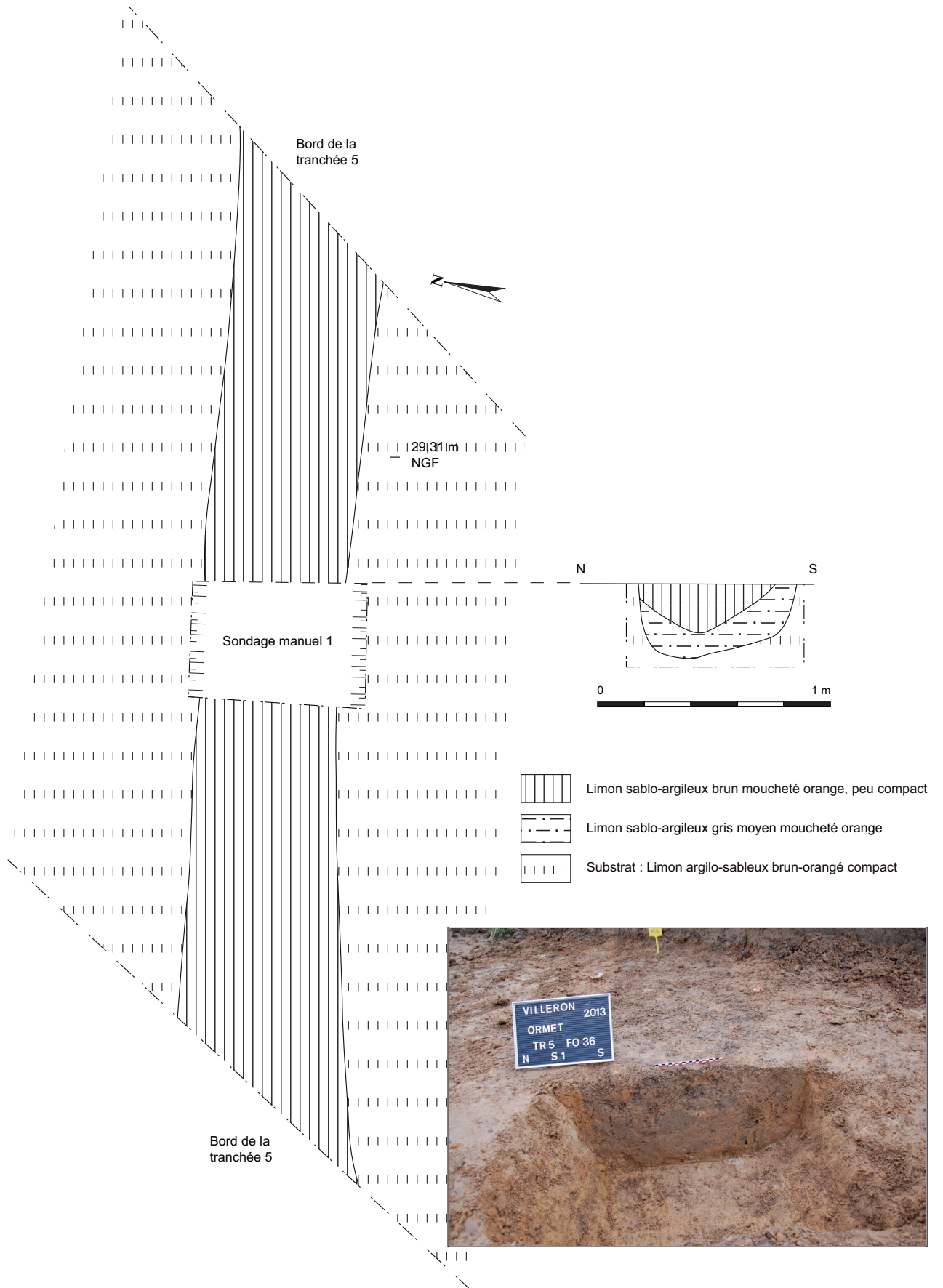


Fig. 82 : Plan et coupe du tronçon de fossé Fo36
(Dessin : J.-G. Pariat, DAO : M. Decofour, SDAVO)

profil aux parois subverticales et un fond plat. Les investigations furent rapidement stoppées du fait de la présence d'une canalisation en grès d'un diamètre de 7 cm encore chargée d'eau. Deux vestiges furent prélevés en surface : un fragment métallique indéterminé et un fragment d'os long animal.

VII.5.2- Des fosses de plantation

Quatre fosses ont été regroupées dans la catégorie des fosses de plantation contemporaine : les fosses F35 et F37 de la tranchée 5, la fosse F27 de la tranchée 4 et la structure St23 de la tranchée 3. Aucune de ces structures n'a fait l'objet d'une fouille mais les observations réalisées révèlent un nombre de caractéristiques communes.

Ces fosses présentent toutes un plan quadrangulaire et elles mesurent en moyenne 1,40 m de long pour 1,28 m de large. Leur comblement est comparable : il s'agit d'un limon à composante argilo-sableuse brun clair à foncé, peu compact qui se démarque nettement de l'encaissant brun orangé compact.

VII.5.3- Les structures indéterminées

Sept structures sont rattachées à l'époque contemporaine mais elles ne peuvent pas être caractérisées sur le plan fonctionnel. Toutes ont été l'objet d'une approche archéologique.

La fosse F16 se trouve dans la partie nord de la tranchée 2. Elle est apparue à 0,50 m de profondeur et se démarquait du limon argilo-sableux brun orangé compact par un limon sableux brun foncé meuble. Cette fosse de plan rectangulaire mesure 5 m de long pour 1,90 m de large (fig. 84). Cette structure présente un fond plat avec évasement des bords. L'épaisseur du remplissage est de 1,04 m. Chaque couche mesure une vingtaine de centimètres d'épaisseur. La couche 1, supérieure, est limoneuse argilo-sableuse brun-gris moyen, meuble avec des pierres calcaires, du plâtre et des morceaux d'ardoise. Elle recouvre un limon argilo-sableux brun-gris moyen à clair, meuble, à inclusions calcaires. La couche 3 est limoneuse argilo-sableuse brun-gris moyen mouchetée brun-

ocre, meuble. La couche 4 est limoneuse argilo-sableuse brun-gris moyen, meuble. Enfin la couche 5 est limono-argileuse brun-ocre à bleu-vert, meuble, hydromorphe.

Le tronçon de fossé Fo19 se trouve dans la partie nord de la tranchée 3. En plan il est apparu sous la forme d'un fossé aux contours rectilignes d'orientation est / ouest à 0,55 m de profondeur (fig. 85). En coupe le fossé présente un fond arrondi et des parois en pente douce. Sous le fossé, une séquence stratigraphique complexe a été observée. Elle est formée d'au moins cinq couches de limon argilo-sableux interprétées comme un remblai de régilage. De nombreux vestiges proviennent d'ailleurs de ces différents horizons et doivent être attribués à l'époque moderne ou contemporaine (douille de percussion de balle de chasse, grès du Beauvaisis, etc.).

Le segment de fossé Fo20 se trouve dans la partie nord de la tranchée 3. Le fossé a été reconnu vers 0,48 m de profondeur lors du décapage. La fouille qui en a été entreprise a révélé qu'il y avait en fait deux fossés qui se croisaient à cet endroit. Le sondage a été pratiqué exactement au niveau de l'intersection des deux fossés (Fo20 et Fo144, fig. 86). En plan ce fossé présente des contours rectilignes et une orientation nord-ouest / sud-est. Il a été suivi sur une longueur de 3 m pour une largeur de 0,60 m. Le comblement est un limon sablo-argileux brun-gris clair, compact, avec quelques pierres calcaires. L'unique vestige recueilli est un clou de ferrure de fer à cheval avec une extrémité en tête de violon⁸⁶.

Le segment de fossé Fo144 est donc recoupé par le tronçon Fo20. Il a été suivi sur une longueur de 4,40 m selon une orientation est / ouest (fig. 87). Sa largeur est de 0,60 m et son profil est à pente douce avec un fond arrondi. Le comblement, d'une épaisseur de 20 cm, correspond à un limon sablo-argileux brun-gris clair moucheté beige, compact, très proche de celui du fossé Fo20. L'attribution de cette structure à l'époque contemporaine repose sur la nature du comblement, très proche de celui du

86- Détermination A. Lefevre (SDAVO).

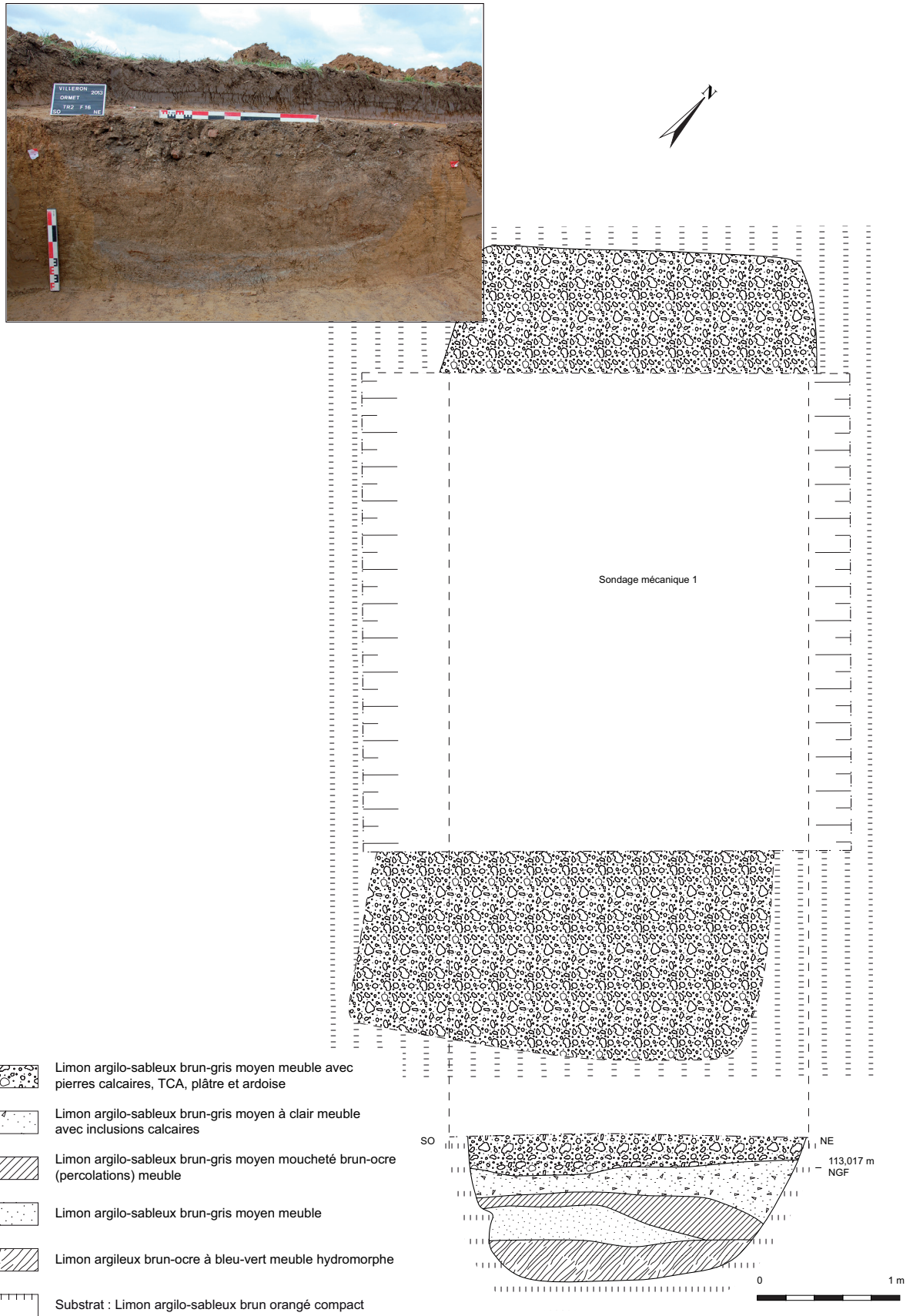


Fig. 84 : Plan et coupe de la fosse F16
(Dessin et DAO : M. Decofour, SDAVO)

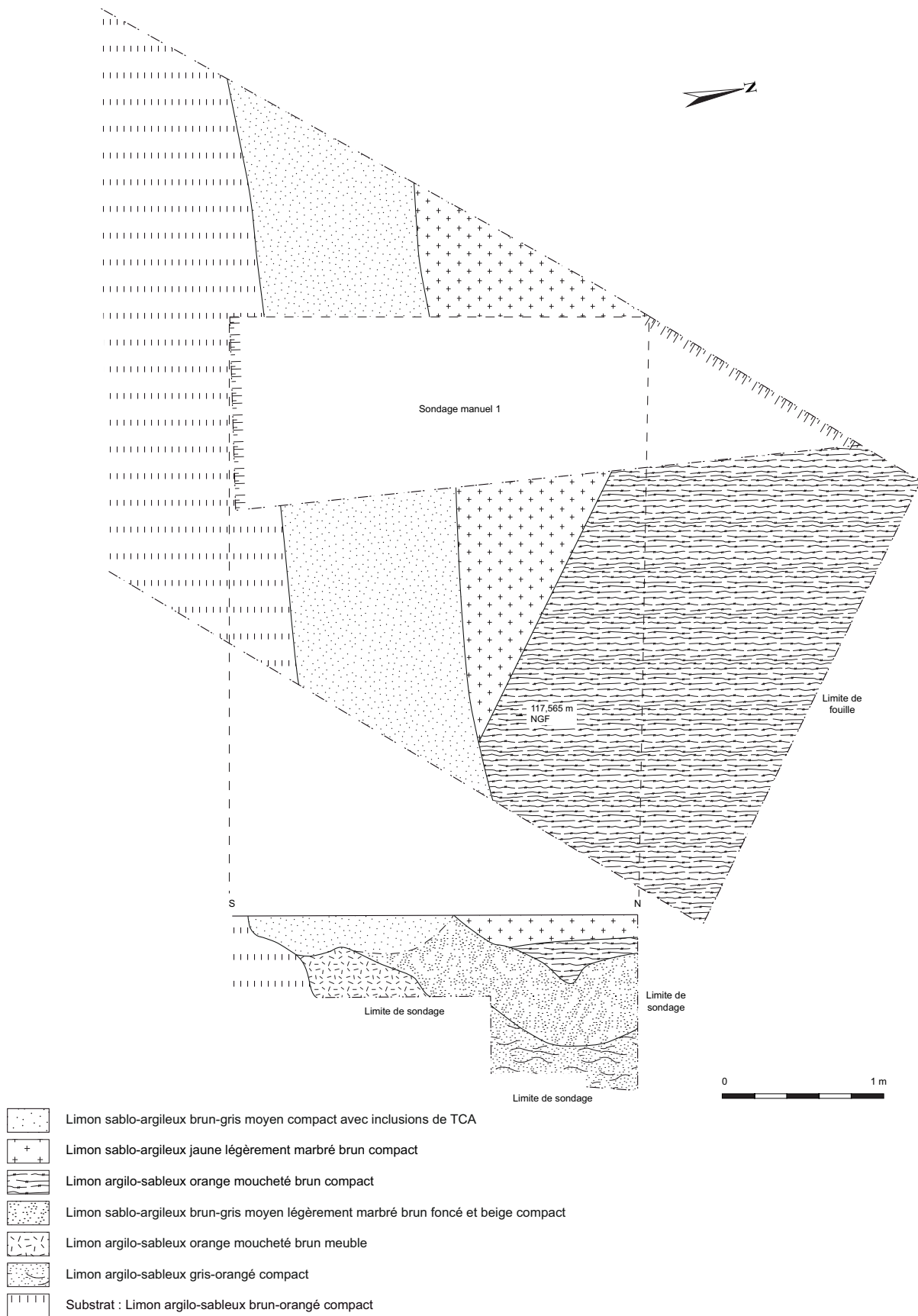


Fig. 85 : Plan et coupe du segment de fossé Fo19
(Dessin : P. Carvalho, DAO : M. Decofour, SDAVO)

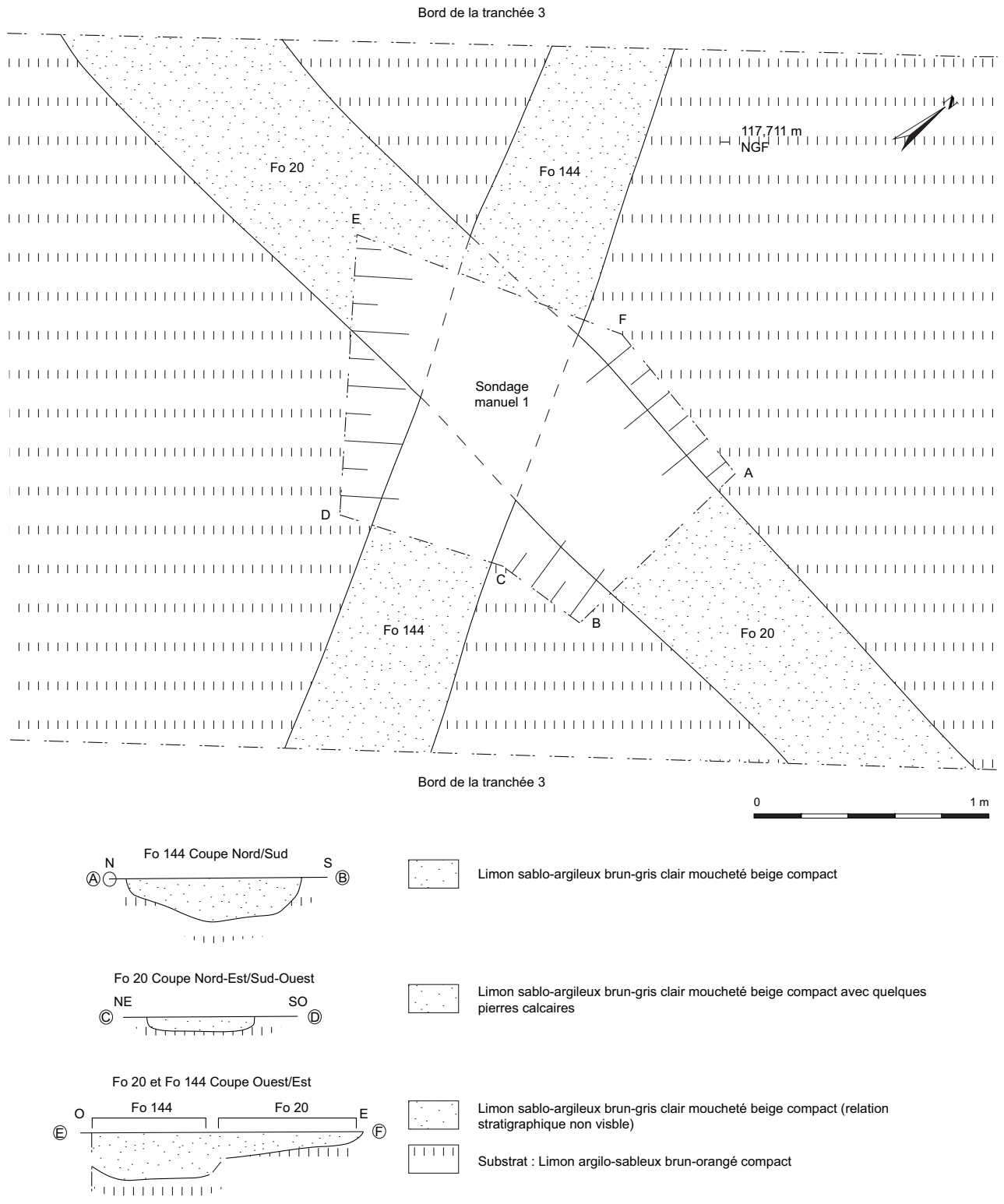


Fig. 86 : Plan et coupe des segments de fossé Fo20 et Fo144
(Dessin : P. Carvalho, DAO : M. Decofour, SDAVO)



Fig. 87 : Vue oblique des segments de fossé Fo20 et Fo144
(Cliché : P. Carvalho, SDAVO)

segment de fossé Fo20.

La structure St51, localisée dans la partie nord de la tranchée 7, n'a pas été comprise lors du diagnostic. Elle se présente sous la forme d'une tache plus ou moins sombre avec deux angles droits et apparaît vers 0,78 m de profondeur (fig. 88). Son plus grand côté mesure 3,20 m de long. Au moins quatre comblements à dominante limoneuse ont été distingués en surface et quatre couches supplémentaires ont été caractérisées en coupe. Cette structure n'a été que partiellement sondée, car elle se poursuivait hors de l'emprise de la tranchée. Son profil n'est donc pas observable.

Les vestiges proviennent exclusivement de la surface. Ils correspondent à des pavés et de la céramique contemporaine.

Le tronçon de fossé Fo50 jouxte la structure St51 dans la partie nord de la tranchée 7. Il est apparu à 0,70 m de profondeur et présente des contours rectilignes. Ce fossé est orienté selon un axe est / ouest et a été suivi sur une longueur de 3,90 m. Sa largeur est de 0,60 m pour une profondeur sous la surface du décapage de 0,22 m. Son profil semble en cuvette mais les limites sont incertaines. Le comblement se caractérise par un limon argilo-sableux gris foncé moucheté jaune orangé, compact.

Aucun vestige n'a été recueilli. L'attribution de ce fossé à l'époque contemporaine repose sur le fait qu'il se trouve dans le prolongement du fossé Fo19.

Le fossé Fo132 se trouve dans la partie sud de

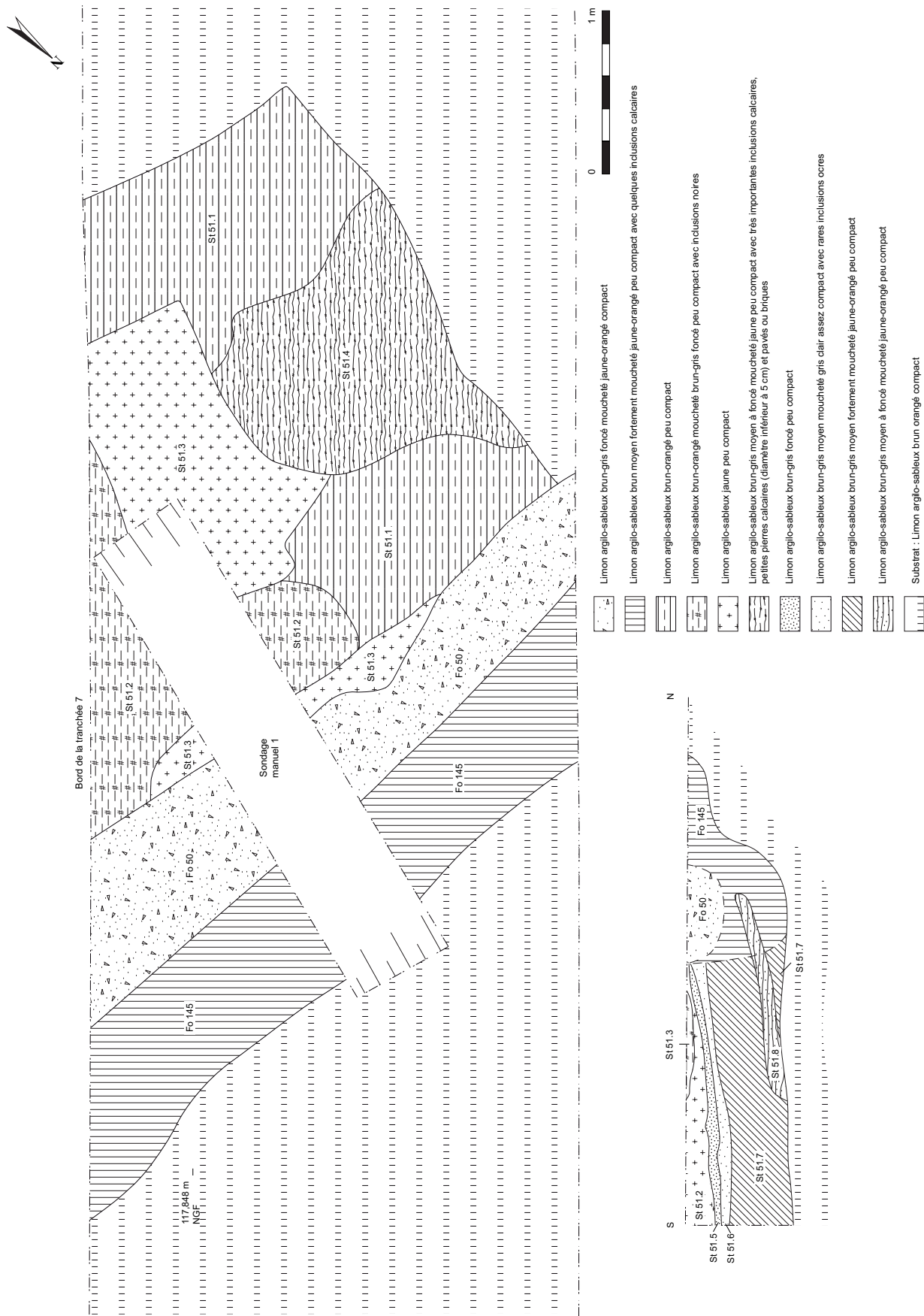


Fig. 88 : Plan et coupe de la structure St51 (Dessin et DAO : M. Decofour, SDAVO)



Fig. 89 : Coupe du fossé Fo132
(Cliché : M. Decofour, SDAVO)

la tranchée 27 pratiquée dans la bâtisse encore en élévation, à l'est de l'emprise. Suivi sur une longueur de 9 m, ce fossé présente une orientation est / ouest et des contours rectilignes (fig. 89). Il fut repéré vers 0,68 m de profondeur et mesure 1,05 m de large. En coupe, les parois sont verticales et le fond est plat. Deux couches ont été distinguées sur 30 cm d'épaisseur. Le comblement inférieur est un limon sableux gris clair moucheté de brun-ocre avec inclusions noires, compact, qui recèle de gros blocs calcaires. Il est recouvert par un limon argileux orangé avec des pierres calcaires, peu compact.

VII.6- Les structures d'époque indéterminée

59 structures sont d'époque indéterminée. 12 d'entre elles ont été fouillées.

VII.6.1- Les tronçons de fossé

Sept tronçons de fossé ont été fouillés mais n'ont pu être datés faute de mobilier. Ils sont majoritairement localisés à l'est de l'emprise et renvoient vraisemblablement à des éléments de parcellaire récents (modernes ou contemporains). Leur description est regroupée en annexe dans l'inventaire des structures et les relevés de ces structures sont présentés dans cette section (fig. 90 à 96).

VII.6.2- Les fosses

Cinq fosses fouillées n'ont pas été datées faute de mobilier. Leur distribution dans l'emprise du diagnostic est assez lâche. Du point de vue fonctionnel, la nature de ces fosses n'est guère plus évidente à caractériser. Leur description est regroupée en annexe dans la section dévolue à l'inventaire des structures et leur relevé est présenté dans cette section (fig. 97 à 101).

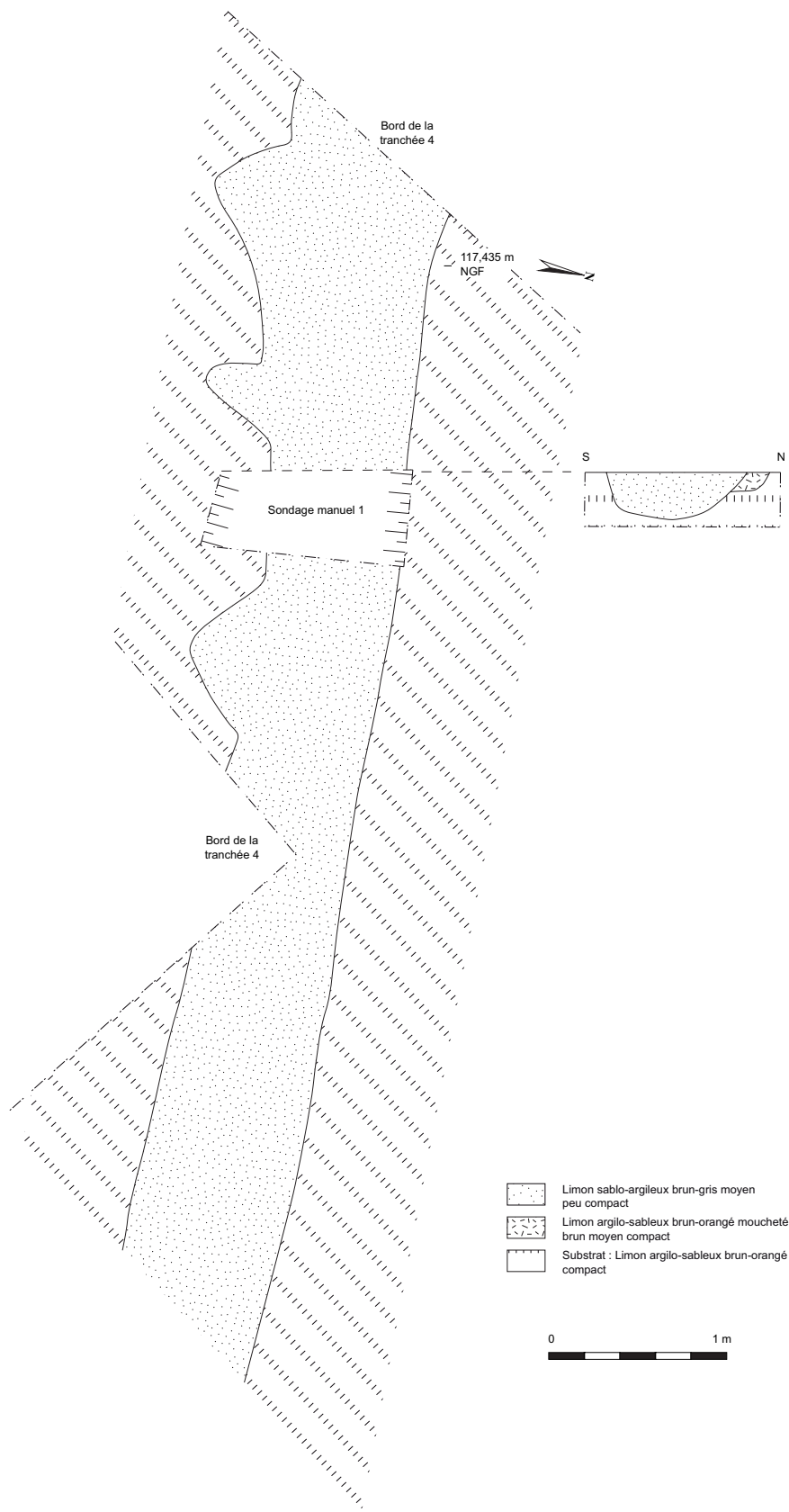


Fig. 90 : Plan et coupe du fossé Fo24
(Dessin : J.-G. Pariat, DAO : M. Decofour, SDAVO)

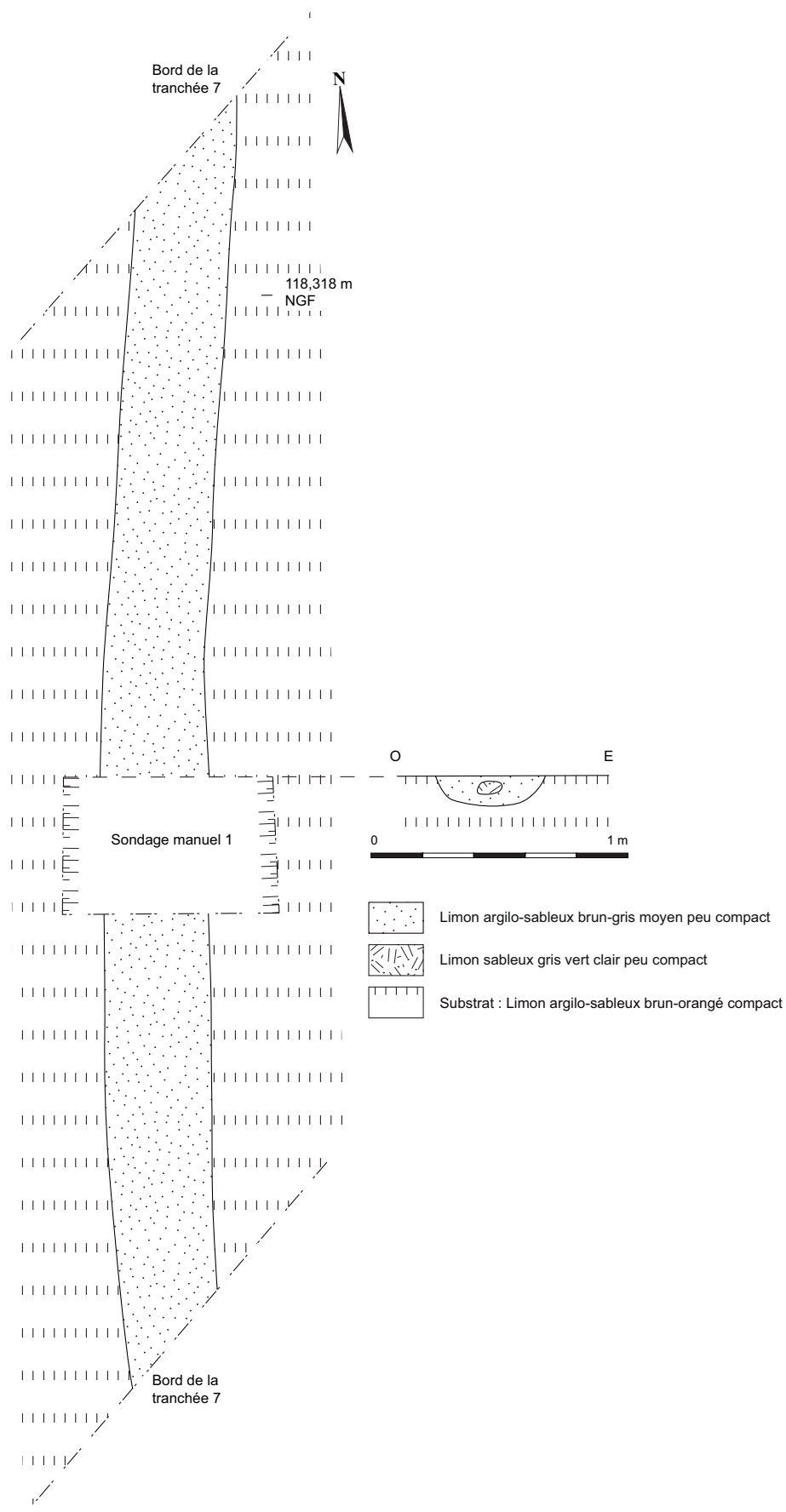


Fig. 91 : Plan et coupe du fossé Fo53
(Dessin et DAO : M. Decofour, SDAVO)

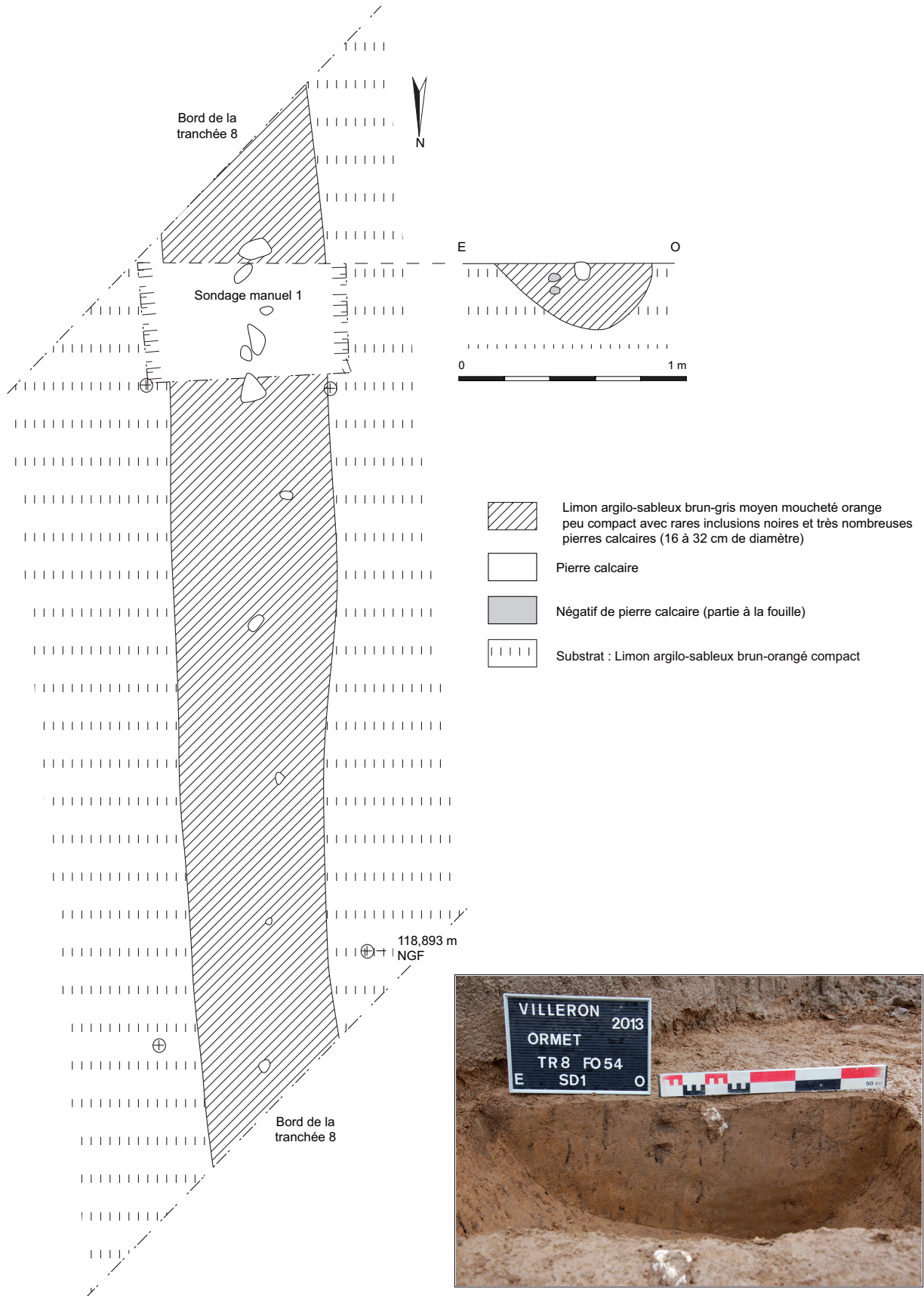


Fig. 92 : Plan et coupe du fossé Fo54
(Dessin et DAO : M. Decofour, SDAVO)

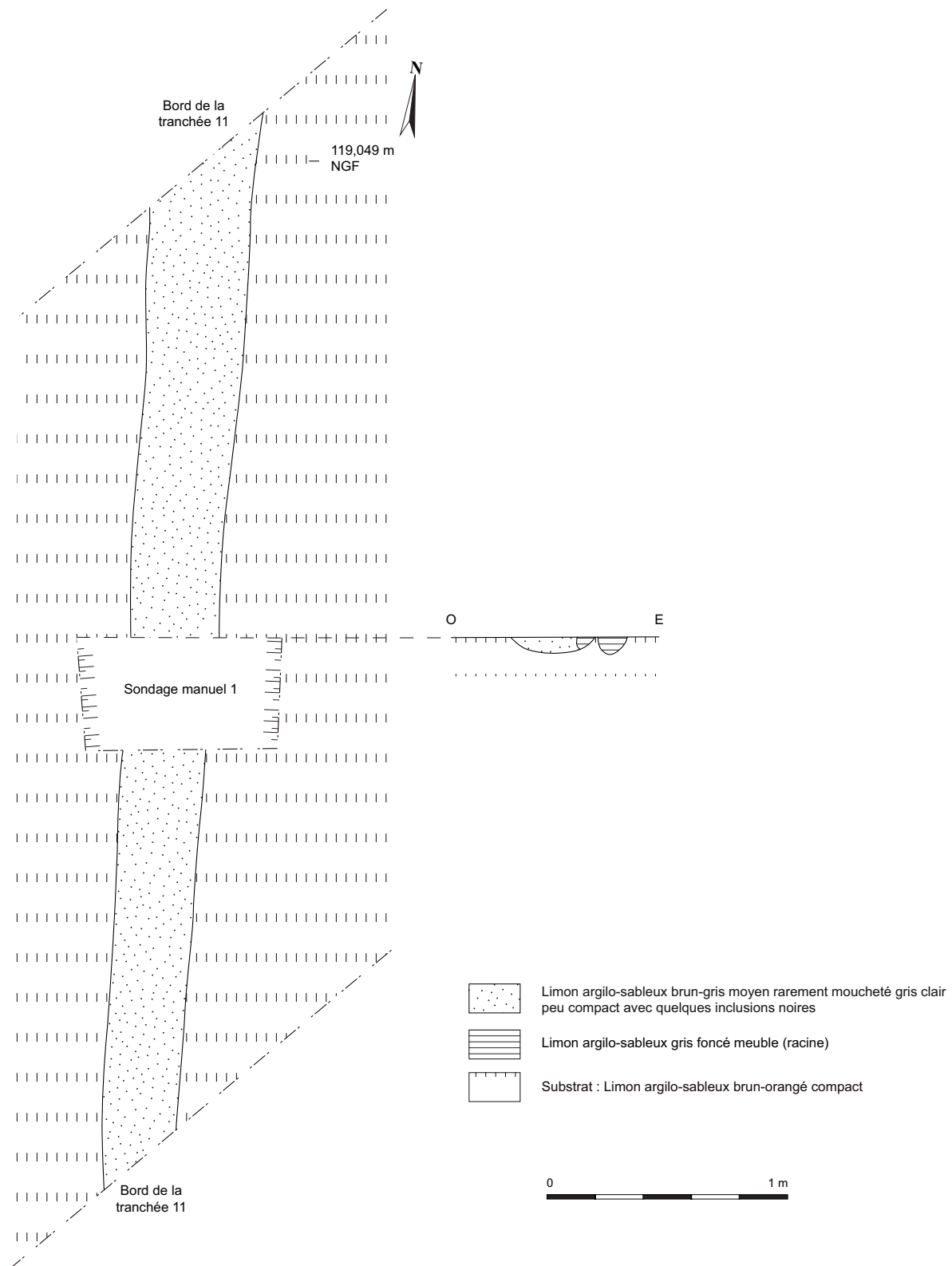


Fig. 93 : Plan et coupe du fossé Fo78
(Dessin et DAO : M. Decofour, SDAVO)

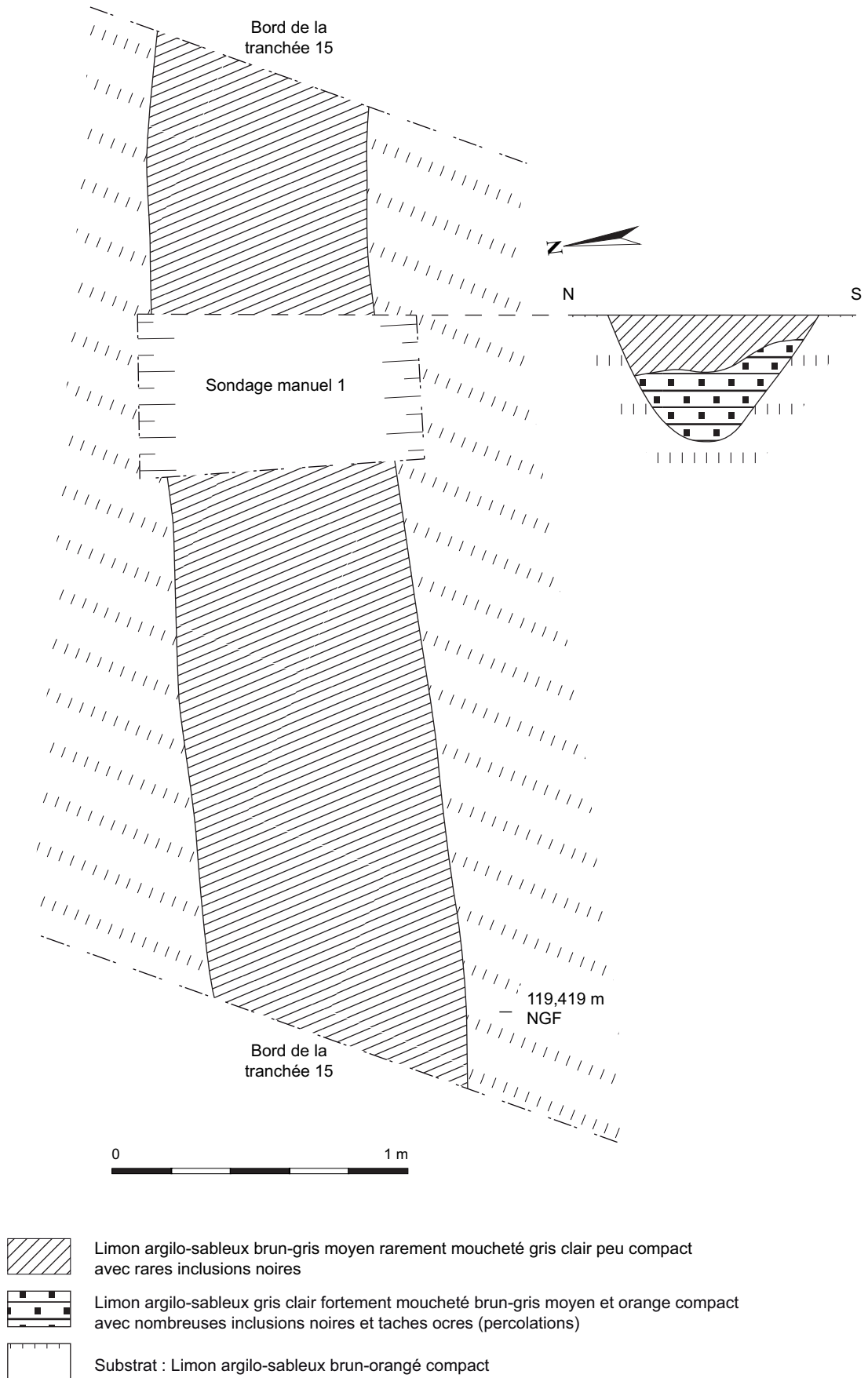


Fig. 94 : Plan et coupe du fossé Fo92
(Dessin : P. Carvalho, DAO : M. Decofour, SDAVO)

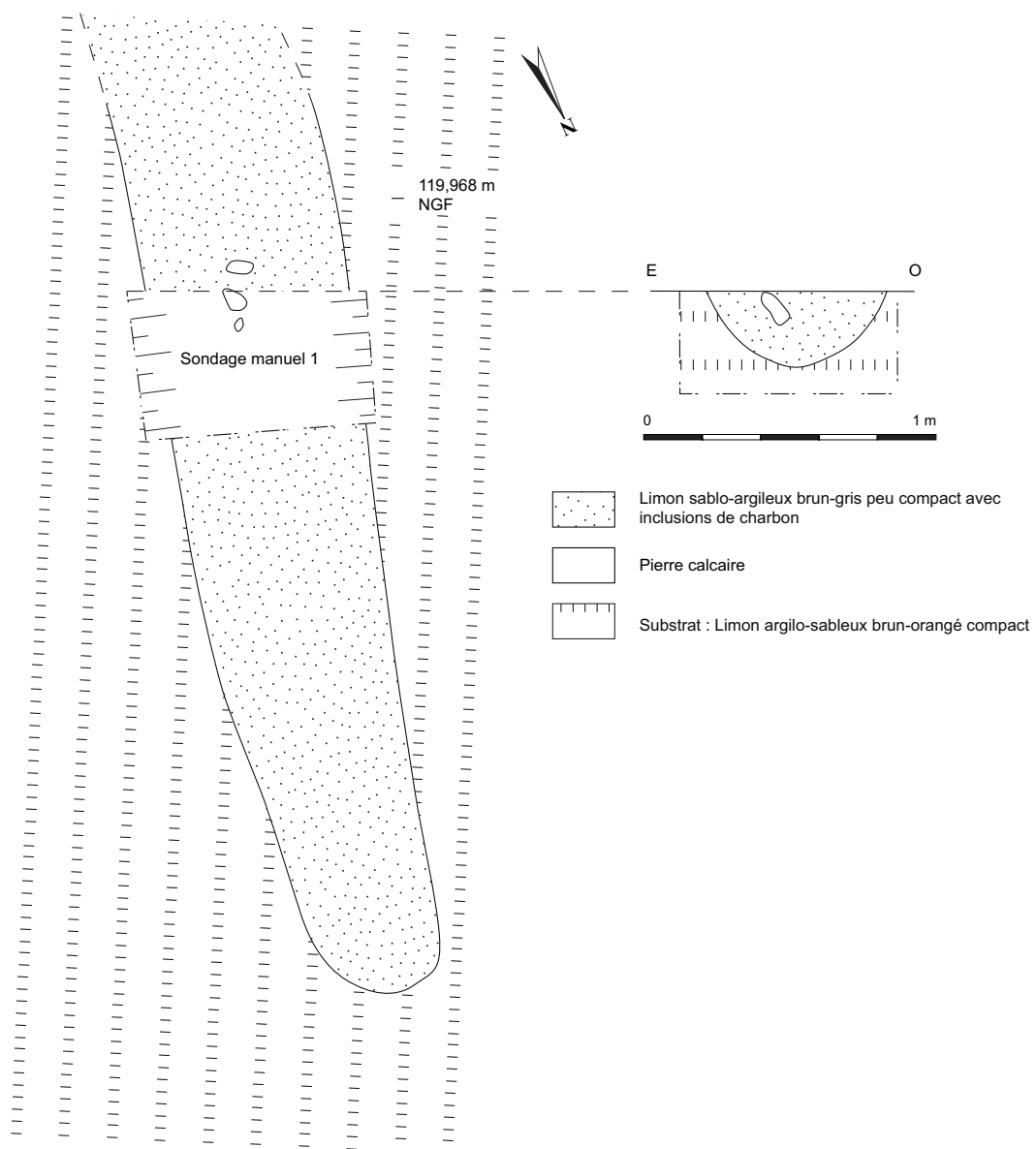


Fig. 95 : Plan et coupe du fossé Fo101
(Dessin : J.-G. Pariat, DAO : M. Decofour, SDAVO)

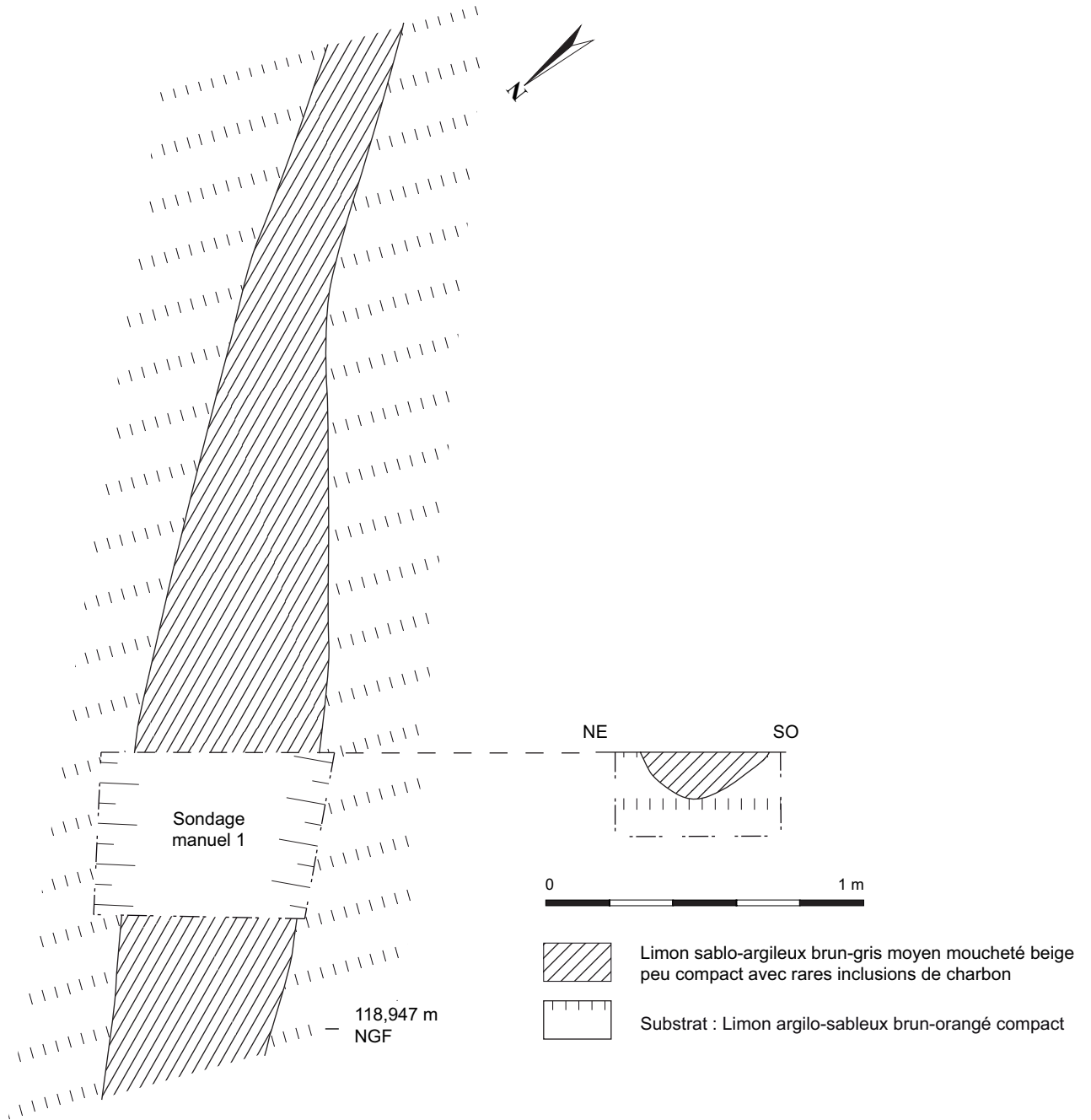
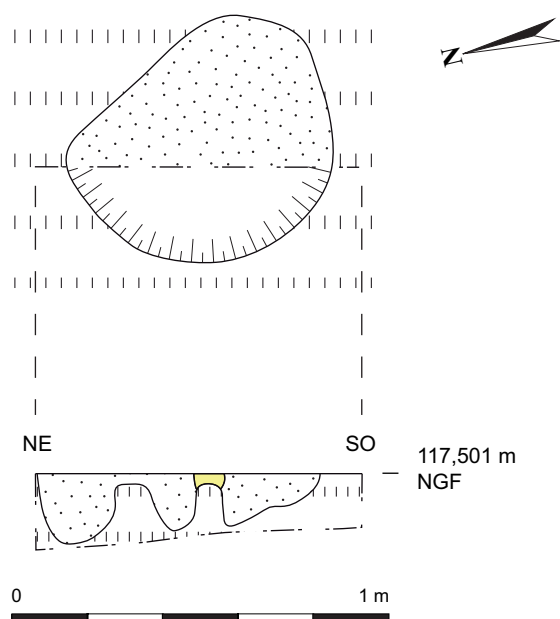


Fig. 96 : Plan et coupe du fossé Fo116
(Dessin : J.-G. Pariat, DAO : M. Decofour, SDAVO)



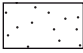

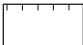
-  Limon sablo-argileux brun-gris moyen peu compact avec rares inclusions de charbons
-  Os faune (emplacement du squelette en connexion)
-  Substrat : Limon argilo-sableux brun-orangé compact

Fig. 97 : Plan et coupe de la fosse F25
(Dessin : J.-G. Pariat, DAO : M. Decofour, SDAVO)

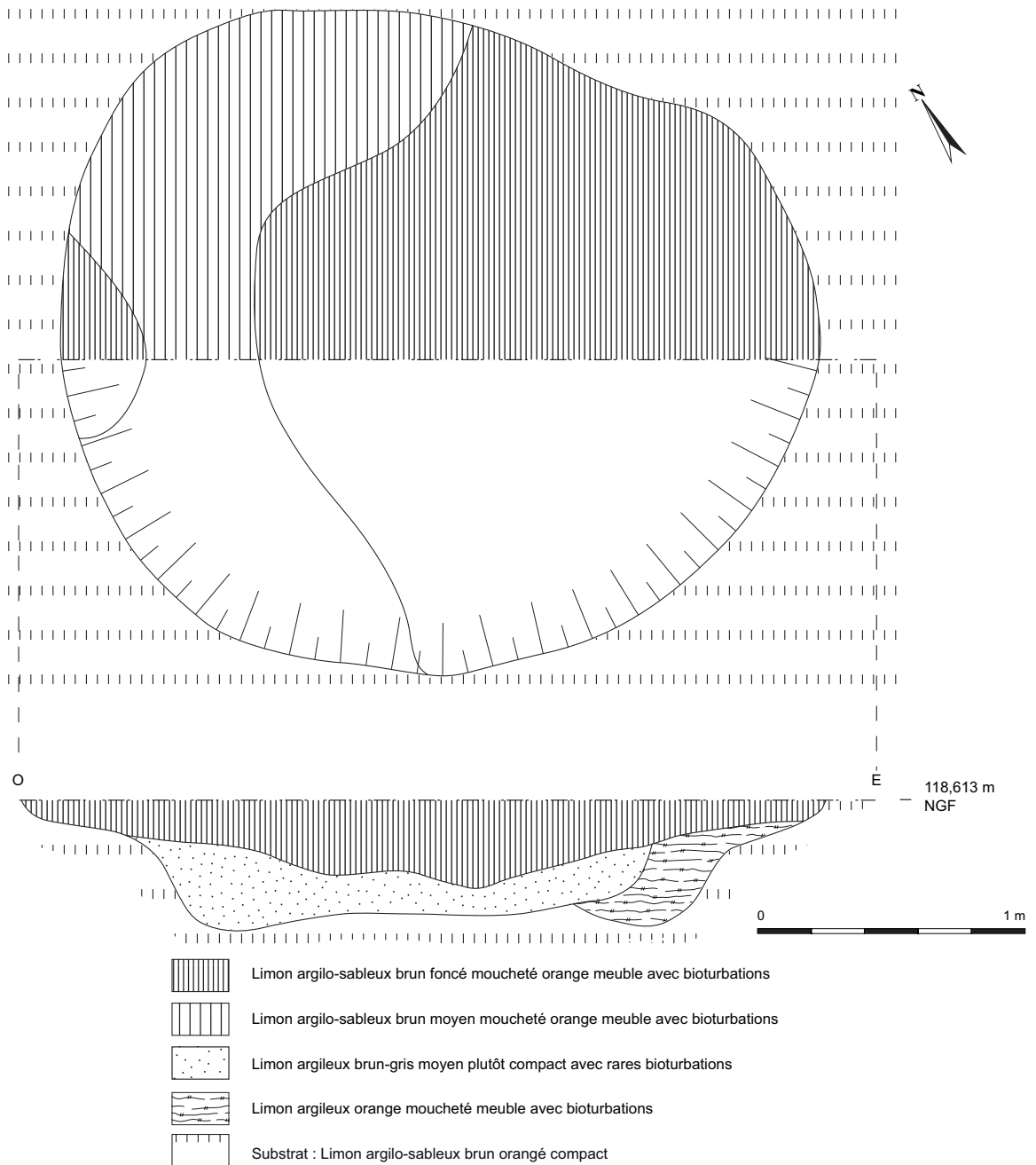
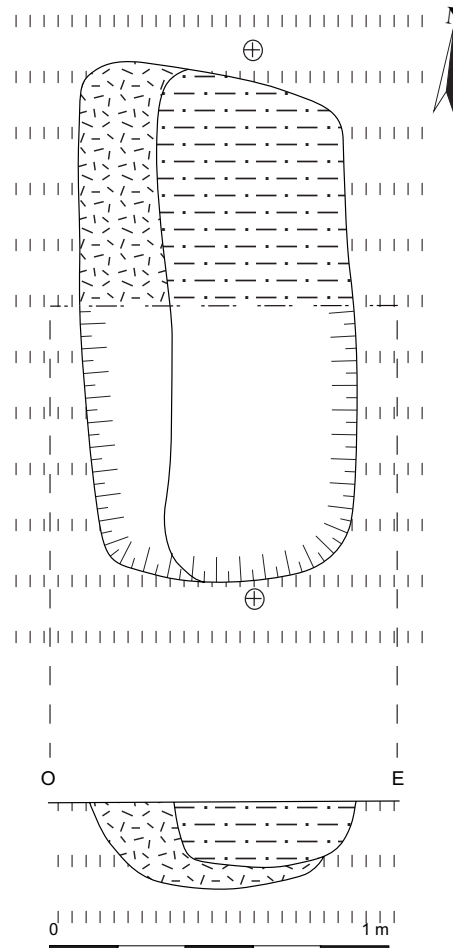


Fig. 98 : Plan et coupe de la fosse F57
(Dessin et DAO : M. Decofour, SDAVO)



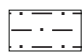
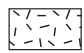

- 
Limon sablo-argileux gris moyen fortement moucheté gris clair, compact avec très nombreuses inclusions noires et rares poches orangées (substrat remanié ?)
- 
Limon argilo-sableux gris-orange rarement moucheté gris clair compact avec inclusions noires
- 
Substrat : Limon argilo-sableux brun-orangé compact

Fig. 99 : Plan et coupe de la fosse F143
(Dessin et DAO : M. Decofour, SDAVO)

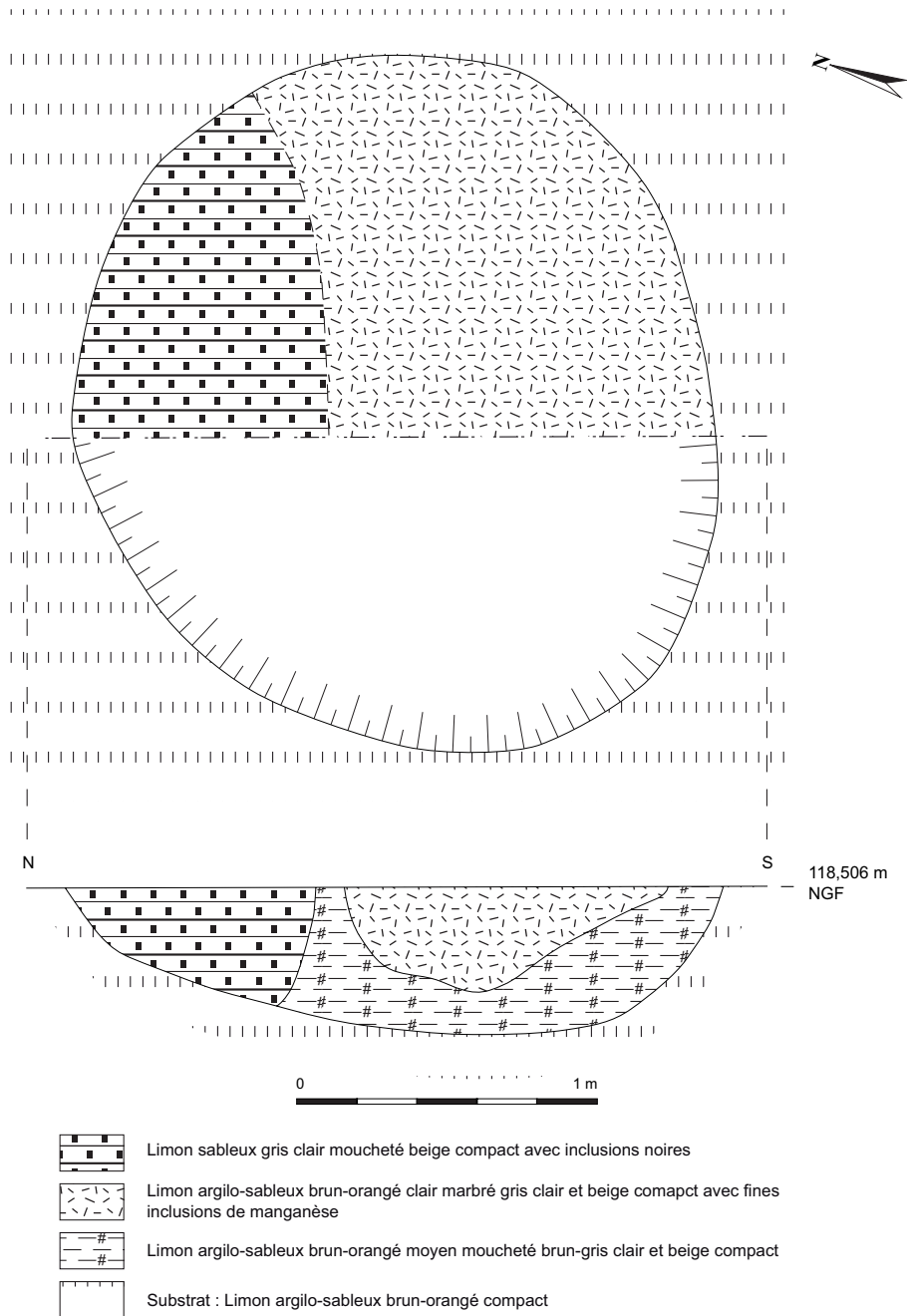
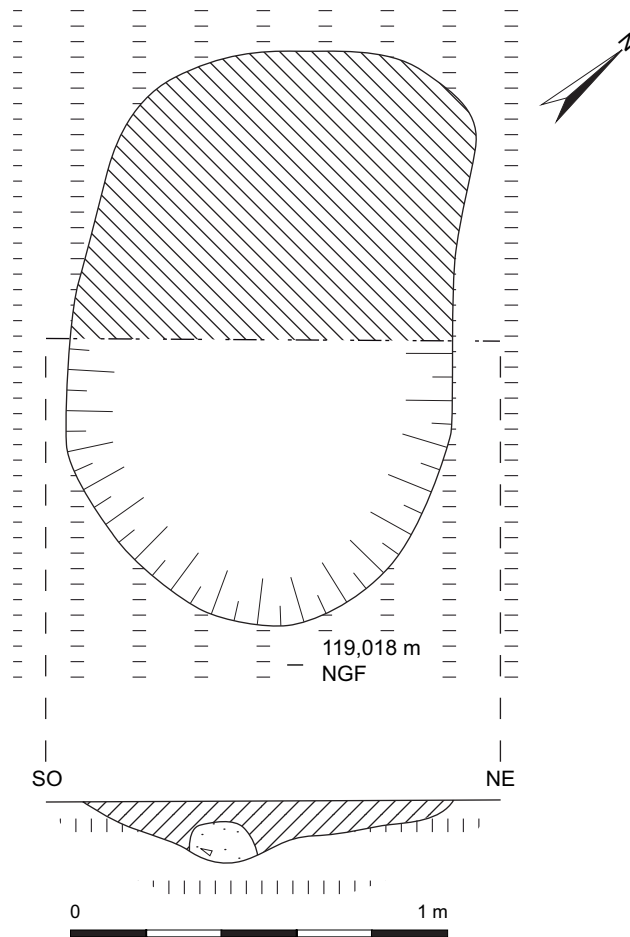


Fig. 100 : Plan et coupe de la fosse F82
(Dessin : P. Carvalho, DAO : M. Decofour, SDAVO)



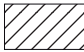
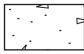

-  Limon argilo-sableux brun-gris moyen rarement moucheté gris-blanc et orange peu compact avec rares inclusions noires
-  Limon argilo-sableux brun-gris clair moucheté gris clair peu compact avec nombreuses inclusions noires
-  Substrat : Limon argilo-sableux brun-orangé compact

Fig. 101 : Plan et coupe de la fosse F115
(Dessin et DAO : M. Decofour, SDAVO)

Conclusion générale

Le diagnostic archéologique de la « Route de l'Ormet » à Villeron a livré de nombreux témoins archéologiques. Il apporte de nombreuses informations relatives à la structuration du territoire au fil du temps, notamment au travers de l'évolution de la trame parcellaire. Il enrichit grandement notre connaissance des implantations humaines dans ce secteur du département.

La structuration du territoire (F. Trouvé)

À plus petite échelle, différentes tendances d'organisation du territoire se dessinent. Un premier axe nord / sud s'articule à partir de l'avenue de Chennevières et de l'avenue de Saint-Germain auxquelles s'agrègent des limites parcellaires. L'avenue de la Baraque à Villeron poursuivie par le chemin de Beaumont constitue le support d'une seconde orientation est / ouest, qui intègre le tracé de la voie royale de Paris à Senlis. Enfin, une troisième trame se dessine, appuyée sur l'avenue des Beurriers qui circule dans un thalweg, parallèlement à l'avenue de Louvres à Montméliant, et à un tronçon de l'avenue de Chennevières.

La mise au jour de nombreux tronçons de fossés archéologiques permet de tester leur insertion dans cette organisation spatiale locale. Leur axe a volontairement été prolongé afin de rendre leurs orientations plus lisibles. Les structures archéologiques linéaires ont été regroupées en classes à partir d'un classement mathématique des orientations, dont la pertinence a été testée graphiquement dans le SIG.

Cinq orientations différentes ont été observées. La première regroupe les structures orientées de 1 à 9° (par rapport à l'Est cartographique en Lambert, fig. 102). Il s'agit de fossés uniquement localisés à l'est de l'avenue de Saint-Germain dont une partie, datée de l'époque moderne et contemporaine, renvoie à l'exploitation en jardins et plantations. D'aspect très régulier, la trame dessinée par ces structures s'inscrit dans

l'organisation articulée autour des chemins de Saint-Germain et de Chennevières. À plus petite échelle, cette orientation trouve un écho dans les limites fortes qui s'appuient sur la limite du parc moderne du château de Marly-la-Ville. Dans cette même trame, s'insèrent les structures de la seconde orientation (10-13° EL) qui comprend une portion non négligeable de l'avenue de Saint-Germain médiévale ainsi qu'un alignement de deux fossés antiques. La troisième orientation (32-50° EL) comporte trop peu de tronçons pour être analysée (fig. 103). À plus grande échelle, on retrouve des limites fortes qui s'adaptent au relief et les voies des Beurriers et de Louvres à Montméliant. Enfin, les 4^e et 5^e orientations (61-80° ; 81-88°) regroupent l'ensemble des fossés antiques ainsi que plusieurs autres fossés de datation indéterminée (fig. 104). Ces structures dessinent une trame nord-est / sud-ouest qui s'appuie sur l'avenue de la Baraque à Villeron et sur la voie moderne Paris-Senlis. Les orientations principales du village sont incluses dans cette organisation spatiale.

Un autre élément marqueur dans le paysage est à relever au lieu-dit la *Baraque de Villeron*. Cette bâtisse en bordure de la voie royale moderne Paris-Senlis est citée comme point d'aboutissement de plusieurs chemins (fig. 105). La zone constitue un pôle attractif pour sept axes de circulation, dont plusieurs tracés modernes. Ce carrefour remarquable ne s'expliquant pas par un relief particulier, il faut sans doute le rattacher à une occupation humaine dont la *Baraque* peut être un héritage (quatre fourches de justice sont cartographiées à proximité sur le plan d'Intendance de 1780). La pérennisation du carrefour s'explique par l'activité continue de la circulation dans plusieurs de ses branches.

Les moulins à vent, dont celui de Villeron, servent eux aussi de points de repère dans le paysage, ainsi que l'attestent les noms de chemins (avenue *du Moulin de Chennevières* à Montméliant, avenue de Chennevières *au Moulin de Villeron*, chemin de Saint-Médard *au Moulin de Chennevières*, etc.).

Aufinal, le croisement des données archéologiques et morphologiques a permis ici de mettre en

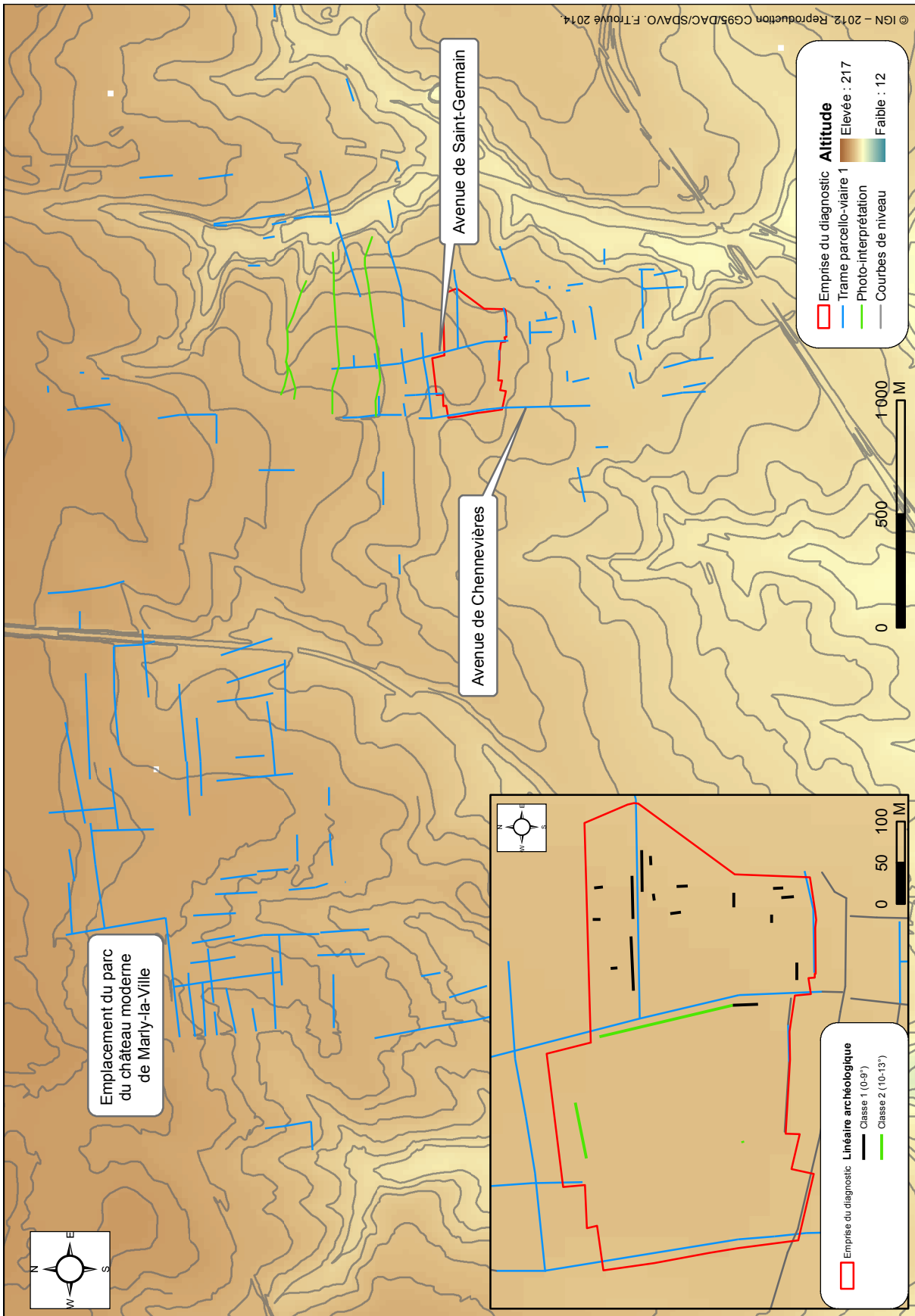


Fig. 102 : Trame spatiale n°1 et structures archéologiques associées
(DAO : F. Trouvé, SDAVO)

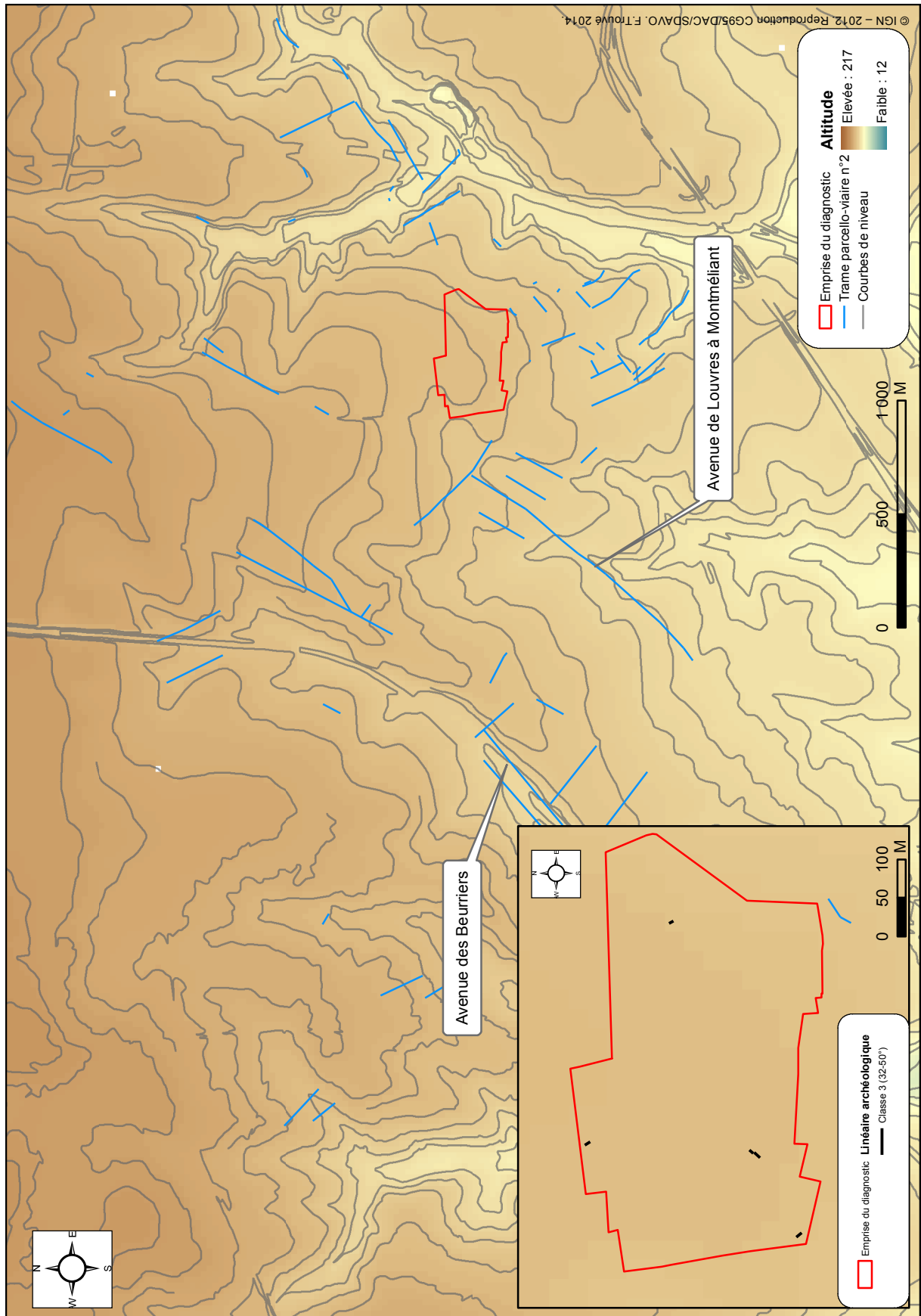


Fig. 103 :Trame spatiale n°2 et structures archéologiques associées
(DAO : F. Trouvé, SDAVO)

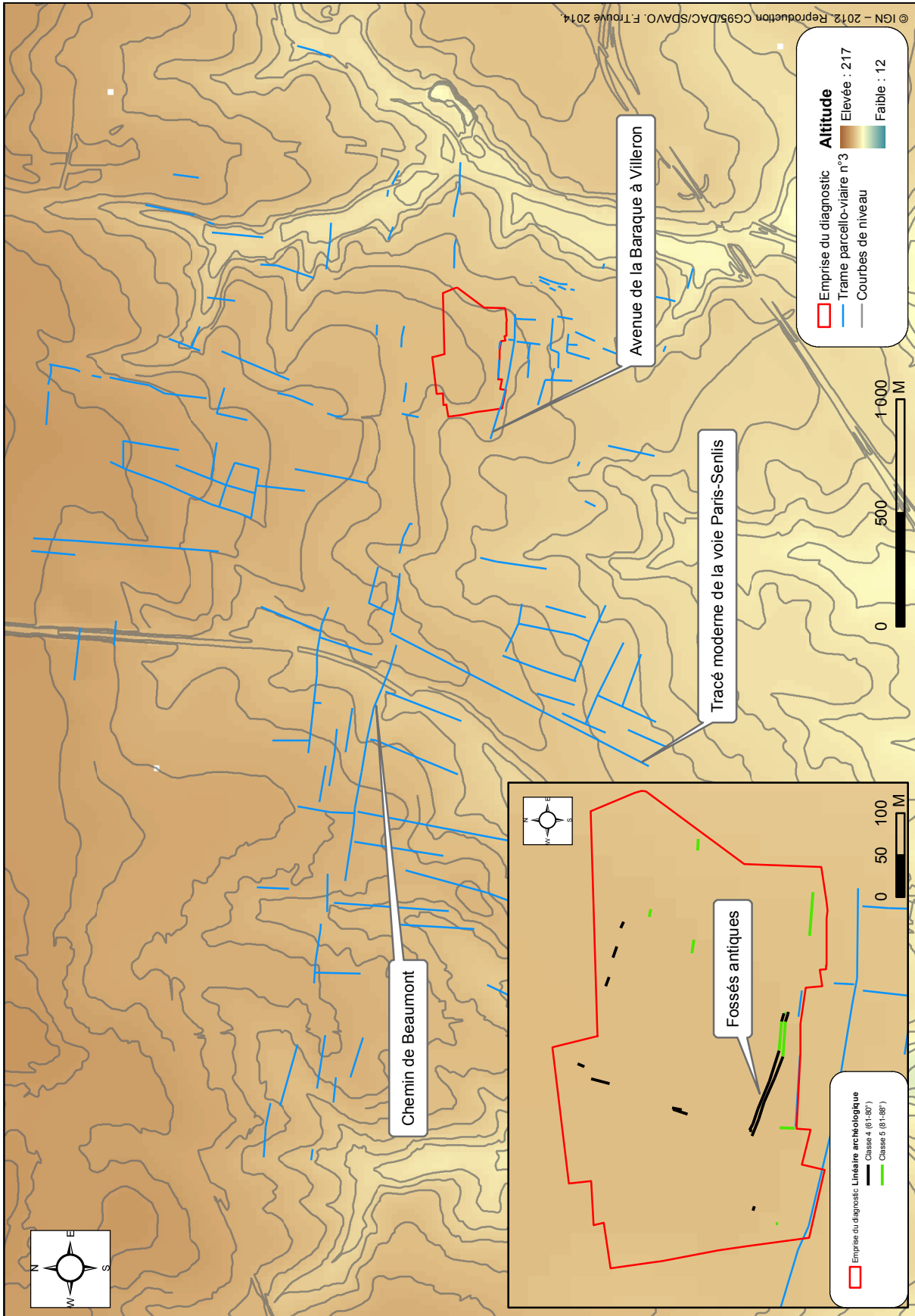


Fig. 104 : Trame spatiale n°3 et structures archéologiques associées
(DAO : F. Trouvé, SDAVO)

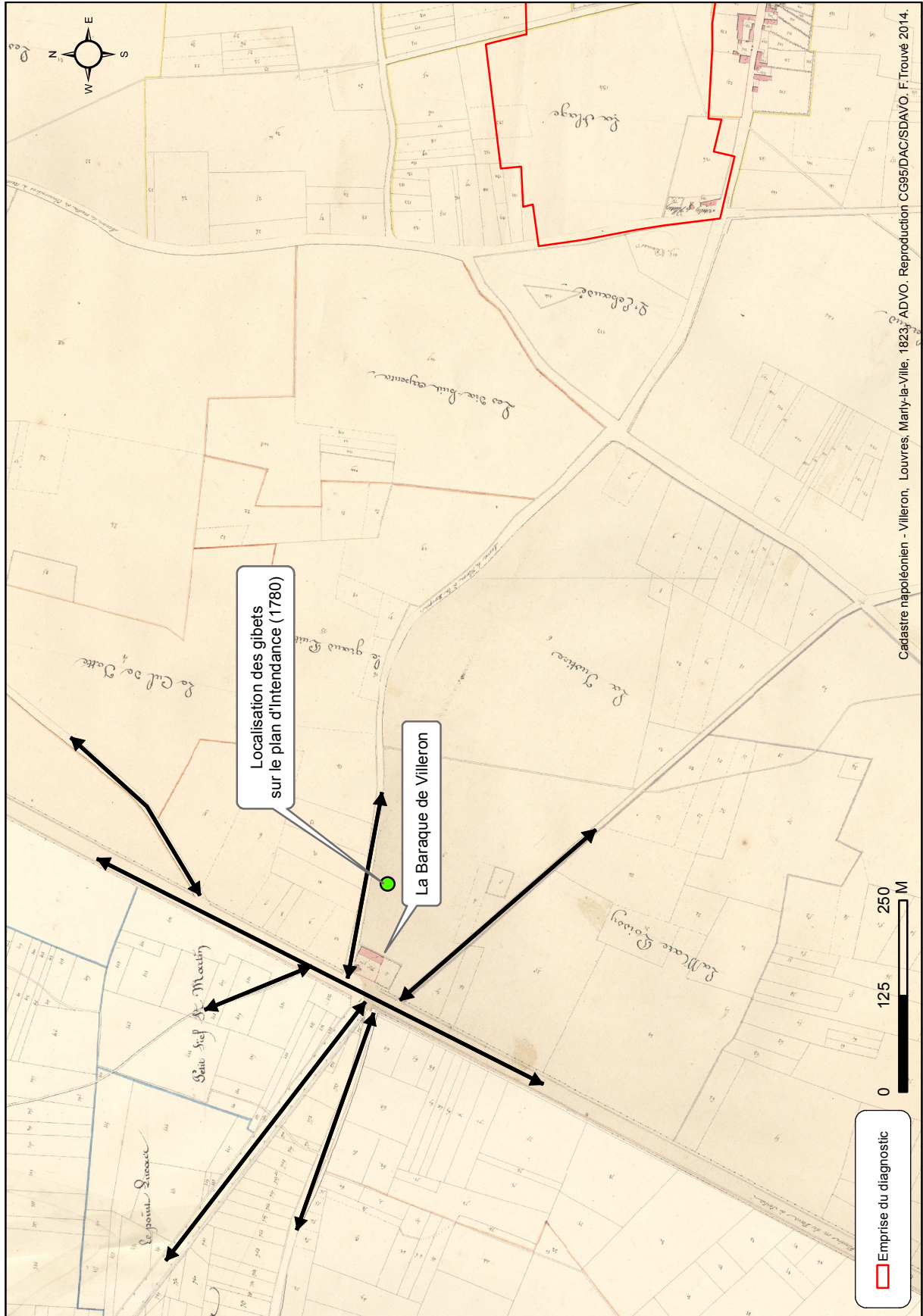


Fig. 105 : Carrefour remarquable de la Baraque de Villeron (DAO : F. Trouvé, SDAVO)

avant trois types d'organisation spatiale. Deux d'entre elles ont pu être rapprochées de périodes chronologiques par isoclinie avec des structures datées. Cette vision du territoire est à replacer dans un contexte plus large et à confronter avec les données d'opérations proches.

Un territoire fréquemment occupé au fil du temps (J.-G. Pariat)

Malgré l'existence d'horizons géologiques antérieurs à -12 000 BP, la Préhistoire ancienne n'est représentée par aucun vestige.

La présence de pièces isolées (céramique, silex) renvoyant au Néolithique et aux âges des Métaux, dans un secteur du terrain, atteste d'une fréquentation humaine à cette période sans pour autant témoigner d'une occupation dense et structurée.

La découverte d'un système d'enclos fossoyés daté du Haut-Empire constitue l'un des résultats majeur de cette opération. Les investigations menées suggèrent une occupation centrée sur les deux premiers siècles de notre ère. Cependant, la nature exacte de cette implantation demeure impossible à caractériser, tant les données archéologiques renvoient à des sphères différentes (domestique, funéraire, arpentage ?).

L'époque médiévale est caractérisée par un chemin creux dont les états les plus anciens renvoient au Second Moyen Âge et les plus récents à l'époque moderne. Cet axe de circulation s'est avéré particulièrement bien conservé.

Enfin, les vestiges modernes les plus remarquables correspondent à un moulin et ses structures annexes, que les sources historiques avaient en partie documentés avant l'opération. Le diagnostic a non seulement confirmé son existence, mais a permis également d'en apprécier l'état de conservation et le potentiel informatif propre à alimenter les recherches sur la meunerie médiévale et moderne dans l'ouest francilien, les moulins constituant des vestiges archéologiques encore trop rarement abordés

par la fouille.

Ce diagnostic enrichit donc considérablement notre connaissance des implantations humaines principalement historiques sur une commune au passé jusqu'alors encore largement méconnu.

Bibliographie

- Adam, Dagnot 2011** : ADAM (S.), DAGNOT (J.-P.) – *Le moulin à vent du Plessis-Pâté*, [Ressource électronique consultée en janvier 2014 : <http://vieux-marcoussis.pagesperso-orange.fr/Chroniques/pate3.htm>]
- Antoine et al. 2003** : ANTOINE (P.), AUGUSTE (P.), BAHAIN (J.-J.), COUDRET (P.), DEPAEPE (P.), FAGNART (J.-P.), FALGUERES (C.), FONTUGNE (M.), FRECHEN (M.), HATTE (C.), LAMOTTE (A.), LAURENT (M.), LIMONDIN-LOZOUET (N.), LOCHT (J.-L.), MERCIER (N.), MOIGNE (A.-M.), MUNAUT (A.-V.), PONEL (P.), ROUSSEAU (D.-D.) - Paléoenvironnements pleistocènes et peuplements paléolithiques dans le bassin de la Somme (nord de la France). *Bulletin de la Société Préhistorique Française*, tome 100, fasc. 1, 2003, p. 5-28.
- Bourgeois 1984** : BOURGEOIS (L.) – Espaces et rites de la mort. In : Association des conservateurs des musées d'Île-de-France. – *Gallo-romains en Île-de-France*. Paris : ACMIDF, 1984, p. 290-312.
- Bruley-Chabot 2005** : BRULEY-CHABOT (G.) – *Bonneuil-en-France, Garges-les-Gonnesse, Déviation RD 84, section BIP - RD 125 (Val-d'Oise, Ile-de-France) : Rapport de diagnostic archéologique du 5 juillet au 19 août 2005*. Saint-Denis : SRAIF ; Pantin : INRAP, 2005.
- Bruley-Chabot 2007** : BRULEY-CHABOT (G.). - *Villeron «Parc Bauché» (Val-d'Oise) : rapport de diagnostic archéologique, du 27 au 29 juin 2007 : rapport de diagnostic archéologique du 27 au 29 juin 2007*. Saint-Denis : SRAIF ; Pantin : INRAP, 2007. 29 p.
- Brunet et al. 2009** : BRUNET (P.), ROUPPERT (V.), KUBIAK (T.), MAZIERE (T.), IRRIBARRIA (R.), PUCHEU-LASHORES (C.), de KEPPEL (A.-G.), SAMUELIAN (N.), BRUNET (V.), GOSELIN (R.), LANCHON (Y.), LEFEVRE (A.), LORQUET (P.), PISSOT (V.), RENEL (F.), THOMAS (N.), WUSCHER (P.) - *Charny « La pièce de Choisy », « Le diable aux Forts », Fresnes-sur-Marnes « Les Vieilles Fourches » : Rapport de diagnostic archéologique*. Saint-Denis : Inrap, SRAIF, 2009. 99 p., 90 fig., annexes.
- Bucquet-Marcon et al. 2009** : BUQUET-MARCON (C.), PECQUEUR (L.), DETANTE (M.) – Parés d'habits invisibles. In : BIZOT (B.) ; SIGNOLI (M.). - *Rencontre autour des sépultures habillées : Actes des journées d'étude du Groupement d'anthropologie et d'archéologie funéraire et du Service régional d'archéologie de Provence-Alpes-Côte d'Azur, Carry-le-Rouet [Bouches du Rhône], 13-14 décembre 2008*. S.l. : Editions des Hautes-Alpes, 2009, p. 65-75.
- Charlier 2008** : CHARLIER (P.) – *Les lésions de stress et carencielles : Analyse critique et réévaluation*. In : CHARLIER (P.) dir. – *Ostéoarchéologie et techniques médico-légales, tendances et perspectives : Pour un « Manuel pratique de paléopathologie humaine »*. Paris : De Boccard, 2008. (Pathographie ;2)
- Coutant 1990** : COUTANT (Y.) - *Lexique et technique du moulin à vent destiné à la mouture du blé d'après les comptes flamands des XIV^e et XV^e siècle, thèse de doctorat*, Université de Lille III, 1990, 2 vol.
- Damour, Seng 2005** : DAMOUR (V.), SENG (C.). - *Roissy-en-France (Val d'Oise) : ZAC du Moulin, La Vignolle : rapport final d'opération, du 2 octobre 2005 au 10 février 2006*. Saint-Denis : SRAIF ; Paris : INRAP, 2009. 441 p.
- Diderot 1772** : DIDEROT et D'ALEMBERT - *Encyclopédie ou dictionnaire des sciences, des arts et des métiers 1751-1772* [ressource électronique consultée en janvier 2014 : <http://portail.atilf.fr/encyclopedie/index.htm>]
- Duchaufour 2001** : DUCHAUFOR (P.) - Introduction à la science du sol : sol, végétation, environnement. In : *Abrégé de pédologie*. Paris : Dunod, 2001. 331 p. 6^e édition.

Dufour, Bauchet 2013 : DUFOUR (J.-Y.), BAUCHET (O.) – *Le moulin et la maison du meunier de Roissy-en-France*. Eysines : Korus édition, 2013. 250 p. (Collection Monde des Moulins).

Dufour, Hurard 2008 : DUFOUR (J.-Y.), HURARD (S.) - Premières contributions archéologiques à la connaissance de l'habitat paysan francilien : fin du Moyen Âge-début du XXe siècle, In : TROCHET (J.-R.) dir. - *Maisons paysannes en Europe occidentale (XVe - XXIe siècle), actes du colloque international de géographie tenu à Paris en 2006*, Presses de l'Université de Paris-Sorbonne, 2008, p. 215-229.

Gaultier et al. 2009 : GAULTIER (M.), GUILLON (M.), CORDE (D.), TREBUCHET (E.) – *Les chaussures dans les sépultures antiques : dépôts et habillement*. In : BIZOT (B.) ; SIGNOLI (M.). - *Rencontre autour des sépultures habillées : Actes des journées d'étude du Groupement d'anthropologie et d'archéologie funéraire et du Service régional d'archéologie de Provence-Alpes-Côte d'Azur, Carry-le-Rouet [Bouches du Rhône], 13-14 décembre 2008*. S.I. : Editions des Hautes-Alpes, 2009, p.76-93.

Goncalves-Buissart 2006 : GONCALVES-BUISSART (C.) – *Tremblay-en-France, route départementale 40, 93073, Seine-Saint-Denis : Rapport préliminaire de fouille archéologique*. Bobigny : Conseil général de Seine-Saint-Denis, Bureau du Patrimoine, DRAC Île-de-France, SRA, 2006.

Guadagnin 1990 : GUADAGNIN (R.). - La grange de Vaulerent : une exploitation cistercienne en Plaine-de-France. *Vivre en Val-d'Oise*, 3, 1990, p. 17-25.

Guinchard Panseri 2000 : GUINCHARD PANSERI (P.) dir., MAZIERE (Th.), MARET (Ch.) – *Mauregard, La Croix des trois ormes (Seine-et-Marne) : Document final de synthèse*. Pairs : Afan, Saint-Denis : SRAIF, 2000, 3 vol.

Horber 2007 : HORBER (L.) – *Les sépultures gallo-romaines dans le Val d'Oise : mémoire de maîtrise*. Cergy-Pontoise : Universités de Cergy-Pontoise, 2007.

Jamet 2011 : JAMET (G.) - *La séquence loessique d'Havrincourt (Pas-de-Calais) : Approche analytique d'un enregistrement pédosédimentaire du dernier cycle climatique interglaciaire-glaciaire : Mémoire de Master 2 en géologie*. Dijon : Université de Bourgogne, 2011. 65 p.

Langhor 2001 : LANGOHR (R.) - L'anthropisation du paysage pédologique agricole de la Belgique depuis le Néolithique ancien : Apports de l'archéopédologie. *Étude et Gestion des Sols*, vol. 8, fasc. 2, 2001. p. 103-118.

Lautridou 1985 : LAUTRIDOU (J.-P.)- *Le cycle périglaciaire Pleistocène en Europe du Nord-Ouest et plus particulièrement en Normandie : Thèse de Doctorat d'État*. Caen : Université de Caen, 1985. 908 p.

Lawrence-Dubovac 2007 : LAWRENCE-DUBOVAC (P.) – *Saint-Nom-La-Bretèche, Le Buisson Saint-Jean (78) : Rapport de fouille du 22.11.2005 ai 20.12.2005*. Paris : INRAP, SRAIF, 2007.

Lebeuf 1755 : LEBEUF (Abbé) – *Histoire du diocèse de Paris*, tome V. Paris : Prault Père, 1755. 172 p.

Lebret, Halbout 1991 : LEBRET (P.), HALBOUT (H.) - Le quaternaire dans le Val d'Oise. *Bulletin du Centre de géomorphologie de Caen*, n°39-40, 1991, 267 p.

Lebrun 2009 : LEBRUN (A.) – *Bilan des recherches sur les sépultures gallo-romaines de la nécropole I du Buisson-Saint-Jean, Epiais-Rhus (Val d'Oise) : mémoire de master 1*. Paris : Université Paris I Panthéon-Sorbonne, 2009.

Lebrun 2010 : LEBRUN (A.) – Les dépôts de sandales dans les inhumations en Gaule romaine : l'exemple du site d'Épias-Rhus (Val d'Oise). *Revue archéologique du Vexin français et du Val d'Oise*, n° 42, 2010, p.19-26.

Lecomte-Schmitt, Le Forestier 2012 : LECOMTE-SCHMITT (B.), LE FORESTIER (C.) – Aménagements funéraires en bois des périodes gauloise et gallo-romaine à Bonneuil-en-France (Val d'Oise). In : CARRÉ (F.), HENION (F.) (dir.) – *Le bois dans l'architecture et l'aménagement de la tombe : quelles approches ? : actes de la table ronde d'Auxerre 15-17 octobre 2009*. Saint-Germain-en-Laye : Association française d'archéologie mérovingienne, 2012 (mémoires publiés par l'AFAM ; 23).

Locht 2002 : LOCHT (J.-L.) - *Bettencourt-Saint-Ouen (Somme) : cinq occupations paléolithiques au début de la dernière glaciation*. Paris : Editions de la Maison des Sciences de l'Homme, 2002. 167 p. (DAF ; 90).

Locht et al. 2003 : LOCHT (J.-L.), ANTOINE (P.), BAHAIN (J.-J.), DWRILA (G.), RAYMOND (P.), LIMONDIN-LOZOUET (N.), GAUTHIER (A.), DEBENHAM (N.), FRECHEN (M.), ROUSSEAU (D.-D.), HATTE (C.), HAESARTS (P.), METSDAGH (H.) - Le gisement paléolithique moyen et les séquences pléistocènes de Villiers-Adam (Val-d'Oise) : Chronostratigraphie, environnement et implantations humaines. *Gallia Préhistoire*, 45, 2003, 1-111.

Lozet, Matthieu 2002 : LOZET (J.), MATHIEU (C.) - *Dictionnaire de Science du Sol*. Paris : Editions Techniques & Documentation, 2002. 575 p.

Moine et al. 2011 : MOINE (O.), ANTOINE (P.), DESCHODT (L.), SELLIER-SEGARD (N.) - Enregistrements malacologiques à haute résolution dans les loëss et les gleys de toundra du Pléniglaciaire weichselien supérieur : premiers exemples du Nord de la France. *Quaternaire*, vol. 22, n° 4, 2011, p. 307-325.

Moorrees et al. 1963 : MOORREES (C. F.), FANNING (E. A.), HUNT, (Jr E. E.) – *Age Variation of Formation Stages for Ten Permanent Teeth*, *Journal of Dental Research*, vol. 2, n°6, 1963.

Murail 1996 : MURAIL (P.) – *Biologie et pratiques funéraires des populations historiques : une démarche méthodologique appliquée à la nécropole gallo-romaine de Chatambre (Essonne – France) : thèse de doctorat*. Bordeaux : Université Bordeaux I, 1996.

Paccard 1998 : PACCARD (N.) dir. – *Ferrières-en-Brie (Seine-et-Marne), ZAC des Hautes de Ferrières (5^e tranche) : document final de synthèse, secteur III de Marne-la-Vallée*. Paris : Afan ; Saint-Denis : SRAIF, 1998.

Pimpaud et al. 2013 : PIMPAUD (N.), BRUNET (V.), LAUREY (A.) – *Cormeilles-en-Parisis (95), ZAC Les Bois Rochefort : rapport final d'opération archéologique du 31-01-2011 au 20-05-2011*. La Courneuve : Evéha ; Paris : SRA Ile-de-France, 2013. 3 vol.

Pissot et al. 2014 : PISSOT (V.), BRUANT (J.), COTTÉ (O.), DESRAYAUD (G.), GAUTIER (S.), HÉNON (B.), HUGONNIER (L.) – Vestiges de bornage antique en Île-de-France et en Picardie : La question des dépôts de vases dans les fossés. *Archéopages*, n° 36, 2014, p. 58-69.

Poisson 1999 : POISSON (G.) dir. - *Dictionnaire des monuments d'Île-de-France*. Paris : Éditions Hervas, 1999.

Robert, Verdier 2011 : ROBERT (S.), VERDIER (N.) – *Dynamique et résilience des réseaux routiers et parcellaires en région Île-de-France : Rapport de projet collectif de recherche, année 2011*. Saint-Denis : SRAIF, 2011.

Roque 2003 : ROQUE (J.) - *Référentiel régional pédologique de l'Île-de-France à 1/250000*, Orléans : Inra, 2003. 244 p.

- Rosenberger 2005** : ROSENBERGER (F.) – *Ennery (Val d'Oise), Parc d'Activités Intercommunale : rapport de diagnostic archéologique*. Paris : INRAP, SRAIF, 2005. 20 p. ; 29 pl. h.t.
- Soriano 2013** : SORIANO (S.) - L'impact des facteurs taphonomiques sur la connaissance du Paléolithique supérieur ancien du Bassin-Parisien. In : BODU (P.), CHEMANA (L.), KLARIC (L.), MEVEL (L.), SORIANO (S.) et TEYSSANDIER (N.), *Le Paléolithique supérieur ancien de l'Europe du Nord-Ouest, réflexions et synthèses à partir d'un projet collectif de recherche sur le centre et le sud du Bassin parisien, Actes du colloque de Sens (15-18 avril 2009)*. Paris : Société Préhistorique Française, 2013. p. 21-35 (mémoire ; 56).
- Soyer, Labourguigne 1971** : SOYER (R.), LABOURGUIGNE (J.) - *Carte géologique de la France au 1/50000, Dammartin-en-Goële*, feuille XXIV-13. Orléans : BRGM, 1971. 26 p.
- Treffort 1996** : TREFFORT (C.) – Quelques remarques sur l'iconographie du linceul au Haut Moyen Âge. In : BONNABEL (L.), CARRÉ (F.)(dir.) – *Rencontre autour du linceul : compte rendu de la journée d'étude organisée par le GAAFIF et le SRA de Haute-Normandie (Paris, le 5 avril 1996)*. Paris : GAAFIF, 1996.
- Trotter, Gleser 1952** : TROTTER (M.), GLESER (G. C.) – Estimation of stature from long bones of American Whites and Negros. *American Journal Physical Anthropology*, 10, 1952.
- Van Vliet-Lanoe et al. 1992** : VAN VLIET-LANOE (B.), FAGNART (J.-P.), LANGOHR (R.), MUNAUT (A.) - Evolution écopédologique et morphopédologique du sol lessivé de surface dans les lœss d'Europe occidentale : argumentation stratigraphique et archéologique. *Science du Sol*, vol. 30, n° 2, 1992, p. 75-93.
- Wabont et al. 2006** : WABONT (M.), ABERT (F.), VERMEERSCH (D.). - *Val-d'Oise, 95*. Paris : Académie des Inscriptions et Belles-Lettres, 2006. (Carte archéologique de la Gaule ; 95).
- Waro 2000** : WARO (F.) – A la recherche des moulins à vent (II). *Vivre en Val-d'Oise*, 64, 2000, p. 32-37
- Hubert 2013** : HUBERT (A.). - *Sous les meules, le grain : nourrir la ville de l'antiquité à nos jours : exposition du 13 avril 2013 au 19 janvier 2014, musées Archéa. Louvres* : ARCHEA, 2013, p.103-117.
- Wuscher 2013** : WUSCHER (P.) - *Le Thillay, « les Grands Champs », Ile-de-France, Val-d'Oise (95) : rapport de diagnostic archéologique*. Paris : INRAP, SRAIF, 2013. 123 p.
- Wuscher et al. 2012** : WUSCHER (P.), BLASER (R.), CAMMAS (C.), DURAND (J.), GLISONI (S.), SARON (E.), PASTRE (J.-F.). - Des plateaux, des limons et des hommes : état des connaissances et questions sur les sols et l'érosion tardiglaciaires et holocènes en Île-de-France. *Revue Archéologique d'Île-de-France*, 5, 2012, p. 5-28.
- Wuscher ; Blaser 2013** : WUSCHER (P.), BLASER (F.) - Des plateaux, des limons et des hommes : Bilan d'étape. In : SOUFFI (B.), BLASER (F.) et VALENTIN (B.). - *Recherches archéologiques préventives dans le Bassin Parisien du Pléistocène à l'Holocène : chronologie, caractérisation culturelle et fonctionnement des sites : rapport de projet d'activité scientifique*. Paris : INRAP, 2013, p. 59-82.

Liste des figures

1 : Localisation géographique de l'emprise (mise en forme DAO : J.-G. Pariat, SDAVO)	13
2 : Contexte topographique (mise en forme DAO : F. Trouvé, SDAVO)	14
3 : Localisation des sondages profonds dans l'emprise du diagnostic (Topographie et DAO : J.-G. Pariat, SDAVO)	16
4 : Profils des six sondages profonds réalisés selon un axe nord-ouest / sud-est (DAO : J.-G. Pariat, SDAVO)	17
5 : Profils des trois sondages profonds réalisés selon un axe nord-est / sud-ouest (DAO : P. Wuscher, INRAP)	18
6 : Profil du sondage 10 (DAO : J.-G. Pariat, SDAVO)	19
7 : Vue générale du sondage 2 de la Tranchée 7 (Cliché : P. Wuscher, INRAP)	19
8 : Détail du haut du sondage 2 de la Tranchée de la tranchée 7 avec les deux gleys de toundra (Cliché : P. Wuscher, INRAP)	20
9 : Sondage 7, vue d'un des terriers des unités 10 et 11 (Cliché : P. Wuscher, INRAP)	20
10 : Sondage 7, vue des prélèvements pour datations OSL et analyses sédimentologiques Noter le gley au sommet de la coupe (Cliché : P. Wuscher, INRAP)	21
11 : La chapelle et le cimetière Saint-Germain sur les plans anciens (DAO : F. Trouvé, SDAVO)	22
12 : Environnement archéologique dans un rayon de 1 km autour du diagnostic (DAO : J.-G. Pariat, SDAVO)	24
13 : Emplacement potentiel du cimetière de Saint-Germain (DAO : F. Trouvé, SDAVO)	25
14 : Plan masse phasé des occupations mises en évidence (Topographie et DAO : J.-G. Pariat, SDAVO)	27
15 : Éclat en silex secondaire issu de la fosse 57 (Cliché : M. Decofour, SDAVO)	28
16 : Plan de l'occupation antique (Topographie et DAO : J.-G. Pariat, SDAVO)	29
17 : Plan et coupes du fossé Fo95 (Dessin : P. Carvalho, DAO : M. Decofour, SDAVO)	31
18 : Plan et coupe du fossé Fo65 (Dessin : J.-G. Pariat, DAO : M. Decofour, SDAVO)	30
19 : Vue générale de quatre récipients en céramique découverts dans le sondage 1 du fossé 65 (Cliché : M. Decofour, SDAVO)	32
20 : Vase nord-ouest issu du sondage 1 du fossé 65 (Cliché : C. Touquet Laporte-Cassagne, Dessin : M. Decofour, SDAVO)	33
21 : Vase nord-est issu du sondage 1 du fossé 65 (Dessin : M. Decofour, SDAVO)	33
22 : Détail des vases nord-est et sud-est issu du sondage 1 du fossé 65 (Cliché : M. Decofour, SDAVO)	33
23 : Plan et coupe du fossé Fo75 (Dessin et DAO : M. Decofour, SDAVO)	35
24 : Plan et détail du vase issu du fossé Fo75, tranchée 13 (Dessin et cliché : J.-G. Pariat, DAO : M. Decofour)	36
25 : Vase écrasé en place retrouvé en surface du fossé 75, tranchée 13 (Dessin : M. Decofour, SDAVO)	34
26 : Plan et coupe du fossé Fo96 (Dessin et DAO : M. Decofour)	37
27 : Plan et coupe de la fosse F133 (Dessin : P. Carvalho, DAO : M. Decofour, SDAVO)	38
28 : Profils longitudinal et transversal et coupe nord-est / sud-ouest de la fosse S94 (Dessin : M. Decofour, SDAVO, DAO : L. Cosialls, Université de Paris 1)	39
29 : Vue verticale de la sépulture S94 (Cliché : M. Decofour, SDAVO)	39
30 : Gobelet et cruche présents dans la sépulture S94 (Haut Empire, seconde moitié du II ^e s. ap. J.-C., Cliché : C. Touquet Laporte-Cassagne, SDAVO)	40
31 : Inventaire des pièces métalliques de la tombe 94 (A. Lefeuvre, SDAVO)	41
32 : Emplacements des pièces métalliques avant apparition du squelette et sur le fond de fosse (Dessin : M. Decofour, SDAVO, DAO : L. Cosialls, Université de Paris 1)	42

33 : Clou retrouvé au niveau de l'épaule gauche (Radiographie : Centre Hospitalier René Dubos, Pontoise)	43
34 : Les clous de chaussure retrouvés au niveau du genou gauche (Radiographie : Centre Hospitalier René Dubos, Pontoise)	43
35 : Aire de répartition des clous de chaussures (Cliché : M. Decofour, SDAVO)	44
36 : Estimation de la stature d'après les longueurs diaphysaires (M. Decofour, SDAVO)	44
37 : Anomalies dentaires (Clichés : M. Decofour, SDAVO)	45
38 : Usure dentaire sur les dents 3.1 et 3.2 (vue linguale, clichés : M. Decofour, SDAVO)	45
39 : Pathologie de l'insertion du muscle deltoïde sur les humérus (Clichés : M. Decofour, SDAVO)	45
40 : Fiche de conservation des ossements faite sur le terrain (Mise en forme DAO : M. Decofour, SDAVO)	47
41 : Négatifs des vertèbres (Cliché : M. Decofour, SDAVO)	46
42 : Fiche de conservation des ossements faite après le lavage (Mise en forme DAO : M. Decofour, SDAVO)	48
43 : Plan de la sépulture S94 (DAO : L. Cosialls, Université de Paris 1)	49
44 : Effets de parois sur le squelette traduisant la présence d'un contenant périssable (Cliché : M. Decofour, SDAVO)	51
45 : Effets de compression sur les côtes traduisant la présence d'un vêtement à manches (Cliché : M. Decofour, SDAVO)	52
46 : Cruche posée contre le genou gauche (Cliché : M. Decofour, SDAVO)	53
47 : Gobelet posé sur le coude droit (Cliché : M. Decofour, SDAVO)	53
48 : Clous de chaussure (Cliché : M. Decofour, SDAVO)	53
49 : Plan et coupe du fossé Fo135 (Dessin : P. Carvalho, DAO : M. Decofour, SDAVO)	56
50 : Plan et coupe du fossé Fo99 (Dessin : P. Carvalho, DAO : M. Decofour, SDAVO)	57
51 : Plan et coupe du fossé Fo102 (Dessin : J.-G. Pariat, DAO : M. Decofour, SDAVO)	58
52 : Plan et coupe du fossé Fo111 (Dessin : J.-G. Pariat, DAO : M. Decofour, SDAVO)	60
53 : Plan et coupe de la fosse F100 (Dessin : M. Decofour, SDAVO ; DAO : L. Cosialls, Université Paris 1)	61
54 : Fragment de bord issu de la fosse 100 (Dessin et DAO : M. Decofour, SDAVO)	59
55 : Détail des restes animaux en connexion à 1,25 m de profondeur, fosse 100 (Cliché : M. Decofour, SDAVO)	59
56 : Coupe de l'avenue Saint-Germain (T12, V81, Cliché : M. Decofour, SDAVO)	65
57 : Coupe de la voie V81 (Dessin : P. Carvalho, DAO : M. Decofour, SDAVO)	65
58 : Vue de détail du fossé bordier recelant un dépôt de bouteilles en verre (US40, Cliché : M. Decofour, SDAVO)	63
59 : Inventaire du mobilier issu du sondage pratiqué sur la voie V81 (J.-G. Pariat, SDAVO)	66
60 : Le moulin sur les documents anciens (DAO : P. Carvalho, SDAVO)	67
61 : Le moulin, le bâtiment et le parcellaire sur le cadastre napoléonien (DAO : J.-G. Pariat, SDAVO)	68
62 : Plan de l'occupation moderne (Topographie et DAO : J.-G. Pariat, SDAVO)	69
63 : Plan général des fondations du moulin (Cliché et DAO : M. Decofour, SDAVO)	70
64 : Coupes du moulin et de la structure 131 (Clichés : M. Decofour, DAO : P. Carvalho, SDAVO)	71
65 : Plans de quelques moulins franciliens évoqués dans le texte	73
66 : Plan des fondations de bâtiments annexes du moulin (DAO : M. Decofour, SDAVO)	75
67 : Les structures 136.2 et 136.3 (Clichés : P. Carvalho, SDAVO)	76
68 : Traces de découpe observé sur une corne (Cliché : M. Decofour, SDAVO)	77
69 : Coupe AB de la structure 126.1 (Dessin et DAO : P. Carvalho, SDAVO)	77

70 : Coupe BC de la structure 126.1 (Dessin et DAO : P. Carvalho, SDAVO)	78
71 : Coupe CD de la structure 126.1 (Dessin et DAO : P. Carvalho, SDAVO)	79
72 : Profil du tesson en grès jaune du Beauvaisis (Dessin et DAO : M. Decofour, SDAVO)	80
73 : Plan et coupe de la fosse F128 (Dessin : J.-G. Pariat, DAO : M. Decofour, SDAVO)	81
74 : Détail d'un élément architectural issu de la fosse F128 (Cliché : C. Touquet Laporte-Cassagne, SDAVO)	80
75 : Plan et coupe du fossé Fo106 (Dessin : P. Carvalho, DAO : M. Decofour, SDAVO)	82
76 : Plan et coupe du fossé Fo129 (Dessin : J.-G. Pariat, DAO : M. Decofour, SDAVO)	83
77 : Plan et coupe du fossé Fo146 (Dessin : J.-G. Pariat, DAO : M. Decofour, SDAVO)	85
78 : Plan et coupe de la fosse F2 (Dessin : J.-G. Pariat, DAO : M. Decofour, SDAVO)	86
79 : Plan et coupe de la fosse F46 (Cliché : J.-G. Pariat, DAO : M. Decofour, SDAVO)	87
80 : Plan de la fosse F112 (Dessin et DAO : M. Decofour, SDAVO)	88
81 : Localisation des jardins et plantations. Correspondance avec les structures archéologiques (DAO : F. Trouvé, SDAVO)	89
82 : Plan et coupe du tronçon de fossé Fo36 (Dessin : J.-G. Pariat, DAO : M. Decofour, SDAVO)	91
83 : Vue oblique du segment de fossé Fo69 en cours de fouille (Cliché : J.-G. Pariat, SDAVO)	90
84 : Plan et coupe de la fosse F16 (Dessin et DAO : M. Decofour, SDAVO)	93
85 : Plan et coupe du segment de fossé Fo19 (Dessin : P. Carvalho, DAO : M. Decofour, SDAVO)	94
86 : Plan et coupe des segments de fossé Fo20 et Fo144 (Dessin : P. Carvalho, DAO : M. Decofour, SDAVO)	95
87 : Vue oblique des segments de fossé Fo20 et Fo144 (Cliché : P. Carvalho, SDAVO)	96
88 : Plan et coupe de la structure St51 (Dessin et DAO : M. Decofour, SDAVO)	97
89 : Coupe du fossé Fo132 (Cliché : M. Decofour, SDAVO)	98
90 : Plan et coupe du fossé Fo24 (Dessin : J.-G. Pariat, DAO : M. Decofour, SDAVO)	99
91 : Plan et coupe du fossé Fo53 (Dessin et DAO : M. Decofour, SDAVO)	100
92 : Plan et coupe du fossé Fo54 (Dessin et DAO : M. Decofour, SDAVO)	101
93 : Plan et coupe du fossé Fo78 (Dessin et DAO : M. Decofour, SDAVO)	102
94 : Plan et coupe du fossé Fo92 (Dessin : P. Carvalho, DAO : M. Decofour, SDAVO)	103
95 : Plan et coupe du fossé Fo101 (Dessin : J.-G. Pariat, DAO : M. Decofour, SDAVO)	104
96 : Plan et coupe du fossé Fo116 (Dessin : J.-G. Pariat, DAO : M. Decofour, SDAVO)	105
97 : Plan et coupe de la fosse F25 (Dessin : J.-G. Pariat, DAO : M. Decofour, SDAVO)	106
98 : Plan et coupe de la fosse F57 (Dessin et DAO : M. Decofour, SDAVO)	107
99 : Plan et coupe de la fosse F143 (Dessin et DAO : M. Decofour, SDAVO)	108
100 : Plan et coupe de la fosse F82 (Dessin : P. Carvalho, DAO : M. Decofour, SDAVO)	109
101 : Plan et coupe de la fosse F115 (Dessin et DAO : M. Decofour, SDAVO)	110
102 : Trame spatiale n°1 et structures archéologiques associées (DAO : F. Trouvé, SDAVO)	112
103 : Trame spatiale n°2 et structures archéologiques associées (DAO : F. Trouvé, SDAVO)	113
104 : Trame spatiale n°3 et structures archéologiques associées (DAO : F. Trouvé, SDAVO)	114
105 : Carrefour remarquable de la <i>Baraque</i> de Villeron (DAO : F. Trouvé, SDAVO)	115

Annexe 1

Inventaire des structures

Inventaire des structures

n° Tr. n° St.	Type de St.	Description	Long.	Larg.	Dia.	Prof.	Attribution	Fouille	Plan	Coupe	n°	Photo
1 1	Fosse	Forme en plan : carrée (une moitié se trouve dans la berme). Comblement : limon argilo-sableux brun gris clair, peu compact. Interprétation : fosse de plantation. Encaissant : limon argilo-sableux brun orangé compact. Niveau d'apparition sous la surface : 0,70 m.	1,05				moderne	non fouillé	<input type="checkbox"/>	<input type="checkbox"/>	0	<input type="checkbox"/>
1 2	Fosse	Forme en plan : carrée. Forme en coupe : parois subverticales, fond plat. Comblement : limon argilo-sableux gris clair moucheté orange, meuble. Nombreux terriers. Mobilier retrouvé à mi-hauteur du comblement. Interprétation : fosse de plantation. Encaissant : limon argilo-sableux brun orangé compact. Niveau d'apparition sous la surface : 0,70 m.	1,40			0,20	moderne	manuelle	<input checked="" type="checkbox"/>	<input checked="" type="checkbox"/>	50	<input checked="" type="checkbox"/>
1 3	Fosse	Forme en plan : carrée. Comblement : limon argileux brun gris clair, compact. Rare cailloutis. Interprétation : fosse de plantation. Encaissant : limon argilo-sableux brun orangé compact. Niveau d'apparition sous la surface : 0,70 m.	1,40				moderne	non fouillé	<input type="checkbox"/>	<input type="checkbox"/>	0	<input checked="" type="checkbox"/>
1 4	Fosse	Forme en plan : carrée. Comblement : limon argileux brun gris clair matbré de limon argileux brun foncé, compact. Mobilier en surface : métal (non conservé). Interprétation : fosse de plantation. Encaissant : limon argilo-sableux brun orangé compact. Niveau d'apparition sous la surface : 0,60 m.	1,40				moderne	non fouillé	<input type="checkbox"/>	<input type="checkbox"/>	0	<input checked="" type="checkbox"/>
1 5	Fosse	Forme en plan : carrée. Comblement : limon argileux brun gris clair, meuble. Interprétation : fosse de plantation. Encaissant : limon argilo-sableux brun orangé compact. Niveau d'apparition sous la surface : 0,60 m.	1,20				moderne	non fouillé	<input type="checkbox"/>	<input type="checkbox"/>	0	<input checked="" type="checkbox"/>

n° Tr. n° St.	Type de St.	Description	Long.	Larg.	Dia.	Prof.	Attribution	Fouille	Plan	Coupe	n°	Photo
1	6	Fossé Fossé aux parois rectilignes mesurant 60 à 80 cm de large. Orientation : est / ouest. Comblement : limon argileux brun gris clair, compact. Encaissant : limon argilo-sableux brun orangé compact. Niveau d'apparition sous la surface : 0,60 m.					indéterminé	non fouillé	<input type="checkbox"/>	<input type="checkbox"/>	0	<input checked="" type="checkbox"/>
1	7	Indéterminé En plan, les contours de cette structure sont rectilignes. Comblement : limon argileux brun-gris clair, compact. Mobilier apparu en surface. Encaissant : limon argilo-sableux brun orangé compact. Niveau d'apparition sous la surface : 0,55 m.	4,70				indéterminé	non fouillé	<input type="checkbox"/>	<input type="checkbox"/>	0	<input checked="" type="checkbox"/>
2	10	Fosse Forme en plan : carrée (1 partie dans la berme). Comblement : limon argilo-sableux gris clair, peu compact avec rares inclusions calcaire. Une poche de limon argilo-sableux gris foncé avec dense cailloutis calcaire. Interprétation : fosse de plantation. Encaissant : limon argilo-sableux brun orangé compact. Niveau d'apparition sous la surface : 0,60 m.					indéterminé	non fouillé	<input type="checkbox"/>	<input type="checkbox"/>	0	<input checked="" type="checkbox"/>
2	11	Fosse Forme en plan : circulaire (une partie dans la berme). Comblement : limon argilo-sableux brun gris moyen marbré de limon argileux brun foncé, meuble. Interprétation : fosse de plantation. Encaissant : limon argilo-sableux brun orangé compact. Niveau d'apparition sous la surface : 0,70 m.			1,70		moderne	non fouillé	<input type="checkbox"/>	<input type="checkbox"/>	0	<input checked="" type="checkbox"/>
2	12	Fosse Forme en plan : carrée (1 partie dans la berme). Comblement : limon argilo-sableux brun gris clair, peu compact avec racines. Interprétation : fosse de plantation. Encaissant : limon argilo-sableux brun orangé compact. Niveau d'apparition sous la surface : 0,75 m.					moderne	non fouillé	<input type="checkbox"/>	<input type="checkbox"/>	0	<input checked="" type="checkbox"/>
2	13	Fossé Fossé aux parois rectilignes d'orientation est / ouest. Comblement : limon argilo-sableux gris orangé, compact. Encaissant : limon argilo-sableux brun orangé compact. Niveau d'apparition sous la surface : 0,60 m.	0,50				indéterminé	non fouillé	<input type="checkbox"/>	<input type="checkbox"/>	0	<input checked="" type="checkbox"/>

n° Tr. n° St.	Type de St.	Description	Long.	Larg.	Dia.	Prof.	Attribution	Fouille	Plan	Coupe	n°	Photo
2 14	Fossé	Fossé aux parois rectilignes d'orientation est / ouest. Comblement : limon argilo-sableux brun gris foncé à brun moyen, compact. Mobilier apparu en surface. Encaissant : limon argilo-sableux brun orangé compact. Niveau d'apparition sous la surface : 0,60 m.	0,90				indéterminé	non fouillé	<input type="checkbox"/>	<input type="checkbox"/>	0	<input checked="" type="checkbox"/>
2 142	Fossé	Forme en plan : parois rectilignes. Comblement : limon sablo-argileux gris clair peu compact. Encaissant : limon argilo-sableux brun orangé compact. Niveau d'apparition sous la surface : 0,50 m.	3,20	0,70			indéterminé	non fouillé	<input type="checkbox"/>	<input type="checkbox"/>	0	<input type="checkbox"/>
2 15	Indéterminé	Forme en plan : indéterminée. Comblement : limon argilo-sableux brun gris moyen, compact avec inclusions de charbon et calcaire. Encaissant : limon argilo-sableux brun orangé compact. Niveau d'apparition sous la surface : 0,60 m.	6,10				indéterminé	non fouillé	<input type="checkbox"/>	<input type="checkbox"/>	0	<input checked="" type="checkbox"/>
2 16	Fosse	Forme en plan : rectangulaire (1 partie dans la berme). Comblement : limon sableux brun foncé, meuble. Mobilier présent dans toute l'épaisseur du comblement (non conservé). Profil : bords évasés et fond plat. Remplissage : 1- limon argilo-sableux brun gris moyen meuble avec pierres calcaire, TCA, plâtre, ardoise. 2- limon argilo-sableux gris moyen à clair, meuble hétérogène avec inclusions calcaires. 3- limon argilo-sableux brun gris moyen meuble hétérogène moucheté brun ocre. 4- Comme 2- sans inclusions. 5- limon argileux brun ocre ç bleu vert clair, meuble (hydromorphe). Encaissant : limon argilo-sableux brun orangé compact. Niveau d'apparition sous la surface : 0,50 m.	5	1,90	1,04		contemporain	mécanique	<input checked="" type="checkbox"/>	<input checked="" type="checkbox"/>	1	<input checked="" type="checkbox"/>
2 8	Fosse	Forme en plan : rectangulaire. Comblement : limon argileux brun gris clair, compact. Interprétation : fosse de plantation. Encaissant : limon argilo-sableux brun orangé compact. Niveau d'apparition sous la surface : 0,60 m.	1,80	1,40			moderne	non fouillé	<input type="checkbox"/>	<input type="checkbox"/>	0	<input checked="" type="checkbox"/>

n° Tr. n° St.	Type de St.	Description	Long.	Larg.	Dia.	Prof.	Attribution	Fouille	Plan	Coupe	n°	Photo
2	9	Fosse Forme en plan : circulaire (1 partie dans la berme). Comblement : limon sablo-argileux gris foncé, meuble avec inclusions calcaire, TCA et charbon. Métal en surface. Encaissant : limon argilo-sableux brun orangé compact. Niveau d'apparition sous la surface : 0,40 m.	2,30				indéterminé	non fouillé	<input type="checkbox"/>	<input type="checkbox"/>	0	<input checked="" type="checkbox"/>
3	144	Fossé Forme en plan : parois rectilignes. Orientation : est / ouest. Profil : pentes douces, fond arrondi. Comblement : limon sablo-argileux brun gris clair moucheté beige, compact. Quelques pierres calcaires. Coupe ou est recoupé par Fo20. Encaissant : limon argilo-sableux brun orangé compact. Niveau d'apparition sous la surface : 0,50 m.	4,40	0,60	0,20		contemporain	manuelle	<input checked="" type="checkbox"/>	<input checked="" type="checkbox"/>	30	<input checked="" type="checkbox"/>
3	17	Fossé Forme en plan : parois rectilignes. Orientation : est / ouest. Comblement : limon argilo-sableux brun gris moyen, compact avec quelques pierres calcaires. Mobilier en surface. Encaissant : limon argilo-sableux brun orangé compact. Niveau d'apparition sous la surface : 0,70 m.	0,85				indéterminé	non fouillé	<input type="checkbox"/>	<input type="checkbox"/>	0	<input type="checkbox"/>
3	18	Indéterminé Forme en plan : rectangulaire. Comblement : limon argilo-sableux brun gris foncé, compact. Mobilier retrouvé en surface. Encaissant : limon argilo-sableux brun orangé compact. Niveau d'apparition sous la surface : 0,70 m.	2,04	1,34			indéterminé	non fouillé	<input type="checkbox"/>	<input type="checkbox"/>	0	<input type="checkbox"/>
3	19	Fossé Forme en plan : parois rectilignes. Orientation : est / ouest. Comblement en plan : limon sablo-argileux brun gris moyen, compact. Profil : pente douce, fond arrondi. Sondage 1 : Sous le fossé, séquence stratigraphique complexe, au moins cinq comblements différents. Interprétation : remblai de régalaie. Encaissant : limon argilo-sableux brun orangé compact. Niveau d'apparition sous la surface : 0,55 m.	1,10		0,24		contemporain	manuelle	<input checked="" type="checkbox"/>	<input checked="" type="checkbox"/>	45	<input checked="" type="checkbox"/>

n° Tr. n° St.	Type de St.	Description	Long.	Larg.	Dia.	Prof.	Attribution	Fouille	Plan	Coupe	n°	Photo
3	20	Fossé Forme en plan : parois rectilignes. Orientation : nord-ouest / sud-est. Comblement : limon sablo-argileux brun gris clair moucheté beige, peu compact. Quelques pierres calcaires. Profil : parois subverticales et fond plat. Coupe ou est recoupé par Fo144. Encaissant : limon argilo-sableux brun orangé compact. Niveau d'apparition sous la surface : 0,48 m.	3	0,60		0,06	contemporain	manuelle	<input checked="" type="checkbox"/>	<input checked="" type="checkbox"/>	30	<input checked="" type="checkbox"/>
3	21	Fosse Forme en plan : subcirculaire (une partie dans la berme). Comblement : limon argilo-sableux brun clair, meuble. Rares pierres calcaires. Encaissant : limon argilo-sableux brun orangé compact. Niveau d'apparition sous la surface : 0,55 m.			6		indéterminé	mécanique	<input type="checkbox"/>	<input type="checkbox"/>	0	<input type="checkbox"/>
3	22	Fossé Forme en plan : parois rectilignes. Orientation : nord / sud. Comblement : limon argilo-sableux brun gris clair, peu compact, homogène avec rares pierres calcaires et gros blocs calcaires dans berme nord. Encaissant : limon argilo-sableux brun orangé compact. Niveau d'apparition sous la surface : 0,62 m.		1			indéterminé	non fouillé	<input type="checkbox"/>	<input type="checkbox"/>	0	<input type="checkbox"/>
3	23	Indéterminé Forme en plan : oblongue. Comblement : limon argilo-sableux brun clair, meuble avec nombreuses pierres calcaires de 5 à 10 cm de diamètre. Béton en surface. Encaissant : limon argilo-sableux brun orangé compact. Niveau d'apparition sous la surface : 0,62 m.	1,40	1,05			contemporain	mécanique	<input type="checkbox"/>	<input type="checkbox"/>	0	<input type="checkbox"/>
4	24	Fossé Forme en plan : fossé dont la paroi nord est rectiligne, contrairement à la paroi sud. Orientation : est / ouest. Forme en coupe : parois en pente douce et fond plat. Comblement : limon sablo-argileux brun gris moyen, peu compact. Rares pierres calcaires (diamètre inférieur à 5 cm). Encaissant : limon argilo-sableux brun orangé compact. Niveau d'apparition sous la surface : 0,62 m.	7	0,85		0,26	indéterminé	manuelle	<input checked="" type="checkbox"/>	<input checked="" type="checkbox"/>	24	<input checked="" type="checkbox"/>

n° Tr. n° St.	Type de St.	Description	Long.	Larg.	Dia.	Prof.	Attribution	Fouille	Plan	Coupe	n°	Photo
4 25	Fosse	Forme en plan : oblongue. Profil : irrégulier. Comblement : limon sablo-argileux brun gris moyen peu compact, rares inclusions de charbon. Mobilier apparu en surface. Encaissant : limon argilo-sableux brun orangé compact. Niveau d'apparition sous la surface : 0,45 m.	0,78	0,68		0,20	indéterminé	manuelle	<input checked="" type="checkbox"/>	<input checked="" type="checkbox"/>	23	<input checked="" type="checkbox"/>
4 26	Fosse	Forme en plan : subcirculaire. Comblement : limon sablo-argileux brun gris moyen peu compact. Céramique en surface. Encaissant : limon argilo-sableux brun orangé compact. Niveau d'apparition sous la surface : 0,67 m.					indéterminé	non fouillé	<input type="checkbox"/>	<input type="checkbox"/>	0	<input type="checkbox"/>
4 27	Fosse	Forme en plan : carrée (une partie se trouve dans la berme). Comblement : limon sablo-argileux brun gris moyen peu compact. Interprétation : fosse de plantation. Encaissant : limon argilo-sableux brun orangé compact. Niveau d'apparition sous la surface : 0,69 m.					contemporain	non fouillé	<input type="checkbox"/>	<input type="checkbox"/>	0	<input type="checkbox"/>
4 28	Fosse	Comblement : limon argilo-sableux brun gris clair, peu compact. Silex non taillé non prélevé. Encaissant : limon argilo-sableux brun orangé compact. Niveau d'apparition sous la surface : 0,58 m.	1,40	1,20			indéterminé	non fouillé	<input type="checkbox"/>	<input type="checkbox"/>	0	<input type="checkbox"/>
4 29	Trou de poteau	Forme en plan : circulaire. Comblement : limon argilo-sableux brun gris moyen, peu compact. Encaissant : limon argilo-sableux brun orangé compact. Niveau d'apparition sous la surface : 0,50 m.			0,40		indéterminé	non fouillé	<input type="checkbox"/>	<input type="checkbox"/>	0	<input type="checkbox"/>
4 30	Fosse	Forme en plan : rectangulaire. Comblement : limon argilo-sableux brun gris moyen avec rares inclusions calcaires, peu compact. Encaissant : limon argilo-sableux brun orangé compact. Niveau d'apparition sous la surface : 0,70 m.	1,15	0,70			indéterminé	non fouillé	<input type="checkbox"/>	<input type="checkbox"/>	0	<input type="checkbox"/>

n° Tr. n° St.	Type de St.	Description	Long.	Larg.	Dia.	Prof.	Attribution	Fouille	Plan	Coupe	n°	Photo
4 31	Fosse	Forme en plan : rectangulaire ? (une partie dans la berme). Comblement : limon argilo-sableux brun gris moyen avec rares inclusions calcaires, peu compact. Encaissant : limon argilo-sableux brun orangé compact. Niveau d'apparition sous la surface : 0,60 m.	0,90	0,80			indéterminé	non fouillé	<input type="checkbox"/>	<input type="checkbox"/>	0	<input type="checkbox"/>
5 32	Fosse	Forme en plan : circulaire ? (une partie dans la berme). Comblement : limon argilo-sableux brun gris foncé, peu compact. Terre cuite architecturale en surface. Encaissant : limon argilo-sableux brun orangé compact. Niveau d'apparition sous la surface : 0,75 m.					indéterminé	non fouillé	<input type="checkbox"/>	<input type="checkbox"/>	0	<input type="checkbox"/>
5 33	Fossé	Forme en plan : parois rectilignes. Orientation : est / ouest. Comblement : limon argilo-sableux brun gris clair, peu compact. Encaissant : limon argilo-sableux brun orangé compact. Niveau d'apparition sous la surface : 0,66 m.		0,85			indéterminé	non fouillé	<input type="checkbox"/>	<input type="checkbox"/>	0	<input type="checkbox"/>
5 34	Indéterminé	Forme en plan : rectangulaire ? (partie dans la berme). Comblement : limon argilo-sableux brun gris clair, peu compact. Rares pierres calcaires (dia inf à 5 cm). Encaissant : limon argilo-sableux brun orangé compact. Niveau d'apparition sous la surface : 0,70 m.					indéterminé	non fouillé	<input type="checkbox"/>	<input type="checkbox"/>	0	<input type="checkbox"/>
5 35	Fosse	Forme en plan : rectangulaire ? (partie dans la berme). Comblement : limon argilo-sableux brun moyen, peu compact. Présence de pierres calcaires, béton, TCA. Encaissant : limon argilo-sableux brun orangé compact. Niveau d'apparition sous la surface : 0,60 m.	1,85	1,60			contemporain	non fouillé	<input type="checkbox"/>	<input type="checkbox"/>	0	<input type="checkbox"/>

n° Tr.	n° St.	Type de St.	Description	Long.	Larg.	Dia.	Prof.	Attribution	Fouille	Plan	Coupe	n°	Photo
5	36	Fossé	<p>Forme en plan : parois rectilignes. Orientation : est / ouest. Forme en coupe : parois subverticales, fond irrégulier. Comblement en plan : limon argilo-sableux brun gris foncé, peu compact. Mobilier en surface. Comblement en coupe : 1- limon sablo-argileux moucheté orange, peu compact. 3- limon sablo-argileux gris moyen moucheté orange, compact. Encaissant : limon argilo-sableux brun orangé compact (2-). Niveau d'apparition sous la surface : 0,62 m.</p>	3,60	0,60		0,38	contemporain	manuelle	<input checked="" type="checkbox"/>	<input checked="" type="checkbox"/>	51	<input checked="" type="checkbox"/>
5	37	Fosse	<p>Forme en plan : carrée. Comblement : limon argilo-sableux brun gris moyen, peu compact. Encaissant : limon argilo-sableux brun orangé compact. Niveau d'apparition sous la surface : 0,75 m.</p>	1,05	1,20			contemporain	mécanique	<input type="checkbox"/>	<input type="checkbox"/>	0	<input type="checkbox"/>
5	38	Fosse	<p>Forme en plan : carrée ? (en partie dans la berme). Comblement : limon argilo-sableux brun gris moyen, peu compact. 1 pierre calcaire. Encaissant : limon argilo-sableux brun orangé compact. Niveau d'apparition sous la surface : 0,78 m.</p>		0,88			indéterminé	mécanique	<input type="checkbox"/>	<input type="checkbox"/>	0	<input type="checkbox"/>
6	39	Fosse	<p>Forme en plan : carrée (une partie se trouve dans la berme). Comblement : limon argilo-sableux brun gris très foncé, peu compact. Interprétation : fosse de plantation. Encaissant : limon argilo-sableux brun orangé compact. Niveau d'apparition sous la surface : 0,63 m.</p>					moderne	non fouillé	<input type="checkbox"/>	<input type="checkbox"/>	0	<input type="checkbox"/>
6	66	Isolat	Silex (taillé ?)					néolithique	non fouillé	<input type="checkbox"/>	<input type="checkbox"/>	0	<input type="checkbox"/>
6	67	Fossé	<p>Forme en plan : parois rectilignes. Orientation : nord / sud. Comblement : limon argilo-sableux brun beige clair, peu compact. Encaissant : limon argilo-sableux brun orangé compact. Niveau d'apparition sous la surface : 0,90 m.</p>	4,20	0,50			moderne	non fouillé	<input type="checkbox"/>	<input type="checkbox"/>	0	<input checked="" type="checkbox"/>

n° Tr. n° St.	Type de St.	Description	Long.	Larg.	Dia.	Prof.	Attribution	Fouille	Plan	Coupe	n°	Photo
6 68	Fosse	Forme en plan : carrée (une partie se trouve dans la berme). Comblement : limon argilo-sableux brun gris foncé à moyen, peu compact. Interprétation : fosse de plantation. Encaissant : limon argilo-sableux brun orangé compact. Niveau d'apparition sous la surface : 0,64 m.	3,20	0,68			moderne	non fouillé	<input type="checkbox"/>	<input type="checkbox"/>	0	<input type="checkbox"/>
6 69	Fossé	Forme en plan : parois rectilignes. Orientation : nord / sud. Comblement : limon argilo-sableux brun gris foncé, peu compact avec une poche de limon argilo-sableux brun gris moyen, peu compact. Structure fouillée partiellement du fait de la présence d'une canalisation en grès encore active de 7 cm de large. Forme en coupe : parois verticales et fond plat. Encaissant : limon argilo-sableux brun orangé compact. Niveau d'apparition sous la surface : 0,70 m.	3,20	0,68			contemporain	manuelle	<input type="checkbox"/>	<input type="checkbox"/>	0	<input checked="" type="checkbox"/>
6 70	Fosse	Forme en plan : carrée (une partie se trouve dans la berme). Comblement : limon argilo-sableux brun gris très foncé, peu compact. Interprétation : fosse de plantation. Encaissant : limon argilo-sableux brun orangé compact. Niveau d'apparition sous la surface : 0,77 m.	0,75	0,83			moderne	non fouillé	<input type="checkbox"/>	<input type="checkbox"/>	0	<input type="checkbox"/>
6 71	Fosse	Forme en plan : carrée (une partie se trouve dans la berme). Comblement : limon argilo-sableux brun gris moyen à foncé, peu compact. Interprétation : fosse de plantation. Encaissant : limon argilo-sableux brun orangé compact. Niveau d'apparition sous la surface : 0,62 m.	0,88	0,83			moderne	non fouillé	<input type="checkbox"/>	<input type="checkbox"/>	0	<input type="checkbox"/>
6 72	Fosse	Forme en plan : carrée (une partie se trouve dans la berme). Comblement : limon argilo-sableux brun gris foncé à noir, peu compact. Nombreuses pierres calcaires. Interprétation : fosse de plantation. Encaissant : limon argilo-sableux brun orangé compact. Niveau d'apparition sous la surface : 0,50 m.	1,88	1,60			moderne	non fouillé	<input type="checkbox"/>	<input type="checkbox"/>	0	<input type="checkbox"/>

n° Tr. n° St.	Type de St.	Description	Long.	Larg.	Dia.	Prof.	Attribution	Fouille	Plan	Coupe	n°	Photo
6	73	Fossé	3,70	0,90			contemporain	non fouillé	<input type="checkbox"/>	<input type="checkbox"/>	0	<input checked="" type="checkbox"/>
<p>Forme en plan : parois rectilignes. Orientation : est / ouest. Comblement : limon argilo-sableux brun beige clair, peu compact. Rares pierres calcaires. Encaissant : limon argilo-sableux brun orangé compact. Niveau d'apparition sous la surface : 0,50 m.</p>												
6	74	Fosse	1,60	1,35			moderne	non fouillé	<input type="checkbox"/>	<input type="checkbox"/>	0	<input type="checkbox"/>
<p>Forme en plan : carrée (une partie se trouve dans la berme). Comblement : limon argilo-sableux gris très forcé, peu compact. Nombreuses pierres calcaires. Interprétation : fosse de plantation. Encaissant : limon argilo-sableux brun orangé compact. Niveau d'apparition sous la surface : 0,60 m.</p>												
7	145	Fossé	3,90	1,26		0,62	indéterminé	manuelle	<input checked="" type="checkbox"/>	<input checked="" type="checkbox"/>	44	<input checked="" type="checkbox"/>
<p>Forme en plan : contours rectilignes. Orientation : est / ouest. Comblement en plan et en coupe : limon argilo-sableux brun moyen moucheté jaune orangé avec quelques inclusions calcaires, peu compact. Forme en coupe : parois irrégulières, fond plat. Encaissant : limon argilo-sableux brun orangé compact. Niveau d'apparition sous la surface : 0,70 m.</p>												
7	40	Structure annulée					indéterminé	non fouillé	<input type="checkbox"/>	<input type="checkbox"/>	0	<input type="checkbox"/>
7	41	Structure annulée					indéterminé	non fouillé	<input type="checkbox"/>	<input type="checkbox"/>	0	<input type="checkbox"/>
7	42	Structure annulée					indéterminé	non fouillé	<input type="checkbox"/>	<input type="checkbox"/>	0	<input type="checkbox"/>
7	43	Structure annulée					indéterminé	non fouillé	<input type="checkbox"/>	<input type="checkbox"/>	0	<input type="checkbox"/>
7	44	Fosse		0,80			indéterminé	non fouillé	<input type="checkbox"/>	<input type="checkbox"/>	0	<input checked="" type="checkbox"/>
<p>Forme en plan : carrée (une partie se trouve dans la berme). Comblement : limon argileux brun gris clair, compact. Interprétation : fosse de plantation. Encaissant : limon argilo-sableux brun orangé compact. Niveau d'apparition sous la surface : 0,75 m.</p>												
7	45	Fossé	3,10	0,80			indéterminé	non fouillé	<input type="checkbox"/>	<input type="checkbox"/>	0	<input checked="" type="checkbox"/>
<p>Forme en plan : parois rectilignes. Orientation : est / ouest. Comblement : limon argileux brun-gris clair, compact. Encaissant : limon argilo-sableux brun orangé compact. Niveau d'apparition sous la surface : 0,80 m.</p>												

n° Tr. n° St.	Type de St.	Description	Long.	Larg.	Dia.	Prof.	Attribution	Fouille	Plan	Coupe	n°	Photo
7	46	Fosse Forme en plan : subcirculaire. Profil en V. Sondage 1 : 1- limon sablo-argileux brun gris clair avec inclusions noires, compact. 2- limon sablo-argileux gris clair moucheté vert avec inclusions noires, peu compact. 3- limon argilo-sableux brun orangé moucheté vert et jaune compact. 4- limon argilo-sableux vert moucheté orange, peu compact, hydromorphe. 5- limon argileux brun clair avec inclusions calcaires. Le fond de cette structure n'a pas été atteint. Mobilier apparu entre 0 et 80 cm sous la surface. Encaissant : limon argilo-sableux brun orangé compact. Niveau d'apparition sous la surface : 0,70 m. Interprétation : marnière.	8,50	3,50		1,80	moderne	mécanique	<input checked="" type="checkbox"/>	<input checked="" type="checkbox"/>	15	<input checked="" type="checkbox"/>
7	47	Fosse Forme en plan : circulaire (une partie dans la berme ?). Comblement : limon argilo-sableux brun gris moyen, peu compact avec poches verdâtres. TCA apparue en surface. Encaissant : limon argilo-sableux brun orangé compact. Niveau d'apparition sous la surface : 0,58 m.			1,40		indéterminé	manuelle	<input type="checkbox"/>	<input type="checkbox"/>	0	<input checked="" type="checkbox"/>
7	48	Fosse Forme en plan : circulaire. Comblement : limon argilo-sableux brun gris moyen moucheté beige, peu compact. Mobilier apparu en surface. Encaissant : limon argilo-sableux brun orangé compact. Niveau d'apparition sous la surface : 0,55 m.			1,60		indéterminé	mécanique	<input type="checkbox"/>	<input type="checkbox"/>	0	<input type="checkbox"/>
7	49	Fossé Forme en plan : parois rectilignes. Orientation : est / ouest. Comblement : limon argilo-sableux brun gris foncé à moyen, peu compact. Encaissant : limon argilo-sableux brun orangé compact. Niveau d'apparition sous la surface : 0,53 m.	3,45	0,80			indéterminé	non fouillé	<input type="checkbox"/>	<input type="checkbox"/>	0	<input type="checkbox"/>
7	50	Fossé Forme en plan : parois rectilignes. Orientation : est / ouest. Comblement : limon argilo-sableux gris foncé moucheté jaune orangé, compact. Forme en coupe : cuvette (limites incertaines). Encaissant : limon argilo-sableux brun orangé compact. Niveau d'apparition sous la surface : 0,70 m.	3,90	0,60		0,22	moderne	manuelle	<input checked="" type="checkbox"/>	<input checked="" type="checkbox"/>	44	<input checked="" type="checkbox"/>

n° Tr. n° St.	Type de St.	Description	Long.	Larg.	Dia.	Prof.	Attribution	Fouille	Plan	Coupe	n°	Photo
7 51	Indéterminé	Forme en plan : quadrangulaire. En surface, 4 comblements ont été distingués. Forme en coupe : parois irrégulières, fond plat. S1 : 6 comblements ont été distingués. Le mobilier a été retrouvé en surface. Encaissant : limon argilo-sableux brun orangé compact. Niveau d'apparition sous la surface : 0,78 m.	3,20			0,66	contemporain	manuelle	<input checked="" type="checkbox"/>	<input checked="" type="checkbox"/>	44	<input checked="" type="checkbox"/>
7 52	Fosse	Forme en plan : carrée. Comblement : limon argilo-sableux brun vert foncé, peu compact. Rare mouchetage beige. Interprétation : fosse de plantation. Encaissant : limon argilo-sableux brun orangé compact. Niveau d'apparition sous la surface : 0,58 m.	1	0,58			moderne	non fouillé	<input type="checkbox"/>	<input type="checkbox"/>	0	<input type="checkbox"/>
7 53	Fossé	Forme en plan : parois rectilignes. Orientation : nord / sud. Comblement : limon argilo-sableux brun gris moyen, peu compact. Forme en coupe : cuvette. S 1 : Couche supérieure = limon argilo-sableux brun gris moyen, peu compact. Couche inférieure : limon sableux gris vert clair, peu compact. Encaissant : limon argilo-sableux brun orangé compact. Niveau d'apparition sous la surface : 0,53 m.	4,55	0,42		0,11	indéterminé	manuelle	<input checked="" type="checkbox"/>	<input checked="" type="checkbox"/>	46	<input checked="" type="checkbox"/>
8 54	Fossé	Forme en plan : parois rectilignes. Orientation : nord / sud. Comblement : limon argilo-sableux brun gris moyen, peu compact. Pierres calcaires alignées (dia : 10 cm). Forme en coupe : cuvette. Sondage 1 : le remplissage est sensiblement le même qu'en surface avec une densité de pierres calcaires bien plus forte (dia 16-32 cm). Encaissant : limon argilo-sableux brun orangé compact. Niveau d'apparition sous la surface : 0,56 m.	4,40	0,78		0,28	indéterminé	manuelle	<input checked="" type="checkbox"/>	<input checked="" type="checkbox"/>	42	<input checked="" type="checkbox"/>
8 55	Fossé	Forme en plan : parois rectilignes. Orientation : est / ouest. Comblement : limon argilo-sableux brun gris clair, peu compact. Encaissant : limon argilo-sableux brun orangé compact. Niveau d'apparition sous la surface : 0,60 m.		0,70			indéterminé	non fouillé	<input type="checkbox"/>	<input type="checkbox"/>	0	<input checked="" type="checkbox"/>

n° Tr. n° St.	Type de St.	Description	Long.	Larg.	Dia.	Prof.	Attribution	Fouille	Plan	Coupe	n°	Photo
8 56	Fossé	Forme en plan : parois rectilignes. Orientation : est / ouest. Comblement : limon argilo-sableux brun gris moyen à foncé, peu compact. Céramique en surface. Encaissant : limon argilo-sableux brun orangé compact. Niveau d'apparition sous la surface : 0,60 m.	3,90	1			indéterminé	non fouillé	<input type="checkbox"/>	<input type="checkbox"/>	0	<input checked="" type="checkbox"/>
8 57	Fosse	Forme en plan : subcirculaire. Comblement : limon argilo-sableux brun gris clair avec lentilles de limon argilo-sableux brun foncé moucheté de brun orangé, peu compact. Encaissant : limon argilo-sableux brun orangé compact. Mobilier en surface. Niveau d'apparition sous la surface : 0,55 m.			2,40		indéterminé	mécanique	<input checked="" type="checkbox"/>	<input type="checkbox"/>	2	<input checked="" type="checkbox"/>
8 58	Fosse	Forme en plan : oblongue (moitié ouest dans la berme). Comblement : limon argilo-sableux brun avec inclusions calcaires. Encaissant : limon argilo-sableux brun orangé compact. Niveau d'apparition sous la surface : 0,50 m.			1,40		indéterminé	non fouillé	<input type="checkbox"/>	<input type="checkbox"/>	0	<input checked="" type="checkbox"/>
8 59	Fosse	Forme en plan : oblongue. Comblement : limon argileux homogène brun gris. Encaissant : limon argilo-sableux brun orangé compact. Niveau d'apparition sous la surface : 0,60 m.	0,36	0,27			indéterminé	non fouillé	<input type="checkbox"/>	<input type="checkbox"/>	0	<input checked="" type="checkbox"/>
9 133	Fosse	Forme en plan : ovale. Comblement : limon sablo-argileux brun gris clair moucheté beige, peu compact. Forme en coupe : parois subverticales, fond irrégulier. En coupe, le comblement est sensiblement identique avec quelques traces rouges orangées (oxydation ?). Encaissant : limon argilo-sableux brun orangé compact. Niveau d'apparition sous la surface : 0,40 m.	0,80	0,60		0,18	indéterminé	non fouillé	<input checked="" type="checkbox"/>	<input checked="" type="checkbox"/>	27	<input checked="" type="checkbox"/>
9 134	Fosse	Forme en plan : circulaire (une partie dans la berme). Mobilier apparu en surface. Limon sablo-argileux brun gris foncé à noir, peu compact. Inclusions de charbon. Encaissant : limon argilo-sableux brun orangé compact. Niveau d'apparition sous la surface : 0,56 m.	1,20	1,10			moderne	non fouillé	<input checked="" type="checkbox"/>	<input type="checkbox"/>	28	<input type="checkbox"/>

n° Tr. n° St.	Type de St.	Description	Long.	Larg.	Dia.	Prof.	Attribution	Fouille	Plan	Coupe	n°	Photo
9 141	Fosse	Forme en plan : subcirculaire. Comblement : limon argilo-sableux gris moyen moucheté orangé compact. Encaissant : limon argilo-sableux brun orangé compact. Niveau d'apparition sous la surface : 0,55 m.			1,80		indéterminé	non fouillé	<input checked="" type="checkbox"/>	<input type="checkbox"/>	0	<input type="checkbox"/>
9 60	Fossé	Forme en plan : parois rectilignes. Orientation : nord / sud. Comblement : limon argilo-sableux brun gris moyen, peu compact. Interprétation : fossé bordier de V81. Encaissant : limon argilo-sableux brun orangé compact. Niveau d'apparition sous la surface : 0,66 m.	4,75	45			moyen âge	non fouillé	<input type="checkbox"/>	<input type="checkbox"/>	0	<input type="checkbox"/>
9 61	Isolat	1 silex. Encaissant : limon argilo-sableux brun orangé compact. Niveau d'apparition sous la surface : 0,80 m.					indéterminé	non fouillé	<input type="checkbox"/>	<input type="checkbox"/>	0	<input type="checkbox"/>
9 62	Fosse	Forme en plan : carrée (une partie se trouve dans la berme). Comblement : limon argilo-sableux brun gris moyen, peu compact. Interprétation : fosse de plantation. Encaissant : limon argilo-sableux brun orangé compact. Niveau d'apparition sous la surface : 0,60 m.	1,25	1,10			indéterminé	non fouillé	<input type="checkbox"/>	<input type="checkbox"/>	0	<input type="checkbox"/>
9 63	Fosse	Forme en plan : carrée (une partie se trouve dans la berme). Comblement : limon argilo-sableux brun gris moyen, peu compact. Interprétation : fosse de plantation. Encaissant : limon argilo-sableux brun orangé compact. Niveau d'apparition sous la surface : 0,60 m.	1,30	1,10			indéterminé	non fouillé	<input type="checkbox"/>	<input type="checkbox"/>	0	<input type="checkbox"/>
9 64	Fossé	Forme en plan : parois rectilignes. Orientation : est / ouest. Comblement : limon argilo-sableux brun gris clair, peu compact avec mouchetage fin beige et inclusions noires. Encaissant : limon argilo-sableux brun orangé compact. Niveau d'apparition sous la surface : 0,75 m. Fo 64 = Fo 76 = Fo 88 = Fo 95	3,40	0,56			antiquité	non fouillé	<input checked="" type="checkbox"/>	<input type="checkbox"/>	0	<input type="checkbox"/>

n° Tr. n° St.	Type de St.	Description	Long.	Larg.	Dia.	Prof.	Attribution	Fouille	Plan	Coupe	n°	Photo
9	65	Fossé Forme en plan : parois rectilignes. Orientation : est / ouest. Comblement : limon sablo-argileux brun foncé bioturbé, avec inclusions de charbon, peu compact. S 1 : profil à fond plat, légère asymétrie des parois. Trois couches ont été observées. 4 vases en dépôt sur le fond de la couche 1. Sédiment issu du vase Nord-Ouest tamisé avec mailles à 2mm et 500 microns évacué faute de vestiges organiques. Sédiment issu du vase Sud-Est tamisé avec mailles à 2mm et 500 microns évacué faute de vestiges organiques. Sédiment issu du vase Nord-Est tamisé avec mailles à 2mm et 500 microns évacué faute de vestiges organiques. Encaissant : limon argilo-sableux brun orangé compact. Niveau d'apparition sous la surface : 0,70 m. Fo 65 = Fo 75 = Fo 87	1,56	0,88	antiquité	mécanique				17		
10	75	Fossé Forme en plan : parois rectilignes. Orientation : est / ouest. Comblement : limon argilo-sableux brun gris clair, peu compact. Forme en coupe : bords évasés, fond arrondi. Comblement en coupe : 1- limon argilo-sableux brun gris clair, peu compact. 2- limon argilo-sableux brun gris clair, compact moucheté beige et brun rouge. Encaissant : limon argilo-sableux brun orangé compact. Niveau d'apparition sous la surface : 0,55 m. Fo 65 = Fo 75 = Fo 87	0,72	antiquité	mécanique				3			
10	76	Fossé Forme en plan : parois rectilignes. Orientation : est / ouest. Comblement : limon argileux brun moyen, compact. Inclusions nodules beiges. Encaissant : limon argilo-sableux brun orangé compact. Niveau d'apparition sous la surface : 0,65 m. Fo 64 = Fo 76 = Fo 88 = Fo 95	0,90	antiquité	non fouillé				0			

n° Tr. n° St.	Type de St.	Description	Long.	Larg.	Dia.	Prof.	Attribution	Fouille	Plan	Coupe	n°	Photo
11 143	Fosse	Forme en plan : rectangulaire. Orientation : nord / sud. Comblement en plan : limon sablo-argileux gris moyen moucheté gris clair, compact + limon argilo-sableux gris orangé. Forme en coupe : bords évasés et fond plat. Comblement en coupe : 1- limon sablo-argileux gris moyen moucheté gris clair, compact avec nombreuses inclusions noires et rares poches orangées (substrat remanié ?). 2- limon argilo-sableux gris orangé, rarement moucheté gris clair, compact, inclusions noires. Encaissant : limon argilo-sableux brun orangé compact. Niveau d'apparition sous la surface : 0,80 m. Structure non levée en topo mais repositionnée par rapport au clou sud de F79.	1,46	0,78		0,25	indéterminé	manuelle	<input checked="" type="checkbox"/>	<input checked="" type="checkbox"/>	48	<input checked="" type="checkbox"/>
11 77	Fossé	Forme en plan : parois rectilignes. Orientation : nord-est / sud-ouest. Comblement : limon argilo-sableux gris clair moucheté de limon argileux brun moyen, compact. Encaissant : limon argilo-sableux brun orangé compact. Niveau d'apparition sous la surface : 0,80 m.	3,10	0,48			indéterminé	non fouillé	<input type="checkbox"/>	<input type="checkbox"/>	0	<input checked="" type="checkbox"/>
11 78	Fossé	Forme en plan : parois rectilignes. Orientation : nord / sud. Comblement : limon argilo-sableux brun gris moyen, peu compact. Quelques inclusions noires, rare mouchetage gris clair. Profil : cuvette. Encaissant : limon argilo-sableux brun orangé compact. Niveau d'apparition sous la surface : 0,70 m	4,20	0,35		0,07	indéterminé	manuelle	<input checked="" type="checkbox"/>	<input checked="" type="checkbox"/>	47	<input checked="" type="checkbox"/>
11 79	Fosse	Forme en plan : carrée (une partie sous la berme). Comblement : limon argilo-sableux brun gris moyen à foncé, peu compact. Encaissant : limon argilo-sableux brun orangé compact. Niveau d'apparition sous la surface : 0,80 m		1			moderne	non fouillé	<input type="checkbox"/>	<input type="checkbox"/>	0	<input type="checkbox"/>
11 80	Fossé	Forme en plan : contours irréguliers. Orientation : nord-est / sud-ouest. Comblement : limon argilo-sableux brun gris foncé moucheté de tâches orangées. Encaissant : limon argilo-sableux brun orangé compact. Niveau d'apparition sous la surface : 0,90 m	4	1			indéterminé	non fouillé	<input type="checkbox"/>	<input type="checkbox"/>	0	<input checked="" type="checkbox"/>

n° Tr. n° St.	Type de St.	Description	Long.	Larg.	Dia.	Prof.	Attribution	Fouille	Plan	Coupe	n°	Photo
12	81	Voie		11,13		1,36	moyen âge	mécanique	<input checked="" type="checkbox"/>	<input checked="" type="checkbox"/>	4	<input checked="" type="checkbox"/>
		Forme en plan : limites rectilignes. Orientation : nord-sud. Forme en coupe : dôme de construction, niveaux de circulations, orniers, fossés bordiers. Mobilier présent dans les différents niveaux de comblement. Encaissant : limon argilo-sableux brun orangé compact. Niveau d'apparition sous la surface : 0,40 m.										
13	81	Voie					moyen âge	non fouillé	<input type="checkbox"/>	<input type="checkbox"/>	0	<input type="checkbox"/>
		Forme en plan : limites rectilignes. Orientation : nord-sud. Encaissant : limon argilo-sableux brun orangé compact. Niveau d'apparition sous la surface : 0,40 m.										
13	75	Fossé	3,20	1,25			antiquité	non fouillé	<input checked="" type="checkbox"/>	<input type="checkbox"/>	5	<input checked="" type="checkbox"/>
		Forme en plan : parois rectilignes. Orientation : nord-ouest / sud-est. Comblement : limon argileux brun moyen avec inclusions de nodules beiges et très fines particules noires, compact. Encaissant : limon argilo-sableux brun orangé compact. Niveau d'apparition sous la surface : 0,60 m. Fo 65 = Fo 75 = Fo 87										
13	76	Fossé	3,10	0,85			antiquité	non fouillé	<input type="checkbox"/>	<input type="checkbox"/>	0	<input type="checkbox"/>
		Forme en plan : parois rectilignes. Orientation : nord-ouest / sud-est. Comblement en plan : limon argileux brun moyen avec nodules beiges et très fines particules noires, compact. Encaissant : limon argilo-sableux brun orangé compact. Niveau d'apparition sous la surface : 0,70 m. Fo 64 = Fo 76 = Fo 88 = Fo 95										
13	82	Fosse			2,10	0,48	indéterminé	manuelle	<input checked="" type="checkbox"/>	<input checked="" type="checkbox"/>	29	<input checked="" type="checkbox"/>
		Forme en plan : circulaire. Comblement : limon argileux brun moucheté de tâches beige et orange hétérogène compact. Forme en coupe : pentes douces et fond arrondi. Comblement en coupe : 1- limon sableux gris clair moucheté de beige, inclusions noires, compact. 2- limon argilo-sableux brun orangé clair marbré de gris clair et de beige, inclusions noires, compact. 3- limon argilo-sableux brun moyen orangé, poches de limon sableux brun gris clair, limon argilo-sableux beige, compact. Encaissant : limon argilo-sableux brun orangé compact. Niveau d'apparition sous la surface : 0,70 m.										

n° Tr. n° St.	Type de St.	Description	Long.	Larg.	Dia.	Prof.	Attribution	Fouille	Plan	Coupe	n°	Photo
14 117	Isolat	Silex naturel. Encaissant : limon argilo-sableux brun orangé compact. Niveau d'apparition sous la surface : 0,50 m.					néolithique	non fouillé	<input type="checkbox"/>	<input type="checkbox"/>	0	<input type="checkbox"/>
14 118	Isolat	Silex naturel. Encaissant : limon argilo-sableux brun orangé compact. Niveau d'apparition sous la surface : 0,50 m.					néolithique	non fouillé	<input type="checkbox"/>	<input type="checkbox"/>	0	<input type="checkbox"/>
14 119	Isolat	Céramique. Encaissant : limon argilo-sableux brun orangé compact. Niveau d'apparition sous la surface : 0,75 m.					protohistoire	non fouillé	<input type="checkbox"/>	<input type="checkbox"/>	0	<input type="checkbox"/>
14 120	Isolat	Céramique. Encaissant : limon argilo-sableux brun orangé compact. Niveau d'apparition sous la surface : 0,50 m.					protohistoire	non fouillé	<input type="checkbox"/>	<input type="checkbox"/>	0	<input type="checkbox"/>
14 121	Isolat	Silex. Encaissant : limon sablo-argileux brun orangé moucheté beige peu compact. Niveau d'apparition sous la surface : 0,39 m.					néolithique	non fouillé	<input type="checkbox"/>	<input type="checkbox"/>	0	<input type="checkbox"/>
14 122	Isolat	Céramique. Encaissant : limon sablo-argileux brun orangé moucheté beige peu compact. Niveau d'apparition sous la surface : 0,39 m.					antiquité	non fouillé	<input type="checkbox"/>	<input type="checkbox"/>	0	<input type="checkbox"/>
14 123	Isolat	Silex. Encaissant : limon sablo-argileux brun orangé moucheté beige peu compact. Niveau d'apparition sous la surface : 0,55 m.					néolithique	non fouillé	<input type="checkbox"/>	<input type="checkbox"/>	0	<input type="checkbox"/>
14 124	Isolat	Céramique. Encaissant : limon sablo-argileux brun orangé moucheté beige peu compact. Niveau d'apparition sous la surface : 0,76 m.					néolithique	non fouillé	<input type="checkbox"/>	<input type="checkbox"/>	0	<input type="checkbox"/>
14 125	Fossé	Forme en plan : parois rectilignes. Orientation : nord / sud. Comblement : limon sablo-argileux gris beige clair moucheté beige, peu compact. Encaissant : limon argilo-sableux brun orangé compact. Niveau d'apparition sous la surface : 0,75 m.	7,90	0,54			moderne	non fouillé	<input type="checkbox"/>	<input type="checkbox"/>	0	<input checked="" type="checkbox"/>
14 140	Fosse	Forme en plan : oblongue. Comblement : limon sablo-argileux légèrement moucheté orange, peu compact. Encaissant : limon argilo-sableux brun orangé compact. Niveau d'apparition sous la surface : 0,40 m.	3	2,20			antiquité	non fouillé	<input checked="" type="checkbox"/>	<input type="checkbox"/>	16	<input type="checkbox"/>

n° Tr. n° St.	Type de St.	Description	Long.	Larg.	Dia.	Prof.	Attribution	Fouille	Plan	Coupe	n°	Photo
14 81	Voie	Forme en plan : limites rectilignes. Orientation : nord-sud. Encaissant : limon argilo-sableux brun orangé compact. Niveau d'apparition sous la surface : 0,60 m.					moyen âge	non fouillé	<input type="checkbox"/>	<input type="checkbox"/>	0	<input type="checkbox"/>
14 83	Fosse	Forme en plan : subcirculaire. Comblement : limon argilo-sableux gris moyen, meuble. Encaissant : limon argilo-sableux brun orangé compact. Niveau d'apparition sous la surface : 0,72 m.	0,64	0,45			moderne	non fouillé	<input type="checkbox"/>	<input type="checkbox"/>	0	<input checked="" type="checkbox"/>
14 84	Isolat	Silex naturel. Encaissant : limon argilo-sableux brun orangé compact. Niveau d'apparition sous la surface : 0,66 m.					néolithique	non fouillé	<input type="checkbox"/>	<input type="checkbox"/>	0	<input type="checkbox"/>
14 85	Isolat	Silex naturel. Encaissant : limon argilo-sableux brun orangé compact. Niveau d'apparition sous la surface : 0,83 m.					néolithique	non fouillé	<input type="checkbox"/>	<input type="checkbox"/>	0	<input type="checkbox"/>
14 86	isolat	Céramique. Encaissant : limon argilo-sableux brun orangé compact. Niveau d'apparition sous la surface : 0,83 m.					protohistoire	non fouillé	<input type="checkbox"/>	<input type="checkbox"/>	0	<input type="checkbox"/>
14 87	Fossé	Forme en plan : parois rectilignes. Orientation : nord-ouest / sud-est. Comblement en plan : limon sablo-argileux brun gris clair avec rare mouchetage beige, peu compact. Encaissant : limon argilo-sableux brun orangé compact. Niveau d'apparition sous la surface : 0,40 m. Fo 65 = Fo 75 = Fo 87	3	1			antiquité	non fouillé	<input checked="" type="checkbox"/>	<input type="checkbox"/>	16	<input checked="" type="checkbox"/>
14 88	Fossé	Forme en plan : parois rectilignes. Orientation : nord-ouest / sud-est. Comblement en plan : limon sablo-argileux brun gris clair moucheté beige, peu compact. Encaissant : limon argilo-sableux brun orangé compact. Niveau d'apparition sous la surface : 0,45 m. Fo 64 = Fo 76 = Fo 88 = Fo 95	3	0,75			antiquité	non fouillé	<input checked="" type="checkbox"/>	<input type="checkbox"/>	16	<input checked="" type="checkbox"/>

n° Tr.	n° St.	Type de St.	Description	Long.	Larg.	Dia.	Prof.	Attribution	Fouille	Plan	Coupe	n°	Photo
14	89	Fosse	Forme en plan : circulaire (une partie dans la berme). Comblement : limon argilo-sableux brun gris clair moucheté beige avec inclusions TCA, calcaire, peu compact. Interprétation : marnière. Encaissant : limon argilo-sableux brun orangé compact. Niveau d'apparition sous la surface : 0,60 m.	8,40	5			indéterminé	non fouillé	<input type="checkbox"/>	<input type="checkbox"/>	0	<input type="checkbox"/>
14	90	Mare	Forme en plan : inobservable. Comblement : limon argilo-sableux brun gris clair avec inclusions et blocs calcaires moucheté beige et ocre, compact. Encaissant : limon argilo-sableux brun orangé compact. Niveau d'apparition sous la surface : 0,60 m.	36	6			indéterminé	non fouillé	<input type="checkbox"/>	<input type="checkbox"/>	0	<input type="checkbox"/>
15	91	Fosse	Forme en plan : carrée (une moitié se trouve dans la berme). Comblement : limon argileux brun moyen moucheté orange avec inclusions noires. Interprétation : fosse de plantation. Encaissant : limon argilo-sableux brun orangé compact. Niveau d'apparition sous la surface : 0,60 m.					moderne	non fouillé	<input type="checkbox"/>	<input type="checkbox"/>	0	<input type="checkbox"/>
15	92	Fossé	Forme en plan : parois rectilignes. Orientation : est / ouest. Comblement : limon argilo-sableux brun gris moyen moucheté beige, compact. Encaissant : limon argilo-sableux brun orangé compact. Niveau d'apparition sous la surface : 0,55 m.	3,40	0,80			indéterminé	non fouillé	<input checked="" type="checkbox"/>	<input type="checkbox"/>	37	<input checked="" type="checkbox"/>
16	81	Voie	Forme en plan : limites rectilignes. Orientation : nord-sud. Encaissant : limon argilo-sableux brun orangé compact. Niveau d'apparition sous la surface : 0,55 m.					moyen âge	non fouillé	<input type="checkbox"/>	<input type="checkbox"/>	0	<input type="checkbox"/>
16	93	Fosse	Forme en plan : carrée. Comblement : limon argilo-sableux brun gris moyen, compact. Interprétation : fosse de plantation. Encaissant : limon argilo-sableux brun orangé compact. Niveau d'apparition sous la surface : 0,42 m.	1,20	1,07			moderne	non fouillé	<input type="checkbox"/>	<input type="checkbox"/>	0	<input checked="" type="checkbox"/>

n° Tr. n° St.	Type de St.	Description	Long.	Larg.	Dia.	Prof.	Attribution	Fouille	Plan	Coupe	n°	Photo
17 135	Fossé	<p>Forme en plan : parois rectilignes. Orientation : nord / sud. Forme en coupe : bords inclinés, fond irrégulier. S 1 : 1- limon sablo-argileux brun moyen moucheté brun clair, compact. 2- limon sablo-argileux brun moyen avec poches de couleur gris clair et traces d'oxydation, compact. TCA, calcaire en surface. Encaissant : limon argilo-sableux brun orangé compact. Niveau d'apparition sous la surface : 0,50 m. Et plan n° 38.</p>	3,20	2,20		0,35	antiquité	manuelle	<input checked="" type="checkbox"/>	<input checked="" type="checkbox"/>	26	<input checked="" type="checkbox"/>
17 81	Voie	<p>Forme en plan : limites rectilignes. Orientation : nord-sud. Encaissant : limon argilo-sableux brun orangé compact. Niveau d'apparition sous la surface : 0,52 m.</p>					moyen âge	non fouillé	<input type="checkbox"/>	<input type="checkbox"/>	0	<input type="checkbox"/>
17 94	Sépulture	<p>Forme en plan : rectangulaire. Comblement : limon argilo-sableux brun gris moyen moucheté beige avec inclusions noires, compact. Forme en plan : parois verticales, fond plat. Comblement en coupe : 1- limon argilo-sableux brun gris moyen moucheté beige avec inclusions noires, compact. 2- limon argilo-sableux brun gris moyen moucheté beige et orange, compact. Mobilier sur et sous l'inhumé. Encaissant : limon argilo-sableux brun orangé compact. Niveau d'apparition sous la surface : 0,74 m.</p>	1,76	0,79		0,47	antiquité	manuelle	<input checked="" type="checkbox"/>	<input checked="" type="checkbox"/>	22	<input checked="" type="checkbox"/>
17 95	Fossé	<p>Forme en plan : parois rectilignes. Fossé formant un angle et s'interrompant vers le sud. Orientation : est / ouest, nord / sud. Comblement : limon argilo-sableux brun gris moyen à clair moucheté jaune blanc, compact. Forme en coupe : cuvette (S1), parois subverticales, fond arrondi (S2). S1 : sédiment à composante limono-argilo-sableuse. S2 : sédiment à composante limono-argilo-sableuse. Encaissant : limon argilo-sableux brun orangé compact. Niveau d'apparition sous la surface : 0,65 m. Fo 64 = Fo 76 = Fo 88 = Fo 95. Et plan n° 7, 10, 11.</p>	6,70	1,05		0,40	antiquité	manuelle	<input checked="" type="checkbox"/>	<input checked="" type="checkbox"/>	6	<input checked="" type="checkbox"/>

n° Tr. n° St.	Type de St.	Description	Long.	Larg.	Dia.	Prof.	Attribution	Fouille	Plan	Coupe	n°	Photo
17 96	Fossé	<p>Forme en plan : parois rectilignes. Fossé formant un angle et s'interrompant vers le sud-est.</p> <p>Orientation : nord-est / sud-ouest, nord-ouest / sud-est. Comblement : limon argilo-sableux brun gris moyen avec pierres calcaires, compact.</p> <p>Forme en coupe : pentes douces, fond irrégulier. Comblement en coupe : 1- limon argilo-sableux brun gris clair avec inclusions noires, compact. Couche renfermant 8 monnaies. 2- limon argilo-sableux gris clair avec nombreuses inclusions noires, compact. 3- limon argilo-sableux brun orangé moucheté beige-blanc, compact, quelques inclusions noires. Encaissant : limon argilo-sableux brun orangé compact. Niveau d'apparition sous la surface : 0,65 m. Et plan n° 7, 9.</p>	2,60	1,50			antiquité	manuelle	<input checked="" type="checkbox"/>	<input checked="" type="checkbox"/>	6	<input checked="" type="checkbox"/>
17 97	Fosse	<p>Forme en plan : carrée (une moitié se trouve dans la berme). Comblement : limon argilo-sableux brun gris clair avec inclusions noires, compact.</p> <p>Interprétation : fosse de plantation. Encaissant : limon argilo-sableux brun orangé compact. Niveau d'apparition sous la surface : 0,65 m.</p>	0,80	0,75			moderne	non fouillé	<input type="checkbox"/>	<input type="checkbox"/>	0	<input type="checkbox"/>
19 100	Fosse	<p>Forme en plan : circulaire. Comblement en plan et en coupe : limon argilo-sableux brun gris clair moucheté beige avec inclusions noires, compact. Rares pierres calcaires. Forme en coupe : parois obliques, fond non atteint. Fouille stoppée pour des raisons de temps et de sécurité. Encaissant : limon argilo-sableux brun orangé compact. Niveau d'apparition sous la surface : 0,68 m. Et plan n° 14.</p>	8,6	1,25			antiquité	mécanique	<input checked="" type="checkbox"/>	<input checked="" type="checkbox"/>	13	<input checked="" type="checkbox"/>
19 98	Fossé	<p>Forme en plan : parois rectilignes. Orientation : nord / sud. Comblement en plan et en coupe : limon argilo-sableux brun gris clair moucheté beige et orange, compact. Profil : cuvette. Encaissant : limon argilo-sableux brun orangé compact. Niveau d'apparition sous la surface : 0,60 m.</p>	7,60	0,30		0,10	antiquité	manuelle	<input checked="" type="checkbox"/>	<input checked="" type="checkbox"/>	40	<input checked="" type="checkbox"/>

n° Tr. n° St.	Type de St.	Description	Long.	Larg.	Dia.	Prof.	Attribution	Fouille	Plan	Coupe	n°	Photo
19 99	Fossé	Forme en plan : parois rectilignes. Orientation : nord / sud. Comblement en plan : limon argilo-sableux brun gris moyen, rare mouchetage beige, compact. Profil : évaseement des parois vers le sommet, fond arrondi. Comblement en coupe : 1- limon sablo-argileux brun gris moyen, moucheté beige et brun foncé, compact. 2- limon argilo-sableux brun gris clair, moucheté beige et gris clair, inclusions noires et rouges, compact. Encaissant : limon argilo-sableux brun orangé compact. Niveau d'apparition sous la surface : 0,62 m. Et plan n° 41. Fo135 = Fo99	8	1,20		0,50	antiquité	manuelle	<input checked="" type="checkbox"/>	<input checked="" type="checkbox"/>	40	<input checked="" type="checkbox"/>
20 101	Fossé	Forme en plan : parois rectilignes. Orientation : nord / sud. Comblement en plan : limon sablo-argileux brun gris moyen avec inclusions de charbon, compact. 1 pierre calcaire (dia : 5 cm). Profil : pentes douces, fond arrondi. Comblement en coupe : limon sablo-argileux brun gris compact avec inclusions de charbon, rares pierres calcaires. Encaissant : limon argilo-sableux brun orangé compact. Niveau d'apparition sous la surface : 0,40 m.	3,75	0,60		0,27	indéterminé	manuelle	<input checked="" type="checkbox"/>	<input checked="" type="checkbox"/>	34	<input checked="" type="checkbox"/>
20 102	Fossé	Forme en plan : parois rectilignes. Orientation : nord / sud. Comblement en plan et en coupe : limon sablo-argileux brun gris clair, peu compact. Profil : paroi est subverticale, paroi ouest en pente douce, fond arrondi. Interprétation : Fo102 contemporain de F103. Encaissant : limon argilo-sableux brun orangé compact. Niveau d'apparition sous la surface : 0,50 m.	10,4	0,50		0,25	antiquité	manuelle	<input checked="" type="checkbox"/>	<input checked="" type="checkbox"/>	49	<input checked="" type="checkbox"/>
20 103	Fosse	Forme en plan : ovale. Comblement en plan et en coupe : limon sablo-argileux brun gris clair moucheté beige, peu compact. Forme en coupe : parois verticales, fond plat. Remplissage très similaire à Fo102. Interprétation : Fo102 contemporain de F103. Encaissant : limon argilo-sableux brun orangé compact. Niveau d'apparition sous la surface : 0,48 m.	0,66	0,50		0,24	antiquité	manuelle	<input checked="" type="checkbox"/>	<input checked="" type="checkbox"/>	49	<input checked="" type="checkbox"/>

n° Tr. n° St.	Type de St.	Description	Long.	Larg.	Dia.	Prof.	Attribution	Fouille	Plan	Coupe	n°	Photo
20 104	Fosse	Forme en plan : ovale. Comblement en plan : limon argilo-sableux brun moyen avec inclusions noires, compact. Encaissant : limon argilo-sableux brun orangé compact. Niveau d'apparition sous la surface : 0,60 m.	0,57				indéterminé	non fouillé	<input type="checkbox"/>	<input type="checkbox"/>	0	<input checked="" type="checkbox"/>
20 105	Fosse	Forme en plan : circulaire ? (une partie dans la berme). Comblement : limon sablo-argileux brun gris clair moucheté beige, peu compact. Interprétation : marnière. Encaissant : limon argilo-sableux brun orangé compact. Niveau d'apparition sous la surface : 0,60 m.	5,70				indéterminé	non fouillé	<input type="checkbox"/>	<input type="checkbox"/>	0	<input checked="" type="checkbox"/>
20 106	Fossé	Forme en plan : parois rectilignes. Orientation : est / ouest. Comblement en plan et en coupe : limon argilo-sableux brun gris moyen moucheté beige et orange avec inclusions noires et pierres calcaires, compact. Forme en coupe : cuvette. Encaissant : limon argilo-sableux brun orangé compact. Niveau d'apparition sous la surface : 0,40 m.	3,25	0,54	0,16		moderne	manuelle	<input checked="" type="checkbox"/>	<input checked="" type="checkbox"/>	39	<input checked="" type="checkbox"/>
20 107	Mur	Forme en plan : circulaire. Comblement : limon argilo-sableux brun noir foncé avec inclusions calcaires et plâtre, meuble. Forme en coupe : parois verticales, fond plat. Comblement en coupe au niveau de S1 : 1- limon argilo-sableux brun noir foncé avec inclusions calcaires et plâtre, meuble. 2- limon argilo-sableux brun noir foncé, meuble. Gros blocs calcaires taillés liés au mortier blanc avec inclusions noires. Diamètre moyen des blocs : 30-35 cm. 3- Limon argilo-sableux brun vert clair, moucheté orange, compact. Encaissant : limon argilo-sableux brun orangé compact. Niveau d'apparition sous la surface : 0,40 m.	6,60		0,80		moderne	mécanique	<input checked="" type="checkbox"/>	<input checked="" type="checkbox"/>	18	<input checked="" type="checkbox"/>
20 108	Mur	= M107, n° de structure attribué avant décapage extensif de la zone. Il s'agit de la structure 107. Encaissant : limon argilo-sableux brun orangé compact. Niveau d'apparition sous la surface : 0,34 m.					moderne	mécanique	<input checked="" type="checkbox"/>	<input checked="" type="checkbox"/>	18	<input checked="" type="checkbox"/>
20 109	Structure annulée						indéterminé	non fouillé	<input type="checkbox"/>	<input type="checkbox"/>	0	<input type="checkbox"/>

n° Tr. n° St.	Type de St.	Description	Long.	Larg.	Dia.	Prof.	Attribution	Fouille	Plan	Coupe	n°	Photo
20 110	Fosse	Forme en plan : oblongue. Comblement : limon sablo-argileux gris clair avec inclusions calcaires, peu compact. Encaissant : limon argilo-sableux brun orangé compact. Niveau d'apparition sous la surface : 0,50 m.	2,50	0,45			moderne	mécanique	<input checked="" type="checkbox"/>	<input type="checkbox"/>	18	<input checked="" type="checkbox"/>
20 131	Fossé	Forme en plan : circulaire, longue extérieurement le mur 107. Comblement en plan : limon argilo-sableux brun gris moyen avec rares inclusions calcaires, compact. Forme en coupe : profil en U. Comblement en coupe : 1- limon argilo-sableux brun gris moyen avec rares inclusions calcaires, compact. 2- limon argilo-sableux brun gris moyen moucheté gris foncé avec inclusions calcaires, compact. Encaissant : limon argilo-sableux brun orangé compact. Niveau d'apparition sous la surface : 0,40 m.	1,95	1,14		0,75	moderne	mécanique	<input checked="" type="checkbox"/>	<input checked="" type="checkbox"/>	18	<input checked="" type="checkbox"/>
21 111	Fossé	Forme en plan : parois rectilignes. Orientation : est / ouest. Comblement en plan : limon argilo-sableux gris moyen moucheté beige avec inclusions noires, compact. Forme en coupe : profil en U. Comblement en coupe : 1- limon sablo-argileux brun gris clair, compact. 2- limon argilo-sableux orange, compact, 3- limon sablo-argileux brun gris clair avec inclusions rouges, compact. Encaissant : limon argilo-sableux brun orangé compact. Niveau d'apparition sous la surface : 0,44 m.	4,30	0,82		0,33	antiquité	manuelle	<input checked="" type="checkbox"/>	<input checked="" type="checkbox"/>	43	<input checked="" type="checkbox"/>
21 112	Fosse	Forme en plan : surcirculaire. Comblement en plan : limon argilo-sableux brun gris clair moucheté de brun orangé, compact. Encaissant : limon argilo-sableux brun orangé compact. Niveau d'apparition sous la surface : 0,60 m.	11,5				moderne	mécanique	<input checked="" type="checkbox"/>	<input type="checkbox"/>	12	<input type="checkbox"/>
21 113	Fosse	Forme en plan : circulaire ? (une partie dans la berme). Comblement : limon sablo-argileux gris moyen à clair moucheté beige avec inclusions noires, compact. Encaissant : limon argilo-sableux brun orangé compact. Niveau d'apparition sous la surface : 0,60 m.			2,02		indéterminé	non fouillé	<input type="checkbox"/>	<input type="checkbox"/>	0	<input type="checkbox"/>

n° Tr. n° St.	Type de St.	Description	Long.	Larg.	Dia.	Prof.	Attribution	Fouille	Plan	Coupe	n°	Photo
21	114	Fosse	1,40	1,33			moderne	non fouillé	<input type="checkbox"/>	<input type="checkbox"/>	0	<input type="checkbox"/>
		Forme en plan : carrée . Complètement : limon sablo-argileux brun orangé marbré noir, peu compact. Interprétation : fosse de plantation. Encaissant : limon argilo-sableux brun orangé compact. Niveau d'apparition sous la surface : 0,68 m.										
22	111	Fossé	4,20	0,56			antiquité	non fouillé	<input type="checkbox"/>	<input type="checkbox"/>	0	<input checked="" type="checkbox"/>
		Forme en plan : parois rectilignes. Orientation : est / ouest. Complètement : limon argilo-sableux gris moyen moucheté beige avec inclusions noires, compact. Encaissant : limon argilo-sableux brun orangé compact. Niveau d'apparition sous la surface : 0,55 m.										
22	115	Fosse			1,26		indéterminé	non fouillé	<input checked="" type="checkbox"/>	<input type="checkbox"/>	0	<input checked="" type="checkbox"/>
		Forme en plan : circulaire ? (limites incertaines). Complètement : limon argilo-sableux brun gris clair à brun clair moucheté beige, compact. Encaissant : limon argilo-sableux brun orangé compact. Niveau d'apparition sous la surface : 0,68 m.										
22	116	Fossé	3,10	0,37		0,15	indéterminé	non fouillé	<input checked="" type="checkbox"/>	<input checked="" type="checkbox"/>	35	<input checked="" type="checkbox"/>
		Forme en plan : parois rectilignes. Orientation : nord-nord-ouest / sud-sud-est. Complètement : limon sablo-argileux brun gris clair moucheté beige, rares inclusions de charbon, peu compact. Forme en coupe : pentes douces, fond arrondi. Encaissant : limon argilo-sableux brun orangé compact. Niveau d'apparition sous la surface : 0,74 m.										
26	126	Fondation de bâtiment	10	4		0,44	moderne	mécanique	<input checked="" type="checkbox"/>	<input checked="" type="checkbox"/>	21	<input checked="" type="checkbox"/>
		Forme en plan : quadrangulaire. Orientation nord-sud. Sondage 1 : profil irrégulier. Etat de conservation variable : 10 à 44 cm d'épaisseur. Plusieurs niveaux lités ont été observés. Il s'agit vraisemblablement d'une alternance de niveaux d'occupation et de niveaux de sol. Tranchée de fondation ou sablière basse repérée au niveau des coupes AB et CD. Une fosse a par ailleurs été identifiée sous les niveaux du bâtiment. Elle abritait les restes complets d'un chien. Encaissant : limon argilo-sableux brun orangé compact. Niveau d'apparition sous la surface : 0,40 m. Et plans n°21, 25, 31.										

n° Tr. n° St.	Type de St.	Description	Long.	Larg.	Dia.	Prof.	Attribution	Fouille	Plan	Coupe	n°	Photo
26	127	Fondation de bâtiment ? Forme en plan : quadrangulaire. Orientation : sud-ouest / nord-est. Encaissant : limon argilo-sableux brun orangé compact. Niveau d'apparition sous la surface : 0,52 m.	4	3			moderne	non fouillé	<input type="checkbox"/>	<input type="checkbox"/>	0	<input type="checkbox"/>
26	128	Fosse Forme en plan : oblongue. Comblement : limon argilo-sableux brun gris avec TCA et plâtre, peu compact. Forme en coupe : U évasé vers le sommet. Comblement en coupe : 1- limon sablo-argileux brun gris moyen avec inclusions calcaires, peu compact. 2- Limon sablo-argileux brun gris moyen, peu compact. 3- Limon sablo-argileux brun gris foncé avec inclusions calcaires, peu compact. 4- Couche de sédiment noire organique, peu compact. Encaissant : limon argilo-sableux brun orangé compact. Niveau d'apparition sous la surface : 0,50 m.	1,50	1	0,60		moderne	manuelle	<input checked="" type="checkbox"/>	<input checked="" type="checkbox"/>	19	<input checked="" type="checkbox"/>
26	129	Fossé Forme en plan : contours rectilignes. Orientation : sud-ouest / nord-est. Comblement en plan et en coupe : limon sablo-argileux brun gris, peu compact. Forme en coupe : parois en pente douce, fond arrondi. Mobilier en surface et à mi-hauteur du comblement. Encaissant : limon argilo-sableux brun orangé compact. Niveau d'apparition sous la surface : 0,70 m.	3,10	1,20	0,37		moderne	manuelle	<input checked="" type="checkbox"/>	<input checked="" type="checkbox"/>	52	<input checked="" type="checkbox"/>
26	130	Indéterminé Structure non fouillée.	2,40	1,40			moderne	non fouillé	<input type="checkbox"/>	<input type="checkbox"/>	0	<input type="checkbox"/>
26	136	Indéterminé Forme en plan : quadrangulaire. Orientation : nord-sud. Comblement : limon argilo-sableux brun gris avec tâches oranges et mortier. Encaissant : limon argilo-sableux brun orangé compact. Niveau d'apparition sous la surface : 0,40 m.	5	2			moderne	non fouillé	<input checked="" type="checkbox"/>	<input type="checkbox"/>	32	<input type="checkbox"/>
26	146	Fossé Forme en plan : contours rectilignes. Orientation : est / ouest. Comblement : limon sablo-argileux brun gris foncé peu compact. Forme en coupe : paroi sud subverticale, paroi nord en pente douce, fond irrégulier. Mobilier découvert à mi-hauteur du comblement. Encaissant : limon argilo-sableux brun orangé compact. Niveau d'apparition sous la surface : 0,66 m.	2,40	0,68	0,18		moderne	manuelle	<input checked="" type="checkbox"/>	<input checked="" type="checkbox"/>	36	<input checked="" type="checkbox"/>

n° Tr. n° St.	Type de St.	Description	Long.	Larg.	Dia.	Prof.	Attribution	Fouille	Plan	Coupe	n°	Photo
27 132	Fossé	Forme en plan : contours rectilignes. Orientation : est / ouest. Comblement : limon argileux orangé avec pierres calcaires, peu compact. Forme en coupe : parois verticales, fond plat. Comblement en coupe : 1- limon argileux orangé avec pierres calcaires, peu compact. 2- limon sableux gris clair marbré brun ocre avec inclusions noires, compact. Présence de gros blocs calcaires. Encaissant : limon argilo-sableux brun orangé compact. Niveau d'apparition sous la surface : 0,68 m.	9	1,05		0,30	contemporain	mécanique	<input type="checkbox"/>	<input type="checkbox"/>	0	<input checked="" type="checkbox"/>
27 137	Trou de poteau	Forme en plan : carrée. Comblement : limon sablo-argileux gris clair avec poteau conservé. Encaissant : limon argilo-sableux brun orangé compact. Niveau d'apparition sous la surface : 1,36 m.		0,30			moderne	non fouillé	<input type="checkbox"/>	<input type="checkbox"/>	0	<input type="checkbox"/>
27 138	Trou de poteau	Forme en plan : carrée. Comblement : limon sablo-argileux gris clair avec poteau conservé. Encaissant : limon argilo-sableux brun orangé compact. Niveau d'apparition sous la surface : 0,90 m.		0,30			moderne	non fouillé	<input type="checkbox"/>	<input type="checkbox"/>	0	<input type="checkbox"/>
27 139	Trou de poteau	Forme en plan : carrée. Comblement : limon sablo-argileux gris clair avec poteau conservé. Encaissant : limon argilo-sableux brun orangé compact. Niveau d'apparition sous la surface : 0,90 m.		0,30			moderne	non fouillé	<input type="checkbox"/>	<input type="checkbox"/>	0	<input type="checkbox"/>

Annexe 2
Inventaire du mobilier
(artefacts / ecofacts)

Inventaire du mobilier (artefacts)

Matériau	n° St.	Description matériau	Datation 1	NR	NMI	Poids	Caisse n°	Boîte n°	Sac n°	Isolat n°
autre	81	1 bouton nacré	indéterminé	1		1		16	199	
autre	128	Lapidaire. Fouille moitié Nord. 6 blocs de plâtre (interprétation : cloisons) : 1 bloc composite avec clou et négatif de bois. 1 bloc avec des traces de mise en forme. 2 blocs avec une feuillure. 2 blocs avec des traces de parois	moderne	6				13	183	
céramique		1 fragment de bord en grès du Beauvaisis. 1 fragment de panse, face externe blanc- crème, face interne gris-noir, pâte grise claire	moderne	2		24		5	101	
céramique		Proche St108. 1 bord, faces externe et interne roses, pâte sableuse grise, céramique fine	indéterminé	1		10		5	121	
céramique		1 bord de céramique semi-grossière, faces externe et interne noires et roses, pâte sableuse rosée	médiéval	1		7		5	112	
céramique	14	1 fond de faïence	contemporain	1		18		5	131	
céramique	19	US 1. 7 fragments de panse. 1 fond, face externe rose glaçurée verte, face interne glaçure verte couvrante, pâte sableuse grise	moderne	8		45		5	151	
céramique	19	US 3. 1 fragment de panse en grès du Beauvaisis	moderne	1		12		5	150	
céramique	26	Profondeur : surface décapage. 1 fragment de panse, face externe marron-brun, face interne noire, pâte sableuse grise, céramique semi-grossière	indéterminé	1		14		5	142	

Matériau	n° St.	Description matériau	Datation 1	NR	NMI	Poids	Caisse n°	Boîte n°	Sac n°	Isolat n°
céramique	46	Sondage 1, profondeur : 20-40 cm. 2 tessons : 1 fragment de panse, faces externe et interne gris clair, pâte sableuse gris foncé, céramique fine. 1 fragment de panse, face externe marron, face interne noire, pâte grise, céramique semi-grossière	antiquité	2		7		5	130	
céramique	50	Ou St 51. 1 bord, face externe rose, face interne beige, pâte sableuse gris-bleu	moderne	1		10		5	103	
céramique	50	Ou St 51, profondeur : surface décapage. 1 tesson, faces externe et interne rosées, pâte sableuse claire	moderne	1		6		5	127	
céramique	51	Sondage 1, profondeur : 40 cm. 1 fragment de bord glaçuré vert, pâte sableuse grise	moderne	1		1		5	120	
céramique	51	Sondage 1, profondeur : 65 cm. 1 bord glaçuré noir et blanc, pâte sableuse claire	moderne	1		3		5	128	
céramique	53	Sondage 1. 1 fragment de panse, face externe noire, face interne rose, pâte sableuse grossière, céramique semi-grossière	indéterminé	1		1		5	132	
céramique	56	Profondeur : surface décapage. 1 fragment de panse, face externe beige, face interne glaçurée vert, pâte sableuse claire	moderne	1		10		5	135	
céramique	57	1 fragment de bord en grès du Beauvaisis	moderne	1		42		5	104	
céramique	65	Sondage 1, profondeur : 0-20 cm. 4 fragments de panse, faces externe et interne noires, pâte rouge	antiquité	5		4		5	124	
céramique	65	Ouverture, profondeur : 45 cm. 1 fragment de panse, faces externe et interne beiges, pâte sableuse rose	indéterminé	1		14		5	122	

Matériau	n° St.	Description matériau	Datation 1	NR	NMI	Poids	Caisse n°	Boîte n°	Sac n°	Isolat n°
céramique	65	Sondage 1, profondeur : 20-40 cm. 3 fragments de panse, faces externe et interne noires, pâte rouge, céramique fine. 9 fragments d'un bord, face externe marron-beige, face interne rose, pâte sableuse claire, céramique fine	antiquité	14		14		5	140	
céramique	65	Sondage 1, profondeur : 40-60 cm. 8 fragments de panse, céramique fine, faces externe et interne noires, pâte rouge	antiquité	8		16		5	118	
céramique	65	Sondage 1. Vase Nord-Ouest. Entre 59 et 65 cm de profondeur sous surface décapage. Une bouteille complète. Erreurs de façonnage sur les faces interne et externe. Lèvre irrégulière. Face interne noire, face externe noire. Pâte rouge. Céramique fine	antiquité	1	1	434		2	15	
céramique	65	Sondage 1. Vase Nord-Est. Entre 57 et 65 cm de profondeur sous surface décapage. Un vase complet. Partie supérieure (col-lèvre) : faces interne et externe noires, pâte rouge. Partie inférieure (panse-fond) : face externe orange, plage noire, face interne brun rouge, pâte orange. Céramique fine	antiquité	100	1	747		5	19	
céramique	65	Sondage 1. Vase Sud-Ouest. Entre 56 et 70 cm de profondeur sous surface décapage. Un fragment de vase écrasé en place. Surfaces externe et interne noires, pâte rouge. Céramique fine	antiquité	37	1	147		5	18	
céramique	65	Sondage 1. Vase Sud-Est. Entre 63 et 68 cm de profondeur sous surface décapage. Faces externe et interne noires, pâte rouge. Céramique fine	antiquité	90	1	443		9	20	
céramique	75	Profondeur : surface décapage. 1 vase sub-complet de céramique fine, faces externe et interne noires en moitié supérieure. Face externe noire, face interne rose en moitié inférieure. Pâte rouge	antiquité	50		140		5	115	

Matériau	n° St.	Description matériau	Datation I	NR	NMI	Poids	Caisse n°	Boîte n°	Sac n°	Isolat n°
céramique	75	Sondage 1, profondeur : 40-60 cm. 1 bord de céramique faces externe et interne noires, pâte rouge	antiquité	3	1	16		5	102	
céramique	76	Profondeur : surface décapage. 1 fragment de fond, face externe marron, face interne grise, pâte très granuleuse brun-rouge, dégraissant à base de quartz, céramique grossière	antiquité	1		10		5	143	
céramique	80	Profondeur : surface décapage. 1 tesson de faïence	contemporain	1		14		5	99	
céramique	81	US 26. 1 bord de céramique fine : face externe glaçurée ocre, face interne glaçurée ocre-orangé, pâte sableuse rose	médiéval	2		2		5	100	
céramique	81	Sondage 1, pavage, profondeur : 60-90 cm. 5 fragments de parise, face externe grise, face interne beige, pâte sableuse grise. 1 fragment d'anse, faces externe et interne glaçurées jaune, pâte sableuse claire	moderne	6		225		5	149	
céramique	81	Profondeur : 40-60 cm. 1 anse, faces externe et interne glaçurées marron-jaune, pâte sableuse claire	moderne	1		60		5	108	
céramique	81	US 24. 1 fond de faïence	contemporain	1		21		5	113	
céramique	81	Sondage 1, profondeur : 80-100 cm. 1 tesson, face externe ou interne noire, face externe ou interne glaçurée jaune, pâte sableuse claire	médiéval	1		5		5	137	
céramique	86	11 fragments de panse dont 1 fragment décoré, face externe orange, face interne noire, céramique grossière, dégraissant grossier et 1 bord	protohistoire	11	1	50		5	126	
céramique	87	Profondeur : surface décapage. 12 fragments de panse d'un même vase. faces externe et interne marron clair, pâte sableuse claire, céramique fine	antiquité	12		15		5	147	

Matériau	n° St.	Description matériau	Datation 1	NR	NMI	Poids	Caisse n°	Boîte n°	Sac n°	Isolat n°
céramique	90	1 fragment de panse, faces externe et interne noires, pâte rouge	antiquité	1		3		5	133	
céramique	90	Profondeur : surface découpée. 1 bord, faces externe et interne roses, pâte rose	antiquité	1		3		5	164	
céramique	94	Au niveau du genou gauche. Une cruche complète. Surfaces interne et externe rose-crème, pâte rouge-orangé. Intérieur de la cruche vide. Céramique fine. Sédiment issu du vase tamisé avec mailles à 2mm et 500 microns évacué faute de vestiges organiques	antiquité	1	1	390		3	16	
céramique	94	Au niveau du coude droit. Un gobelet complet. Surfaces interne et externe gris clair. Céramique fine. Refus de tamis avec maille à 2 mm évacué faute de vestiges organiques	antiquité	1	1	156		4	17	
céramique	94	Profondeur : 20-40 cm, moitié Ouest. 2 fragments de panse de céramique fine, face externe noire, plage beige, face interne grise claire, pâte grise foncée	antiquité	2		18		5	94	
céramique	94	Profondeur : 0-10 cm, moitié Ouest. 2 tessons de céramique fine : 1 à face externe noire, face interne grise claire, âme de la pâte grise. 1 à faces interne et externe noires, pâte rose	antiquité	2		17		5	95	
céramique	94	Profondeur : 5-10 cm, moitié Est. 1 bord, faces externe et interne noires, pâte grise foncée, céramique fine. 1 fragment de panse, face externe noire, face interne grise claire, pâte grise. 1 fragment de panse, face externe marron-gris, face interne grise claire, pâte rose	antiquité	3		11		5	96	
céramique	94	Profondeur : 0-5 cm, moitié Est. 2 tessons de céramique fine : 1 fragment de panse, face externe noire, face interne grise claire, pâte grise. 1 bord, faces externe et interne noires mouchetées rose, pâte grise	antiquité	2		4		5	97	

Matériau	n° St.	Description matériau	Datation 1	NR	NMI	Poids	Caisse n°	Boîte n°	Sac n°	Isolat n°
céramique	94	Profondeur : 10-20 cm, moitié Est. Faces externe et interne grises, pâte grise	antiquité	1		2		5	98	
céramique	94	Profondeur : 20-30 cm, moitié Ouest. 1 tesson céramique fine, face externe noire, face interne grise, pâte gris-noir	antiquité	1		2		5	93	
céramique	96	Sondage 1. 1 fragment de bord, faces externe et interne noires, pâte brun foncé, céramique fine. 1 fragment de panse, faces externe et interne noires, pâte rouge, céramique fine	antiquité	2		4		5	136	
céramique	96	Profondeur : surface décapage. 2 tessons, céramique fine, faces externe et interne noires, pâte rouge	antiquité	2		1		5	119	
céramique	96	Ouverture Ouest, profondeur : surface. 2 fragments de céramique fine, face externe brun-gris, face interne brun clair, pâte très granuleuse rose-orangé, dégraissant à base de quartz. Les 25 autres tessons appartiennent à un même vase de céramique fine : un fragment de bord, faces externe et interne rose, pâte rose	antiquité	27	2	38		5	109	
céramique	99	1 fragment de panse, face externe noire, face interne gris-noir, pâte sableuse gris clair, céramique fine	antiquité	1		6		5	134	
céramique	99	3 fragments de panse, face externe noire, face interne noire à grise, pâte sableuse claire ou grise	antiquité	3		17		5	146	
céramique	100	Sondage 1, profondeur : 45 cm. 1 fragment de panse, céramique fine, faces externe et interne noires, pâte grise	antiquité	1		2		5	117	

Matériau	n° St.	Description matériau	Datation 1	NR	NMI	Poids	Caisse n°	Boîte n°	Sac n°	Isolat n°
céramique	100	Profondeur : surface découpée. 4 tessons de céramique fine, faces externe et interne noires, pâte rouge dont un fond. 1 bord de céramique fine, faces externe et interne grises, pâte grise. 2 bords de céramique fine, faces externe et interne blanc-crème, pâte grise. 1 fragment de panse de céramique fine, pâte sableuse grise, faces externe et interne roses. 1 fragment de fond de céramique semi-grossière, faces externe et interne grises, pâte sableuse grise	antiquité	9		71		5	105	
céramique	100	Sondage 1, profondeur : 40 cm. 1 fragment de bord, face externe gris-noir, face interne noire, pâte sableuse claire, céramique fine. 1 fragment de panse, faces externe et interne grises, pâte sableuse grise	antiquité	3		37		5	145	
céramique	107	1 tesson en grès du Beauvaisis	moderne	1		3		5	111	
céramique	107	Niveau d'apparition : découpage. 1 fragment de fond face externe beige-rosé, face interne glaçurée verte, pâte blanc-crème	moderne	1		4		5	22	
céramique	111	Profondeur : surface découpée. 1 fragment de céramique brûlée	indéterminé	1		10		5	144	
céramique	111	Nettoyage surface. 1 tesson, face externe beige, face interne rose, pâte sableuse claire, céramique fine	indéterminé	1		1		5	123	
céramique	112	1 fragment de fond en grès du Beauvaisis	moderne	1		9		5	23	
céramique	119	1 fragment de panse, face externe rouge, face interne noire, pâte grossière	protohistorique	3		2		5	107	
céramique	120	Profondeur : 50 cm. 1 fragment de panse, face externe noire, face interne rose, céramique grossière, dégraissant grossier	protohistorique	1		8		5	138	

Matériau	n° St.	Description matériau	Datation 1	NR	NMI	Poids	Caisse n°	Boîte n°	Sac n°	Isolat n°
céramique	122	2 fragments de panse, céramique fine, face externe ou interne noire, face externe ou interne grise, pâte sableuse claire	antiquité	2		3		5	139	
céramique	124	7 tessons, céramique grossière	préhistoire	7	1	9		5	141	
céramique	125	Profondeur : décapage. 1 fragment de panse, face externe rose clair, face interne beige, pâte rose	indéterminé	1		3		5	106	
céramique	126	Sondage 1, profondeur : 0-20 cm. 1 bord de céramique grossière, faces externe et interne roses glaçurée verte, pâte sableuse claire. 4 fragments d'une assiette, faces externe et interne blanches, pâte sableuse rose. 1 bord faces externe glaçurée marron et jaune, face interne rose glaçurée jaune, pâte sableuse rose. 1 anse glaçurée brun-jaune, pâte sableuse rose. 3 tessons à pâte sableuse claire	moderne	10		247		5	116	
céramique	126	Profondeur : surface. 2 fragments d'un bord en grès du Beauvaisis. 3 fragments d'une céramique à pâte sableuse grise, faces externe et interne roses glaçurées vert ou jaune	moderne	5	2	118		5	110	
céramique	126	Sondage 1, fosse avec chien. 1 panse de cruche, pâte sableuse claire. 1 fragment de panse, face interne glaçurée verte, face externe beige rare glaçurage vert, pâte sableuse rose. 1 tesson, faces externe et interne beige, pâte sableuse claire	moderne	3		173		5	148	
céramique	126	Sondage 1. US 30. 1 bord de céramique à pâte sableuse, rose beige. 1 fragment de fond de vase, face interne engobe marron-jaune, face externe pâte sableuse rose-beige glaçurée verte, pâte rose.	moderne	3	2	176		5	21	
céramique	131	Sondage 1. 1 tesson, faces externe et interne gris clair, pâte sableuse noire	indéterminé	1		62		5	125	

Matériau	n° St.	Description matériau	Datation 1	NR	NMI	Poids	Caisse n°	Boîte n°	Sac n°	Isolat n°
céramique	134	1 fragment d'assiette en porcelaine, face interne décorée. 1 bord d'assiette	moderne	2		32		5	152	
céramique	134	1 fragment de panse, face externe marron, face interne grise, pâte sableuse marron	moderne	1		9		5	129	
céramique	135	1 fragment de panse de céramique semi-grossière, faces externe et interne grises, pâte grise	antiquité	1		10		5	114	
lithique		1 fragment de silex secondaire, pâte blanche + plage de néo-cortex	indéterminé	1				1	12	
lithique	57	Profondeur : interface terre végétale. 1 éclat laminaire à dos. Un place corticale rugueuse en partie distale. Léger voile blanc, arêtes fraîches. Percussion dure. Enlèvements unipolaires perpendiculaires à l'axe de plus grande dimension de l'éclat. Support brut sans retouche. Interprétation : éclat d'aménagement de nucléus	préhistorique	1				1	14	
lithique	61	Profondeur : surface décapage. 1 éclat en silex secondaire, léger voile blanc. Talon lisse incliné. Percussion dure. Support brut. Abrasion au niveau du talon. Présence d'une plage de corticale sur le bord latéral gauche. Interprétation : éclat légèrement rebroussé, aménagement d'une surface de débitage	indéterminé	1				1	13	
lithique	65	Sondage 1, profondeur -20/-40 cm. 1 éclat allongé (6cm de long, 2 cm de large). Silex secondaire. Plage corticale inférieure à 50% de la surface supérieure, rugueuse en partie distale. Talon facetté à angles abruptes. Percussion dure. Trois enlèvements perpendiculaires à l'axe de plus grande dimension.	indéterminé	1				1	11	
lithique	66	1 outil sur plaquette. Enlèvements sur le bord latéral (unifacial et abrute) et distal (bifacial et séquent)	indéterminé	1				1	24	

Matériau	n° St.	Description matériau	Datation 1	NR	NMI	Poids	Caisse n°	Boîte n°	Sac n°	Isolat n°
lithique	99	Sondage 1, US 01. 1 fragment de meule dominante en grès	indéterminé	1		1329		1	25	
lithique	121	Profondeur -39 cm. 1 éclat en silex secondaire (2,5 cm de diamètre), pâte blanche, arêtes et nervures émoussées. Une plage corticale sur la partie distale. Enlèvements unipolaires à plan de frappe subparallèle. Percussion dure. Support brut	préhistoire	1				1	10	
lithique	123	1 fragment de silex chauffé	indéterminé	1				1	9	
métal		1 fragment indéterminé	indéterminé	1		10		6	39	
métal	7	Profondeur : surface décapage. 1 indéterminé	indéterminé	1		135		8	85	
métal	9	1 clou de menuiserie	indéterminé	1		17		6	46	
métal	14	Profondeur : décapage. 1 indéterminé	indéterminé	1		23		6	47	
métal	18	1 tige et 1 indéterminé	indéterminé	2		46		8	82	
métal	19	US 01. 1 clou de charpente. 1 tige indéterminée. 4 fragments indéterminés	indéterminé	6		76		6	34	
métal	19	US 04. 1 douille de percussion de balle de chasse (alliage cuivreux)	contemporain	1		8		6	33	
métal	20	Profondeur : surface. 1 clou de ferrure de fer à cheval, tête en tête de violon	indéterminé	1		12		8	84	
métal	37	Profondeur : surface. 1 clou de menuiserie	indéterminé	1		7		8	81	
métal	46	Sondage 1. 1 clou de menuiserie	indéterminé	1		18		6	42	
métal	48	Profondeur : surface. 1 clou cavalier (clôture)	contemporain	1		32		8	83	

Matériau	n° St.	Description matériau	Datation 1	NR	NMI	Poids	Caisse n°	Boîte n°	Sac n°	Isolat n°
métal	50	Fossé 50 ou 51 ? 1 scorie	indéterminé	1		15		6	27	
métal	57	1 busandale	indéterminé	1	1	376		6	28	
métal	65	Sondage 1. 1 indéterminé	indéterminé	1		4		8	88	
métal	69	Sondage 1. Profondeur : surface. 1 fragment indéterminé	indéterminé	1		10		6	31	
métal	80	Profondeur : surface décapage. 1 clou cavalier (clotûre)	contemporain	1		25		6	43	
métal	81	Sondage 1. Profondeur : 60-80 cm. 1 fragment de clou tête homme.	indéterminé	1		1		6	32	
métal	81	Sondage 1. Profondeur : 100-120 cm. 1 indéterminé	indéterminé	1		267		6	37	
métal	81	Sondage 1. Profondeur : 80-100 cm. 1 fragment indéterminé	indéterminé	1		29		6	40	
métal	81	Sondage 1. Profondeur : 120-140 cm. 2 fragments indéterminés	indéterminé	2		223		6	26	
métal	93	2 fragments indéterminés	indéterminé	2		35		6	44	
métal	94	Clou n°4. 1 indéterminé	antiquité	1		3		6	61	
métal	94	Clous de menuiserie à tête plate discoïde et à tige de section quadrangulaire	antiquité	24		102		6	62	
métal	94	Clou n°3. 1 clou de menuiserie à tête plate discoïde et à tige de section quadrangulaire	antiquité	1		15		6	60	
métal	94	Clous près du genou droit. 4 clous, traces de fibres végétales (bois)	antiquité	4		48		8	92	

Matériau	n° St.	Description matériau	Datation 1	NR	NMI	Poids	Caisse n°	Boîte n°	Sac n°	Isolat n°
métal	94	Clou près avant-bras droit. 1 clou de menuiserie à tête plate discoïde et à tige de section quadrangulaire	antiquité	1		8		6	63	
métal	94	Clou près du cou. 1 clou de menuiserie à tête plate discoïde et à tige de section quadrangulaire	antiquité	1		10		6	64	
métal	94	Clou n°H. 1 clou de menuiserie à tête plate discoïde et à tige de section quadrangulaire	antiquité	2		24		6	59	
métal	94	Clous près de la jambe droite. 2 clous de menuiserie à tête plate discoïde et à tige de section quadrangulaire	antiquité	2		14		6	65	
métal	94	Clou n°B. 1 tête de clou plate bombée (tapissier ?)	antiquité	1		4		6	66	
métal	94	2 clous de menuiserie à tête plate discoïde et à tige de section quadrangulaire	antiquité	2		14		6	67	
métal	94	Clou sur coxal droit. 1 tige	antiquité	1		5		6	68	
métal	94	Clou n°1. 1 tige	antiquité	1		9		6	69	
métal	94	Clou n°G. 1 clou de menuiserie à tête plate discoïde et à tige de section quadrangulaire	antiquité	1		16		6	70	
métal	94	Clou n°E. 1 tête de clou plate bombée (tapissier ?)	antiquité	1		3		6	71	
métal	94	Clous autour du gobelet. 8 fragments de clous dont des clous de menuiserie	antiquité	8		50		6	72	
métal	94	Clou n°1. 2 clous de menuiserie (conservation médiocre)	antiquité	2		20		6	73	
métal	94	Clous n°D. Clous appartenant à une chaussure après radiographie au CH de Pontoise.	antiquité					7	75	

Matériau	n° St.	Description matériau	Datation 1	NR	NMI	Poids	Caisse n°	Boîte n°	Sac n°	Isolat n°
métal	94	Clou n°7, profondeur -17 cm. 1 clou de menuiserie à tête plate discoïde et à tige de section quadrangulaire	antiquité	1		10		6	57	
métal	94	Clou n°C, près épaule gauche. Clou de menuiserie	antiquité	1				8	91	
métal	94	Clous près de la cheville droite. 3 clous de menuiserie dont 2 de menuiserie	antiquité	3	3	33		8	90	
métal	94	Clou près du pied gauche. 1 clou à tête bombée	antiquité	1	1	35		8	89	
métal	94	Clous près épiphyse distale fémur droit. 2 clous de menuiserie à tête plate discoïde et à tige de section quadrangulaire	antiquité	2		37		6	74	
métal	94	1 clou de menuiserie	antiquité	1		6		6	36	
métal	94	Clou n°5. 1 clou de menuiserie à tête plate discoïde et à tige de section quadrangulaire	antiquité	1		13		6	49	
métal	94	Clou n°9. 1 clou de menuiserie à tête plate discoïde et à tige de section quadrangulaire	antiquité	1		8		6	48	
métal	94	2 clous de menuiserie à tête plate discoïde et à tige de section quadrangulaire	antiquité	2		11		6	50	
métal	94	Clou n°6, profondeur -25 cm. 1 tige indéterminée	antiquité	1		3		6	58	
métal	94	Clou n°2. 1 fragment de tige	antiquité	1		2		6	51	
métal	94	Profondeur : 0-5 cm, moitié Est. 1 clou de menuiserie	antiquité	2		7		6	52	
métal	94	Clou n°8, profondeur -26 cm. 1 clou de menuiserie	antiquité	2		10		6	53	

Matériau	n° St.	Description matériau	Datation 1	NR	NMI	Poids	Caisse n°	Boîte n°	Sac n°	Isolat n°
métal	94	Clous autour des jambes et des pieds. 2 clous de menuiserie à tête plate discoïde et à tige de section quadrangulaire	antiquité	6	2	44		6	56	
métal	94	Profondeur : 10-20 cm, moitié Est. 1 indéterminé	antiquité	1		7		6	55	
métal	94	Profondeur : 5-10 cm, moitié Est. 1 fragment indéterminé	antiquité	1		1		6	54	
métal	96	Monnaie : sestercé ?, décapage	antiquité	1	1			18	1	
métal	96	Ouverture Ouest, profondeur : surface. 1 clou de menuiserie	indéterminé	1		7		8	79	
métal	96	Monnaie : sestercé ?, profondeur : 13 cm	antiquité	1	1			18	8	
métal	96	Monnaie : sestercé ?, profondeur : 10 cm	antiquité	1	1			18	7	
métal	96	Monnaie : sestercé ?, profondeur : 5 cm	antiquité	1	1			18	6	
métal	96	Monnaie, profondeur : 5 cm	antiquité	1	1			18	5	
métal	96	Monnaie : sestercé ? Profondeur : 7 cm	antiquité	1	1			18	4	
métal	96	Monnaie ? Profondeur : 7 cm	antiquité	1	1			18	3	
métal	96	Monnaie : sestercé ?, profondeur : 3 cm	antiquité	1	1			18	2	
métal	106	1 boulon	contemporain	1		16		6	45	
métal	107	Décapage. 1 fragment de lame de couteau	indéterminé	1		27		6	41	
métal	107	Eléments indéterminés	indéterminé	14		752		8	77	
métal	107	1 fragment de fer à cheval	indéterminé	1		174		6	38	

Matériau	n° St.	Description matériau	Datation I	NR	NMI	Poids	Caisse n°	Boîte n°	Sac n°	Isolat n°
métal	125	Profondeur : décapage. 1 indéterminé	indéterminé	1		4		8	80	
métal	126	Sondage 1, profondeur 0-20 cm. 1 déchet de fonderie (mâchefer)	moderne	1		21		8	78	
métal	126	Profondeur : surface. 1 tige	indéterminé	1		32		8	86	
métal	128	Fouille moitié Nord. 11 indéterminés	indéterminé	11		779		8	87	
métal	131	Clavette ?	indéterminé	1		788		8	76	
métal	136	136.1. 1 fragment de fer à cheval	indéterminé	1		98		6	29	
métal	140	1 tige indéterminée	indéterminé	1		3		6	35	
métal	146	1 fragment indéterminé	indéterminé	1		4		6	30	
TCA	17	1 fragment de TCA	indéterminé	1		12		11	163	
TCA	19	US 4. 2 fragments de TCA	indéterminé	2		18		11	171	
TCA	19	Sondage 1. 2 fragments de TCA	indéterminé	2		12		11	159	
TCA	19	US 1. 15 fragments de TCA	indéterminé	15		300		11	176	
TCA	36	Profondeur : surface décapage. 1 fragment de TCA	indéterminé	1		19		11	161	
TCA	50	Ou St 51. 1 fragment de TCA	indéterminé	1		50		11	169	
TCA	50	Ou St 51. 4 fragments de TCA	indéterminé	4		42		11	173	
TCA	81	Sondage 1, profondeur : 60-80 cm. 2 fragments de TCA	indéterminé	2		56		11	174	

Matériau	n° St.	Description matériau	Datation I	NR	NMI	Poids	Caisse n°	Boîte n°	Sac n°	Isolat n°
TCA	81	Sondage 1, profondeur : 100-120 cm. 1 fragment de TCA	indéterminé	1		8		11	162	
TCA	81	Sondage 1, profondeur : 120-140 cm. 2 fragments de TCA	indéterminé	2		210		11	180	
TCA	89	1 fragments de TCA	indéterminé	1		41		11	179	
TCA	105	1 fragment de TCA	indéterminé	1		46		11	172	
TCA	106	1 fragment de TCA	indéterminé	1		51		11	167	
TCA	112	5 fragments de TCA	indéterminé	5		181		11	160	
TCA	126	Sondage 1, profondeur : 0-20 cm. 1 fragment de TCA	indéterminé	1		138		11	165	
TCA	128	Moitié Nord. 4 fragments de TCA (présence possible de tuiles)	indéterminé	4		323		11	166	
TCA	129	Profondeur : surface. 12 fragments de TCA	indéterminé	12		693		11	175	
TCA	131	Sondage 1. 2 fragments de TCA	indéterminé	2		78		11	177	
TCA	134	4 fragments de TCA	indéterminé	4		105		11	168	
TCA	146	Sondage 1. 3 fragments de TCA	indéterminé	3		215		11	178	
terre rubéfiée	112	Profondeur : surface. 1 fragment de terre cuite	indéterminé	1		6		11	170	
verre	2	Moitié Nord, profondeur 0-20 cm. 1 fragment de verre	contemporain	1		5		15	187	
verre	19	US 4. 1 fond. 1 fragment de panse	indéterminé	2		33		15	188	
verre	19	US 1. 2 fragments de panse	moderne	2		9		15	186	

Matériau	n° St.	Description matériau	Datation 1	NR	NMI	Poids	Caisse n°	Boîte n°	Sac n°	Isolat n°
verre	81	Sondage 1, profondeur 80-110 cm, bordier Nord-Ouest. 1 fragment de col. 1 fragment de fond. 60 fragments de panse	indéterminé	62		591		14	185	
verre	81	Sondage 1, profondeur 80-110 cm, bordier Nord-Ouest. 9 fragments de fond. 3 fragments de col. 34 fragments de panse	indéterminé	46		1930		14	184	
verre	81	US 26. 1 fragment de verre	indéterminé	1		16		15	191	
verre	81	Sondage 1, profondeur 60-80 cm. 1 fragment de verre	moderne	1		3		15	192	
verre	81	Sondage 1, profondeur : 120-140 cm. 6 fragments de fond de bouteille	indéterminé	3		379		15	193	
verre	81	US 24. 1 fragment de verre	indéterminé	1		21		15	194	
verre	81	Sondage 1, profondeur : 60-80 cm. 1 fond de bouteille	indéterminé	1		47		15	197	
verre	105	Nettoyage surface. 1 fragment de verre	indéterminé	1		2		15	196	
verre	107	1 fragment de verre	indéterminé	1		6		15	198	
verre	107	1 fragment de panse de bouteille	indéterminé	1		13		15	190	
verre	107	Sondage 1. 1 fragment de verre	indéterminé	1		9		15	195	
verre	136	1 fragment de fiole de médicament	moderne	1		14		15	189	

Inventaire du mobilier (écofacts)

Matériau	n° St.	Description matériau	Datation 1	NR	NMI	Poids	Caisse n°	Boîte n°	Sac n°	Isolat n°
organique	75	Prélèvement dans céramique complète. Refus de tamis avec maille à 500 microns : présence de micro-faune, charbons, graine ?	indéterminé					12	182	
organique	94	Refus de tamis avec maille à 500 microns : présence possible de graines	antiquité					12	181	
os		Hors contexte dans un sillon, profondeur : 80 cm. 100 fragments et esquilles de tête osseuse de bovidé	indéterminé	100		368		17	203	
os	19	US 4. 2 fragments d'os longs (conservation médiocre)	indéterminé	2		1		17	214	
os	19	US 1. 2 fragments indéterminés	indéterminé	2		1		17	222	
os	25	Profondeur : surface, os bougés au décapage et à la fouille. Chien ? 1 molaire et 2 dents indéterminées. 9 fragments d'os longs. 44 fragments indéterminés	indéterminé	56		47		17	211	
os	25	Bas de patte. Un sujet immature (chien). Un fémur gauche avec épiphyse distale non encore soudée. 1/3 proximal de la diaphyse du fémur droit ? 2 épiphyses d'os longs. 11 points d'ossification secondaire non encore soudés. 2 fragments d'os plats (coxal ?). 6 fragments d'os longs. 9 fragments indéterminés. 35 esquilles indéterminées	indéterminé	67		66		17	200	

Matériau	n° St.	Description matériau	Datation 1	NR	NMI	Poids	Caisse n°	Boîte n°	Sac n°	Isolat n°
os	50	Ou St 51. 2/3 distaux d'un métatarsien de chien ? (conservation médiocre)	indéterminé	1		85		17	212	
os	51	Sondage 1, profondeur : 65-80 cm. 1 fragment d'os plat indéterminé	indéterminé	1		12		17	224	
os	69	Profondeur : surface. 1 fragment d'os long	indéterminé	1		2		17	208	
os	81	Sondage 1, profondeur : 100 cm. 1 fragment de côte de grand ruminant (bovidé), côte sciée. Squelette partiel de chien (probablement même individu) : tête osseuse subcomplète avec 5 fragments de crâne, maxillaire complet, fragment de mandibule (gauche ?) avec 4 dents. 3 fragments de côtes avec extrémités vertébrales. 3 vertèbres complètes ou subcomplètes. Une scapula. Un humérus. Un fémur gauche. 3/4 distaux des tibias droit et gauche. 2 diaphyses d'os longs indéterminés	indéterminé	21		87		17	201	
os	81	Sondage 1, profondeur : 100-120 cm. 3 fragments indéterminés	indéterminé	3		4		17	206	
os	81	1 talus de cheval (cassure franche due à pelle mécanique ?)	indéterminé	1		84		17	209	
os	83	Profondeur : surface décapage. 1 fragment de diaphyse d'os long (conservation médiocre)	indéterminé	1		17		17	213	
os	94	Moitié Est, profondeur : 0-20 cm. 1 fragment de faune brûlée	indéterminé	1		1		17	227	

Matériau	n° St.	Description matériau	Datation 1	NR	NMI	Poids	Caisse n°	Boîte n°	Sac n°	Isolat n°
OS	96	Ouverture Ouest, profondeur : surface. 1 extrémité d'os long, trace de découpe	indéterminé	1		5		17	207	
OS	100	Sondage 1, profondeur : 125 cm. Deux vertèbres cervicales de grand ruminant (bovidé ou cheval), sujet immature car fosse vertébrale non encore soudée au corps vertébral	indéterminé	6		179		17	226	
OS	100	Sondage 1, profondeur : 125 cm. Ossements de bovidé : 2 vertèbres et 2 fragments d'un point d'ossification secondaire non encore soudé concave ? 5 fragments indéterminés	indéterminé	9		124		17	202	
OS	100	Sondage 1, profondeur : 100 cm. 1 radius droit de cheval (traces de découpe en partie distale). 1 fragment d'os de carpe ou tarse de bovidé ou cheval. 4 fragments indéterminés.	indéterminé	6		344		17	218	
OS	100	Sondage 1, profondeur : 50 cm. 1 os long de grand de grand ruminant	indéterminé	40		123		17	225	
OS	100	Sondage 1, profondeur : 120 cm. 1 tibia gauche de bovidé (traces de découpe sur extrémité distale)	indéterminé	8		313		17	217	
OS	100	Sondage 1, profondeur : 125 cm. 1 fémur gauche de bovidé (potentielle trace de découpe sur un condyle)	indéterminé	12		593		17	223	
OS	107	3 fragments indéterminés	indéterminé	3		5		17	205	

Matériau	n° St.	Description matériau	Datation 1	NR	NMI	Poids	Caisse n°	Boîte n°	Sac n°	Isolat n°
os	111	8 fragments de dents de petit ruminant ?	indéterminé	8		5		17	210	
os	125	Profondeur : surface décapage. 1 phalange de chien ?	indéterminé	1		5		17	220	
os	126	Profondeur : surface. 1/2 corne de bovidé avec nombreuses traces de découpe. 1 défense de suidé. 4 incisives de suidé ? 1 molaire de suidé ? 2 dents de chien. 1 fragment de mandibule de chien avec 3 dents associées. 1 extrémité vertébrale de côte de bovidé (avec trace de découpe). 1 talus droit de cheval. 1 extrémité distal de tibia de cheval. 1/4 proximal de tibia de cheval. 2 fragments d'os longs de grand ruminant. 2 os longs indéterminés. 9 fragments d'os longs indéterminés. 22 fragments indéterminés	indéterminé	49		567		17	216	
os	126	Sondage 1, profondeur : 0-20 cm. 3 fragments de mandibule de capridé. 1 scapula de capridé ? 1 os long indéterminé	indéterminé	5		112		17	228	
os	126	Sondage 1, fosse avec chien complet. Membres supérieurs : les 2 humérus, les 2 radius, les 2 ulnas. Membres inférieurs : les 2 fémurs, les 2 tibias, 5 fragments de fibulas. 14 métacarpiens ou métatarsiens. Tarse : 2 calcaneus, 2 talus, 2 cuboïdes, 2 cunéiformes latéraux, naviculaire gauche. Carpe : scapho-lunaire droit. 5 os du carpe ou du tarse. 24 phalanges. 1 fragment os hyoïde ? 50 fragments indéterminés.	indéterminé	126		598		17	230	
os	126	Sondage 1, profondeur : 0-20 cm. 1 dent de petit ruminant. 1 fragment de côte. 2 fragments indéterminés.	indéterminé	4		11		17	219	

Matériau	n° St.	Description matériau	Datation 1	NR	NMI	Poids	Caisse n°	Boîte n°	Sac n°	Isolat n°
os	126	Sondage 1, fosse avec chien complet. Tête osseuse : crâne subcomplet (8 fragments avec 7 dents maxillaires associées). Mandibule gauche complète avec les 10 dents associées. Mandibule droite subcomplet avec 6 dents associées. 13 dents isolées. Vertèbres : les 7 vertèbres cervicales, les 13 vertèbres thoraciques, 3 vertèbres lombaires (l1ème à l7ème). Côtes : 21 côtes partielles ou complètes avec extrémité vertébrale, 11 fragments de côtes avec extrémité sternale, 18 fragments de côtes indéterminés. Scapulas : scapula gauche subcomplet, scapula droite conservée en partie humérale. Coxal : fragment de l'ilium gauche. 9 fragments d'os plats indéterminés	indéterminé	111		759		17	229	
os	131	Sondage 1. Un radius gauche de cheval	indéterminé	1		344		17	204	
os	135	1/3 proximal de fémur gauche de chien ? (conservation médiocre). 1 fragment indéterminé	indéterminé	2		23		17	215	
os	136	Un calcaneus indéterminé	indéterminé	1		6		17	221	
oshumain	94	Tête osseuse : un crâne + une mandibule. Une molaire permanente en évolution. Une dent cariée. Os très érodés, une grande partie des ossements n'a pas résisté au lavage	antiquité	2				10	153	
oshumain	94	Membres inférieurs : 1/3 proximal de la diaphyse du fémur droit. 30 esquilles d'os longs droits. Os très érodés, une grande partie des ossements n'ont pas résisté au lavage. 20 esquilles de diaphyse du fémur gauche. Os très érodés, une grande partie des ossements n'ont pas résisté au lavage	antiquité	31				10	158	

Matériau	n° St.	Description matériau	Datation 1	NR	NMI	Poids	Caisse n°	Boîte n°	Sac n°	Isolat n°
oshumain	94	Membres supérieurs : 2/3 distaux de l'humérus gauche (V deltoïdien pathologique). 2/3 proximaux de la diaphyse du radius gauche. 9 esquilles de l'ulna gauche. Os très érodés, une grande partie des ossements n'ont pas résisté au lavage. 2/3 distaux de l'humérus droit (V deltoïdien pathologique). 16 esquilles du radius ou ulna droit. Os très érodés, une grande partie des ossements n'ont pas résisté au lavage	antiquité	28				10	157	
oshumain	94	Ceinture des membres inférieurs : 10 fragments de l'ilium droit ou gauche. Os très érodés, une grande partie des ossements n'a pas résisté au lavage	antiquité	10				10	156	
oshumain	94	Ceinture des membres supérieurs : 10 esquilles de scapula ou clavicule gauche. 3 esquilles de scapula ou clavicule droite. Os très érodés, une grande partie des ossements n'a pas résisté au lavage	antiquité	13				10	155	
oshumain	94	Cage thoracique : 5 fragments de côtes. 1 fragment d'atlas (arc antérieur). 1 fragment de manubrium	antiquité	7				10	154	

Annexe 3

Inventaire des photographies

Légende

JGP	Jean-Gabriel PARIAT
MD	Morgane DECOFOUR
PC	Pauline CARVALHO
PW	Patrice WUSCHER

NOM du fichier	N°structure	description	Auteur
ARC13N13525-001	T1 F2	Plan après nettoyage	MD
ARC13N13525-002	T1 F2	Plan après nettoyage	MD
ARC13N13525-003	T1 F2	Plan après nettoyage	MD
ARC13N13525-004	T1 F3	Plan après nettoyage	MD
ARC13N13525-005	T1 F3	Plan après nettoyage	MD
ARC13N13525-006	T1 F4	Plan après nettoyage	MD
ARC13N13525-007	T1 F4	Plan après nettoyage	MD
ARC13N13525-008	T1 F5	Plan après nettoyage	MD
ARC13N13525-009	T1 F5	Plan après nettoyage	MD
ARC13N13525-010	T1 Fo6	Plan après nettoyage	MD
ARC13N13525-011	T1 Fo6	Plan après nettoyage	MD
ARC13N13525-012	T1 St7	Niveau d'apparition après décapage	MD
ARC13N13525-013	T1 St7	Niveau d'apparition après décapage	MD
ARC13N13525-014	T2 F8	Plan après nettoyage	PC
ARC13N13525-015	T2 F8	Plan après nettoyage	PC
ARC13N13525-016	T2 F8	Plan après nettoyage	PC
ARC13N13525-017	T2 F9	Plan après nettoyage	MD
ARC13N13525-018	T2 F9	Plan après nettoyage	MD
ARC13N13525-019	T2 F10	Plan après nettoyage	MD
ARC13N13525-020	T2 F10	Plan après nettoyage	MD
ARC13N13525-021	T2 F11	Plan après nettoyage	PC
ARC13N13525-022	T2 F11	Plan après nettoyage	PC
ARC13N13525-023	T2 F11	Plan après nettoyage	PC
ARC13N13525-024	Base vie	Sécurisation et signalisation	JGP
ARC13N13525-025	Base vie	Sécurisation et signalisation	JGP
ARC13N13525-026	Base vie	Sécurisation et signalisation	JGP
ARC13N13525-027	T2 F12	Plan après nettoyage	MD
ARC13N13525-028	T2 F12	Plan après nettoyage	MD
ARC13N13525-029	T2 Fo13	Plan après nettoyage	JGP
ARC13N13525-030	T2 Fo13	Plan après nettoyage	JGP
ARC13N13525-031	T2 Fo14	Plan après nettoyage	MD
ARC13N13525-032	T2 Fo14	Plan après nettoyage	MD
ARC13N13525-033	T2 St15	Niveau d'apparition après décapage	MD
ARC13N13525-034	T2 St15	Niveau d'apparition après décapage	MD
ARC13N13525-035	T2	Nappe de pollution contemporaine	MD
ARC13N13525-036	T2 F16	Plan après nettoyage	MD
ARC13N13525-037	T2 F16	Plan après nettoyage	MD
ARC13N13525-038	T2 F16	Coupe sud-ouest / nord-est	MD
ARC13N13525-039	T2 F16	Coupe sud-ouest / nord-est	MD
ARC13N13525-040	T2 F16	Coupe sud-ouest / nord-est	MD
ARC13N13525-041	T3 Fo19	Objet métallique en cours de fouille	MD
ARC13N13525-042	T3 Fo19	Objet métallique en cours de fouille	MD
ARC13N13525-043	T3 Fo19	Objet métallique en cours de fouille	MD
ARC13N13525-044	T3 Fo19	Objet métallique en cours de fouille	MD
ARC13N13525-045	T3 Fo19	Plan après fouille métal	MD
ARC13N13525-046	T3 Fo19	Plan après fouille métal	MD
ARC13N13525-047	T3 Fo19	Vue de détail du métal	MD
ARC13N13525-048	T3 Fo19	Vue de détail du métal	MD
ARC13N13525-049	T3 Fo19	Vue de détail du métal	MD
ARC13N13525-050	T4 F25	Plan après nettoyage	MD
ARC13N13525-051	T4 F25	Plan après nettoyage	MD
ARC13N13525-052	T4 Log1	Coupe nord-est / sud-ouest	JGP
ARC13N13525-053	T4 Log1	Coupe nord-est / sud-ouest	JGP
ARC13N13525-054	T7 Log2	Glais (niveau préhistorique)	PW
ARC13N13525-055	T7 Log2	Glais (niveau préhistorique)	PW
ARC13N13525-056	T8 Fo55	Plan après nettoyage	PC
ARC13N13525-057	T8 Fo55	Plan après nettoyage	PC
ARC13N13525-058	T8 Fo55	Plan après nettoyage	PC
ARC13N13525-059	T8 Fo56	Plan après nettoyage	MD
ARC13N13525-060	T8 Fo56	Plan après nettoyage	MD
ARC13N13525-061	T8 Fo54	Plan après nettoyage	MD
ARC13N13525-062	T8 Fo54	Plan après nettoyage	MD
ARC13N13525-063	T8 F57	Plan après nettoyage	MD
ARC13N13525-064	T8 F57	Plan après nettoyage	MD
ARC13N13525-065	T8 F57	Plan après nettoyage	MD
ARC13N13525-066	T8 F58	Plan après nettoyage	JGP
ARC13N13525-067	T8 TP59	Plan après nettoyage	JGP
ARC13N13525-068	T8 F57	Coupe ouest / est	PC
ARC13N13525-069	T8 F57	Coupe ouest / est	PC
ARC13N13525-070	T6 Fo67	Plan après nettoyage	PC
ARC13N13525-071	T6 Fo67	Plan après nettoyage	PC
ARC13N13525-072	T6 Fo69	Plan après nettoyage	PC
ARC13N13525-073	T6 Fo69	Plan après nettoyage	PC
ARC13N13525-074	T6 Fo69	Plan après nettoyage	PC
ARC13N13525-075	T6 Fo73	Plan après nettoyage	PC
ARC13N13525-076	T6 Fo73	Plan après nettoyage	PC
ARC13N13525-077	T6 Fo73	Plan après nettoyage	PC
ARC13N13525-078	T6 Fo73	Plan après nettoyage	PC
ARC13N13525-079	T10 Fo75 S1	Coupe sud / nord	MD

ARC13N13525-080	T10 Fo75 S1	Coupe sud / nord	MD
ARC13N13525-081	T10 Fo75 S1	Coupe sud / nord	MD
ARC13N13525-082	T10 Fo76	Plan après nettoyage	PC
ARC13N13525-083	T10 Fo76	Plan après nettoyage	PC
ARC13N13525-084	T10 Fo75 S1	Vue générale après fouille	MD
ARC13N13525-085	T10 Fo75 S1	Vue générale après fouille	MD
ARC13N13525-086	T10 Fo75 S1	Vue générale après fouille	MD
ARC13N13525-087	T10 Fo75 S1	Vue générale après fouille	MD
ARC13N13525-088	T11 Fo77	Plan après nettoyage	JGP
ARC13N13525-089	T11 Fo77	Plan après nettoyage	JGP
ARC13N13525-090	T11 Fo78	Plan après nettoyage	PC
ARC13N13525-091	T11 Fo78	Plan après nettoyage	PC
ARC13N13525-092	T11 Fo80	Plan après nettoyage	JGP
ARC13N13525-093	T11 Fo80	Plan après nettoyage	JGP
ARC13N13525-094	T12 V81	Vue en cours de décapage	JGP
ARC13N13525-095	T12 V81	Exemples de pavés issus du dôme de construction	MD
ARC13N13525-096	T12 V81	Exemples de pavés issus du dôme de construction	MD
ARC13N13525-097	T12 V81	Exemples de pavés issus du dôme de construction	MD
ARC13N13525-098	T12 V81	Exemples de pavés issus du dôme de construction	MD
ARC13N13525-099	Ambiance	Le décapage au petit matin (8h)	JGP
ARC13N13525-100	Ambiance	Le décapage au petit matin (8h)	JGP
ARC13N13525-101	Ambiance	Le décapage au petit matin (8h)	JGP
ARC13N13525-102	Ambiance	Le décapage au petit matin (8h)	JGP
ARC13N13525-103	T13 Log3	Coupe nord-est / sud-ouest	JGP
ARC13N13525-104	T13 Log3	Coupe nord-est / sud-ouest	JGP
ARC13N13525-105	T13 Log3	Coupe nord-est / sud-ouest	JGP
ARC13N13525-106	T12 V81	Vue générale après fouille	PC
ARC13N13525-107	T12 V81	Vue générale après fouille	PC
ARC13N13525-108	T12 V81	Vue générale après fouille	PC
ARC13N13525-109	T12 V81	Vue générale après fouille	PC
ARC13N13525-110	T12 V81	Vue générale après fouille	PC
ARC13N13525-111	T12 V81	Vue générale après fouille	PC
ARC13N13525-112	T12 V81	Vue générale après fouille	PC
ARC13N13525-113	T12 V81	Vue générale après fouille	PC
ARC13N13525-114	T12 V81	Vue générale après fouille	PC
ARC13N13525-115	T12 V81	Vue de détail pour montage photo	MD
ARC13N13525-116	T12 V81	Vue de détail pour montage photo	MD
ARC13N13525-117	T12 V81	Vue de détail pour montage photo	MD
ARC13N13525-118	T12 V81	Vue de détail pour montage photo	MD
ARC13N13525-119	T12 V81	Vue de détail pour montage photo	MD
ARC13N13525-120	T12 V81	Vue de détail pour montage photo	MD
ARC13N13525-121	T12 V81	Vue de détail pour montage photo	MD
ARC13N13525-122	T12 V81	Vue de détail pour montage photo	MD
ARC13N13525-123	T12 V81	Vue de détail pour montage photo	MD
ARC13N13525-124	T12 V81	Vue de détail pour montage photo	MD
ARC13N13525-125	T12 V81	Vue de détail pour montage photo	MD
ARC13N13525-126	T12 V81	Vue de détail pour montage photo	MD
ARC13N13525-127	T12 V81	Vue de détail pour montage photo	MD
ARC13N13525-128	T12 V81	Vue de détail pour montage photo	MD
ARC13N13525-129	T12 V81	Vue de détail pour montage photo	MD
ARC13N13525-130	T12 V81	Vue de détail pour montage photo	MD
ARC13N13525-131	T12 V81	Vue de détail pour montage photo	MD
ARC13N13525-132	T12 V81	Vue de détail pour montage photo	MD
ARC13N13525-133	T12 V81	Vue de détail pour montage photo	MD
ARC13N13525-134	T12 V81	Vue de détail pour montage photo	MD
ARC13N13525-135	T12 V81	Vue de détail pour montage photo	MD
ARC13N13525-136	T12 V81	Vue de détail pour montage photo	MD
ARC13N13525-137	T13 Fo75	Plan après nettoyage	JGP
ARC13N13525-138	T13 Fo75	Plan après nettoyage	JGP
ARC13N13525-139	T13 Fo75	Vue de détail d'un vase écrasé en place	JGP
ARC13N13525-140	T13 Fo75	Vue de détail d'un vase écrasé en place	JGP
ARC13N13525-141	T13 Fo75	Vue de détail d'un vase écrasé en place	JGP
ARC13N13525-142	T13 Fo75	Plan après nettoyage	JGP
ARC13N13525-143	T13 F82	Plan après nettoyage	JGP
ARC13N13525-144	T13 F82	Plan après nettoyage	JGP
ARC13N13525-145	T14 F83	Plan après nettoyage	MD
ARC13N13525-146	T14 F83	Plan après nettoyage	MD
ARC13N13525-147	T14 Fo87	Plan après nettoyage	MD
ARC13N13525-148	T14 Fo87	Plan après nettoyage	MD
ARC13N13525-149	T14 Fo88	Plan après nettoyage	MD
ARC13N13525-150	T14 Fo88	Plan après nettoyage	MD
ARC13N13525-151	T15 Fo92	Plan après nettoyage	JGP
ARC13N13525-152	T16 F93	Plan après nettoyage	MD
ARC13N13525-153	T16 F93	Plan après nettoyage	MD
ARC13N13525-154	T17 Log4	Coupe sud-ouest / nord-est	MD
ARC13N13525-155	T17 Log4	Coupe sud-ouest / nord-est	MD
ARC13N13525-156	T17 Log4	Coupe sud-ouest / nord-est	MD
ARC13N13525-157	T17 S94	Plan après nettoyage	JGP
ARC13N13525-158	T17 S94	Plan après nettoyage	JGP
ARC13N13525-159	T17 Fo95	Plan de l'angle de fossé après nettoyage	PC
ARC13N13525-160	T17 Fo95	Plan de l'angle de fossé après nettoyage	PC
ARC13N13525-161	T17 Fo95	Plan de l'angle de fossé après nettoyage	PC
ARC13N13525-162	T17 Fo95	Plan de l'angle de fossé après nettoyage	PC
ARC13N13525-163	T17 Fo95	Plan de l'angle de fossé après nettoyage	PC
ARC13N13525-164	T17 Fo95	Plan de l'angle de fossé après nettoyage	PC
ARC13N13525-165	T17 Fo95	Plan de l'angle de fossé après nettoyage	PC
ARC13N13525-166	T17 Fo95	Plan de l'angle de fossé après nettoyage	PC
ARC13N13525-167	T17 Fo95	Plan de l'angle de fossé après nettoyage	PC

ARC13N13525-168	T19 Fo98	Plan après nettoyage	PC
ARC13N13525-169	T19 Fo98	Plan après nettoyage	PC
ARC13N13525-170	T19 Fo99	Plan après nettoyage	MD
ARC13N13525-171	T19 Fo99	Plan après nettoyage	MD
ARC13N13525-172	T17 Fo96	Découverte de sesterces dans le comblement du fossé	PC
ARC13N13525-173	T17 Fo96	Découverte de sesterces dans le comblement du fossé	PC
ARC13N13525-174	T17 Fo96	Découverte de sesterces dans le comblement du fossé	PC
ARC13N13525-175	T17 Fo96	Découverte de sesterces dans le comblement du fossé	PC
ARC13N13525-176	T17 Fo96 S1	Niveau d'apparition des monnaies	MD
ARC13N13525-177	T17 Fo96 S1	Niveau d'apparition des monnaies	MD
ARC13N13525-178	T17 Fo96 S1	Niveau d'apparition des monnaies	MD
ARC13N13525-179	T17 Fo96 S1	Niveau d'apparition des monnaies	MD
ARC13N13525-180	T17 Fo96 S1	Niveau d'apparition des monnaies	MD
ARC13N13525-181	T17 Fo96 S1	Niveau d'apparition des monnaies	MD
ARC13N13525-182	T17 Fo96 S1	Détail monnaie 2	MD
ARC13N13525-183	T17 Fo96 S1	Détail monnaie 3	MD
ARC13N13525-184	T17 Fo96 S1	Détail monnaie 4	MD
ARC13N13525-185	T17 Fo96 S1	Détail monnaie 4	MD
ARC13N13525-186	T17 Fo96 S1	Détail monnaie 5	MD
ARC13N13525-187	T17 Fo96 S1	Détail monnaie 5	MD
ARC13N13525-188	T17 Fo96 S1	Détail monnaie 6	MD
ARC13N13525-189	T17 Fo96 S1	Détail monnaie 6	MD
ARC13N13525-190	T17 Fo96 S1	Détail monnaie 6	MD
ARC13N13525-191	T17 Fo96 S1	Négatif de la monnaie laissé sur le bloc calcaire qui se trouvait en surface	MD
ARC13N13525-192	T17 Fo96 S1	Négatif de la monnaie laissé sur le bloc calcaire qui se trouvait en surface	MD
ARC13N13525-193	T17 Fo95 S1	Angle de fossé en cours de fouille	MD
ARC13N13525-194	T17 Fo95 S1	Angle de fossé en cours de fouille	MD
ARC13N13525-195	T17 Fo96 S1	Détail monnaie 7	MD
ARC13N13525-196	T17 Fo96 S1	Détail monnaie 7	MD
ARC13N13525-197	T17 Fo96 S1	Détail monnaie 7	MD
ARC13N13525-198	Ambiance	Vue générale des sondages profonds	JGP
ARC13N13525-199	Ambiance	Vue générale des sondages profonds	JGP
ARC13N13525-200	Ambiance	Vue générale des sondages profonds	JGP
ARC13N13525-201	Les tranchées	Vue générale	JGP
ARC13N13525-202	T17 Fo96 S1	Détail monnaie 8	MD
ARC13N13525-203	T17 Fo96 S1	Détail monnaie 8	MD
ARC13N13525-204	T17 Fo96 S1	Détail monnaie 8	MD
ARC13N13525-205	T17 Fo95 S2	Coupe nord-ouest / sud-est	PC
ARC13N13525-206	T17 Fo95 S2	Coupe nord-ouest / sud-est	PC
ARC13N13525-207	T17 Fo95 S2	Coupe nord-ouest / sud-est	PC
ARC13N13525-208	T17 Fo95 S2	Coupe nord-ouest / sud-est	PC
ARC13N13525-209	T17 Fo95 S2	Coupe nord-ouest / sud-est	PC
ARC13N13525-210	T17 Fo95 S2	Coupe nord-ouest / sud-est	PC
ARC13N13525-211	T17 Fo96 S1	Coupe sud-ouest / nord-est	MD
ARC13N13525-212	T17 Fo96 S1	Coupe sud-ouest / nord-est	MD
ARC13N13525-213	T17 Fo96 S1	Coupe nord-est / sud-ouest	MD
ARC13N13525-214	T17 Fo96 S1	Coupe nord-est / sud-ouest	MD
ARC13N13525-215	T17 Fo96 S1	Vue générale du sondage	MD
ARC13N13525-216	T17 Fo96 S1	Vue générale du sondage	MD
ARC13N13525-217	T20 Log8	Glaie apparue à 1,60 m de profondeur	JGP
ARC13N13525-218	T20 Log8	Glaie apparue à 1,60 m de profondeur	JGP
ARC13N13525-219	T20 Log8	Coupe nord-est / sud-ouest	JGP
ARC13N13525-220	T20 Log8	Coupe nord-est / sud-ouest	JGP
ARC13N13525-221	T20 Log8	Coupe nord-est / sud-ouest	JGP
ARC13N13525-222	T17 Fo95 S1	Coupe sud / nord	PC
ARC13N13525-223	T17 Fo95 S1	Coupe ouest / est	PC
ARC13N13525-224	T17 Fo95 S1	Coupe ouest / est	PC
ARC13N13525-225	T17 Fo95 S1	Coupe ouest / est	PC
ARC13N13525-226	Supprimer		
ARC13N13525-227	T21 Fo111	Plan après nettoyage	MD
ARC13N13525-228	T21 Fo111	Plan après nettoyage	MD
ARC13N13525-229	T20 Fo101	Plan après nettoyage	JGP
ARC13N13525-230	T20 Fo101	Plan après nettoyage	JGP
ARC13N13525-231	T20 F103	Plan après nettoyage	MD
ARC13N13525-232	T20 F103	Plan après nettoyage	MD
ARC13N13525-233	T20 F104	Plan après nettoyage	MD
ARC13N13525-234	T20 F104	Plan après nettoyage	MD
ARC13N13525-235	T20 F105	Plan après nettoyage	MD
ARC13N13525-236	T20 F105	Plan après nettoyage	MD
ARC13N13525-237	T20 Fo106	Plan après nettoyage	MD
ARC13N13525-238	T20 Fo106	Plan après nettoyage	MD
ARC13N13525-239	T20 Fo102	Plan après nettoyage	JGP
ARC13N13525-240	T20 Fo102	Plan après nettoyage	JGP
ARC13N13525-241	T7 F44	Plan après nettoyage	JGP
ARC13N13525-242	T7 Fo45	Plan après nettoyage	JGP
ARC13N13525-243	T7 F47	Plan après nettoyage	MD
ARC13N13525-244	T7 F47	Plan après nettoyage	MD
ARC13N13525-245	T22 Fo111	Plan après nettoyage	MD
ARC13N13525-246	T22 Fo111	Plan après nettoyage	MD
ARC13N13525-247	T22 Log9	Coupe nord-est / sud-ouest	JGP
ARC13N13525-248	T22 Log9	Coupe nord-est / sud-ouest	JGP
ARC13N13525-249	T22 Log9	Coupe nord-est / sud-ouest	JGP
ARC13N13525-250	T14 Fo125	Plan après nettoyage	MD
ARC13N13525-251	T14 Fo125	Plan après nettoyage	MD
ARC13N13525-252	Log10	Coupe nord-est / sud-ouest	JGP
ARC13N13525-253	Log10	Coupe nord-est / sud-ouest	JGP

ARC13N13525-254	Log10	Coupe nord-est / sud-ouest	JGP
ARC13N13525-255	Log10	Coupe nord-est / sud-ouest	JGP
ARC13N13525-256	T19 F100	Coupe sud-ouest / nord-est, vue générale	JGP
ARC13N13525-257	T19 F100	Détail coupe pour montage photo	JGP
ARC13N13525-258	T19 F100	Détail coupe pour montage photo	JGP
ARC13N13525-259	T19 F100	Détail coupe pour montage photo	JGP
ARC13N13525-260	T19 F100	Détail coupe pour montage photo	JGP
ARC13N13525-261	T19 F100	Détail coupe pour montage photo	JGP
ARC13N13525-262	T19 F100	Détail coupe pour montage photo	JGP
ARC13N13525-263	T20 M107 S1	Coupe sud-est / nord-ouest	MD
ARC13N13525-264	T20 M107 S1	Coupe sud-est / nord-ouest	MD
ARC13N13525-265	T20 M107 S1	Coupe sud-est / nord-ouest	MD
ARC13N13525-266	T20 M107 S1	Coupe nord-ouest / sud-est	MD
ARC13N13525-267	T20 M107 S1	Coupe nord-ouest / sud-est	MD
ARC13N13525-268	T20 M107 S1	Coupe nord-ouest / sud-est	MD
ARC13N13525-269	T20 M107 S1	Coupe nord-ouest / sud-est	MD
ARC13N13525-270	T20 St131 S1	Coupe nord-ouest / sud-est	MD
ARC13N13525-271	T20 St131 S1	Coupe nord-ouest / sud-est	MD
ARC13N13525-272	T20 M107 St131	Coupe nord-ouest / sud-est	MD
ARC13N13525-273	T20 M107 St131	Coupe nord-ouest / sud-est	MD
ARC13N13525-274	T20 M107 St131	Coupe nord-ouest / sud-est	MD
ARC13N13525-275	T20 M107	Coupe nord-ouest / sud-est	MD
ARC13N13525-276	T20 M107	Coupe nord-ouest / sud-est	MD
ARC13N13525-277	T20	Vue générale des fondations du moulin	MD
ARC13N13525-278	T20	Vue générale des fondations du moulin	MD
ARC13N13525-279	T20	Vue générale des fondations du moulin	MD
ARC13N13525-280	T20	Vue générale des fondations du moulin	MD
ARC13N13525-281	T20	Vue générale des fondations du moulin	MD
ARC13N13525-282	T27 Fo132 S1	Coupe nord / sud	PC
ARC13N13525-283	T27 Fo132 S1	Coupe nord / sud	PC
ARC13N13525-284	Ambiance	Découverte de vases dans le fossé Fo65 S1	JGP
ARC13N13525-285	T9 Fo65 S1	Vue générale des vases après fouille	PC
ARC13N13525-286	T9 Fo65 S1	Vue générale des vases après fouille	PC
ARC13N13525-287	T9 Fo65 S1	Vue générale des vases après fouille	PC
ARC13N13525-288	T9 Fo65 S1	Préparation photo	MD
ARC13N13525-289	T9 Fo65 S1	Vue générale des vases après fouille	MD
ARC13N13525-290	T9 Fo65 S1	Vue générale des vases après fouille	MD
ARC13N13525-291	T9 Fo65 S1	Vue générale des vases après fouille	MD
ARC13N13525-292	T9 Fo65 S1	Vue générale des vases après fouille	MD
ARC13N13525-293	T9 Fo65 S1	Vue générale des vases après fouille	MD
ARC13N13525-294	T9 Fo65 S1	Vue générale des vases après fouille	MD
ARC13N13525-295	T9 Fo65 S1	Vue oblique des vases après fouille	PC
ARC13N13525-296	T9 Fo65 S1	Vue oblique des vases après fouille	PC
ARC13N13525-297	T9 Fo65 S1	Vue oblique des vases après fouille	PC
ARC13N13525-298	T9 Fo65 S1	Vue oblique des vases après fouille	PC
ARC13N13525-299	T9 Fo65 S1	Vue oblique des vases après fouille	PC
ARC13N13525-300	T9 Fo65 S1	Vue oblique des vases après fouille	PC
ARC13N13525-301	T9 Fo65 S1	Vue oblique des vases après fouille	PC
ARC13N13525-302	T9 Fo65 S1	Vue oblique des vases après fouille	PC
ARC13N13525-303	T9 Fo65 S1	Vue oblique des vases après fouille	PC
ARC13N13525-304	T9 Fo65 S1	Vue oblique des vases après fouille	PC
ARC13N13525-305	T9 Fo65 S1	Vue oblique des vases après fouille	PC
ARC13N13525-306	T9 Fo65 S1	Vue oblique des vases après fouille	PC
ARC13N13525-307	T9 Fo65 S1	Vue oblique des vases après fouille	PC
ARC13N13525-308	T9 Fo65 S1	Vue oblique des vases après fouille	PC
ARC13N13525-309	T9 Fo65 S1	Vue oblique des vases après fouille	PC
ARC13N13525-310	T9 Fo65 S1	Vue oblique des vases après fouille	PC
ARC13N13525-311	T9 Fo65 S1	Vue oblique des vases après fouille	PC
ARC13N13525-312	T9 Fo65 S1	Vue oblique des vases après fouille	PC
ARC13N13525-313	T7 F46 S1	Vue générale du sondage à 1,80 m de profondeur	JGP
ARC13N13525-314	T7 F46 S1	Coupe nord-est / sud-est	JGP
ARC13N13525-315	T26 St126 S1	Coupe ouest / est	MD
ARC13N13525-316	T26 St126 S1	Coupe ouest / est	MD
ARC13N13525-317	T26 St126 S1	Coupe est / ouest	MD
ARC13N13525-318	T26 St126 S1	Coupe est / ouest	MD
ARC13N13525-319	T26 St126 S1	Coupe sud / nord	MD
ARC13N13525-320	T26 St126 S1	Coupe sud / nord	MD
ARC13N13525-321	Ambiance	Relevé d'une coupe	JGP
ARC13N13525-322	Ambiance	Relevé d'une coupe	JGP
ARC13N13525-323	T26 St126 S1	Détail coupe sud / nord	PC
ARC13N13525-324	T26 St126 S1	Détail coupe est / ouest	PC
ARC13N13525-325	T26 St126 S1	Détail coupe ouest / est	PC
ARC13N13525-326	T26 St126 S1	Détail coupe ouest / est	PC
ARC13N13525-327	T26 St126 S1	Coupe sud / nord	PC
ARC13N13525-328	T26 F128	Plan après nettoyage	JGP
ARC13N13525-329	T26 F128	Plan après nettoyage	JGP
ARC13N13525-330	T19 F100	Portion de squelette en connexion à 1,25 m de profondeur	MD
ARC13N13525-331	T19 F100	Portion de squelette en connexion à 1,25 m de profondeur	MD
ARC13N13525-332	T19 F100	Portion de squelette en connexion à 1,25 m de profondeur	MD
ARC13N13525-333	T19 F100	Portion de squelette en connexion à 1,25 m de profondeur	MD
ARC13N13525-334	T19 F100	Portion de squelette en connexion à 1,25 m de profondeur	MD
ARC13N13525-335	T19 F100	Portion de squelette en connexion à 1,25 m de profondeur	MD
ARC13N13525-336	T19 F100	Portion de squelette en connexion à 1,25 m de profondeur	MD
ARC13N13525-337	T19 F100	Portion de squelette en connexion à 1,25 m de profondeur	MD
ARC13N13525-338	T19 F100	Portion de squelette en connexion à 1,25 m de profondeur	MD
ARC13N13525-339	T19 F100	Portion de squelette en connexion à 1,25 m de profondeur	MD
ARC13N13525-340	T26 F128	Coupe est / ouest	JGP
ARC13N13525-341	T26 F128	Coupe est / ouest	JGP

ARC13N13525-342	T17 S94	Coupe sud-ouest / nord-est en cours de fouille	MD
ARC13N13525-343	T17 S94	Coupe sud-ouest / nord-est en cours de fouille	MD
ARC13N13525-344	T17 Fo135 S1	Coupe nord-ouest / sud-est	PC
ARC13N13525-345	T17 Fo135 S1	Coupe nord-ouest / sud-est	PC
ARC13N13525-346	T9 F133	Coupe nord / sud	PC
ARC13N13525-347	T9 F133	Coupe nord / sud	PC
ARC13N13525-348	T9 F133	Coupe nord / sud	PC
ARC13N13525-349	T17 S94	Vue verticale de la tombe	MD
ARC13N13525-350	T17 S94	Vue verticale de la tombe	MD
ARC13N13525-351	T17 S94	Vue oblique de la tombe	MD
ARC13N13525-352	T17 S94	Vue oblique de la tombe	MD
ARC13N13525-353	T17 S94	Vue oblique de la tombe	MD
ARC13N13525-354	T17 S94	Vue oblique de la tombe	MD
ARC13N13525-355	T17 S94	Détail des connexions	MD
ARC13N13525-356	T17 S94	Détail des connexions	MD
ARC13N13525-357	T17 S94	Détail des connexions	MD
ARC13N13525-358	T17 S94	Détail des connexions	MD
ARC13N13525-359	T17 S94	Détail des connexions	MD
ARC13N13525-360	T17 S94	Détail des connexions	MD
ARC13N13525-361	T17 S94	Détail des connexions	MD
ARC13N13525-362	T17 S94	Détail des connexions	MD
ARC13N13525-363	T17 S94	Détail des connexions	MD
ARC13N13525-364	T17 S94	Détail des connexions	MD
ARC13N13525-365	T17 S94	Détail des connexions	MD
ARC13N13525-366	T17 S94	Démontage en cours	JGP
ARC13N13525-367	T17 S94	Démontage en cours	JGP
ARC13N13525-368	T17 S94	Démontage en cours	JGP
ARC13N13525-369	T17 S94	Détail d'éléments métalliques sous le squelette	MD
ARC13N13525-370	T17 S94	Détail d'éléments métalliques sous le squelette	MD
ARC13N13525-371	T13 F82	Coupe nord / sud	PC
ARC13N13525-372	T13 F82	Coupe nord / sud	PC
ARC13N13525-373	T13 F82	Coupe nord / sud	PC
ARC13N13525-374	T13 F82	Coupe nord / sud	PC
ARC13N13525-375	T13 F82	Coupe nord / sud	PC
ARC13N13525-376	T4 F25	Bas de pattes en connexion	JGP
ARC13N13525-377	T4 F25	Bas de pattes en connexion	JGP
ARC13N13525-378	T4 F25	Bas de pattes en connexion	JGP
ARC13N13525-379	T4 F25	Bas de pattes en connexion	JGP
ARC13N13525-380	T4 F25	Coupe nord-est / sud-ouest	JGP
ARC13N13525-381	T4 F25	Coupe nord-est / sud-ouest	JGP
ARC13N13525-382	T3 Fo20 Fo144	Vue générale des deux fossés	PC
ARC13N13525-383	T3 Fo20 Fo144	Vue générale des deux fossés	PC
ARC13N13525-384	T3 Fo20 Fo144	Vue générale des deux fossés	PC
ARC13N13525-385	T3 Fo20 Fo144	Vue générale des deux fossés	PC
ARC13N13525-386	T3 Fo20 Fo144	Vue générale des deux fossés	PC
ARC13N13525-387	T3 Fo20 Fo144	Vue générale des deux fossés	PC
ARC13N13525-388	T4 Fo24	Plan après nettoyage	JGP
ARC13N13525-389	T4 Fo24	Plan après nettoyage	JGP
ARC13N13525-390	T3 Fo20	Coupe nord-est / sud-ouest	PC
ARC13N13525-391	T3 Fo144	Coupe nord / sud	PC
ARC13N13525-392	T3 Fo144	Coupe ouest / est	PC
ARC13N13525-393	T3 Fo144	Coupe ouest / est	PC
ARC13N13525-394	T4 Fo24 S1	Coupe sud / nord	JGP
ARC13N13525-395	T11 F143	Plan après nettoyage	MD
ARC13N13525-396	T11 F143	Plan après nettoyage	MD
ARC13N13525-397	T11 F143	Coupe ouest / est	MD
ARC13N13525-398	T11 F143	Coupe ouest / est	MD
ARC13N13525-399	T11 F143	Coupe ouest / est	MD
ARC13N13525-400	T11 F143	Coupe ouest / est	MD
ARC13N13525-401	T11 F143	Coupe ouest / est	MD
ARC13N13525-402	T11 Fo78	Plan après nettoyage	MD
ARC13N13525-403	T11 Fo78	Plan après nettoyage	MD
ARC13N13525-404	T11 Fo78 S1	Plan après fouille	MD
ARC13N13525-405	T11 Fo78 S1	Plan après fouille	MD
ARC13N13525-406	T11 Fo78 S1	Coupe ouest / est	MD
ARC13N13525-407	T11 Fo78 S1	Coupe ouest / est	MD
ARC13N13525-408	T7 Fo53	Plan après nettoyage	MD
ARC13N13525-409	T7 Fo53	Plan après nettoyage	MD
ARC13N13525-410	T7 Fo53 S1	Plan après fouille	MD
ARC13N13525-411	T7 Fo53 S1	Plan après fouille	MD
ARC13N13525-412	T7 Fo53 S1	Coupe ouest / est	MD
ARC13N13525-413	T7 Fo53 S1	Coupe ouest / est	MD
ARC13N13525-414	T3 Fo19 S1	Vue en cours de fouille	PC
ARC13N13525-415	T3 Fo19 S1	Coupe nord / sud	PC
ARC13N13525-416	T3 Fo19 S1	Coupe nord / sud	PC
ARC13N13525-417	T3 Fo19 S1	Coupe nord / sud	PC
ARC13N13525-418	T3 Fo19 S1	Coupe nord / sud	PC
ARC13N13525-419	T3 Fo19 S1	Coupe nord / sud	PC
ARC13N13525-420	T3 Fo19 S1	Coupe nord / sud	PC
ARC13N13525-421	T3 Fo19 S1	Coupe nord / sud	PC
ARC13N13525-422	T3 Fo19 S1	Coupe sud / nord	PC
ARC13N13525-423	T3 Fo19 S1	Coupe sud / nord	PC
ARC13N13525-424	T3 Fo19 S1	Coupe sud / nord	PC
ARC13N13525-425	T7 Fo50	Plan après nettoyage	MD
ARC13N13525-426	T7 Fo50	Plan après nettoyage	MD
ARC13N13525-427	T7 Fo50	Plan après nettoyage	MD
ARC13N13525-428	T6 Fo69 S1	Coupe du fossé avec canalisation	JGP
ARC13N13525-429	T5 Fo36	Plan après nettoyage	JGP

ARC13N13525-430	T5 Fo36 S1	Coupe nord / sud	JGP
ARC13N13525-431	T3 Fo19 S1	Coupe sud / nord	PC
ARC13N13525-432	T3 Fo19 S1	Coupe sud / nord	PC
ARC13N13525-433	T1 F2	Coupe est / ouest	JGP
ARC13N13525-434	T1 F2	Coupe est / ouest	JGP
ARC13N13525-435	T21 Fo111	Coupe nord / sud	PC
ARC13N13525-436	T21 Fo111	Coupe nord / sud	PC
ARC13N13525-437	T7 Fo20 St51	Vue après fouille	MD
ARC13N13525-438	T7 Fo20 St51	Vue après fouille	MD
ARC13N13525-439	T7 Fo20 St51	Vue après fouille	MD
ARC13N13525-440	T7 Fo20 St51	Vue après fouille	MD
ARC13N13525-441	T7 Fo20 St51	Vue après fouille	MD
ARC13N13525-442	T7 Fo20 St51	Coupe sud / nord	MD
ARC13N13525-443	T7 Fo20 St51	Coupe sud / nord	MD
ARC13N13525-444	T7 Fo20 St51	Coupe sud / nord	MD
ARC13N13525-445	T7 Fo20 St51	Coupe sud / nord	MD
ARC13N13525-446	T20 F103	Coupe nord-ouest / sud-est	JGP
ARC13N13525-447	T20 Fo102 S1	Coupe est / ouest	JGP
ARC13N13525-448	T19 Fo98	Coupe est / ouest	PC
ARC13N13525-449	T20 Fo101 S1	Coupe est / ouest	JGP
ARC13N13525-450	T20 Fo101 S1	Coupe est / ouest	JGP
ARC13N13525-451	T19 Fo99 S1	Coupe ouest / est	PC
ARC13N13525-452	T19 Fo99 S1	Coupe ouest / est	PC
ARC13N13525-453	T22 Fo116 S1	Coupe nord-est / sud-ouest	JGP
ARC13N13525-454	T8 Fo54	Vue générale après fouille	MD
ARC13N13525-455	T8 Fo54	Vue générale après fouille	MD
ARC13N13525-456	T8 Fo54 S1	Coupe est / ouest	MD
ARC13N13525-457	T8 Fo54 S1	Coupe est / ouest	MD
ARC13N13525-458	T26 Fo129 S1	Vue générale après fouille	JGP
ARC13N13525-459	T26 Fo129 S1	Vue générale après fouille	JGP
ARC13N13525-460	T20 Fo106 S1	Coupe nord / sud	PC
ARC13N13525-461	T20 Fo106 S1	Coupe nord / sud	PC
ARC13N13525-462	T20 Fo106 S1	Coupe nord / sud	PC
ARC13N13525-463	T22 F115	Plan après nettoyage	MD
ARC13N13525-464	T22 F115	Plan après nettoyage	MD
ARC13N13525-465	T26 Fo146	Plan après nettoyage	JGP
ARC13N13525-466	T26 Fo146	Plan après nettoyage	JGP
ARC13N13525-467	T26 Fo146 S1	Coupe nord / sud	JGP
ARC13N13525-468	T26 Fo146 S1	Coupe nord / sud	JGP
ARC13N13525-469	T22 F115	Vue générale après fouille	MD
ARC13N13525-470	T22 F115	Vue générale après fouille	MD
ARC13N13525-471	T22 F115	Coupe sud-ouest / nord-est	MD
ARC13N13525-472	T22 F115	Coupe sud-ouest / nord-est	MD
ARC13N13525-473	T15 Fo92	Plan après nettoyage	MD
ARC13N13525-474	T15 Fo92	Plan après nettoyage	MD
ARC13N13525-475	T15 Fo92 S1	Vue générale après fouille	MD
ARC13N13525-476	T15 Fo92 S1	Vue générale après fouille	MD
ARC13N13525-477	T15 Fo92 S1	Coupe nord / sud	MD
ARC13N13525-478	T15 Fo92 S1	Coupe nord / sud	MD
ARC13N13525-479	T26	Vue générale des fondations de bâtiment du meunier	PC
ARC13N13525-480	T26	Vue générale des fondations de bâtiment du meunier	PC
ARC13N13525-481	T26	Vue générale des fondations de bâtiment du meunier	PC
ARC13N13525-482	T26	Vue générale des fondations de bâtiment du meunier	PC
ARC13N13525-483	T26	Vue générale des fondations de bâtiment du meunier	PC
ARC13N13525-484	T26	Vue générale des fondations de bâtiment du meunier	PC
ARC13N13525-485	T26	Vue générale des fondations de bâtiment du meunier	PC
ARC13N13525-486	T26	Vue générale des fondations de bâtiment du meunier	PC
ARC13N13525-487	T26	Vue générale des fondations de bâtiment du meunier	PC
ARC13N13525-488	T26	Vue générale des fondations de bâtiment du meunier	PC
ARC13N13525-489	T26	Vue générale des fondations de bâtiment du meunier	PC
ARC13N13525-490	T26	Vue générale des fondations de bâtiment du meunier	PC
ARC13N13525-491	T26	Vue générale des fondations de bâtiment du meunier	PC
ARC13N13525-492	T26	Vue générale des fondations de bâtiment du meunier	PC
ARC13N13525-493	T26	Vue générale des fondations de bâtiment du meunier	PC
ARC13N13525-494	T26	Vue générale des fondations de bâtiment du meunier	PC
ARC13N13525-495	T26	Vue générale des fondations de bâtiment du meunier	PC
ARC13N13525-496	T26	Vue générale des fondations de bâtiment du meunier	PC
ARC13N13525-497	T26	Vue générale des fondations de bâtiment du meunier	PC
ARC13N13525-498	T26	Vue générale des fondations de bâtiment du meunier	PC
ARC13N13525-499	T26	Vue générale des fondations de bâtiment du meunier	PC
ARC13N13525-500	T12	Vue panoramique de la voie V81	JGP
ARC13N13525-501	T12	Vue panoramique de la voie V81	JGP
ARC13N13525-502	T9 Fo65 S1	Détail d'un vase antique, boîte n°2	JGP
ARC13N13525-503	T9 Fo65 S1	Détail d'un vase antique, boîte n°2	JGP
ARC13N13525-504	T9 Fo65 S1	Détail d'un vase antique, boîte n°2	JGP
ARC13N13525-505	T9 Fo65 S1	Détail d'un vase antique, boîte n°2	JGP
ARC13N13525-506	T9 Fo65 S1	Détail d'un vase antique, boîte n°2	JGP
ARC13N13525-507	T9 Fo65 S1	Détail d'un vase antique, boîte n°2	JGP
ARC13N13525-508	T14 S94	Détail de deux vases, boîtes n°3 et 4	JGP
ARC13N13525-509	T14 S94	Détail de deux vases, boîtes n°3 et 4	JGP
ARC13N13525-510	T14 S94	Détail de deux vases, boîtes n°3 et 4	JGP
ARC13N13525-511	T14 S94	Détail de deux vases, boîtes n°3 et 4	JGP
ARC13N13525-512	T14 S94	Détail de deux vases, boîtes n°3 et 4	JGP
ARC13N13525-513	T9 Fo65 S1 et T14 S94	Trois vases antiques	JGP
ARC13N13525-514	T9 Fo65 S1 et T14 S94	Trois vases antiques	JGP
ARC13N13525-515	T9 Fo65 S1 et T14 S94	Trois vases antiques	JGP
ARC13N13525-516	T26 F128	Fragment de plâtre (cloison)	JGP
ARC13N13525-517	T26 F128	Fragment de plâtre (cloison)	JGP

ARC13N13525-518	T26 F128	Fragment de plâtre (cloison)	JGP
ARC13N13525-519	T26 F128	Fragment de plâtre (cloison)	JGP
ARC13N13525-520	T26 F128	Fragment de plâtre (cloison)	JGP
ARC13N13525-521	T26 F128	Fragment de plâtre (cloison)	JGP
ARC13N13525-522	T8 F57 sac n°14	Éclat en silex secondaire néolithique	MD
ARC13N13525-523	T8 F57 sac n°14	Éclat en silex secondaire néolithique	MD
ARC13N13525-524	T8 F57 sac n°14	Éclat en silex secondaire néolithique	MD
ARC13N13525-525	T26 St126 S1 sac n°216	Traces de découpe sur une corne de bovidé moderne	MD
ARC13N13525-526	T26 St126 S1 sac n°216	Traces de découpe sur une corne de bovidé moderne	MD
ARC13N13525-527	T26 St126 S1 sac n°216	Traces de découpe sur une corne de bovidé moderne	MD
ARC13N13525-528	T17 S94	Détail incisives et molaire	MD
ARC13N13525-529	T17 S94	Détail incisives	MD
ARC13N13525-530	T17 S94	Détail pathologie sur les humérus	MD